

CONTRIBUȚII LA UTILIZAREA PRELUCRĂRII AUTOMATE A IMAGINII LA ROBOȚI DE MANIPULARE

Teză destinată obținerii
titlului științific de doctor inginer
la
Universitatea „Politehnica” din Timișoara
în domeniul INGINERIE MECANICĂ
de către

Ing. Cristian Pop

Conducător științific: Prof.univ.dr.ing. Arjana Davidescu

Referenți științifici: Prof.univ.dr.ing. Doina PÎSLĂ
Prof.univ.dr.ing. Ioan DOROFTEI
Prof.univ.dr.ing. Valer DOLGA

Ziua susținerii tezei: 17.01.2013

Seriile Teze de doctorat ale UPT sunt:

- | | |
|------------------------|---|
| 1. Automatică | 7. Inginerie Electronică și Telecomunicații |
| 2. Chimie | 8. Inginerie Industrială |
| 3. Energetică | 9. Inginerie Mecanică |
| 4. Ingineria Chimică | 10. Știința Calculatoarelor |
| 5. Inginerie Civilă | 11. Știința și Ingineria Materialelor |
| 6. Inginerie Electrică | |

Universitatea „Politehnica” din Timișoara a inițiat seriile de mai sus în scopul diseminării expertizei, cunoștințelor și rezultatelor cercetărilor întreprinse în cadrul școlii doctorale a universității. Seriile conțin, potrivit H.B.Ex.S Nr. 14 / 14.07.2006, tezele de doctorat susținute în universitate începând cu 1 octombrie 2006.

Copyright © Editura Politehnica – Timișoara, 2012

Această publicație este supusă prevederilor legii dreptului de autor. Multiplicarea acestei publicații, în mod integral sau în parte, traducerea, tipărirea, reutilizarea ilustrațiilor, expunerea, radiodifuzarea, reproducerea pe microfilme sau în orice altă formă este permisă numai cu respectarea prevederilor Legii române a dreptului de autor în vigoare și permisiunea pentru utilizare obținută în scris din partea Universității „Politehnica” din Timișoara. Toate încălcările acestor drepturi vor fi penalizate potrivit Legii române a drepturilor de autor.

România, 300159 Timișoara, Bd. Republicii 9,
tel. 0256 403823, fax. 0256 403221
e-mail: editura@edipol.upt.ro

Cuvânt înainte

Teza de doctorat a fost elaborată pe parcursul activității mele prestate în perioada stagiului ca doctorand cu frecvență în cadrul Departamentului de Mecatronică, Facultatea de Mecanică, Universitatea "Politehnica" din Timișoara.

Mulțumiri deosebite se cuvin conducătorului de doctorat prof. dr. ing. Arjana Davidescu, pentru sfaturile și suportul acordat în toate problemele apărute pe parcursul celor trei ani de doctorat.

Doresc să mulțumesc d-nei șef. lucr. dr. ing. Sanda Margareta Grigorescu, pentru sprijinul acordat în rezolvarea problemelor care au apărut, în mod inevitabil, pe parcursul implementării pe roboți a aplicațiilor prezentate în teza de față.

De asemenea, mulțumesc d-lui prof. dr. ing. Valer Dolga și d-lui prof. dr. ing. George Savii pentru indicațiile utile finalizării tezei de doctorat.

Mulțumesc domnului profesor Alessandro Gasparetto pentru suportul acordat pe durata desfășurării stagiului de cercetare în străinătate, în cadrul Universității de Studii din Udine, Italia.

Aș dori să mulțumesc tuturor cadrelor didactice din cadrul Departamentului de Mecatronică, care mi-au asigurat un mediu adecvat pentru cercetare.

Îmi exprim întreaga considerație față de membrii comisiei de doctorat, care au răspuns solicitării de a face parte din comisia de analiză a tezei, pentru observațiile făcute și pentru timpul acordat lucrării.

De asemenea mulțumesc tuturor celor care m-au ajutat cu diverse sfaturi și indicații utile finalizării tezei de doctorat, precum și managementului Proiectului de burse doctorale nr. 88/1.5/S/50783.

Nu în ultimul rând, doresc să adresez mulțumiri familiei pentru înțelegerea și suportul moral pe care mi le-au oferit pe întreaga perioadă a desfășurării studiilor doctorale și nu numai.

Timișoara, ianuarie 2013

Ing. Cristian Pop

Teza de doctorat a fost realizată cu sprijin parțial din grantul strategic POSDRU/88/1.5/S/50783, cofinanțat din Fondul Social European "Investeste în oameni", în cadrul Programului Operațional Sectorial Dezvoltare Resurse Umane 2007-2013.

Pop, Cristian

Contribuții la utilizarea prelucrării automate a imaginii la roboți de manipulare

Teze de doctorat ale UPT, Seria 9, Nr. 128, Editura Politehnica, 2012, 187 pagini, 87 figuri, 18 tabele.

ISSN: 1842-4937

ISBN: 978-606-554-594-6

Cuvinte cheie:

Prelucrare de imagini, Roboți de manipulare, Vedere artificială, Vedere robotizată, Sisteme Servoing, Recunoaștere obiecte, Calibrare camere video.

Rezumat,

Teza de față propune o serie de contribuții, atât teoretice cât și practice, la utilizarea prelucrării automate a imaginii pentru conducerea unor roboți industriali. Aceasta abordează o temă de cercetare multidisciplinară, ce implică cunoștințe din domeniul ingineriei mecanice, robotice și știința calculatoarelor.

Lucrarea cuprinde aspecte teoretice, cu privire la principalele componente ale unui sistem de vedere robotizat, aplicații actuale de vedere robotizată din industrie, și o analiză a metodelor de calibrare a camerelor video, existente în literatura de specialitate, finalizată prin implementarea a două metode în mediul de lucru Matlab.

Aplicațiile ce au fost dezvoltate, cu grad de dificultate gradual, presupun anumiți algoritmi de vedere computerizată, concepuți și implementați de autor, pentru conducerea autonomă și semi-autonomă a roboților, cu scopul de îmbunătățire a proceselor de manipulare robotizate. Acești algoritmi s-au axat în principiu pe operații de detectare, recunoaștere și identificare a unor obiecte variate, în vederea extragerii anumitor caracteristici necesare operației de conducere a roboților.

Este prezentat, de asemenea, și un model matematic original al autorului, ce permite determinarea poziției unor obiecte în spațiu, pe baza coordonatelor a patru puncte caracteristice, extrase din două imagini ale obiectului, ce sunt prelevate de două camere situate în planuri perpendiculare.

Cuprins

Cuprins.....	V
Lista de tabele.....	VIII
Lista de figuri.....	IX
1. INTRODUCERE.....	1
1.1. Generalități.....	1
1.2. Sisteme servoing vizuale.....	2
1.3. Structura și conținutul tezei de doctorat.....	7
2. STADIUL ACTUAL.....	9
2.1. Roboți industriali.....	9
2.2. Sisteme de vedere artificială.....	14
2.3. Algoritmi de vedere computerizată.....	20
2.4. Metode de prelucrare a imaginii.....	23
2.5. Calibrarea camerelor video.....	25
2.5.1. Modele geometrice ale camerelor video.....	25
2.5.2. Parametrii camerei.....	27
2.5.3. Metode de calibrare a camerei video.....	31
2.6. Aplicații robotizate cu vedere artificială.....	36
2.6.1. Aplicații în industria de automobile.....	38
2.6.2. Aplicații în industria alimentară.....	40
2.6.3. Aplicații în industria electronică.....	42
2.7. Concluzii.....	43
3. OBIECTIVELE ȘI PLANUL DE CERCETARE.....	45
3.1. Obiectivele cercetării.....	45
3.2. Planul de activitate.....	46
4. APLICAȚIE DE INSPECTARE A SUPRAFEȚELOR.....	47
4.1. Introducere.....	47
4.2. Sistemul de inspectare.....	47
4.3. Aplicația în Matlab.....	48
4.4. Concluzii și rezultate.....	52
5. PROIECTAREA DE APLICAȚII ÎN LABVIEW PENTRU PROCESAREA IMAGINILOR ȘI CONTROLUL ROBOȚILOR.....	53
5.1. Aplicație de identificare a tipului de obiecte.....	53
5.2. Aplicație de vedere robotizată.....	58
5.2.2. Generalități.....	58

VI Cuprins

5.2.2. Aplicația propriu zisă	59
5.3. Concluzii.....	63
6. APLICAȚIE DE DETECTARE ȘI RECUNOAȘTERE A UNOR OBIECTE ÎN VEDEREA MANIPULĂRII ROBOTIZATE	65
6.1. Introducere.....	65
6.2. Calibrarea robotul SCORA ER-14.....	67
6.2.1. Aspecte generale	67
6.2.2. Modelarea geometrică	67
6.2.3. Modelul matematic al determinării matricei de trecere	72
6.3. Calibrarea camerei.....	77
6.4. Aplicația propriu-zisă.....	83
6.5. Concluzii.....	88
7. CONCEPEREA ȘI DEZVOLTAREA UNOR APLICAȚII INDUSTRIALE DE TIP.....	89
„PICK AND PLACE” ÎN MATLAB.....	89
7.1. Aplicație de detectare și recunoaștere a tipului de obiect aflat într-o poziție fixă, cunoscută	89
7.2. Aplicație de detectare și recunoaștere a tipului de obiect aflat într-o poziție necunoscută	98
7.2.1. Aplicația propriu-zisă	98
7.2.2. Modelul matematic de determinare a poziției rulmentului în buffer pe baza a patru puncte.	100
7.3. Aplicație de detectare, recunoaștere, identificare, sortare și manipulare a unor obiecte suprapuse.....	107
7.4. Concluzii.....	112
8. APLICAȚIE DE RECUNOAȘTERE ȘI PREHENSARE A OBIECTELOR	113
8.1. Introducere.....	113
8.2. Metodă de prehensare bazată pe simetrie.....	114
8.3. Algoritmul de vedere robotizată.....	119
8.4. Rezultate și concluzii	124
9. CONCLUZII, CONTRIBUȚII ORIGINALE ȘI DIRECȚII VIITOARE DE CERCETARE	127
9.1. Concluzii și contribuții originale	127
9.3. Direcții viitoare de cercetare	128
Bibliografie.....	129
Anexe.....	143
Anexa 1: Evoluția roboților industriali	143
Anexa 2: Codul sursă, în Matlab, pentru metoda Tsai de calibrare a camerelor video.	145
Anexa 3: Codul sursă, în Matlab, pentru metoda Faugeras de calibrare a camerelor video.	148

Anexa 4: Programul în Matlab pentru aplicația de inspectare a suprafețelor....	150
Anexa 5: Diagrama programului implementat în Labview, de control al unui robot cartezian, pe bază de imagini.	160
Anexa 6: Programul pentru generarea fișierului „Traiectorie.txt” necesar conducerii robotului.....	165
Anexa 7: Program, în Matlab, pentru detectarea obiectului pe bază de culoare în spațiul HSV	168
Anexa 8: Programul din controlerul robotului pentru aplicația cu paralelipiped	170
Anexa 9: Program pentru recunoașterea tipului de rulment pe bază de șablon	171
Anexa 10: Programul din controlerul robotului pentru aplicația de simetrie.....	174
Anexa 11: Lista publicațiilor personale publicate sub afiliere UPT.....	175

Lista de tabele

Tabelul 2. 1: Aspecte generale ale sistemelor de vedere artificială.	15
Tabelul 2. 2: Tipuri de format optic.	18
Tabelul 2. 3: Avantajele și dezavantajele sistemelor de vedere artificială.	19
Tabelul 2. 4: Algoritmul metodei Tsai de calibrare a unei camere video.	33
Tabelul 2. 5: Algoritmul metodei Faugeras de calibrare a unei camere video.	36
Tabelul 6. 1: Parametri Hartenberg-Denavit.	71
Tabelul 6. 2: Coordonatele punctelor necesare pentru calibrarea robotului.	74
Tabelul 6. 3: Parametri intrinseci ai camerei video LBCKSHL.	80
Tabelul 6. 4: Parametri extrinseci ai camerei video LBCKSHL.	82
Tabelul 6. 5: Etapele algoritmului de prelucrare a imaginii cu obiectul vizat.	86
Tabelul 6. 6: Rezultate obținute în urma rulării aplicației pe toate obiectele.	88
Tabelul 7. 1: Rulmenții utilizați în cadrul aplicației.	90
Tabelul 7. 2: Parametri intrinseci și extrinseci ai celor două camere CCD.	91
Tabelul 7. 3: Tabel cu șabloanele învățate pentru identificarea rulmenților.	95
Tabelul 7. 4: Rezultatele aplicației de detectare, recunoaștere, manipulare și depozitare a unui rulment aflat în poziție cunoscută.	97
Tabelul 7. 5: Rezultatele aplicației de detectare, recunoaștere, manipulare și depozitare a unui rulment aflat în poziție necunoscută.	106
Tabelul 7. 6: Rezultatele aplicației de detectare, recunoaștere, manipulare și depozitare a mai multor rulmenți aflați în poziții necunoscute.	112
Tabelul 8. 1: Parametri camerei web Philips SPZ 3000.	119

Lista de figuri

Figura 1. 1: Amplasarea domeniului de cercetare în raport cu alte domenii de activitate.....	3
Figura 1. 2: Configurațiile sistemelor VS.....	4
Figura 1. 3: Diagrama unui sistem servoing bazat pe imagine.....	5
Figura 1. 4: Diagrama unui sistem servoing bazat pe poziție.....	6
Figura 1. 5: Componenta unui sistem servoing.....	6
Figura 2. 1: Evoluția roboților industriali.....	10
Figura 2. 2: Diagramă cu roboții industriali achiziționați și operaționali la nivel mondial.....	10
Figura 2. 3: Structura generală a unui robot industrial.....	11
Figura 2. 4: Diagramă cu roboții industriali în principalele domenii de activitate.....	12
Figura 2. 5: Niveluri ale vederii artificiale.....	14
Figura 2. 6: Sistem de vedere artificial.....	15
Figura 2. 7: Parametri fundamentali ai unui sistem de vedere.....	16
Figura 2. 8: Senzorul CCD.....	17
Figura 2. 9: Variante arie senzor.....	17
Figura 2. 10: Clasificarea camerelor inteligente.....	19
Figura 2. 11: Etapele procesului de prelucrare a imaginilor.....	23
Figura 2. 12: Modelul „cameră de perspectivă”.....	26
Figura 2. 13: Reprezentarea grafică a parametrilor intrinseci și extrinseci.....	28
Figura 2. 14: Vederea artificială în diverse domenii de activitate.....	37
Figura 2. 15: Fixarea roților la automobile.....	38
Figura 2. 16: Sistemului de inspectare SOLIMAC.....	39
Figura 2. 17: Sistemul de măsurare pe bază de vedere artificială Hexagon.....	39
Figura 2. 18: Inspectarea poziției punților unui motor diesel.....	40
Figura 2. 19: Montarea automată a ușilor și geamurilor unui automobil.....	40
Figura 2. 20: Sortarea prăjiturilor.....	41
Figura 2. 21: Operația de plasarea în caserole a feliilor de carne.....	41
Figura 2. 22: Operația de tăiere și dezosare a unei găini.....	42
Figura 2. 23: Montarea componentelor electronice pe o placa de calculator.....	42
Figura 2. 24: Asamblarea pinilor într-un conector electric.....	43
Figura 4. 1: Posibile sisteme de prelevare imagini.....	48
Figura 4. 2: Interfața grafică.....	49
Figura 4. 3: Imaginea obținută după parcurgerea primului pas.....	50
Figura 4. 4: Interfața grafică cu rezultatul obținut.....	52
Figura 5. 1: Stand experimental.....	53
Figura 5. 2: Diagrama de stare a aplicației.....	54
Figura 5. 3: Cele mai reprezentative stări cu operațiile aferente.....	55
Figura 5. 4: Identificarea obiectelor.....	57
Figura 5. 5: Rezultatele procesului de identificare.....	57
Figura 5. 6: Stand experimental.....	59
Figura 5. 7: Șablon piesă 2D.....	60
Figura 5. 8: Reprezentarea grafică a traiectoriei generat.....	61
Figura 5. 9: Interfață grafica a aplicației pentru conducerea robotului.....	63
Figura 6. 1: Obiecte de jucărie din lemn, colorate.....	65
Figura 6. 2: Schema de principiu a echipamentelor și dispozitivelor utilizate, aflate în dotarea laboratorului CIM.....	66
Figura 6. 3: a) Robotul SCORA ER 14; b) Elementele componente.....	67

X Cuprins

Figura 6. 4: a) Dimensiunile de gabarit și dimensiunile elementelor componente; b) Spațiul de lucru.	68
Figura 6. 5: Reprezentarea grafică a cuplelor cinematice, elementelor și parametrilor geometrici specifici robotului SCORA ER 14.	69
Figura 6. 6: Reprezentare grafică a punctului M.	70
Figura 6. 7: Sistemele de referință și punctele necesare transformării de coordonate	73
Figura 6. 8: Poziționarea știftului în punctele de calibrare.	74
Figura 6. 9: Punctele Op, A și B în sistemul de referință „P”.	75
Figura 6. 10: Interfața grafică a toolbox-ului de calibrare a camerelor video.	77
Figura 6. 11: Șase imagini folosite în procesul de calibrare. Numerele indică ordinea de selectare a colțurilor.	77
Figura 6. 12: Zona de interes a unei imagini utilizate în calibrare.	78
Figura 6. 13: Reprezentare grafică a erorilor de re-proiecție de pixeli.	80
Figura 6. 14: Reprezentarea grafică a distorsiunilor asupra imagini.	81
Figura 6. 15: Situările șablonului de calibrare față de sistemul de referință al camerei video.	81
Figura 6. 16: Trecerea de la sistemul de referință al camerei la sistemul de referință atașat robotului.	82
Figura 6. 17: Standul experimental.	83
Figura 6. 18: Ordinograma aplicației de determinare a înălțimii, tipului și coordonatelor de prindere a obiectelor colorate.	87
Figura 7. 1: Standul experimental.	90
Figura 7. 2: Distorsiunile lentilelor celor două camere CCD.	91
Figura 7. 3: Ordinograma aplicației de determinare a tipului de rulment pe bază de șablon și a poziției acestuia în buffer.	93
Figura 7. 4: Algoritm de detectare a obiectului vizat.	94
Figura 7. 5: Rezultatul aplicării algoritmului de prelucrare a imaginilor.	96
Figura 7. 6: Ordinograma aplicației de determinare a tipului de rulment și a poziției acestuia în buffer pe baza unui model matematic.	99
Figura 7. 7: Rezultatele celor doi algoritmi de prelucrare a imaginilor.	100
Figura 7. 8: Sistemul de coordonate al buffer-ului.	101
Figura 7. 9: Configurația sistemelor de coordonate ale imaginilor în planul piesei.	102
Figura 7. 10: Ordinograma aplicației de detectare, recunoaștere, sortare, manipulare și depozitare a unor rulmenți suprapuși (partea 1).	108
Figura 7. 11: Ordinograma aplicației de detectare, recunoaștere, sortare, manipulare și depozitare a unor rulmenți suprapuși (partea 2).	109
Figura 7. 12: Detectarea rulmenților în imaginea 1.	110
Figura 7. 13: Extragerea rulmentului cu y minim și determinarea punctelor.	110
Figura 7. 14: Detectarea rulmenților în imaginea 2.	111
Figura 7. 15: Extragerea rulmentului și determinarea punctelor.	111
Figura 8. 1: Placa cu locașuri pentru cele patru piese.	114
Figura 8. 2: Piesele 2D.	114
Figura 8. 3: Standul experimental.	119
Figura 8. 4: Distorsiunile radiale și tangențiale ale lentilei camerei web.	120
Figura 8. 5: Pozițiile centrelor de greutate ale locașurilor pieselor pe placă.	120
Figura 8. 6: Ordinograma aplicației de determinare a punctelor de prehensare. ...	121
Figura 8. 7: Detectare obiect necunoscut.	122
Figura 8. 8: Axele de simetrie și punctele de prehensare determinate pentru cele patru piese.	123
Figura 8. 9: Aria obiectelor în pixeli.	123

Figura 8. 10: Complexitatea formei obiectelor.	124
Figura 8. 11: Perimetrul obiectelor în pixeli.	124
Figura 8. 12: Rezultatul rulării aplicației.....	125

1. INTRODUCERE

1.1. Generalități

Vederea este sistemul senzorial esențial, ce furnizează, informația calitativă și cantitativă necesară pentru a înțelege și percepe lumea înconjurătoare, pentru a interacționa cu mediul, cu scopul de a realiza acțiuni de manipulare a diverselor obiecte existente în jur. Din acest motiv, mulți cercetători, au încercat de-a lungul timpului să creeze și să implementeze sisteme de vedere artificială pe diverse echipamente sau mașini. Printre aceste echipamente se numără sistemele robotizate, care s-au dezvoltat în paralel cu tehnica și tehnologia informației și au ajuns în prezent la o mare diversitate clasificându-se în trei mari categorii:

1. Roboți industriali care apar undeva la începutul anilor 1960 și care se caracterizează prin existența unui mediu structurat cu obiecte situate în puncte de precizie și sarcini predefinite prin program;
2. Roboți de prestări servicii (1984);
3. Roboți personali (2003).

Tema abordată de lucrarea de față se referă doar la prima categorie de roboți. Robotul industrial, conform standardului 8373 din 1994 al Institutului de Standardizare Internațional (ISO) se definește ca „un manipulator controlat automat, reprogramabil, multifuncțional, programabil pe trei sau mai multe axe, care poate fi fix sau mobil și este utilizat în aplicații de automatizări industriale” (Austin 2005), (Mathia 2010).

Structura și sistemul senzorial al roboților industriali este asemănător cu cel al organismului uman. Sensorii cu care sunt dotați în general aceștia se clasifică în două categorii:

1. Sensorii interni care au rolul de a determina starea curentă a unui modul și anume în speță pozițiile/deplasări din cuplurile cinematice;
2. Sensorii externi care prelevează informații din mediul înconjurător, precum sensorii de proximitate sau de forță, ;

Cei mai importanți senzori externi cu care poate fi dotat un robot industrial modern, inteligent, care este capabil să analizeze modificările ce pot să apară în mediul înconjurător și să acționeze în consecință, sunt sensorii de forță și cei vizuali.

Vederea artificială reprezintă sistemul senzorial care îmbunătățește în cea mai mare măsură performanțele unui robot. Pentru ca robotul industrial să poată interacționa cu diferite medii de lucru fără a exista un contact direct, respectiv pentru ca să se poată adapta diferitelor medii de lucru și diferiților factori perturbatori ce pot să intervină pe parcursul activității sale, acesta trebuie să fie înzestrat cu un sistem de vedere artificială care să permită prelevarea informațiilor vizuale.

Elementul senzorial al acestui sistem este unul pasiv ce achiziționează informația din spațiul de lucru într-un mod non-invaziv. În momentul de față acești senzori se găsesc într-o gamă diversificată, sunt destul de performanți din punct de vedere al calității și cantității informației prelevate, și au un preț de cost redus, fapt ce face ca aceștia să fie utilizați tot mai des în operațiile pe care roboții le pot realiza.

Aceste sisteme de vedere artificială presupun următoarele îmbunătățiri față de sistemul de vedere uman:

- Pot utiliza rezoluții foarte mari;
- Pot utiliza întreg spectrul electromagnetic;
- Pot identifica fiecare culoare în parte;
- Pot diminua timpul de răspuns;
- Pot prelua imagini din diverse zone unde omul nu are acces.

Informațiile vizuale prelevate de către aceste sisteme de vedere artificială, pentru a putea fi folosite de către robot în scopul navigării și interacționării lui cu mediul înconjurător, respectiv pentru a putea realiza diverse operații sau aplicații, trebuie să fie în prealabil procesate. Metodele și tehnicile ce țin de această operație aparțin domeniului vederii computerizate și ele presupun prelucrarea, analiza și înțelegerea informațiilor prelevate din lumea reală sub forma de imagini și transformarea lor în informații sub formă numerică sau simbolică ce pot fi ulterior utilizate de către sistemul de control robotului.

Avantajele pe care le presupune integrarea unui sistem de vedere artificială într-un sistem robotizat și implementarea algoritmilor specifici de vedere computerizată sunt:

- Productivitate crescută;
- Diminuarea sau compensarea erorilor;
- Precizie ridicată;
- Creșterea calității produselor;
- Reducerea costului produselor.

Pe lângă acestea, un robot prevăzut cu un sistem de vedere artificial și algoritmi de vedere computerizată poate realiza în mod semi-automat sau automat operații mai complexe în comparație cu un robot clasic și poate, de asemenea, lucra în medii periculoase pentru om fără ca performanțele acestuia să scadă.

1.2. Sisteme servoing vizuale

„Vedere Robotizată” sau „Viziunea Robotizată” (Robot Vision) se ocupă cu integrarea echipamentelor și dispozitivelor unui sistem de vedere artificial (artificial vision system) și implementarea unor algoritmi de vedere computerizată (computer vision) într-un sistem robotizat, astfel încât acesta să fie capabil să realizeze într-un mod cât mai flexibil diverse aplicații într-un mediu structurat sau nestructurat. Acest domeniu reprezintă, practic, o ramificație în zona roboticii a sferei de cercetare care se ocupă cu înzestrarea tuturor mașinilor și sistemelor automate cu sisteme de vedere artificială (Machine Vision). Ariile de cercetare înrudite cu care acest domeniu se întrepătrunde sunt ilustrate schematic în figura 1.1 (Ude, 2010).

Subdomeniul viziunii robotizate care se ocupă în mod concret doar cu cercetarea, proiectarea, dezvoltarea sistemelor, metodelor/tehnicilor și aplicațiilor de control al roboților pe baza informației obținute de la senzorii vizuali poartă numele de „Controlul Roboților pe Baza Vederii Artificiale” sau „Servoing Vizual” (Vision - Based Robot Control sau Visual Servoing - VS).

Scopul acestui subdomeniu este de a utiliza informația vizuală prelevată de la un senzor optic sau un sistem de senzori optici amplasat în mediul de lucru sau pe robot, pentru a controla poziția și orientarea robotului în raport cu un sistem de referință atașat mediului sau în raport cu obiecte ce se află în mediu.

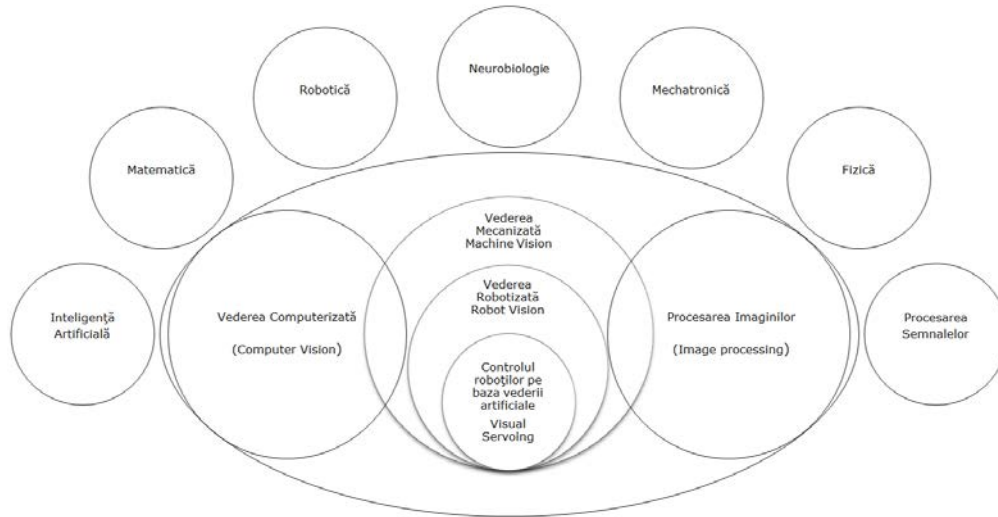


Figura 1. 1 Amplasarea domeniului de cercetare în raport cu alte domenii de activitate.

Sistemele servoing vizuale (VS) sunt prezentate în literatura de specialitate într-o mare varietate de forme (Tell, 2002), ceea ce face ca pentru diferențierea lor, aceste sisteme să fie clasificate pe baza unor caracteristici în următoarele categorii:

1. Din punct de vedere al configurației senzorilor optici (video) figura 1.2:
 - a. Sisteme servoing vizuale cu configurație „ochi pe mână” (eye – in – hand systems). Aceste sisteme se caracterizează prin faptul că una sau mai multe camere video sunt prinse fizic de robot. În cazul unui robot industrial, în general, sunt atașate de efectorul final al acestuia, dar ele pot fi de asemenea prinse și de un alt element al robotului;
 - b. Sisteme servoing vizuale cu configurație „ochi la mână” (eye – to – hand systems), se definesc prin camere amplasate arbitrar în spațiul de lucru. Camerele vizualizează în permanență obiectul țintă, un obiect fix sau ambele (Allen, 1993);
 - c. Sisteme servoing vizuale cu configurație „mixtă” (multiple on/off board cameras systems) sunt sisteme în care camerele video sunt atașate atât pe robot cât și în spațiu de lucru (Kragic, 2003).

Prima variantă (eye-in-hand) are avantajul unei bune precizii de determinare a poziției și orientării obiectului țintă în spațiul de lucru. Acest lucru este posibil datorită creșterii rezoluției obiectului în imagine în urma apropierii camerei video de țintă. Aceasta variantă reprezintă abordarea cea mai comună, care permite robotului o libertate ridicată. Pentru implementare este necesar să se realizeze o singură dată calibrarea sistemului, respectiv determinarea matricei de transformare dintre efectorul final al robotului și camera video datorită faptului că cele două componente sunt strict conectate, respectiv relația dintre acestea este definită și rămâne neschimbată (Corke, 1996), (Vona, 2010), (Copot, 2011).

Cea de-a doua variantă (eye-to-hand) este utilizată mai rar deoarece prezintă un grad de complexitate mai ridicat. Acest lucru se datorează operației de

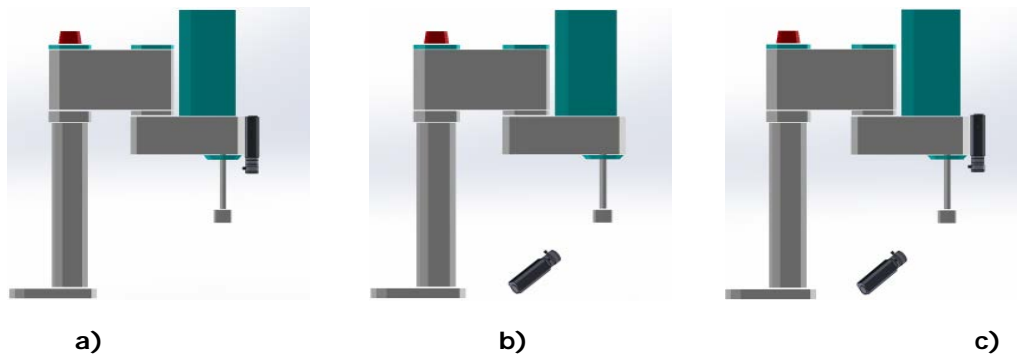


Figura 1. 2: Configurațiile sistemelor VS: a) sistem servoing „ochi pe mână”; b) sistem servoing „ochi la mână”; c) sistem servoing „mixt”.

calibrare a camerei și modului de control care se realizează pe baza unor variabile din spațiul 3D (Vona 2010).

2. În funcție de numărul de camere video utilizate:
 - a. Sisteme servoing monoculare (monocular systems) (Yang, 2007);
 - a. Sisteme servoing binoculare (binocular systems) (Cowan, 2002).
3. Din punct de vedere al obiectului vizat:
 - a. Sisteme servoing care au ca țintă vizuală doar obiecte din mediul de lucru se numesc sisteme „obiectiv - buclă deschisă” (endpoint – open – loop systems respectiv EOL);
 - b. Sisteme servoing care urmăresc atât obiecte din mediul de lucru cât și punctul caracteristic al efectorului final al robotului se numesc sisteme „obiectiv - buclă închisă” (endpoint – closed – loop systems respectiv ECL).

Avantajul variantei b („obiectiv - buclă închisă”) față de prima variantă („obiectiv - buclă deschisă”) este dat de precizia ridicată a acestui tip de sistem deoarece nu depinde, ca în primul caz, de corectitudinea și acuratețea cu care s-a realizat calibrarea robotului și a camerei. Acest tip de sistem nu depinde practic de erorile pe care le introduce robotul sau camera. Dezavantajul constă în faptul că ambele ținte, atât obiectul vizat cât și punctul caracteristic al robotului, trebuie urmărite în mod constant ceea ce duce la creșterea gradului de complexitate al algoritmului de vedere artificială (Fuentes-Pacheco, 2009).

4. Din punct de vedere al schemei de control al robotului:
 - a. Sisteme servoing cu control vizual direct (direct visual control systems). Sunt sisteme la care feedback-ul vizual este utilizat în mod direct pentru a realiza controlul cuplelor cinematice ale robotului, lucru ce face ca sistemele de vedere artificială utilizate să fie foarte rapide, deoarece viteza acestora coincide cu viteza de control (Pomares, 2011).
 - b. Sisteme servoing cu control vizual indirect (indirect visual control systems). Sunt acele sisteme la care feedback-ul vizual nu este utilizat în mod direct la nivelul acționării cuplelor cinematice ci este ulterior procesat, fapt ce le face mai lente în comparație cu celelalte. Aceste sisteme la rândul lor se împart în două subcategorii:

- i. Sisteme servoing dinamice de tip „privește și acționează” (dynamic look – and – move systems), sunt acele sisteme la care punctul țintă al traiectoriei robotului este actualizat în mod continuu pe parcursul mișcării acestuia;
 - ii. Sisteme servoing statice de tip „privește și acționează” (static look – and – move systems) sunt sistemele la care poziția punctului țintă este stabilită înainte de a se comanda mișcarea robotului.
5. În funcție de informația vizuală utilizată:
- a. Sisteme servoing bazate pe imagini, denumite și sisteme de tip 2D (Image – based Visual Servoing systems sau IBVS) (Kim, 2006);
 - b. Sisteme servoing bazate pe poziție, denumite și sisteme de tip 3D (Position – based Visual Servoing systems sau PBVS) (Cherubini, 2008). Acestea se regăsesc în două categorii:
 - i. Sisteme servoing bazate pe poziție de tip „punct” sau „trăsătură” (point-based PBVS sau features-based PBVS);
 - ii. Sisteme servoing bazate pe poziție de tip „situare” (pose-based PBVS) (Marchand, 2005).
 - c. Sisteme servoing hibride denumite și sisteme de tip 2½D (hybrid systems) (Gans, 2003).

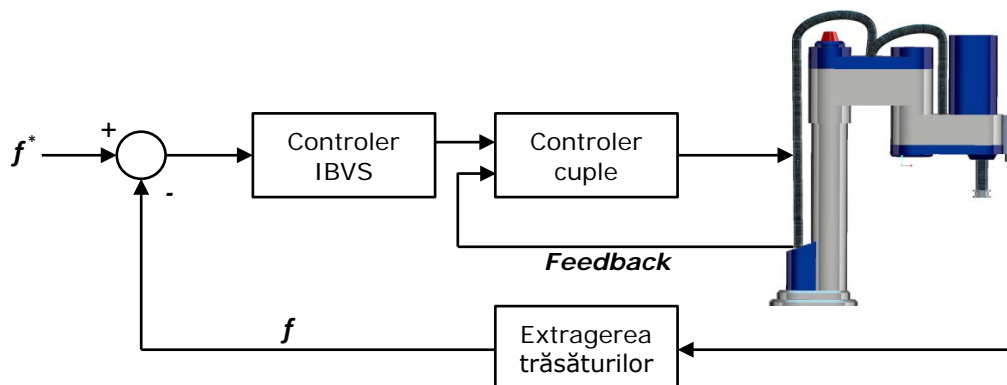


Figura 1. 3: Diagrama unui sistem servoing bazat pe imagine (f este vectorul trăsăturilor extrase din imagine, f^* vectorul trăsăturilor de referință).

Sistemele servoing bazate pe imagine utilizează informațiile 2D din imagini pentru a realiza controlul mișcării robotului. Practic acest tip de sisteme utilizează o metodă care pleacă de la niște parametri de referință și a cărei scop este obținerea unei erori minime între acești parametri și parametrii extrași din imagine (Remazeilles, 2004), (Chaumette și Hutchinson, 2006).

Avantajele acestor sisteme sunt:

- Timpul de procesare al algoritmului este redus;
 - Probabilitatea apariției unor probleme de vedere computerizată este mai mică.
- Dezavantajul principal al sistemelor este:
- Necesitatea existenței a trei puncte necolineare pentru realizarea legii de control a sistemului.

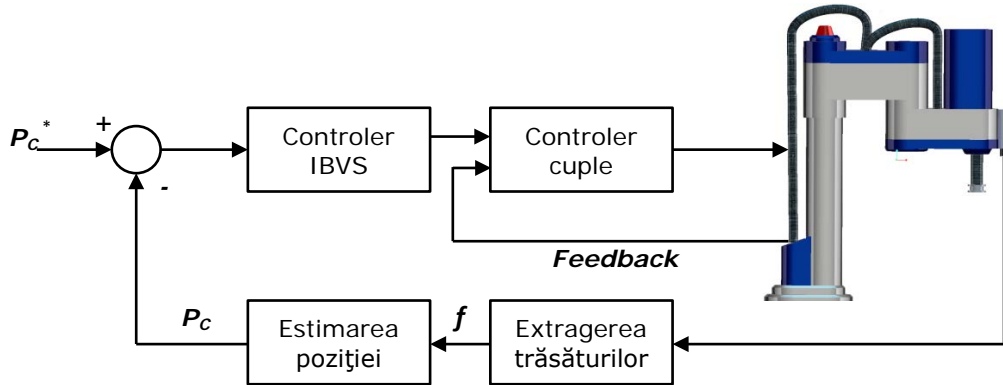


Figura 1. 4: Diagrama unui sistem servoing bazat pe poziție (f este vectorul trăsăturilor extrase din imagine, f^* vectorul trăsăturilor de referință, P situare estimată, P_c^* situarea dorită).

Sistemele servoing bazate pe poziție se referă la controlul robotului pe baza informațiilor de natură 3D. Situația obiectului țintă se determină utilizând informațiilor extrase din imagini, care ulterior sunt raportate la informațiile geometrice ale obiectului și la informațiile cunoscute despre cameră, respectiv poziția și orientarea acesteia în mediul de lucru (Nomura, 2000).

Avantajele acestor sisteme sunt:

- Precizie ridicată;
- Sisteme robuste.

Dezavantajele sistemelor sunt:

- Necesitatea existenței unor cunoștințe despre obiect;
- Calcul laborios (în sistemul cartezian).

Sistemele servoing de tip hibrid sau 2½D sunt de fapt o combinație a celor două tipuri de sisteme clasice amintite anterior. Acestea încearcă să păstreze doar avantajele pe care cele două tipuri le presupun, excluzând neajunsurile lor, astfel încât nu utilizează informațiile de natură 3D despre obiect (ca la PBVS), iar legea de control a robotului nu se realizează pe baza informațiilor 2D (ca la IBVS) (Rao, 2003)

În urma clasificării sistemelor servoing vizuale, s-a putut observa că indiferent de tipul de sistem ales, nu lipsesc din structura acestuia trei componente esențiale care sunt prezentate schematic în figura 1.5 (Kragic, 2003)

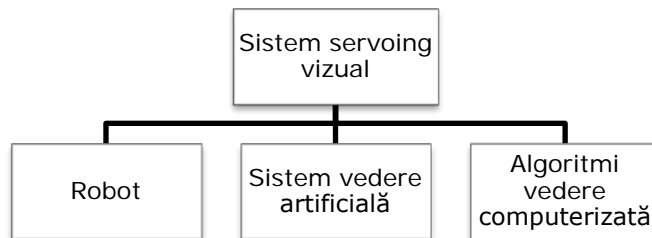


Figura 1. 5: Componența unui sistem servoing

1.3. Structura și conținutul tezei de doctorat

Teza de doctorat intitulată „Contribuții la utilizarea prelucrării automate a imaginii la roboți de manipulare” se întinde pe 187 de pagini și este structurată pe 9 capitole. Teza mai cuprinde o bibliografie de 187 de titluri în marea lor majoritate de dată recentă, 87 de figuri, 18 tabele, precum și 11 anexe.

Capitolul 1, „Introducere”, tratează aspecte generale cu privire la utilizarea vederii artificiale în domeniul roboticii, o clasificare a sistemelor de servoing vizual, avantajele acestora și prezintă succint structura tezei de doctorat.

Capitolul 2, „Stadiul actual”, prezintă o sinteză bibliografică cu privire la domeniul de activitate în care se încadrează tema de cercetare, respectiv aspecte generale cu privire la roboții industriali, tipuri de roboți utilizați frecvent în aplicații de servoing vizual și avantajele acestora. De asemenea se prezintă noțiuni cu privire la sistemele de vedere artificială, componența acestora, metode de calibrare a camerelor video, algoritmi de vedere coputerizată utilizați frecvent în aplicații de vedere robotizată, metode de prelucrare a imaginilor ce stau la baza acestor algoritmi și aplicații de vedere robotizată existente la ora actuală în industrie.

Capitolul 3, „Obiectivele și planul de cercetare”, schițează principalele direcții de cercetare ale prezentei teze, motivația abordării temei, obiectivele și planul de cercetare propus.

Capitolul 4, „Aplicație de inspecție a suprafețelor”, prezintă o aplicație de vedere robotizată concepută pentru realizarea unei operații de inspecție ce presupune detectarea, identificarea și determinarea tipului de fisură sau crăpătură de la nivelul suprafeței analizate.

Capitolul 5, „Proiectarea de aplicații în LabView pentru procesarea imaginilor și controlul roboților” descrie modalitatea de elaborare a două aplicații, una de servoing vizual și cealaltă de vedere computerizată, utilizând mediul de lucru LabView și camere video industriale de tip „smart camera”.

Capitolul 6, „Aplicație de detectare și recunoaștere a unor obiecte în vederea manipulării robotizate” tratează detectarea și recunoașterea de obiecte pe bază de vedere artificială și prezintă utilizarea unei algoritmi, dezvoltat de autor, în cadrul unei aplicații de servoing vizual al cărui scop îl reprezintă manipularea unor obiecte colorate pe baza unei caracteristici geometrice.

Capitolul 7, „Conceperea și dezvoltarea unor aplicații industriale de tip „pick and place” în Matlab”, prezintă implementarea pe o structură robotizată, a trei aplicații industriale concepute și dezvoltate pentru identificarea, manipularea și sortarea unor piese industriale.

Capitolul 8, „Aplicație de recunoaștere și prehensare a obiectelor” tratează implementarea într-o aplicație de vedere robotizată, a unei noi metode de determinare a punctelor de prehensare optime, în cazul unor obiecte necunoscute, pentru realizarea unei manipulări stabile, de către roboții industriali.

Capitolul 9, „Concluzii, contribuții originale și direcții viitoare de cercetare” prezintă concluziile finale, contribuțiile originale și perspectivele privind dezvoltarea cercetărilor în domeniu.

2. STADIUL ACTUAL

În cadrul acestui capitol, se prezintă, o sinteza bibliografică cu privire la domeniul de activitate în care se încadrează tema de cercetare abordată, respectiv, aspecte generale cu privire la roboții industriali și sisteme de vedere artificială. Se tratează de asemenea metode de calibrare a camerelor video, algoritmi de vedere computerizată utilizați frecvent în aplicațiile de vedere robotizată, metode de prelucrare a imaginilor și aplicații de vedere robotizată existente la ora actuală în industrie.

2.1. Roboți industriali

În urma studierii literaturii de specialitate, se poate afirma că mai multe instituții din întreaga lume, precum JIRA (Japan Industrial Robot Association) sau RIA (Robot Institute of America), au încercat să dea o definiție cât mai clară și acoperitoare cu privire la semnificația termenului de robot industrial (Kovacs, 2000), (VISION, 2012).

Varianta cea mai acceptată și utilizată, este cea dată de Institutului de Standardizare Internațional (ISO), care definește robotul industrial ca „un manipulator controlat automat, reprogramabil, multifuncțional, programabil pe trei sau mai multe axe, care poate fi fix sau mobil și este utilizat în aplicații de automatizări industriale” (Austin, 2005), (Mathia, 2010).

Știința care se ocupă cu studiul, construcția și utilizarea roboților poartă numele de „robotică”. Această știință reprezintă un vast domeniu interdisciplinar, ce utilizează noțiuni din aria ingineriei mecanice, electrice și știința calculatoarelor.

Roboții industriali au evoluat foarte mult (vezi anexa 1) de la primul robot cu acționare hidraulică, proiectat în anul 1954 de George Devol, și comercializat ulterior în 1961, până la roboții moderni, din ziua de astăzi (figura 2.1), flexibili, prevăzuți cu sistem de vedere artificială și un controler inteligent, cum este robotul industrial Frida de la firma suedeză ABB (Kovacs, 2000), (Mathia, 2010), .

Demn de menționat, este și faptul că, în România apare primul robot industrial „Rip 6.3” de tip ASEA, în 1980 construit la întreprinderea Automatica București sub coordonarea I.C.P.T.C.M. București în cadrul unui program național (Iordăchiță 1997).

În anul 1982, la Timișoara, în cadrul institutului Politehnic „Traian Vuia” apare primul robot de concepție integrală românească „REMT-1” realizat de către colectivul de robotică condus de regretatul profesor Francisc Kovacs. Acest robot a fost folosit la Electromotor Timișoara în cadrul unei celule de prelucrare prin așchiere a unei familii de arbori (Richard, 2005), (Kruachottikul, 2012).

În 1987 Institutul Politehnic „Traian Vuia” Timișoara și IMMUM Baia Mare realizează un manipulator sincron – MS 500 expus la TIB '87 și distins cu Medalia de aur iar anul următor realizează un robot portal „ROPOS 50” Expus la TIB '88 și distins cu tot Medalia de aur (Iordăchiță, 1997).

(Romeo, 1996) prezintă robotul ca „o componentă evoluată de automatizare, ce combină electronica de tip calculator, cu sisteme avansate de acționare mecanică, pentru a realiza, în final un echipament independent de mare

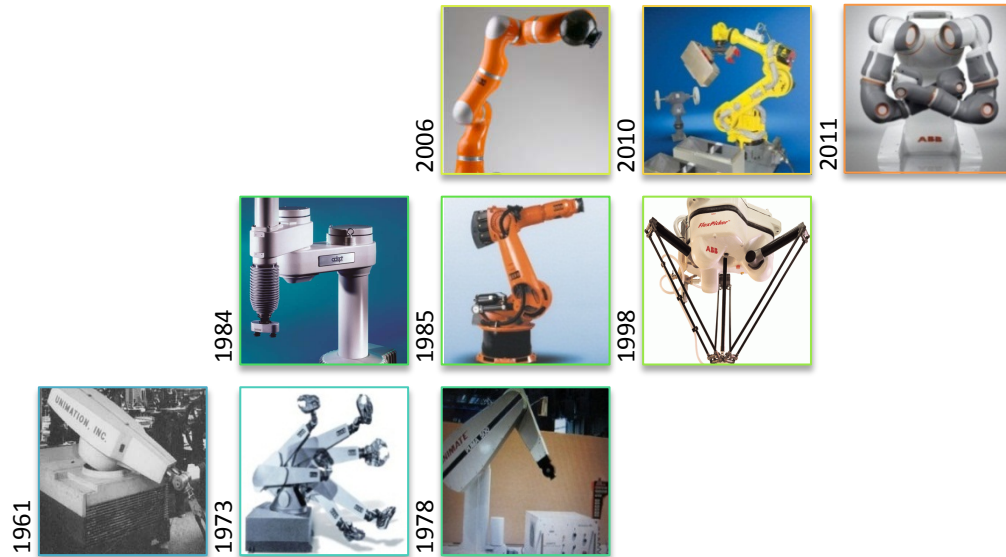


Figura 2. 1: Evoluția roboților industriali.

flexibilitate”. Pe baza acestei definiții, se poate afirma că, robotul este un produs „mecatronic” (Romeo, 1996), (VISION 2012).

În prezent, acest produs mecatronic este în continuă dezvoltare, fapt ce duce la creșterea numărului și varietății acestora. O valoare aproximativă a roboților industriali funcționali la nivel mondial în diverse domenii de activitate și achiziționați anual este prezentată schematic în diagrama din figura 2.2.

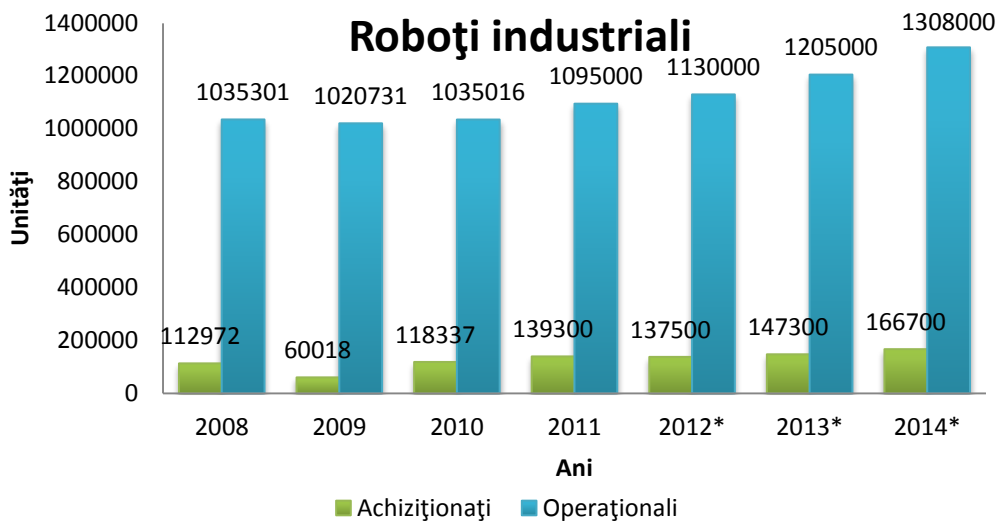


Figura 2. 2: Diagramă cu roboții industriali achiziționați și operaționali la nivel mondial (sursa: IFR Statistical Department; * estimare).

Structura generală a unui robot industrial cuprinde (figura 2.3):

Sistemul de comandă al robotului este reprezentat de ansamblul echipamentelor și dispozitivelor de calcul (procesoare, microprocesoare, s.a.) care preia informație de la sistemul senzorial și de la operatorul uman și transmite semnale de comandă sistemului de acționare.

Sistemul de acționare constă în acele componente ale robotului industrial (motoare, transmisii mecanice s.a.) care transformă un anumit tip de energie (de natura pneumatică, hidraulică sau electrică) în energie mecanică.

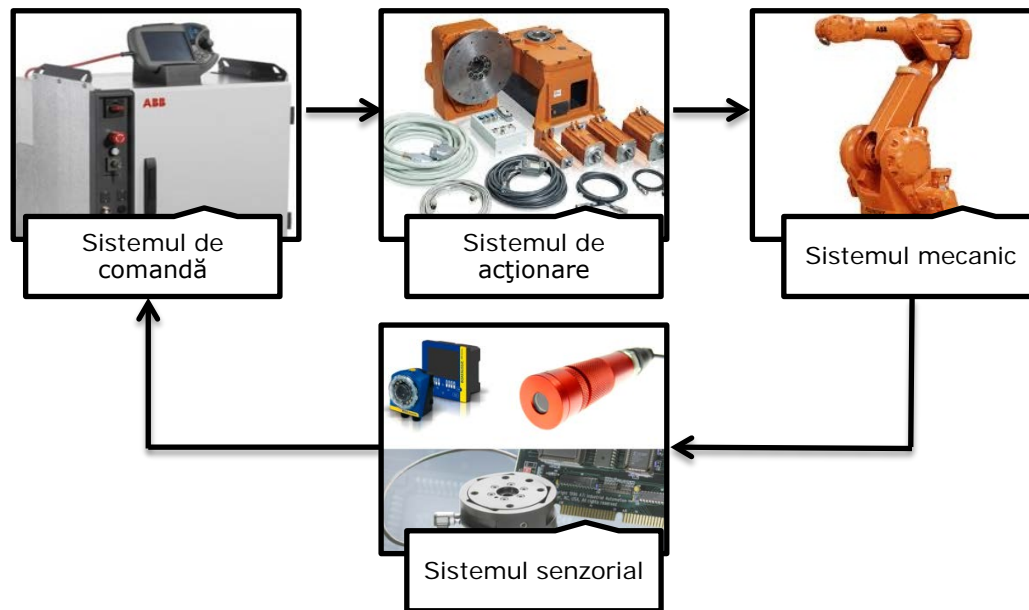


Figura 2. 3: Structura generală a unui robot industrial.

Sistemul mecanic al robotului industrial se identifică cu robotul propriu-zis respectiv cu structura mecanică a acestuia și este alcătuit din mai multe elemente legate între ele prin cuple cinematice care asigură mișcarea efectorului final al robotului.

Sistemul senzorial al robotului industrial este reprezentat de totalitatea senzorilor (de tip vizual, tactil, sonor, ș.a.) și traductoarelor (de deplasare, forță, presiune, ș.a.) ce prelevează informații cu privire la mediul exterior al robotului sau la starea internă de funcționare a robotului.

Sistemul mecanic al robotului este compus la rândul său din următoarele subsisteme:

- Dispozitivul de ghidare (partea articulată a robotului) care asigură realizarea mișcărilor efectorului final;
 - o Mecanismul generator de traiectorie (MGT) numit și braț este lanțul cinematic deschis care asigură poziția terminalului;
 - o Mecanismul de orientare (MO) numit și încheietură este lanțul cinematic deschis care asigură orientarea terminalului.
- Dispozitivul de prehensiune numit și organ terminal este un dispozitiv de cuplare ce permite robotului să apuce piesa.

Această mulțime de roboți industriali este clasificată, în literatura de specialitate, după mai multe criterii (Iordăchiță 1997), (Telea 2002), (Robotics 2005), (Zisopol, 2006), (Rădulescu, 2008).

O clasificare a roboților industriali în funcție de principalele domenii de activitate este prezentată în figura 2.4.

Roboți industriali

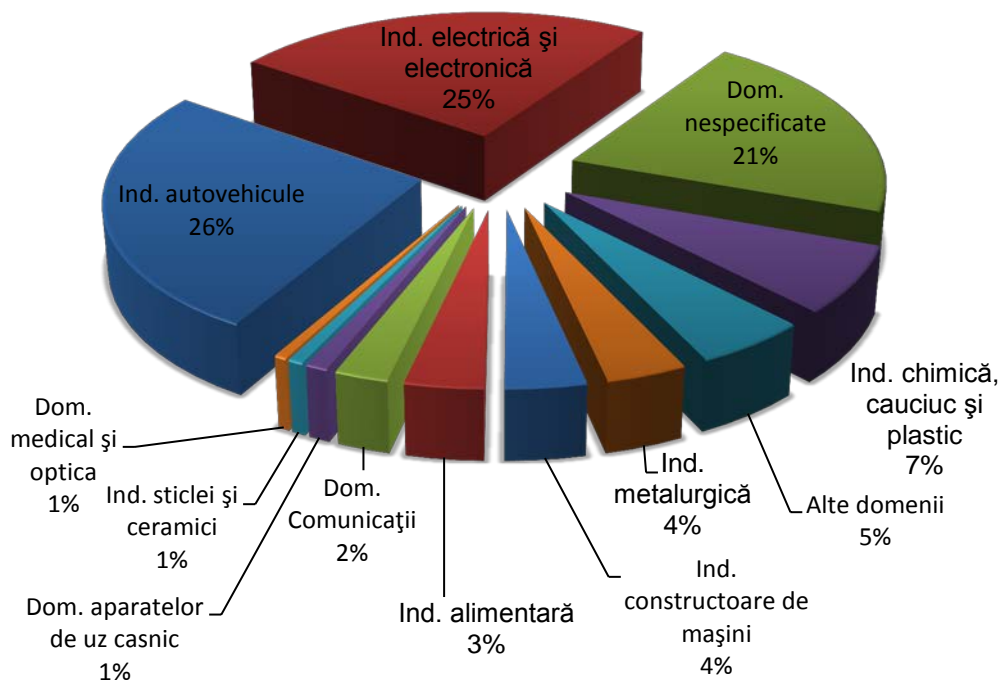


Figura 2. 4: Diagramă cu roboții industriali în principalele domenii de activitate

O clasificare a roboților industriali în funcție de tipul procesului tehnologic respectiv de tipul aplicației efectuate conform cu (Romeo 1996), (Zisopol 2006), (Rădulescu, 2008) este constituită din:

- Roboți pentru manipulare sau deservire a mașinilor unelte (38%):
 - o Operații pentru turnare metalică;
 - o Operații pentru deformare plastică;
 - o Operații de ștanțare, presare și forjare;
 - o Operații de alimentarea automată cu piese, scule sau dispozitive a mașinilor unelte;
 - o Operații de control automat al dimensiunilor și formei piesei de lucru;
 - o Operații de împachetare și ambalare;
 - o Operații de încărcare și descărcare a conveioarelor;
 - o Operații de transport și depozitare/înmagazinare;

- Roboți utilizați în procese tehnologice de acoperiri superficiale (vopsire, decapare 4%);
- Roboți pentru procese tehnologice de sudare și lipire (29%);
- Roboți pentru procese tehnologice de prelucrări mecanice (așchiere) (2%);
- Roboți pentru procese tehnologice de asamblare și dezasamblare (10%);

Roboții industriali se diferențiază pe baza unor caracteristici și coeficienți de performanță. Principalele caracteristici ale acestor roboți sunt (Zisopol, 2006):

- Dimensiunile gabaritice ale robotului industrial;
- Gradul de mobilitate;
- Capacitatea de ridicare;
- Precizia de poziționare;
- Viteza de deplasare;
- Numărul gradelor de libertate;
- Spațiul de lucru;
- Valoarea deplasării realizate;
- Repetabilitatea realizării unei poziții;
- Capacitatea sistemului de comandă și control.

Coeficienții de performanță sunt dați de trei indici ce se calculează utilizând volumul spațiului de lucru (V_{SP}), masa robotului (M_R), masa obiectului manipulat (M_{OB}) și precizia de poziționare (P_{POZ}):

- Indicele de eficiență și suplețe: $k1 = \frac{V_{SP}}{M_R}$
- Indicele capacității de manipulare: $k2 = \frac{M_{OB}}{M_R}$
- Indicele global: $k3 = \frac{V_{SP} * M_{OB}}{M_R * P_{POZ}}$

Utilizarea unui robot în industrie conduce la o serie de avantaje dar și la dezavantaje:

- Creșterea calității produselor: se datorează faptului că robotul industrial poate realiza operații repetitive cu precizie și acuratețe ridicată;
- Eficiență: este dată de faptul că un robot poate realiza o operație tehnologică cu o viteză foarte mare fără oprire, fapt ce conduce la creșterea producției;
- Siguranță: Utilizarea robotului în industrie conduce la un grad ridicat de siguranță al omului datorită faptului că acestuia îi revine doar rolul de supraveghetor, fiind scutit de realizarea unor activități grele din punct de vedere fizic sau lucru în medii toxice ce prezintă un pericol pentru sănătate.
- Economie: se referă la faptul că un robot industrial este mai rapid, ceea ce implică un timp de producție scăzut și la faptul că este mai precis, ceea ce face ca numărul produselor rebut să fie scăzut.
- Cheltuieli ridicate: costurile pentru achiziție, mentenanță și instruirea unui personal sunt ridicate;
- Complexitatea operațiilor: gradul de adaptabilitate a robotului la diverse sarcini industriale este limitat datorită faptului că acesta nu poate realiza decât acele operații pentru care a fost proiectat.
- Rezolvarea problemelor: se referă la incapacitatea robotului de a găsi soluții în anumite situații ceea ce îl face dependent de gândirea, creativitatea și inovația omului.

2.2. Sisteme de vedere artificială

Vederea artificială (V.A.) se poate defini ca un proces ce permite achiziționarea imaginilor, din mediul înconjurător, extragerea informației utile din imagini și procesare ei (Gonzalez, 2002). Acest proces în general presupune parcurgerea următoarelor etape:

- *Achiziția imaginii*;
- *Prelucrarea primară* are drept scop îmbunătățirea calității imaginii, amplificarea contrastului și reducerea sau eliminarea artefactelor și zgomotului;
- *Segmentarea* permite realizarea operației de descompunere a imaginii în diferite obiecte de interes;
- *Descrierea* este procesul prin care informația necesară separării obiectelor este redată prin intermediul diferitelor caracteristici și trăsături.
- *Recunoașterea* este etapa prin care se realizează identificarea și clasificarea obiectelor pe baza trăsăturilor;
- *Interpretarea* este procesul în care obiectelor recunoscute le sunt atribuite diferite semnificații.

Etapele descrise anterior, în funcție de gradul de complexitate, se grupează în trei categorii ce sunt ilustrate în figura 2.5.

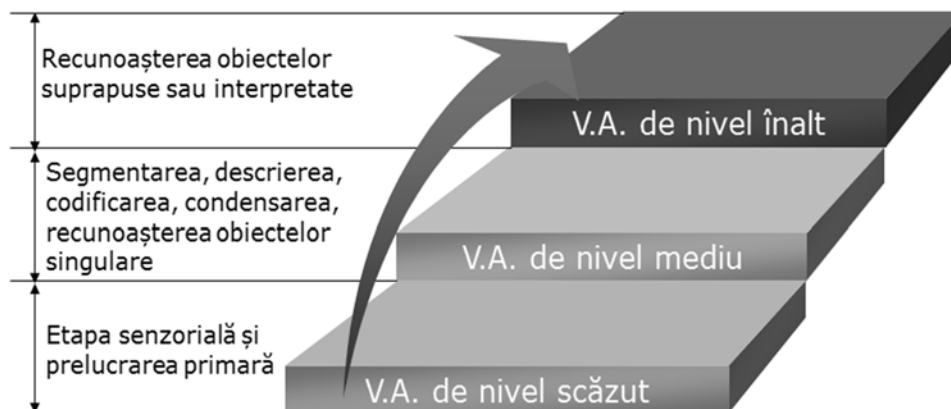


Figura 2. 5: Niveluri ale vederii artificiale.

Implementarea acestui proces, a presupus realizarea unor sisteme de vedere artificială. Crearea și dezvoltarea lor s-a efectuat pe baza unei analogii cu sistemele biologice, în general, respectiv cu sistemul uman, în particular. Structura unui sistem de vedere artificial este compusă în principiu din:

- Una sau mai multe camere video, cu sistem optic adecvat și cu elemente constitutive precum tubul vidat sau senzori de imagine de tip CMOS sau CCD cu electronica lor aferentă;
- Interfața pentru digitizarea imaginilor;
- Unitate de procesare;
- Intrări și ieșiri hardware (Input / Output) sau rețele de comunicare pentru a raporta rezultatele;

- Lentile;
 - Sursă de lumină (led-uri, lampă fluorescentă sau halogenă);
 - Un program capabil să proceseze imaginile și să detecteze caracteristicile esențiale;
- Pe lângă acestea un sistem de vedere artificială mai poate să conțină:
- Senzor de sincronizare pentru detectarea părților componente, declanșarea înregistrării imaginilor și procesării;
 - Dispozitive pentru a sorta și elimina articolele cu defecte.

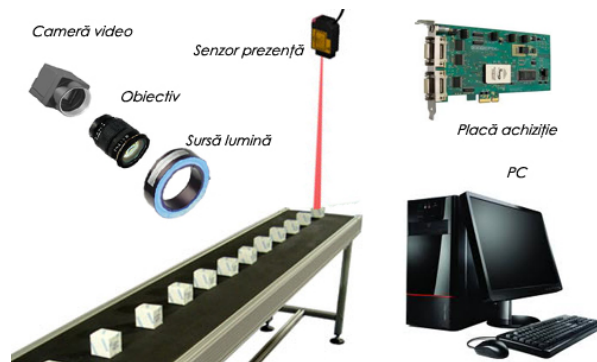


Figura 2. 6: Sistem de vedere artificial.

O clasificare a sistemelor de vedere artificiale ce se utilizează în industrie poate fi:

- Sisteme de vedere artificială cu aplicabilitate generală, bazate pe un calculator personal (un PC);
- Sisteme de vedere artificială cu aplicabilitate specifică, compacte;
- Sisteme de vedere artificială bazate pe rețele de camere video.

Aceste sisteme de vedere artificială variază între ele din punct de vedere constructiv și funcțional. Cele mai importante aspecte de care trebuie ținut cont la proiectarea, construcția sau achiziționarea unui astfel de sistem sunt sintetizate în tabelul 2.1:

Cameră video	Unitatea de procesare	Sursa de lumină
Tipul camerei:	Puterea de calcul.	Tipuri surse de iluminat;
- monocromă;	Capacitatea de stocare.	Modalități de iluminare:
- color;	Memoria de lucru.	- difuză;
Tipul semnalului:	Tipul softului de vedere computerizată.	- direcționată;
- analogic	Tipul plăcii de captură:	- laterală;
- digital;	- Porturi de intrare\ieșire;	- polarizată;
Tipul obiectivului:	- Rata de eșantionare;	- structurată.
- superangulare;	- Precizia;	
- teleobiective;	- Zgomot;	
- focală normală;		
- "fish-eye";		
- "tilt&shilt"		
Tipul senzorului vizual.		

Tabelul 2. 1: Aspecte generale ale sistemelor de vedere artificială.

În unele cazuri toate dispozitivele enumerate mai sus sunt combinate într-unul singur numit cameră inteligentă.

Parametri fundamentali ai unui astfel de sistem sunt (Edmund_Optics 2012), (Gruescu, 2012).

- Câmpul vizual (field of view - FOV) se definește ca fiind zona vizibilă a mediului sau obiectului ce este prelevată de senzorul vizual;
 - Profunzimea câmpului (depth of field - DOF), reprezintă adâncimea maximă a obiectului ce poate fi focusată;
 - Distanța de lucru (working distance - WD) este distanța de la lentilă până la obiectul sau suprafața inspectată;
 - Rezoluția (resolution) reprezintă distanța minimă dintre două entități (puncte) ale obiectului inspectat ce se pot distinge separat;
 - Deschiderea sau apertura obiectivului, caracteristică ce determină cantitatea de lumină captată de senzor;
 - Mărimea senzorului (sensor size) dimensiunea zonei active a senzorului măsurată orizontal;
- Alți factori pot fi:
- Mărirea primară (primary magnification - PMAG) se definește ca raportul dintre aria senzorului și câmpul vizual;
 - Timpul de expunere, reprezintă o măsură a vitezei obturatorului (*shutter speed*) ce se măsoară în secunde sau fracțiuni de secundă;

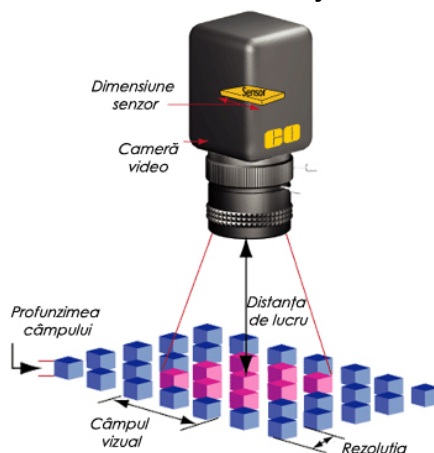


Figura 2. 7: Parametri fundamentali ai unui sistem de vedere (Edmund_Optics, 2012).

Prin urmare, în conformitate cu cele menționate anterior, se poate deduce că cea mai importantă componentă a oricărui sistem de vedere artificial este camera video. Aceasta este prevăzută cu un senzor vizual ce convertește lumina în semnal electric pe baza efectului fotoelectric.

„Senzorul vizual este un dispozitiv optoelectronic sensibil la componenta radiometrică și spectrală a radiației electromagnetice, în domeniul vizibil. El realizează prelevări statice sau dinamice ale unei imagini colorate sau în nuanțe de gri. Funcție de tehnologia de stocare și redare, imaginea poate fi digitală sau analogică. În marea majoritate a aplicațiilor din prezent, imaginile au un caracter digital” (Gruescu, 2012).

În funcție de tehnologia utilizată la realizarea acestor senzori vizuali, există mai multe tipuri. Cei mai răspândiți la ora actuală sunt cei sub formă de matrice de celule fotosensibile, ce poate fi o matrice de tipul CCD (charged couple device) sau o matrice CMOS (complementary metal oxide semiconductor). Fiecare element al matricei, corespunzător unui pixel al imaginii, preia o componentă informațională fotometrică (prezența la diferite niveluri a energiei luminoase sau absența acesteia) și la senzorii de culoare, suplimentar, și componentele unui sistem de coordonate de culoare (Gruescu, 2012).

Senzorul electronic CCD a fost inventat de George Smith și Willard Boyle în 1969, invenție pentru care au primit *Premiul Nobel* în 2006. CCD este primul dispozitiv de acest tip apărut pe piață și este de fapt un circuit integrat pe bază de siliciu format dintr-o matrice densă de celule capacitive, care transformă energia luminoasă în semnal electric.

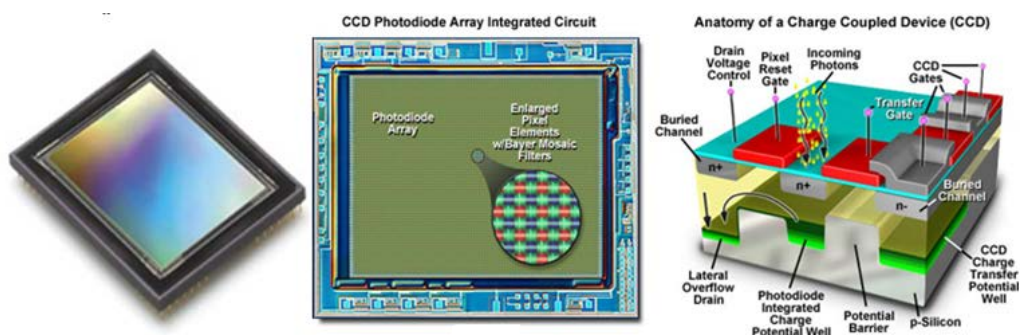


Figura 2. 8: Senzorul CCD (adaptat după (Dalsa, 2012), (Spring, 2012), (Downhill, 2012)).

Caracteristicile principale ale senzorului CCD ce trebuie avute în vedere pentru realizarea unui sistem de vedere artificială sunt:

- Numărul pixelilor (este egal cu numărul fotocelulelor senzorului);
- Dimensiunile pixelilor (sunt de ordinul micrometrilor 2.2 ...11 μ m);
- Aria senzorului (este dată de numărul pixelilor de pe orizontală și numărul pixelilor de pe verticală);

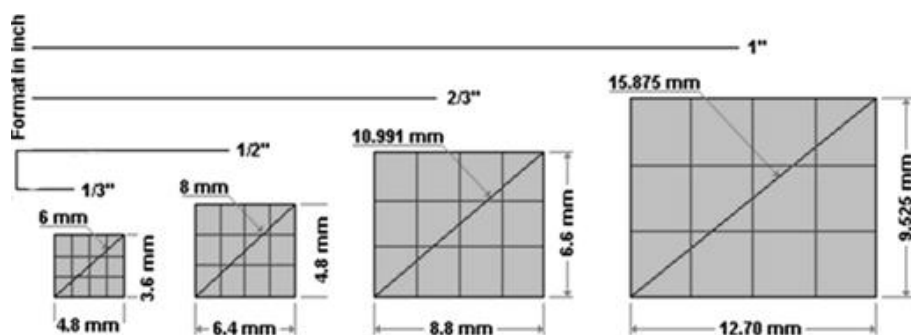


Figura 2. 9: Variante arie senzor (adaptat după (Secuv, 2012))

- Formatul optic (este diagonala maximă a imaginii proiectată în planul focal);

Format	Pixeli
QVGA	320x240
CGA	600x200
EGA	600x350
VGA	640x480
SVGA	800x600
XGA	1024x768
SXGA	1280x1024
UXGA	1600x1200
WUXGA	1920x1200
QZGA	2084x1536

Tabelul 2. 2: Tipuri de format optic.

- Rezoluția (este distanța minimă dintre doi pixeli, fiind practic dublul lățimii unui pixel);
- Contrastul;
- Raportul semnal/zgomot;
- Responsivitatea (măsura capacității de producere a unui semnal electric);
- Adâncimea pixelului (gama dinamică sau scala de griuri ce reprezintă numărul de nuanțe de gri ce pot fi redade în planul imaginii);
- Semnalul de ieșire (analogic sau digital).

Un alt tip de senzor vizual este senzorul CMOS. Senzorul CMOS (complementary metal oxide semiconductor) este mai nou decât senzorul CCD. În primă instanță a apărut doar ca o variantă mai ieftină a senzorului CCD, ce deținea un nivel calitativ inferior al imaginii, dar care se putea realiza utilizând o tehnologie de fabricație mai accesibilă producătorilor. Ulterior, odată cu dezvoltarea și maturizarea tehnologiei, acesta a devenit un concurent serios predecesorului lui. În comparație cu senzorul CCD, senzorul CMOS are pentru fiecare fotocelulă (fotodiodă) câțiva tranzistori miniaturizați, care au rolul de a amplifica și converti semnalul analogic în semnal digital și de a transfera informația prin conexiuni standard. Avantajul pe care un astfel de senzor îl deține, în comparație cu un senzor CCD, este dat de consumul de energie scăzut (aproximativ de o suta de ori mai mic). Dezavantajul lor este sensibilitatea luminoasă scăzută, datorită bombardării simultane de către fotoni a fotocelulelor și tranzistorilor.

Camerele de luat vederi (camerele video) din ziua de astăzi, fie analogice sau digitale, clasice sau inteligente, în funcție de producător și de performanțele scontate, încorporează unul din cei doi senzori amintiți anterior. De asemenea o cameră de luat vederi inteligentă poate încorpora toate componentele pe care le deține un sistem de vedere artificial.

Camerele inteligente (smart cameras) au apărut relativ recent (la începutul anilor nouăzeci) în industrie, datorită faptului că erau limitate din punct de vedere al capacităților de procesare a imaginilor, fiind utilizate pentru aplicații simple, precum citirea codurilor de bare (ThomasNet, 2012). Acest lucru s-a schimbat rapid odată cu dezvoltarea proceselor de fabricație a circuitelor integrate și creșterea puterii de calcul a microcontrolerelor și procesoarelor.

O posibilă definiție a unei camere inteligente ar fi camere ce înglobează un sistem de vedere artificial clasic fiind capabile să extragă informații din imaginile prelevate, în funcție de aplicație, astfel încât să ia o anumită decizie ce poate fi folosită la conducerea unui sistem automat.

Camerele inteligente, ce sunt produse în prezent și utilizate în special în industrie, se pot clasifica după gradul de integrare a elementelor componente conform figurii 2. 10.

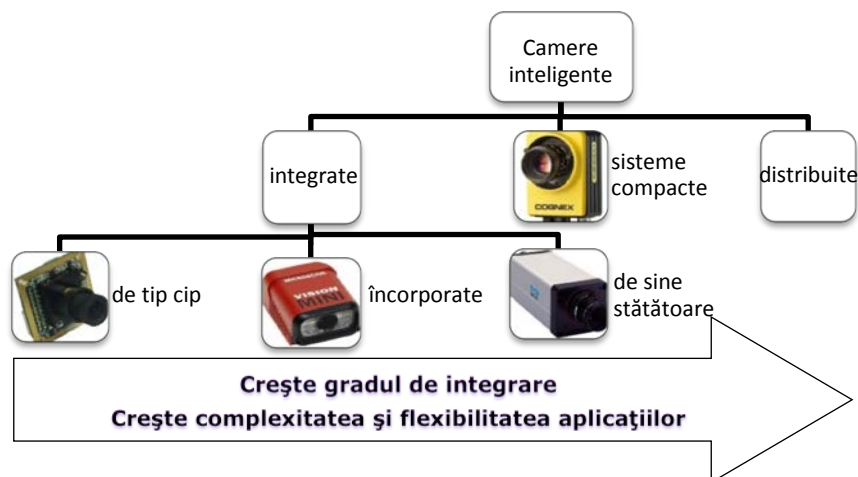


Figura 2. 10: Clasificarea camerelor inteligente (adaptat după(Yu Shi, 2010))

În tabelul 2.3 sunt prezentate avantajele și dezavantajele sistemelor de vedere artificială bazate pe PC și cele de tip cameră inteligentă (Yu Shi, 2010).

	Avantaje	Dezavantaje
Camere inteligente	Dimensiuni mici; Cost de achiziție relativ mic; Compacte; Arhitectură simplă; Dispozitive de conexiune și comunicare integrate; Cost de întreținere mic; Soft simplu și accesibil tuturor; Generează cantitate mică de căldură; Robuste în exploatare.	Capacitate de procesare limitată; Performanțe reduse; Aplicabilitate restrânsă; Schimbare de piese dificilă.
Sisteme bazate pe PC	Putere de procesare mare; Îmbunătățirea performanțelor; Aplicabilitate extinsă; Schimbare de piese ușoară; Complexitatea mare a aplicațiilor.	Dimensiuni relativ mari; Cost de achiziție mai ridicat; Necesită componente multiple; Număr ridicat de tipuri de interfețe pentru conectare; Softuri complexe și dificile; Generează o cantitate mai mare de căldură; Robustețe mică în exploatare.

Tabelul 2. 3: Avantajele și dezavantajele sistemelor de vedere artificială.

2.3. Algoritmi de vedere computerizată

Vederea computerizată reprezintă domeniul de cercetare care se ocupă cu dezvoltarea metodelor ce permit achiziția, procesarea și analiza imaginilor prelevate din mediul ambiant, în vederea extragerii, caracterizării și interpretării informațiilor, a căror finalitate constă în luarea unei decizii și realizarea unei acțiuni. Scopul acestor metode, este de înzestrare a sistemelor de inginerie, cu capacitatea de a interacționa la nivel vizual cu mediul înconjurător, prin utilizarea sistemelor de vedere artificială (Bradski, 2008).

Algoritmii de vedere computerizată, ce se regăsesc în prezent, implementați în cadrul diverselor sisteme robotizate, utilizați pentru realizarea unor aplicații de vedere robotizată, presupun în general operații precum:

- Detectarea obiectelor („object detection”);
- Identificarea obiectelor („identifying objects”);
- Recunoașterea obiectelor („object recognition”);
- Clasificarea obiectelor („classifying objects”);
- Localizarea obiectelor („locating objects”);
- Urmărirea obiectelor („tracking objects”);
- Inspectarea obiectelor („inspecting objects”).

Operația de detectare a unui obiect țintă, într-o imagine, este o etapă importantă în orice aplicație de vedere robotizată. Gradul de dificultate al acesteia, variază în funcție de complexitatea obiectului vizat și complexitatea imaginii.

Algoritmii de detectare a obiectelor, în imagine, se bazează în general, pe detectarea unor trăsături locale sau globale. Trăsăturile locale sunt extrase și evaluate, în jurul unei locații (pixel) din imagine și pot consta în nivel de gri, culoare, muchie, textură. Trăsăturile globale pot fi determinate utilizând o histogramă normalizată, ce estimează distribuția de probabilitate a nivelurilor de gri în imagine, respectiv permite stabilirea minimului și maximumului histogramei, entropia histogramei, media de gri și dispersia.

Metodele cele mai frecvent utilizate, la extragerea trăsăturilor, necesare diverselor operații de vedere computerizată, sunt:

- Metoda SIFT (Scale Invariant Feature Transform –transformata trăsături invariante la scalare) permite detectarea trăsăturilor locale ce nu se modifică în imagine în urma aplicării unor operații geometrice precum scalare, rotire sau translație (Lowe, 2004).
- Metoda SURF (Speeded Up Robust Feature) permite, asemănător metodei SIFT, detectarea unor trăsături locale, invariante la operații geometrice, într-un mod mai robust și mai rapid (Bay, 2006), (Bay, 2008).
- Metoda ASIFT (Affine Scale Invariant Feature Transform) aduce îmbunătățiri metodei SIFT datorită faptului că estimează alți doi parametri necesari detectării trăsăturilor locale prin utilizarea transformărilor affine (Guoshen, 2009).

În literatura de specialitate, se regăsesc o mulțime de algoritmi de detectare, ce se pot împărți în trei categorii, din punct de vedere al metodei de proiectare (Wang, 2007):

- Metode ascendente (Bottom_Up), la care operația de detectare se realizează utilizând trăsături de tip muchie sau segment. Se stabilesc caracteristicile celor mai reprezentativi pixeli sau zone din imagine, și se potrivesc cu cele învățate pentru obiect. Pe baza lor, se construiesc anumite ipoteze și condiții ce permit evaluarea ulterioară a obiectelor.

- Metode descendente (Top_Down), la care operația de detectare se realizează cu ajutorul unui model, anterior învățat, ce corespunde obiectului țintă. Se împarte imaginea în regiuni și se compară fiecare regiune cu șablonul obiectului.
- Metode mixte.
În funcție de aplicație, operația de detectare a obiectelor se realizează utilizând diverse abordări. Dintre aceste sunt amintite următoarele:
 - Detectarea pe bază de nuanță sau de culoare, respectiv pe bază de histogramă, este o tehnică foarte des întâlnită în cadrul algoritmilor de vedere computerizată. Se utilizează cu precădere la imagini ce prezintă o calitate slabă și o rezoluție scăzută, unde trăsătura fundamentală a obiectului vizat o reprezintă culoarea. Detectarea obiectului țintă, se realizează, prin stabilirea unei condiții, pe baza unor valori de prag, corespunzătoare obiectului, ce sunt impuse histogramelor componentelor spațiului de culoare utilizat. Din imagine, sunt extrași pixelii, ce îndeplinesc condiția de prag.(Bradski, 2008).
 - Detectarea cu ajutorul unei ferestre glisante (Sliding Window) care se află în conformitate cu un model sau o trăsătură, ce parcurge întreaga imagine analizată de mai multe ori (aplicând un factor de scalare), astfel încât să clasifice fiecare zonă ca obiect țintă sau fundal. Această metodă este folosită, în special, la detectarea obiectelor compacte (Henry, 1995), (Papageorgiou, 2000), (Schneiderman, 2000), (Viola, 2004).
 - Detectarea cu ajutorul unui descriptor global corespunzător obiectului vizat, învățat într-o etapă premergătoare. În acest caz, imaginea analizată, se împarte într-un număr de regiuni, și pentru fiecare regiune se stabilește un descriptor global utilizând metoda GIST (Global Invariant Scale Transform). Obiectul se determină prin compararea descriptorului învățat cu descriptorii regiunilor (Torralba, 2008).
Operația de recunoaștere, este un proces ce presupune identificarea unui anumit obiect într-o imagine, pentru ca acesta să fi ulterior clasificat. Procesul de recunoaștere, se bazează, în general, pe diverși algoritmi de vedere computerizată, care în principiu presupun anumite cunoștințe despre aspectul obiectelor ce urmează a fi detectate în imaginile analizate. La ora actuală, există o mare varietate de algoritmi de recunoaștere, fapt ce se datorează, în principiu, cerințelor și constrângerilor specifice aplicațiilor în care sunt utilizați. O scurtă clasificare a celor mai utilizați algoritmi de acest tip, poate fi următoarea:
 - Algoritmi ce se bazează pe un model al obiectului definit cu ajutorul unor descriptorii globali:
 - o Algoritmi care au la bază metoda suprapunerii de șablon (Template Matching), respectiv algoritmi care presupun realizarea unei corelații între un șablon al obiectului țintă și regiuni din imaginea analizată. Corelația dintre cele două reprezintă o măsură a gradului de potrivire. Acești algoritmi pot fi folosiți doar în cazul în care diferențele dintre șablon și regiunea corespunzătoare din imaginea originală sunt suficient de mici (Oi, 1991), (Briechle, 2001), (Tsai, 2002).
 - o Algoritmi ce se bazează pe anumiți descriptorii (descriptorii Fourier, momente etc.), descriptorii globali elementari (arie, perimetru etc.), culoare, semnătură sau textură. Astfel de algoritmi sunt implementați în sistemul QBIC (Query Image by Content), prezentat în (Niblack, 1993).

- Algoritm PCA (Principal Component Analysis - Analiza Componentelor Principale) care implementează o metodă ce se bazează pe potrivirea aspectului obiectului detectat în imaginea analizată, cu un număr mare de imagini ale obiectului țintă (2D sau 3D), prelevate din diverse poziții, într-o etapă anterioară. Autorii acestui algoritm, Murase și Nayar, prezintă în (Murase, 1995), modelul matematic implementat la baza căruia se află ideea ce presupune că aspectul obiectului, în imagine, este influențat de formă, reflexie, poziție în scenă și iluminare. Metoda PCA, aplicată pentru dezvoltarea algoritmului, provine din statistică, și este utilizată în acest caz, la compresia imaginilor model.
- Algoritmi ce se bazează pe un model definit cu ajutorul caracteristicilor geometrice (cunoscute) ale obiectului (descriptori de contur):
 - Conturul unui obiect poate fi aproximat cu ajutorul unui poligon. Din această categorie, fac parte algoritmii care aproximează conturul obiectului prin linii drepte (segmente) sau prin curbe (arce de cerc) (Chen, 1996), (Rosin, 1997).
 - Conturul unui obiect poate fi identificat pe bază de graf. Graficul reprezintă o mulțime de noduri ce sunt conectați printr-o mulțime de arce. Nodurile unui graf reprezintă o trăsătură esențială a unui obiect (de exemplu o muchie, un colț) iar arcele descriu relația dintre acestea (de exemplu distanța). Recunoașterea se realizează prin compararea grafului obiectelor detectate în imaginea analizată cu graful modelului învățat (Li, 1989), (Ersi, 2007).
 - Conturul unui obiect poate fi reprezentat și unidimensional printr-o caracteristică structurală de tip semnătură. Această semnătură se poate obține prin reprezentarea conturului în coordonate polare, respectiv prin reprezentarea grafică a distanțelor de la centrul de masă al acestuia până la fiecare pixel din componența sa (Gonzalez, 1992), (Aljarrah, 2012).
- Algoritmi ce se bazează pe un model al obiectului construit cu ajutorul unui set finit de puncte caracteristice:
 - Algoritmi bazați pe transformata Hough generalizată. Transformata Hough este o metodă de detectare a liniilor drepte, ce ulterior a fost generalizată pentru muchiile unui obiect arbitrar, dacă acesta este cunoscut în prealabil. Ea se aplică, datorită complexității, doar obiectelor a căror formă poate fi reprezentată analitic printr-un număr restrâns de parametri. Poate fi folosită în cazul unor imagini cu mai multe obiecte, ce se pot regăsi și suprapuse. Transformata presupune determinarea pentru fiecare punct a doi parametri. Parametri tuturor punctelor conturului obiectului învățat sunt introduși într-un tabel (R-table) care este ulterior utilizat, prin comparare, la operația de recunoaștere a obiectului (Ballard, 1981).
 - Algoritmi bazați pe distanța Hausdorff. Distanța Hausdorff este o metrică neliniară pentru vecinătatea a două seturi de puncte. În cazul algoritmilor de recunoaștere a obiectelor, această distanță se utilizează ca o măsură a similitudinii între setul de puncte specific modelului învățat și setul corespunzător unei regiuni din imaginea analizată. Acest tip de algoritm se utilizează cu precădere la imagini care conțin mai multe obiecte și al căror contur nu este vizibil în totalitate (parțial ascunse) (Rucklidge, 1997).

2.4. Metode de prelucrare a imaginii

Prelucrarea și analiza imaginilor se referă la ansamblul tehnicilor și metodelor de achiziție, stocare, afișare, modificare și exploatare a informației de natură vizuală din structurile de date bidimensionale (imagini). Prelucrarea propriu-zisă a imaginilor se regăsește, din punct de vedere funcțional, în blocurile de calcul ce transformă imaginea de la intrare într-o altă imagine, cu caracteristici (perceptuale, semantice, structurale) asemănătoare (Jain, 1999), (Pratt, 2001).

Structura unui sistem de prelucrare a imaginilor este ilustrată în figura 2.11.

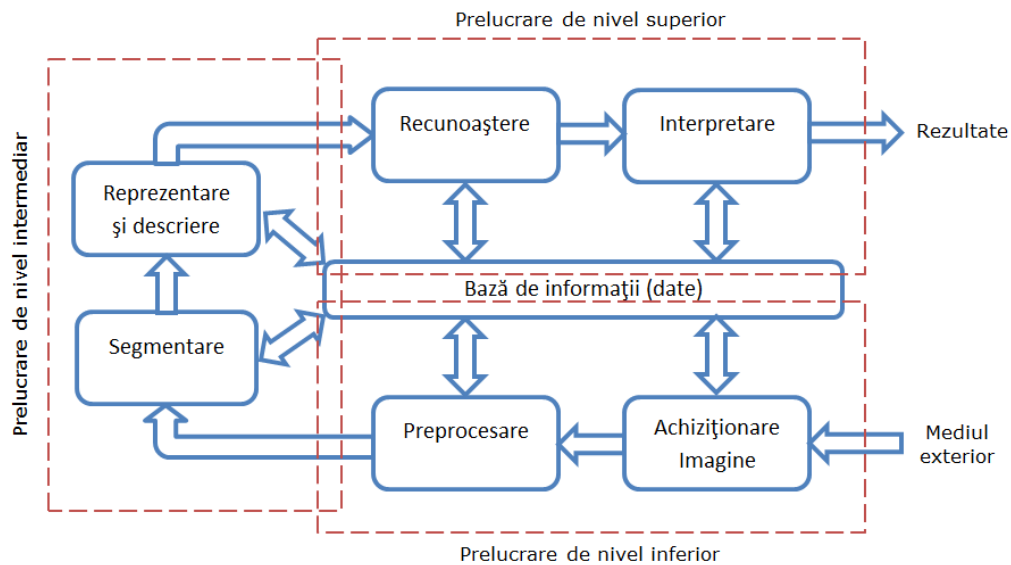


Figura 2. 11: Etapele procesului de prelucrare a imaginilor (adaptată după (Vlaicu, 1997))

În conformitate cu cele prezentate anterior, se poate afirma că procesul de prelucrare a imaginilor este structurat pe trei niveluri (Gonzalez, 2002):

A. Prelucrări de nivel inferior:

Se caracterizează prin faptul că datele de intrare și de ieșire sunt de tip imagine reprezentate printr-o matrice de puncte. Ca și principale prelucrări la acest nivel avem:

- Achiziție;
- Îmbunătățirea calității și amplificarea contrastului;
- Eliminarea paraziților și a zgomotului;

Metodele de prelucrare de nivel scăzut au ca scop principal îmbunătățirea imaginii în sensul accentuării sau punerii în evidență a unor trăsături sau caracteristici ce se regăsesc în imagine, pentru creșterea șanselor de succes ale etapelor ulterioare de prelucrare. Criteriile de evaluare a calității unei imagini sunt subiective și specifice aplicației, ceea ce face ca gama metodelor utilizate să fie foarte variată. Metodele folosite în diverși algoritmi de îmbunătățire a imaginilor utilizează mai multe tipuri de operații care se pot clasifica astfel:

- Operații punctuale (modificarea contrastului, transformarea imaginii în negativ, binarizare și egalizare de histograma);

- Operațiile locale (eliminarea elementelor parazite din imagine prin eliminarea unei linii sau coloane de pixeli sau diminuarea zgomotului utilizând filtre specifice);
- Operațiile globale;
- Operații geometrice (scalarea, translația, reflexia sau rotația imaginii);
- Pseudocodarea și codarea.

B. Prelucrarea de nivel intermediar (mediu):

Se caracterizează prin faptul că datele de intrare sunt de tip imagine, iar cele de ieșire sunt reprezentate sub forma unor structuri simbolice. Principalele operații de la acest nivel se referă la procesarea propriu zisă a imaginilor. Cele mai frecvent întâlnite în structura algoritmilor de vedere computerizată, sunt:

- Metode de detectare a conturului. Conturul constituie frontiera obiectelor și separă obiectele de fundal și/sau de alte obiecte (în cazul obiectelor suprapuse). Importanța determinării conturilor este dată de faptul că forma obiectelor este păstrată de contur (Annadurai, 2007), (Petrou, 2010). Cunoașterea conturilor permite simplificarea imaginii, efectuarea de măsurători cantitative asupra dimensiunii obiectelor și de măsurători calitative asupra formei. Conturile se evidențiază prin discontinuitatea niveluri de gri la frontiera obiect/fundal. Discontinuitatea în imagine apare datorită existenței în scena reală a unei diferențe notabile de culoare, coeficient de reflexie sau gradient de iluminare.
- Metode de prelucrare bazate pe operații morfologice: dilatare, eroziune, umplere, determinare înfășurătoare, scheletizare;
- Metode bazate pe algoritmi de segmentare a imaginii. Segmentarea este o operație de prelucrare a imaginii, ce constă în împărțirea imaginii în zone de interes, după anumite criterii. Această operație permite detectarea discontinuităților - puncte, linii, muchii (edges), conectarea segmentelor (edge linking), determinarea conturilor (boundaries), filtre globale și adaptative (thresholdings), histograma; Segmentarea este unul din cei mai importanți pași ce trebuie parcurși în analiza unei imagini. Este o operație dependentă de aplicație. În funcție de trăsăturile extrase din imagini, segmentarea se pot clasifica în două categorii fundamentale:
 - o Segmentare orientată pe regiuni (pe bază de histogramă, de culoare, de textură);
 - o Segmentarea orientată pe contur (extragerea conturului prin metode de gradient și derivate, metode liniare și neliniare sau metode bazate pe morfologia matematică);
- Metode bazate pe operații de reprezentare și descriere a formelor: descrierea conturilor, descrierea texturilor, momente statistice invariante, descriptori Fourier, texturi, înlănțuire de coduri, aproximări poligonale, semnături, descriptori topologici.

C. Prelucrări de nivel superior

Constituie etapa în care se operează pe reprezentări simbolice. La acest nivel avem:

- Metode de recunoaștere a formelor, la care rezultatul prelucrării, nu mai este o imagine, ci poate fi o decizie, o descriere sau o interpretare a imaginii inițiale (Nedevschi, 1998).

Pentru recunoașterea automată a formelor, se pot utiliza, fie metode matematice, fie metode sintactice. Metodele matematice se grupează, după proprietățile claselor de forme astfel (Popescu, 2001)

- o Metode deterministe;

- o Metode sintactice.

În literatura de specialitate, metodele de recunoaștere a formelor se mai regăsesc grupate în patru mari categorii în funcție de tipul de abordare avut în vedere (Chen, 2006):

- o Recunoașterea prin potrivirea cea mai bună (template matching approach);
- o Recunoașterea prin metode statistice (statistical approach);
- o Recunoașterea cu ajutorul rețelelor neuronale (neural networks approach);
- o Recunoașterea sintactică sau structurală (syntactic or structural approach);
- Metode de interpretare a rezultatelor:
 - o algoritmi de determinare a graniței între clase (*decision boundary*);
 - o algoritmi și funcții de clasificare statistică (*optimum statistical Bayes classifier*);
 - o metode neuronale de antrenare și învățare (*training by back-propagation*);
 - o metode de derivare și analiză sintactică a șirurilor de coduri (*scanning*).

2.5. Calibrarea camerelor video

Aplicațiile din domeniul vederii robotizate au la bază cel puțin o cameră video prevăzută cu un senzor de tip CCD sau CMOS. Principala caracteristică a acestor dispozitive este cea de mapare, respectiv de transformare a informațiilor 3D din mediul înconjurător în informații de natură 2D, și anume în imagini. În vederea determinării parametrilor specifici acestei transformări este necesară realizarea operației de calibrarea a camerei. Această problemă, include de asemenea, modelarea și parametrizarea procesului de prelucrare de imagini. În acest scop este necesar să se prezinte aspectele de natură geometrică ale procesului de formare a imaginii pentru a putea face legătura între punctele din scenă și punctele corespunzătoare din imagine.

2.5.1. Modele geometrice ale camerelor video

Un model de calcul, al unei camere video, în principiu descrie procedura prin care entitățile din spațiul 3D (puncte, linii etc.) sunt proiectate în imagine și invers. În literatura de specialitate, există un număr mare de modele, ce definesc camerele video, ce pot fi clasificate după mai multe criterii. Dintre aceste modele sunt menționate următoarele (Sturm, 2011):

- modele globale (modelul camerei de tip „pinhole” (pinhole model.), modele bazate pe transformata afină (affine models), modele polinomiale bazate pe distorsiuni (polynomial distortion models));
 - modele locale (modelul celor două plane (two - plane model));
 - modele discrete (modele bazate pe raze (ray - based models)).
- A. Modelul „cameră de perspectivă” (perspective camera)

Modelul geometric al proiecție de perspectivă numit și modelul camerei de tip „pinhole”, este frecvent utilizat, în domeniul vederii artificiale, pentru rezolvarea unor probleme teoretice cât și practice (Byröd, 2008). Acest lucru se datorează camerei ideale de tip pinhole ce presupune o apertură punctiformă, fără lentile, și

care nu introduce distorsiuni în imagine. Modelul este reprezentat schematic în figura 2-12.

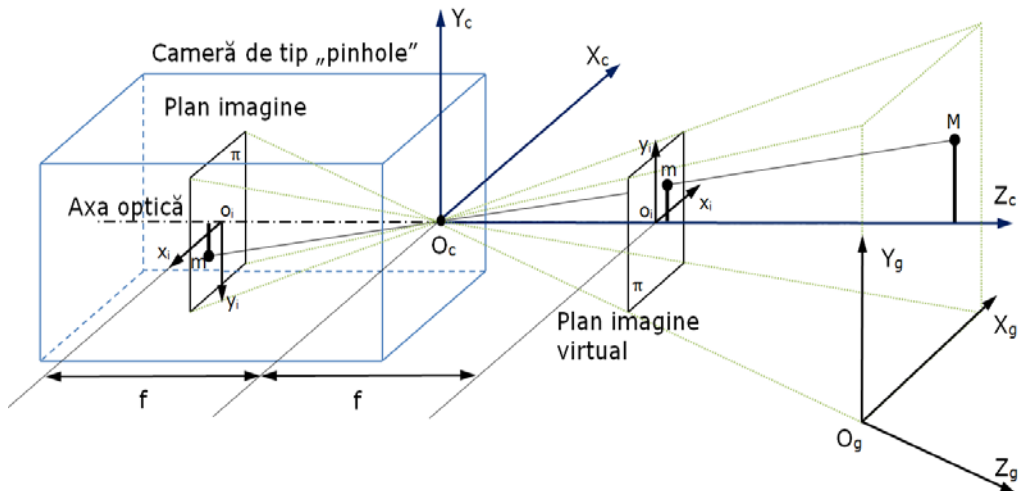


Figura 2. 12: Modelul „cameră de perspectivă”

Modelul constă în:

- Un sistem de referință global $O_g X_g Y_g Z_g$, atașat spațiului de lucru;
- Un punct din spațiu M de coordonate (X, Y, Z) ;
- Un sistem de referință atașat camerei $(O_c X_c Y_c Z_c)$;
- Un plan imagine π ;
- Axa optică (linia ce trece prin punctul O_c și este perpendiculară pe planul π);
- Centrul imaginii o_i numit și punct principal (aflat la intersecția axei optice cu planul π);
- Distanța focală f (reprezintă distanța dintre punctul O_c și o_i);
- Un punct m din imagine de coordonate $(x, y, -f)$ aflat la intersecția liniei ce unește punctul M cu O_c (reprezintă proiecția punctului M în imagine).

Pe baza componentelor prezentate anterior, se poate scrie ecuația fundamentală a modelului „cameră de perspectivă”:

$$\begin{pmatrix} x \\ y \end{pmatrix} = \frac{f}{Z} \begin{pmatrix} X \\ Y \end{pmatrix} \quad (2.1)$$

Se observă:

- Ecuația (2.1) nu este liniară datorită raportului $1/Z$;
- Proiecția punctului M nu este unică, deoarece orice punct de pe axa MO_c are aceeași proiecție;
- Imaginea unui obiect este invers proporțională cu distanța până la obiect;
- Mărirea distanței focale f duce la micșorarea câmpului vizual.

B. Modelul proiecției ortografice (orthographic projection)

Punctele din spațiu sunt proiectate cu ajutorul unor raze paralele, ortogonale la planul imagine. În acest caz avem $x=X$ și $y=Y$.

C. Modelul „camera de perspectivă slabă” (weak-perspective camera).

Acest model este o combinație a celorlalte două modele și presupune (Shimshoni, 1999):

- Valoare medie Z a n puncte din spațiu, respectiv Z_1, \dots, Z_n este egală cu \bar{Z} ;
- Punctele din spațiu sunt proiectate, într-o primă fază, de-a lungul unor raze paralele cu axa optică pe un plan a cărui $Z = \bar{Z}$ astfel încât $x = X$ și $y = Y$;
- Punctele proiectate sunt supuse, în ce-a de-a doua fază, unei proiecții de perspectivă cu un factor de scalare $s = f/\bar{Z}$;

Acest model geometric permite transformarea ecuația (2.1) într-o ecuație liniară:

$$\begin{pmatrix} x \\ y \end{pmatrix} = s \begin{pmatrix} X \\ Y \end{pmatrix} \quad (2.2)$$

În vederea realizării oricărui model de calibrare a camerei trebuie definiți care sunt parametri aceștia (Zhang, 2008).

5.1.2. Parametrii camerei

Determinarea poziției și orientării unor obiecte în spațiul de lucru, respectiv stabilirea situației acestora față de un sistem de referință atașat spațiului, se realizează pe baza unui set de ecuații. Aceste ecuații sunt specifice oricărui algoritm de vedere computerizată, ce este utilizat în aplicații de conducere a roboților pe bază de imagini, deoarece realizează o legătură între coordonatele anumitor puncte din spațiul 3D și coordonatele punctelor omoloage din imagine.

Pentru scrierea acestor ecuații este necesar să se realizeze operația de calibrare a camerei video, ce presupune determinarea unor caracteristici specifice. Aceste caracteristici, în funcție de sistemul de referință față de care se face raportarea se împart (Lenz, 1988), (Savii, 2004), (Ramalingam, 2005):

- caracteristici interne ale camerei cunoscute sub numele de „parametrii intrinseci” ce permit determinării coordonatelor punctelor din imagine față de sistemul de referință al camerei pe baza coordonatelor pixelilor;
- caracteristici externe camerei cunoscute sub numele de „parametrii extrinseci” ce permit determinarea situației sistemului de coordonate atașat camerei față de un sistem de coordonate din spațiu 3D (sistemul de coordonate global);

Figura 2.13 ilustrează parametri menționați anterior și relația de legătură dintre sistemul de coordonate atașat camerei video și sistemul de coordonate al imaginii, respectiv sistemul de coordonate 3D.

A. Parametrii intrinseci

Camerele video utilizate în diverse aplicații de vedere computerizată introduc o varietate de distorsiuni și aberații, deoarece nu sunt camere perfecte (camere teoretice, ideale tip „pinhole”). Acest aspect conduce la necesitatea determinării parametrilor intrinseci ai camerei.

Parametrii intrinseci se definesc ca „un set de parametri specifici caracteristicilor sistemului optic, geometric și digital al camerei video” (Hartley, 2003).

Pentru realizarea unor aplicații ce necesită măsurători geometrice cu nivel de precizie ridicat, principalii parametri ce trebuie determinați sunt cei introduși de sistemul optic.

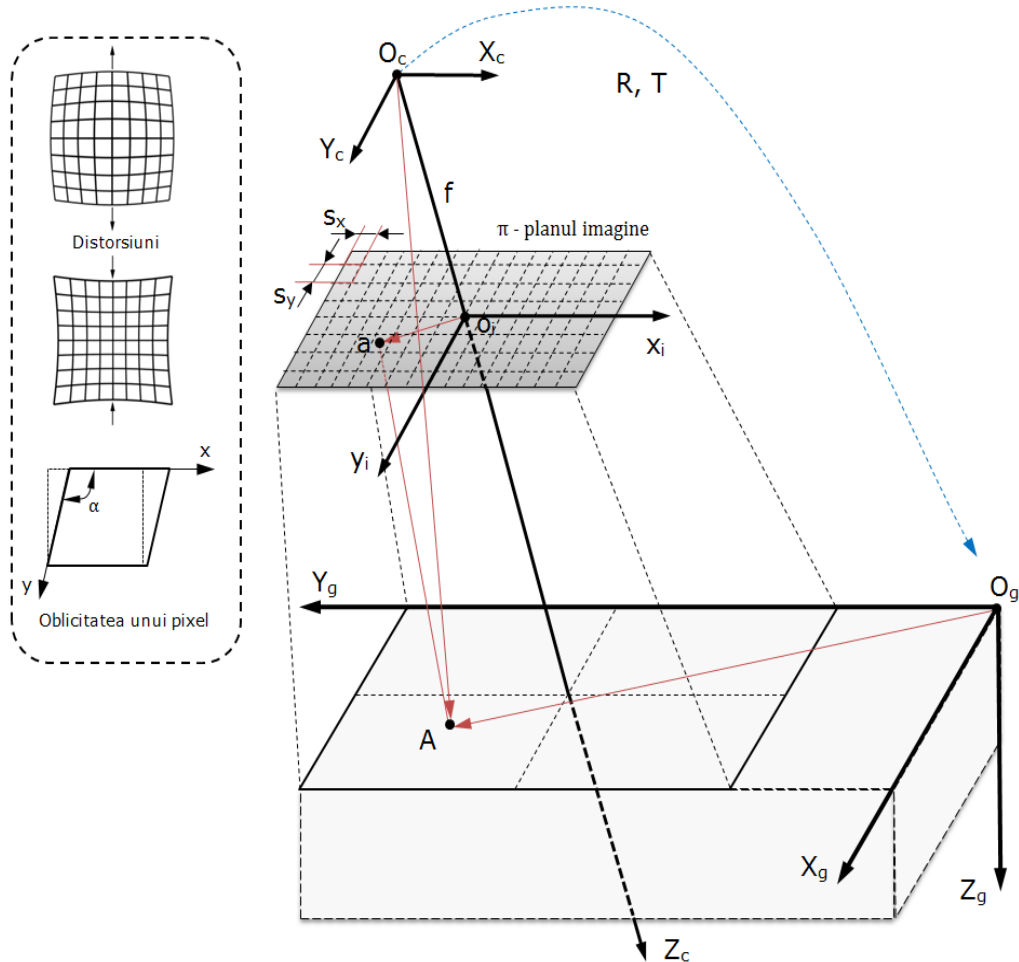


Figura 2. 13: Reprezentarea grafică a parametrilor intrinseci și extrinseci specifici operației de calibrare a camerei video și relațiile de legătură dintre sistemele de referință corespunzătoare.

1. parametrii sistemului optic: distorsiunile radiale și tangențiale (radial and tangential distortions), distorsiuni de proiecție (projection distortion) și unghiul de înclinare sau oblicitatea (skew angle).

Dintre distorsiuni neliniare de mai sus, distorsiunea radială, care este de-a lungul direcției radiale de la centrul imaginii, este cea mai severă și mai frecventă (Devernay, 2001). În centrul imaginii valoarea sa este egală cu zero și crește pe măsură ce ne deplasăm față de acesta.

Îndepărtarea distorsiunii radiale se efectuează frecvent prin aplicarea unui model parametric de distorsiune radială, într-o primă etapă. Acesta permite estimarea coeficienților de distorsiune, care sunt utilizați într-o etapă ulterioară la corectarea distorsiunii.

$$\begin{aligned} r_d &= f(r_u) \\ r_d^2 &= x_d^2 + y_d^2 \end{aligned} \quad (2.3)$$

unde r_u reprezintă raza nedistorsionată, r_d este raza distorsionată iar x_d și y_d reprezintă coordonatele punctului distorsionat.

Coordonatele punctului nedistorsionat se determină pe baza relației:

$$\begin{aligned}x &= x_d \cdot (1 + k_1 \cdot r^2 + k_2 \cdot r^4) \\y &= y_d \cdot (1 + k_1 \cdot r^2 + k_2 \cdot r^4)\end{aligned}\quad (2.4)$$

unde k_1 și k_2 sunt coeficienții de distorsiune radială.

Gradul de degradare al imaginii este proporțional cu valoarea acestor coeficienți, fapt ce conduce la considerarea lor ca doi parametri intrinseci necesari a fi determinați în urma operației de calibrare a camerei.

Un alt parametru este dat de eroarea de asamblare, de către producători, a camerelor video. Această eroare constă în nealinierea senzorului vizual (CCD sau CMOS) cu sistemul optic, respectiv planul imagine nu este ortogonal axei optice.

2. Parametrii necesari transformării coordonatelor camerei (x, y) în coordonatele imaginii – pixeli (x_i, y_i) . Acești parametri sunt:
 - coordonatele punctului principal, respectiv coordonatele centrului real al imaginii $o_i(x_{oi}, y_{oi})$ în pixeli (intersecția axei optice cu planul imagine);
 - dimensiunea efectivă a pixelilor în milimetri de-a lungul direcției orizontale și respectiv verticale (s_x, s_y) .

$$\begin{aligned}x_i &= \frac{x}{s_x} - x_{oi} \\y_i &= \frac{y}{s_y} - y_{oi}\end{aligned}\quad (2.5)$$

3. Parametrul geometric de perspectivă: distanța focală f (focal length) în milimetri. Reprezintă distanța dintre centrul optic al sistemului de lentile al obiectivului camerei video și planul imagine. Ea poate fi exprimată și ca doi parametri în pixeli f_x și f_y (distanța focală în unități de pixeli pe orizontală și respectiv pe verticală) obținuți cu ajutorul factorilor de scalare D_x și D_y :

$$\begin{aligned}f_x &= f \cdot D_x \\f_y &= f \cdot D_y\end{aligned}\quad (2.6)$$

Utilizând parametrii prezentați anterior, se poate scrie relația de legătură între coordonatele punctului A în raport cu sistemul de referință al imaginii ($a(x_i, y_i)$) și cel al camerei ($A_c(X_c, Y_c, Z_c)$).

$$\begin{bmatrix} x_n \\ y_n \\ 1 \end{bmatrix} = M_{par_int}^{-1} \begin{bmatrix} x_i \\ y_i \\ 1 \end{bmatrix}\quad (2.7)$$

unde

$$\begin{bmatrix} x_n \\ y_n \end{bmatrix} = \begin{bmatrix} X_c / Z_c \\ Y_c / Z_c \end{bmatrix}\quad (2.8)$$

reprezintă coordonatele normalizate cu $1/Z$, iar

$$M_{par_int} = \begin{bmatrix} f_x & 0 & x_{oi} \\ 0 & f_y & y_{oi} \\ 0 & 0 & 1 \end{bmatrix} \quad (2.9)$$

este matricea internă a camerei ce realizează transformarea dintre sistemul de referință al camerei și sistemul de referință al imaginii.

B. Parametrii extrinseci

Parametrii extrinseci se definesc ca „un set de parametri geometrici care permit determinarea situației (poziția și orientarea) unui sistem de coordonate 3D, atașat camerei video, față de un sistem de coordonate cunoscut, precum sistemul de referință global atașat spațiului de lucru” (Chen, 2003).

Transformarea coordonatelor unui punct din sistemul de coordonate global în sistemul de coordonate al camerei și invers, se face cu ajutorul parametrilor:

- Un vector 3D de translație notat cu T care exprimă poziția relativă dintre originile a două sisteme de coordonate. Această vector poate fi scrisă sub forma:

$$T = [T_x \quad T_y \quad T_z]^T \quad (2.10)$$

unde T_x , T_y și T_z sunt translațiile după axa X , Y și Z .

- O matrice de rotație ortogonală de tip 3×3 notată cu R ($R^T \cdot R = R \cdot R^T = I$) care permite suprapunerea axelor corespondente a două sisteme de coordonate. Această matrice poate fi scrisă sub forma:

$$R = \begin{bmatrix} R_1 \\ R_2 \\ R_3 \end{bmatrix} = \begin{bmatrix} r_{11} & r_{12} & r_{13} \\ r_{21} & r_{22} & r_{23} \\ r_{31} & r_{32} & r_{33} \end{bmatrix} \quad (2.11)$$

Utilizând cei doi parametri, se poate scrie relația între coordonatele punctului A în raport cu sistemul de referință global și cel al camerei.

$$A_c = R \cdot A + T \quad (2.12)$$

unde $A_c = [X_c \quad Y_c \quad Z_c]^T$ și $A = [X_g \quad Y_g \quad Z_g]^T$.

Pe baza parametrilor definiți anterior, se pot scrie relația de legătură dintre coordonatele în pixeli a unui punct din imagine și coordonatele punctului echivalent din spațiul 3D:

$$M_{pr} = M_{par_int} \cdot \begin{bmatrix} {}^cR_g & | & {}^cT_g \end{bmatrix} \quad (2.13)$$

unde M_{pr} reprezintă matricea de proiecție, cR_g matricea de rotație din sistemul global în sistemul camerei și cT_g vectorul de translație din sistemul global în sistemul camerei.

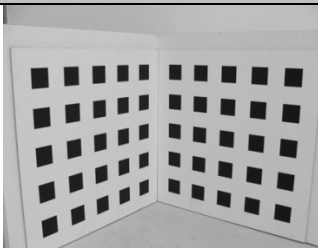
2.5.3. Metode de calibrare a camerei video

O mulțime de cercetători au studiat problema calibrării camerelor fotografice, care se constituie într-un subiect de cercetare foarte important, începând cu Brown, în vederea obținerii unui model al camerei cât mai apropiat de cel real și a unei precizii cât mai bune în cazul parametrilor calculați (Martins, 1981), (Wei, 1994), (Wang, 1991), (Beardsley, 1992), (Weng, 1992), (Faugeras, 1996), (Agrawal; Barreto, 2003). Metodele de calibrare pot fi clasificate în două categorii.

Prima categorie se referă la *metode de calibrare off-line* (off-line calibration methods), care include metode tradiționale de calibrare bazate pe imagini ale unui obiect special de calibrare a cărui structură este cunoscută. Un avantaj important, care se remarcă în cazul utilizării acestor metode constă în faptul că se obține o precizie ridicată a parametrilor de calibrare. În schimb, dezavantajul constă în faptul că aceste metode nu pot fi aplicate în anumite situații cum ar fi cele în care parametrii camerei suferă o serie de modificări în timpul operației sau atunci când se dorește reconstrucția unei scene pe baza unor imagini anterior înregistrate (Deverny 2001), (Fung, 2003), (Zhang, 2004), (Cao, 2005), (Datta, 2009).

A doua categorie se referă la *metodele de calibrare on-line* (on-line calibration methods). Cercetătorii care au introdus pentru prima dată aceste metode au fost Faugeras și colaboratorii săi (Faugeras, 1996), (Maybank, 1992), (Luong, 1997), (Hartley, 1997). Aceștia au studiat posibilitatea calibrării unei camere video prin utilizarea corespondenței dintre punctele prezente în mai multe imagini, fără a cunoaște vreun detaliu referitor la scenă. Această metodă de calibrare poartă numele de *autocalibrare* (camera self-calibration method) ce permite reconstrucția unei scene pe baza unor imagini anterior înregistrate. De asemenea, metoda permite calcularea parametrilor camerei în timpul aplicației (Heyden, 1997), (Heikkil, 1997), (Sturm, 1999), (Csurka, 1997), (Cipolla, 1999), (Heikkil, 2000), (Drummond, 2002), (Deutscher, 2002), (Rekleitis, 2005) și (Hanning, 2007).

În continuare sunt prezentate două metode de calibrare specifice camerelor video. Diferența dintre cele două constă în faptul că prima este o metodă mai laborioasă, iar cea de-a doua este o metodă mai rapidă. Cea dintâi ia în calcul doar proprietățile geometrice în vederea estimării parametrilor camerei prin utilizarea corespondenței dintre punctele din scenă și cele din imagine. Cea de-a doua metodă calculează în primă fază matricea de proiecție, pe baza căreia determină mai apoi parametrii de calibrare (Tsai, 1986), (Faugeras, 1996), (Marita, 2012).

Metoda Tsai de calibrare a unei camere video		
Etapе		
1	Se utilizează pentru calibrare un șablon 3D de tip „tablă de șah”; Se achiziționează o imagine cu șablonul de calibrare și se extrag coordonatele „colțurilor” pătratelor șablonului;	
2	Se consideră două sisteme de referință, unul atașat camerei și celălalt atașat șabloului (sistemului global); Se neglijează distorsiunile introduse de obiectiv; Se scriu relațiile de legătură între coordonatele reale și coordonatele din imagine;	

$\begin{bmatrix} X^C \\ Y^C \\ Z^C \end{bmatrix} = R \begin{bmatrix} X^W \\ Y^W \\ Z^W \end{bmatrix} + T$	(2.14)
$\begin{aligned} X^C &= r_{11}X^W + r_{12}Y^W + r_{13}Z^W + T_x \\ Y^C &= r_{21}X^W + r_{22}Y^W + r_{23}Z^W + T_y \\ Z^C &= r_{31}X^W + r_{32}Y^W + r_{33}Z^W + T_z \end{aligned}$	(2.15)
$\begin{aligned} x_{im} &= -\frac{f}{s_x} \frac{X^C}{Z^C} + o_x \\ y_{im} &= -\frac{f}{s_y} \frac{Y^C}{Z^C} + o_y \end{aligned}$	(2.16)
<p>Se notează (x_{im}, y_{im}) cu (x, y); Se identifică parametri intrinseci:</p> <ul style="list-style-type: none"> - Distanța focală f; - Dimensiunea efectivă a pixelului pe orizontală și verticală (s_x, s_y); - Coordonatele centrului imaginii (o_x, o_y). <p>Se exprima parametri sub o alta formă pentru a putea fi calculați:</p>	
$\begin{aligned} f_x &= \frac{f}{s_x}; \\ \alpha &= \frac{s_y}{s_x} \end{aligned}$	(2.17)
Se rescriu relațiile de legatură;	
$\begin{aligned} x - o_x &= -f_x \frac{r_{11}X^W + r_{12}Y^W + r_{13}Z^W + T_x}{r_{31}X^W + r_{32}Y^W + r_{33}Z^W + T_z} \\ y - o_y &= -f_y \frac{r_{21}X^W + r_{22}Y^W + r_{23}Z^W + T_y}{r_{31}X^W + r_{32}Y^W + r_{33}Z^W + T_z} \end{aligned}$	(2.18)
$x_i \cdot f_y (r_{21}X^W + r_{22}Y^W + r_{23}Z^W + T_y) = y_i \cdot f_x (r_{11}X^W + r_{12}Y^W + r_{13}Z^W + T_x)$	(2.19)
<p>Se notează:</p> $\begin{aligned} v_1 &:= r_{21} & v_2 &:= r_{22} & v_3 &:= r_{23} & v_4 &:= T_y \\ v_5 &:= \alpha \cdot r_{11} & v_6 &:= \alpha \cdot r_{12} & v_8 &:= \alpha \cdot T_x & v_7 &:= \alpha \cdot r_{13} \end{aligned}$	
Se rescrie ecuația (2.20)	
$x_i X_i^W v_1 + x_i Y_i^W v_2 + x_i Z_i^W v_3 + x_i v_4 - y_i X_i^W v_5 + y_i Y_i^W v_6 + y_i Z_i^W v_7 + y_i v_8 = 0$	
Se utilizează ecuația (2.20) rescrisă pentru opt puncte necoplanare;	
$Av = 0$	(2.20)

	$A := \begin{bmatrix} x_1 X_1^W & x_1 Y_1^W & x_1 Z_1^W & x_1 & y_1 X_1^W & y_1 Y_1^W & y_1 Z_1^W & y_1 \\ x_2 X_2^W & x_2 Y_2^W & x_2 Z_2^W & x_2 & y_2 X_2^W & y_2 Y_2^W & y_2 Z_2^W & y_2 \\ x_3 X_3^W & x_3 Y_3^W & x_3 Z_3^W & x_3 & y_3 X_3^W & y_3 Y_3^W & y_3 Z_3^W & y_3 \\ x_4 X_4^W & x_4 Y_4^W & x_4 Z_4^W & x_4 & y_4 X_4^W & y_4 Y_4^W & y_4 Z_4^W & y_4 \\ x_5 X_5^W & x_5 Y_5^W & x_5 Z_5^W & x_5 & y_5 X_5^W & y_5 Y_5^W & y_5 Z_5^W & y_5 \\ x_6 X_6^W & x_6 Y_6^W & x_6 Z_6^W & x_6 & y_6 X_6^W & y_6 Y_6^W & y_6 Z_6^W & y_6 \\ x_7 X_7^W & x_7 Y_7^W & x_7 Z_7^W & x_7 & y_7 X_7^W & y_7 Y_7^W & y_7 Z_7^W & y_7 \\ x_8 X_8^W & x_8 Y_8^W & x_8 Z_8^W & x_8 & y_8 X_8^W & y_8 Y_8^W & y_8 Z_8^W & y_8 \end{bmatrix}$	(2.21)
	Se determină parametri prin descompunerea matricei A cu ajutorul metodei SVD (Singular Value Decomposition – Descompunerea în Valori Singulare);	
	$A = UDV^T$	(2.22)
2	Se calculează factorul de scalare gamma și raportul de aspect alpha utilizând vectorul soluție $v = \bar{v}$ $\bar{v} = \gamma(r_{21}, r_{22}, r_{23}, t_y, \alpha r_{11}, \alpha r_{12}, \alpha r_{13}, \alpha t_x)$ $\sqrt{v_1^2 + v_2^2 + v_3^2} = \sqrt{\gamma^2(r_{21}^2 + r_{22}^2 + r_{23}^2)} = \gamma $ $\sqrt{v_5^2 + v_6^2 + v_7^2} = \sqrt{\gamma^2(r_{11}^2 + r_{12}^2 + r_{13}^2)} = \alpha \cdot \gamma $	(2.23)
3	Se determină matricea de rotație și primii doi termeni ai vectorului de translație;	
4	Se impune condiția de ortogonalitate a matrici de rotație și se determină semnul termenilor acesteia;	
	$x(r_{11}X^W + r_{12}Y^W + r_{13}Z^W + T_x) > 0$	(2.24)
5	Se utilizează metoda celor mai mici pătrate (least squares solution) la un sistem de ecuații asemănător cu (2.21) pentru N puncte (N=8). Se scrie pentru fiecare punct (x_i, y_i) relația:	
	$x(r_{11}X^W + r_{12}Y^W + r_{13}Z^W + T_x) > 0$	(2.25)
6	Se rezolvă sistemul de N ecuații lineare;	
	$A \begin{pmatrix} T_z \\ f_x \end{pmatrix} = b$	(2.26)
	$A = \begin{pmatrix} x_1 & r_{11}X_1^W + r_{12}Y_1^W + r_{13}Z_1^W + T_x \\ x_2 & r_{11}X_2^W + r_{12}Y_2^W + r_{13}Z_2^W + T_x \\ \vdots & \vdots \\ x_N & r_{11}X_N^W + r_{12}Y_N^W + r_{13}Z_N^W + T_x \end{pmatrix} \quad b = \begin{pmatrix} -x_1(r_{31}X_1^W + r_{32}Y_1^W + r_{33}Z_1^W) \\ \vdots \\ -x_N(r_{31}X_N^W + r_{32}Y_N^W + r_{33}Z_N^W) \end{pmatrix}$	
	$\begin{pmatrix} T_z \\ f_x \end{pmatrix} = (A^T A)^{-1} A^T b$	(2.27)

Tabelul 2. 4 Algoritmul metodei Tsai de calibrare a unei camere video. (algoritmul implementat în Matlab se regăsește la anexa 2).

Analog primei metode și următoarea metodă are drept scop determinarea parametrelor intrinseci și extrinseci ai camerei pe baza unei singure imagini a șablonului de calibrare. Diferența față de prima metodă constă în faptul că parametrii camerei sunt obținuți în urma scrierii mai întâi a matricei de proiecție, care realizează legătura dintre coordonatele 3D și cele 2D.

Metoda Faugeras de calibrare a unei camere video	
Etape	
1	<p>Se utilizează pentru calibrare un șablon 3D de tip „tablă de șah”;</p> <p>Se achiziționează o imagine cu șablonul de calibrare și se extrag coordonatele „colțurilor” pătratelor șablonului;</p>
2	<p>Se consideră două sisteme de referință, unul atașat camerei și celălalt atașat șabloului (sistemului global);</p> <p>Se scriu relațiile de legătură dintre coordonatele 3D (X_i^w, Y_i^w, Z_i^w) a unui punct în spațiu și coordonatele 2D (x_i, y_i) a proiecției sale în planul imagine sub forma unei matrice de proiecție M de tip 3×4.</p>
	$\begin{pmatrix} u_i \\ v_i \\ w_i \end{pmatrix} = M \begin{pmatrix} X_i^w \\ Y_i^w \\ Z_i^w \\ 1 \end{pmatrix} \quad (2.28)$
	$x = \frac{u_i}{w_i} = \frac{m_{11}X_i^w + m_{12}Y_i^w + m_{13}Z_i^w + m_{14}}{m_{31}X_i^w + m_{32}Y_i^w + m_{33}Z_i^w + m_{34}}$ $y = \frac{v_i}{w_i} = \frac{m_{21}X_i^w + m_{22}Y_i^w + m_{23}Z_i^w + m_{24}}{m_{31}X_i^w + m_{32}Y_i^w + m_{33}Z_i^w + m_{34}} \quad (2.29)$
	<p>Se definește matricea M până la un factor de scalare arbitrar ce are numai unsprezece parametri independenți, care la rândul lor se determină pe baza unui sistem linear omogen;</p> <p>Se estimează M utilizând metoda celor mai mici pătrate;</p>
	$Am=0 \quad (2.30)$
	$A = \begin{pmatrix} X_1 & Y_1 & Z_1 & 1 & 0 & 0 & 0 & 0 & -x_1X_1 & -x_1Y_1 & -x_1Z_1 & -x_1 \\ 0 & 0 & 0 & 0 & X_1 & Y_1 & Z_1 & 1 & -y_1X_1 & -y_1Y_1 & -y_1Z_1 & -y_1 \\ X_2 & Y_2 & Z_2 & 1 & 0 & 0 & 0 & 0 & -x_2X_2 & -x_2Y_2 & -x_2Z_2 & -x_2 \\ 0 & 0 & 0 & 0 & X_2 & Y_2 & Z_2 & 1 & -y_2X_2 & -y_2Y_2 & -y_2Z_2 & -y_2 \\ \vdots & \dots & \dots & \dots & \dots & \dots & \dots & \dots & \dots & \dots & \dots & \vdots \\ X_N & Y_N & Z_N & 1 & 0 & 0 & 0 & 0 & -x_NX_N & -x_NY_N & -x_NZ_N & -x_N \\ 0 & 0 & 0 & 0 & X_N & Y_N & Z_N & 1 & -y_NX_N & -y_NY_N & -y_NZ_N & -y_N \end{pmatrix} \quad (2.31)$

	$m = [m_{11}, m_{12}, \dots, m_{33}, m_{34}]^T$	(2.32)
	Deoarece rangul matricei A este 11, vectorul m poate fi obținut utilizând metoda descompunerii în valori singulare astfel încât:	
	$A = UDV^T$	(2.33)
2	Se scrie matricea de calibrare M utilizând vectorul coloană m determinat; Se scriu vectorii 3D pe baza matricii;	
	$M = \begin{bmatrix} -f_x r_{11} + o_x r_{31} & -f_x r_{12} + o_x r_{32} & -f_x r_{13} + o_x r_{33} & -f_x T_x + o_x T_z \\ -f_y r_{21} + o_y r_{31} & -f_y r_{22} + o_y r_{32} & -f_y r_{23} + o_y r_{33} & -f_y T_y + o_y T_z \\ r_{31} & r_{32} & r_{33} & T_z \end{bmatrix}$	(2.34)
	$q_1 = [m_{11}, m_{12}, m_{13}]$ $q_2 = [m_{21}, m_{22}, m_{23}]$ $q_3 = [m_{31}, m_{32}, m_{33}]$ $q_4 = [m_{14}, m_{24}, m_{34}]$	(2.35)
3	Se determină valoarea absolută a factorului de scalare;	
	$M = \gamma M$ $\sqrt{m_{31}^2 m_{32}^2 m_{33}^2} = \gamma $ $\sqrt{r_{31}^2 r_{32}^2 r_{33}^2} = \gamma $	(2.36)
4	Se normalizează matricea M prin împărțirea fiecărui element cu $ \gamma $; Se determină primii parametri;	
	$T_z = \sigma m_{34}$ $r_{31} = \sigma m_{31}$ $r_{32} = \sigma m_{32}$ $r_{33} = \sigma m_{33}$	(2.37)
5	Se calculează coordonatele centrului imaginii;	
	$o_x = q_1^T q_3$ $o_y = q_2^T q_3$	(2.38)
6	Se determină distanța focală exprimată în pixeli	
	$f_x = \sqrt{q_1^T q_1 - o_x^2}$ $f_y = \sqrt{q_2^T q_2 - o_y^2}$	(2.39)

7	Se determină restul parametrilor extrinseci precum:	
	$r_{11} = \sigma(o_x m_{31} - m_{11}) / f_x$ $r_{12} = \sigma(o_x m_{32} - m_{12}) / f_x$ $r_{13} = \sigma(o_x m_{33} - m_{13}) / f_x$ $r_{21} = \sigma(o_y m_{31} - m_{21}) / f_y$ $r_{22} = \sigma(o_y m_{32} - m_{22}) / f_y$ $r_{23} = \sigma(o_y m_{33} - m_{23}) / f_y$ $T_x = \sigma(o_x T_z - m_{14}) / f_x$ $T_y = \sigma(o_y T_z - m_{24}) / f_y$	(2.40)

Tabelul 2. 5 Algoritmul metodei Faugeras de calibrare a unei camere video. (algoritmul implementat în Matlab se regăsește la anexa 3).

Deoarece matricea de rotație obținută nu este o matrice ortogonală, se impune condiția de ortogonalitate ($RR^T=I$). Acest lucru se realizează prin descompunerea matricei R cu ajutorul metodei SVD astfel încât $R=UDV^T$ după care se înlocuiește matricea D de tip 3×3 cu matricea identitate I_3 . Matricea ce rezultă $R=UIV^T$ este o matrice ortogonală. Cea de-a doua metodă se utilizează atunci când matricea proiecțiilor este suficientă pentru rezolvarea unei probleme de vedere artificială atâta timp cât nu este nevoie de explicitarea individuală a parametrilor. Prima metodă se bazează pe o tehnică des folosită de comunitatea din domeniul „computer vision” și a fost implementată cu succes în numeroase aplicații.

2.6. Aplicații robotizate cu vedere artificială

Odată cu scăderea prețului senzorilor vizuali și respectiv cu creșterea performanțelor unităților de calcul, au apărut un număr mare de aplicații bazate pe sisteme de vedere artificială a căror aplicabilitate se regăsește în diverse domenii de activitate precum cel industrial (industria alimentară, industria automobilelor, industria electronică, industria farmaceutică etc.) sau de prestări servicii (medicină, divertisment, logistică etc.) (Obinata & Dutta, 2007).

Atât instituțiile de cercetare publice cât și departamentele de cercetare a marilor companii din domeniul industrial manifestă un interes deosebit față de aplicațiile de vedere robotizată, datorită beneficiilor economice semnificative pe care acestea le aduc. Din această cauză tehnologia specifică s-a dezvoltat foarte mult într-un timp relativ scurt.

Un avantaj important al utilizării sistemelor de vedere artificială la nivelul roboților industriali constă în eliminarea constrângerilor de natură mecanică, fapt ce face ca aplicațiile industriale să devină tot mai complexe. Un alt avantaj al acestora este acela că un sistem poate fi folosit la o întregă celulă robotizată astfel încât costul lui se amortizează mai repede.

Aplicațiile de vedere robotizată în domeniul industrial se pot clasifica conform următoarelor două criterii (Gümüş, 2011):

- În funcție de potențialele caracteristici ale obiectului inspectat:
 - o Inspecția calității dimensiunilor (dimensiune, formă, poziție, orientare, aliniere etc.)

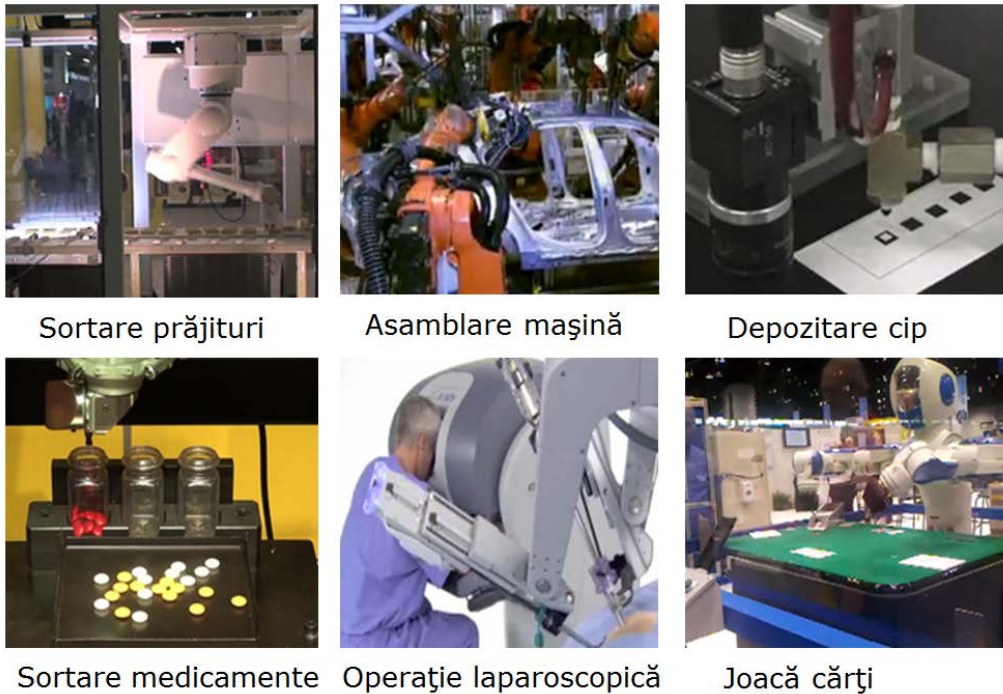


Figura 2. 14: Vederea artificială în diverse domenii de activitate

- Inspecția calității suprafeței (zgârieturi, crăpături, uzură, finisaj, rugozitate, textură, continuitate, denivelări etc.);
 - Inspecția calității structurii (prezența/absența pieselor componente necesare asamblării precum șuruburi, găuri, nituri, clame și prezența corpurilor străine precum praf, mizerie etc.) ;
 - Inspecția calității operației (verificarea funcționării corecte a produselor inspectate în conformitate cu standardele de fabricație).
 - În funcție de gradul de libertate a sistemului:
 - Grad de libertate mare (sisteme ce pot fi extinse din punct de vedere al aplicației – sisteme flexibile);
 - Grad de libertate mic (sisteme utilizate doar pentru aplicațiile pentru care a fost proiectat – sisteme rigide).
- Gradul de libertate al sistemului se găsește în strânsă legătură cu gradul de libertate al obiectului vizat, care la rândul său este dat de caracteristicile acestuia: poziție, dimensiune geometrică, formă, culoare, textură etc..
- În funcție de natura operației realizate:
 - Automatizarea producției;
 - Eliminarea defectelor;
 - Urmărirea și identificarea obiectelor;
 - Verificarea ansamblului;
 - Alte aplicații specifice;
- În continuare sunt prezentate câteva aplicații din domeniul industrial unde este folosită vederea artificială pentru controlul roboților.

2.6.1. Aplicații în industria de automobile

Complexitatea automobilelor din ziua de astăzi a crescut foarte mult, fapt ce a dus la creșterea riscului de apariție a diverselor erori de-a lungul procesului de fabricație. Pentru a evita acest lucru, producătorii din acest domeniu competitiv de activitate au recurs la diverse metode printre care și la utilizarea vederii artificiale în majoritatea fazelor de producție.

Firma „IBG Automation GmbH” (Neuenrade, Germany) a dezvoltat un sistem sofisticat de asamblare ce permite poziționarea și fixarea roților și de asemenea strângerea șuruburilor la automobile în timp ce acestea se deplasează de-a lungul unei linii de fabricație. Sistemul a fost implementat la firma Magna Steyr (Graz, Austria) pentru montarea roților unui automobil de tip BMW X3s. Componentele acestui sistem constau în roboți industriali de tip braț articulat cu șase grade de libertate de la Kuka prevăzute cu camere video de tip „Matrox Iris GT smart camera” pe care este instalat un algoritm complex de vedere computerizată realizat cu ajutorul unui soft specializat (Matrox Design Assistant). Acesta permite determinarea poziției (x,y), rotației (Rz) și distanței (z) centrului jantei față de cameră.

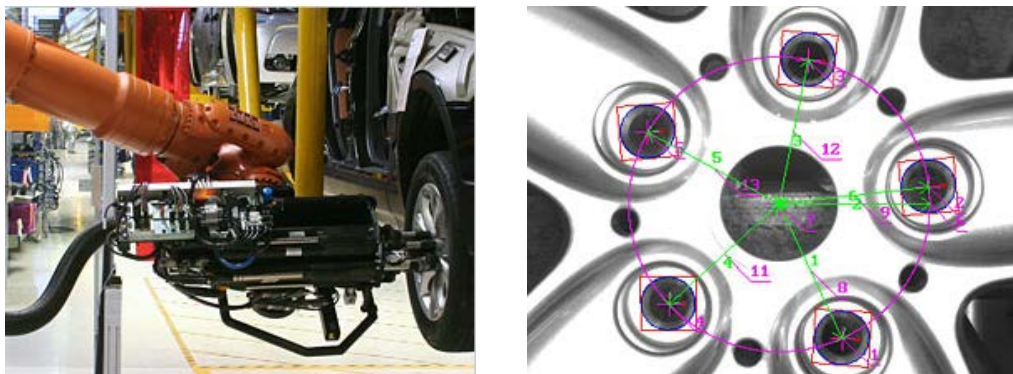


Figura 2. 15: Fixarea roților la automobile (AUTOMATICA, 2012)

Un alt exemplu constă într-o operație de inspecție a pieselor de tip cap de cilindru utilizând un sistem de vedere artificială într-o celulă robotizată (Kruachottikul 2012). Scopul aplicației este reducerea erorilor și consecințelor rezultate în urma inspecției vizuale manuale prin înlocuirea cu un sistem fiabil de vedere artificială robotizată.

Sistemul de vedere robotizată de tip SOLIMAC conceput pentru inspecția capetelor de cilindru ale unui automobil este alcătuit din trei stații ce permit inspecția și analiza completă a produselor liniei de fabricație și grupare a acestora în produse ce îndeplinesc sau nu îndeplinesc cerințele de calitate impuse.

Prima stație este prevăzută cu două camere video atașate unei axe de translație ce detectează culoarea arcului și penei fiecărei supape. A doua stație este compusă dintr-un robot, de care este atașată o cameră video ce permite o inspecție mai flexibilă a produsului. Acesta realizează poziționarea precisă a camerei video la un anumit unghi astfel încât să poată fi citit numărul de serie al produsului utilizând metode de recunoaștere de caractere (Optical Character Recognition - OCR), iar ultima stație, pe baza informațiilor obținute anterior, direcționează produsele.



Figura 2. 16: Sistemului de inspectare SOLIMAC (SOLIMAC, 2012).

Filiala americană a companiei japoneze Ogihara, una dintre cele mai mari companii ce produc și distribuie componente de înaltă calitate pentru automobile în întreaga lume, a automatizat întregul proces de inspectare dimensională a pieselor și de asamblare. Acest lucru a fost posibil datorită implementării pe diverși roboți industriali a sistemelor de vedere artificială dezvoltate pentru metrologie de firma Hexagon Metrology ce permit prelevarea informațiilor dimensionale de la obiectele măsurate indiferent de formă, dimensiune sau complexitate (CogniTens, 2009).

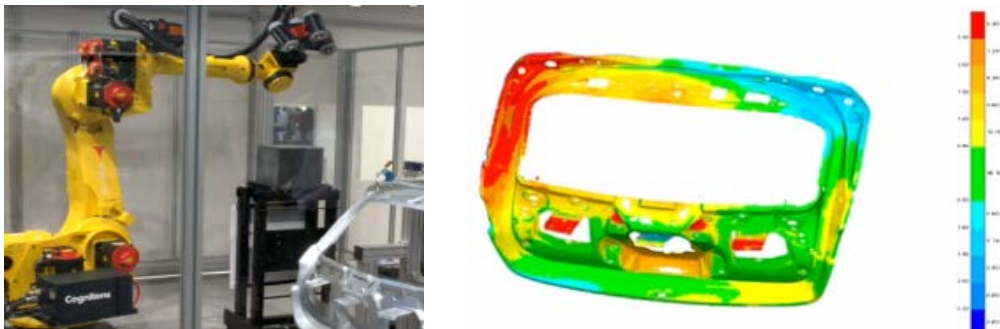


Figura 2. 17: Sistemul de măsurare pe bază de vedere artificială Hexagon(CogniTens, 2009).

Compania internațională de camioane și motoare „International Truck and Engine Corporation”, a implementat la fabrica sa din Indianapolis, un sistem robotizat cu vedere artificială, ce avea drept scop verificarea amplasării corecte, în timpul asamblării, a punților supapei unui motor diesel (Austin 2005). Celula de fabricație robotizată deține un robot cu șase grade de libertate de tip ABB IRB 140 pe care este montată o cameră video. În momentul în care motorul se găsea în spațiul de lucru al robotului, acesta se deplasa deasupra blocului motor, poziționându-se în anumite puncte de inspecție astfel încât camera video să poată preleva imaginile necesare. Algoritmii de procesare permit determinarea poziției exacte a celor șaisprezece punți.

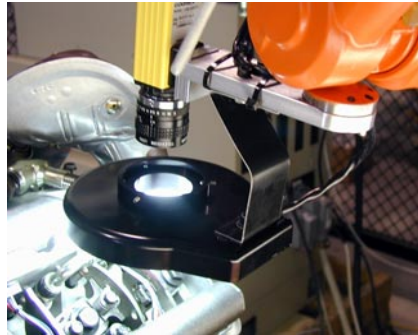


Figura 2. 18: Inspectarea poziției punților unui motor diesel (VISION 2012).

Alte aplicații de vedere robotizată, în industria automobilelor, pot fi de asamblare automată a ușilor și geamurilor. În aceste cazuri robotul preia piesa vizată și o aduce într-o anumită poziție de fixare, iar sistemul de vedere artificială achiziționează și analizează imaginile necesare pentru a determina ofset-urile existente. Datele pentru corectarea poziției și orientării sunt ulterior trimise robotului pentru a realiza asamblarea.



Figura 2. 19: Montarea automată a ușilor și geamurilor unui automobil (Perceptron, 2012).

2.6.2. Aplicații în industria alimentară

Industria alimentară, una dintre cele mai importante componente ale economiei unei țări, beneficiază la rândul ei de avantajele date de vederea robotizată. Aplicațiile cele mai uzuale sunt de detectare de defecte, manipulare de produse, sortare și ambalare.

În cadrul unei firme de patiserie din Europa se face sortarea și ambalarea a optzeci de sortimente de produse. Soluția adoptată de firma în cauză pentru realizarea operațiilor, a fost instalarea unei linii robotizate denumită „Astor” compusă din opt roboți de tip „delta”, conduși pe bază de vedere artificială care pot executa operații de „pick and place” a 140 de unități pe minut. Sistemul de vedere artificială folosit este un sistem de tip „Matrox 4Sight M” ce permite achiziționarea și prelucrarea în timp real a imaginilor cu prăjiturile aflate pe o bandă transportoare.

2.6. Aplicații robotizate cu vedere artificială 41

Algoritmul de vedere utilizat determină poziția prăjiturii pe bandă și de asemenea determină dacă forma și culoarea prăjiturii corespunde calității impuse.

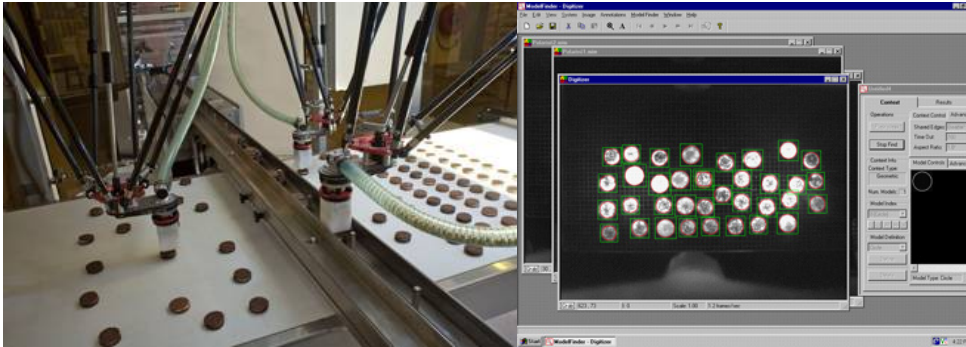


Figura 2. 20: Sortarea prăjiturilor (MATROX, 2012).

Un alt exemplu este cel de manipulare și depozitare a produselor din carne, proaspete sau congelate, în recipiente specifice. Pentru acest tip aplicație un producător a decis să utilizeze roboți cu configurație paralelă, cum este „FlexPicker IRB 360” de la firma ABB, deoarece au viteze de lucru mari și flexibilitate ridicată. Această alegere este justificată de faptul că feliile de carne sosesc pe o bandă transportoare, la o viteză foarte mare în poziții aleatoare. Sistemul de vedere artificială, realizează în timp real operația de localizare a produsului pe bandă simultan cu operația de analiză a calității acestuia și transmite rezultatele obținute roboților. Feliile de carne, ce nu îndeplineau criteriile de calitate, sunt îndepărtate iar celelalte sunt plasate, în caserole, cutii sau tăvi pentru a fi ambalate.



Figura 2. 21: Operația de plasarea în caserole a feliilor de carne (VISION 2012).

O altă aplicație este cea de dezosare a carcaselor de carne. De obicei această operație este realizată manual de către un operator uman. Carcasele de carne, indiferent de tipul de animal, au diferite forme și dimensiuni, fapt ce face ca automatizarea procesului să fie dificilă, dat fiind gradul de complexitate ridicat al programului necesar a fi implementat pe o mașină sau pe un robot.

Pentru soluționarea acestei probleme, un grup de cercetători de la institutul de învățare și cercetare din Georgia, Statele Unite ale Americi, (Georgia Tech Research Institute - GTRI), au dezvoltat un sistem de vedere robotizată ce permite tăierea și dezosarea unei găini. Sistemul intitulat "Intelligent Cutting and Deboning System" este compus din doi roboți și un sistem de vedere 3D. Un braț robotizat cu șase grade de libertate manipulează „găina” astfel încât sistemul de vedere 3D să poată preleva imaginile necesare iar celălalt robot cu două grade de libertate să poată realiza operațiile de tăiere și de dezosare. Algoritmul estimează poziția oasele și ligamentele acesteia, pe baza unor repere identificate în imagini, ce se regăsesc în diferite locații în exteriorul păsării (Britton 2011).



Figura 2. 22: Operația de tăiere și dezosare a unei găini (GTRI 2012).

2.6.3. Aplicații în industria electronică

Industria electronică este o ramură tânără a economiei, ce derivă din cadrul industriei energetice și electrotehnice și care s-a dezvoltat foarte mult într-un timp extrem de scurt. Cercetările și descoperirile din cadrul acestei industrii precum miniaturizarea componentelor de natură electrică și electronică au condus la creșterea continuă a cerințelor pentru inspectarea componentelor, poziționarea și localizarea precisă a acestora. Din aceste considerente s-a recurs la vedere computerizată și vedere robotizată pentru automatizarea operațiilor de inspectare (determinarea prezenței sau absenței componentelor, determinarea montării corecte sau incorecte a pieselor) și respectiv la automatizarea operațiilor de asamblare (determinarea situației pieselor, manipularea, inserarea și lipirea componentelor).

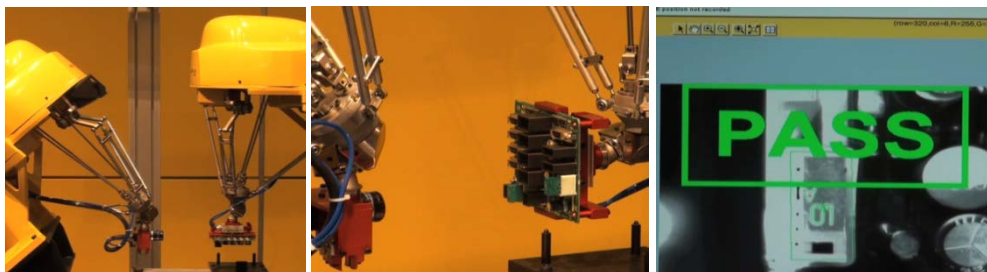


Figura 2. 23: Montarea componentelor electronice pe o placă de calculator (ROBOT, 2012)

Un exemplu de aplicație presupune utilizarea vederii robotizate pentru realizarea operației de asamblare a unor componente electronice de dimensiuni mici pe o placă de calculator (o placa de bază).

Celula robotizată concepută pentru această aplicație este formată dintr-un sistem de vedere artificială de tip „iRVision” și doi roboți industriali. Dat fiind faptul că natura operației de asamblare presupune un grad ridicat de precizie în poziționare și viteză mare, roboții utilizați sunt de tip paralel cu șase grade de libertate, de la firma Fanuc (M-1iA).

Aplicația în sine constă în manipularea plăcii de calculator de către unul din roboți, inspectarea ei de către celălalt robot prevăzut cu sistemul de vedere artificială, determinarea locațiilor unde trebuie amplasate componentele electronice, realizarea operației de asamblare și inspectarea corectitudinii asamblării.

O altă aplicație este identificarea și sortarea de pini pentru asamblarea unor conectori electrice. Compania de roboți industriali Fanuc a dezvoltat o celulă robotizată compusă dintr-un robot paralel cu șase axe (M-1iA) și un sistem de vedere artificială compus din două camere de luat vederi. Piesele sunt aduse în zona de lucru a robotului pe o bandă transportoare de alimentare, având poziții și orientări aleatoare. Una din camere, montată la nivelul robotului, achiziționează imagini cu piesele în cauză, iar algoritmul de vedere computerizată implementat, realizat cu ajutorul programului specializat *Fanuc Robotics 2D iRVision*, prelucrează imaginile, determină poziția acestora și transmite informația necesară prelevării pinilor de către robot. Operația de determinare a orientării pinului se realizează cu ajutorul celeilalte camere video, montată sub zona de lucru, în dreptul căreia robotul aduce un capăt al pinului prelevat. În acest fel se determină modalitatea de asamblare a pinului în conector. De asemenea, pe baza imaginilor prelevate de camera doi se determină dacă pinul corespunde cerințelor de calitate impuse, respectiv dacă pinul este sau nu defect.

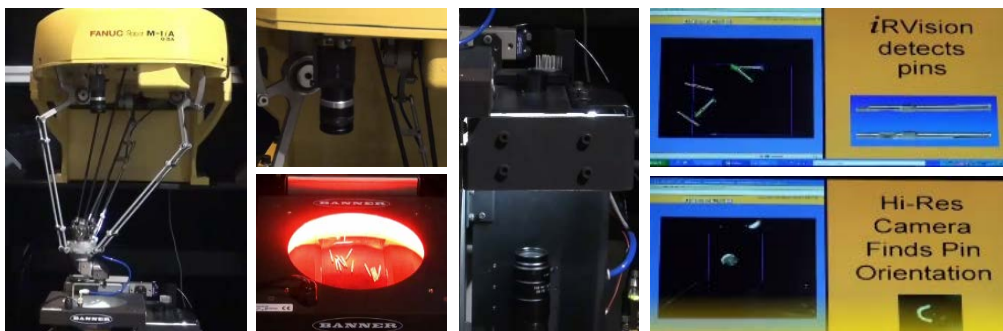


Figura 2. 24: Asamblarea pinilor într-un conector electric (ROBOT, 2012).

2.7. Concluzii

Ținând cont de multitudinea aplicațiilor de vedere artificială implementate în diverse domenii de activitate, de numărul semnificativ de cercetări din domeniul vederii robotizate, respectiv din domeniul vederii computerizate și cel al prelucrării de imagini, se poate afirma că acest capitol subliniază actualitatea tematicii abordate în cadrul prezentei lucrări.

3. OBIECTIVELE ȘI PLANUL DE CERCETARE

3.1. Obiectivele cercetării

Pornind de la analiza cercetărilor actuale din domeniu, teza de doctorat își propune ca obiectiv general îmbunătățirea proceselor de manipulare robotizate pe baza procesării de imagini.

Prezenta cercetare se încadrează conform *Planului Național de Cercetare, Dezvoltare și Inovare, 2007 – 2013, PII* în axa prioritară „1 Tehnologia Informației și Comunicații”. Direcția de cercetare „1.4 Inteligență artificială, robotica și sistemele autonome avansate” ce presupune ca tematică de cercetare „7. Dezvoltarea de sisteme inteligente cu autonomie ridicată, inclusiv roboți autonomi”.

Cercetările efectuate de-a lungul studiilor doctorale au fost focalizate, în principal, pe îndeplinirea unui obiectiv principal care constă în dezvoltarea și implementarea unor algoritmi de vedere computerizată destinați conducerii automate și semi-automate a roboților.

Obiective derivate sunt:

- A. Conceperea și dezvoltarea unui algoritm de prelucrare de imagini, care să poată fi utilizat într-un proces semi-automatizat.
- B. Dezvoltarea unor aplicații de vedere robotizată (robot vision) prin elaborarea unor algoritmi de vedere computerizată (computer vision) pe baza metodelor existente de prelucrare și procesare a imaginilor cu scopul de recunoaștere a unor obiecte industriale 2D (de tip placă);
- C. Îmbunătățirea metodelor existente de procesare a imaginilor și elaborarea unor algoritmi pentru recunoașterea obiectelor de tip 3D;
- D. Dezvoltarea și implementarea unui algoritm de vedere computerizată într-o celulă robotizată în vederea optimizării prinderii și manipulării unui obiect de tip industrial.

Pentru atingerea acestor obiective a fost necesară întreprinderea următoarelor direcții de acțiune:

1. Realizarea unei cercetări extinse cu privire la metodele de prelucrare a imaginilor și recunoaștere a formelor ce sunt utilizate în cadrul algoritmilor de vedere computerizată;
2. Analiza diverselor tehnici, existente la ora actuală, de conducere a sistemelor robotizate pe baza algoritmilor de vedere computerizată;
3. Studiarea aplicațiilor de vedere robotizată existente la ora actuală în domeniul industrial și identificarea posibilelor operații ce pot fi îmbunătățite sau dezvoltate.
4. Identificarea unei modalități de determinare a poziției robotului în spațiul de lucru, pe baza prelucrării de imagini;
5. Detectarea unor defecte de suprafață, ale unei structuri, pe baza de imagini, pentru determinarea efectelor acestora asupra integrității ansamblului.
6. Identificarea obiectelor solide 2D (obiecte de tip placă la care cea de-a treia mărime este neglijabilă în raport cu celelalte două) din imaginile prelevate

de sistemul de vedere artificial pentru realizarea de către robot a operației de manipulare;

7. Identificarea obiectelor 3D din imaginile achiziționate de la camera video ce este atașată unui robot în vederea îndeplinirii funcției de manipulare;
8. Determinarea unei modalități de optimizare a operației de manipulare a pieselor industriale de către robot și conceperea unui model matematic care să fie implementat într-o aplicație de vedere robotizată.

3.2. Planul de activitate

Obiective	Activități	Rezultate
Obiectivul A Obiectivul B Obiectivul C Obiectivul D	Activitatea 1	<ul style="list-style-type: none"> • Rezultatele obținute au fost valorificate prin întocmirea referatului cu titlul <i>“Stadiul actual al metodelor de prelucrare a imaginilor în timp real”</i>.
	Activitatea 2 Activitatea 3	<ul style="list-style-type: none"> • Informațiile acumulate de-a lungul acestor activități au fost concretizate în referatul cu titlul <i>“Conducerea sistemelor mobile pe baza vederii artificiale”</i>.
	Activitatea 4	<ul style="list-style-type: none"> • Au fost implementați în Matlab doi algoritmi de calibrare a camerelor video, ce se regăsesc în literatura de specialitate.
Obiectivul A	Activitatea 5	<ul style="list-style-type: none"> • A fost dezvoltată în Matlab o aplicație de identificare a defectelor de suprafață, ce pot să apară la nivelul fațadelor clădirilor.
Obiectivul B	Activitatea 6	<ul style="list-style-type: none"> • S-a proiectat în LabView două aplicații de recunoaștere a obiectelor 2D. • A fost dezvoltată o aplicație de detectare, recunoaștere a unor obiecte colorate. în vederea manipulării robotizate
Obiectivul C	Activitatea 7	<ul style="list-style-type: none"> • Au fost elaborate trei aplicații industriale de tip „pick and place” în Matlab care permit detectarea, recunoașterea, identificarea, sortarea și manipularea unor obiecte 3D.
Obiectivul D	Activitatea 8	<ul style="list-style-type: none"> • A fost implementată într-o aplicație de vedere robotizată un algoritm de optimizare a prinderii obiectelor între bacurile dispozitivului de prehensare.

4. APLICAȚIE DE INSPECTARE A SUPRAFEȚELOR

În cadrul acestui capitol este prezentată o aplicație de prelucrare de imagini, ce poate fi folosită la îmbunătățirea operației de inspectare a fațadelor clădirilor, prin automatizarea procesului de prelucrare a informației utile.

4.1. Introducere

Scopul aplicației: Identificarea defectelor ce apar la nivelul structurii fațadelor clădirilor în vederea determinării efectelor acestora asupra integrității clădirii.

Orice clădire existentă la ora actuală se deteriorează în timp din cauza diversilor factori naturali (dilatarea și contracția solului, cutremur, ploi, ninsoare, vânt și schimbări de temperatură) sau artificiali (vibrații produse de om, supraîncărcare și intervenții distructive la nivelul structurii de rezistență). Plecându-se de la acest aspect, ce presupune costuri de restaurare ridicate, apare nevoia de concepere a unor metode non-distructive de monitorizare a „sănătății” structurii clădirilor. Metodele existente la ora actuală sunt realizate la înălțime, de personal calificat și sunt periculoase, laborioase și imprecise datorita erorilor ce pot să apară ca efect al oboselii operatorului uman. De asemenea, exactitatea rezultatelor prezentate de raportul de diagnosticare diferă în funcție de specialist datorita factorului subiectiv. Din acest motiv a fost dezvoltat un sistem mai eficient de evaluare a defectelor ce pot să apară la nivelul fațadelor clădirilor (Pop, 2010b).

4.2. Sistemul de inspectare

În vederea realizării unei aplicații de identificare a defectelor de tip crăpătură, ce apar la nivelul fațadelor clădirilor, este necesară utilizarea unor sisteme mecanizate sau robotizate de prelevare controlată a imaginilor corespunzătoare. Două variante posibile, de astfel de sisteme, ce ar putea fi utilizate, sunt ilustrate în figura 4.1.

Pașii necesari a fi parcurși pentru realizarea acestei aplicații sunt prezentați succint după cum urmează:

- Pasul 1. Prelevarea imaginilor necesare realizării operației de mapare a fațadei unei clădiri. Deplasarea camerei video într-un plan paralel cu fațada clădirii se realizează în mod automat și controlat;
- Pasul 2. Îmbunătățirea imaginilor prelevate prin aplicarea unor metode de procesare a imaginii;
- Pasul 3. Stabilirea corespondenței între imaginile prelevate și porțiunile din fațadă;
- Pasul 4. Analizarea fiecărei imagini achiziționate;
- Pasul 5. Determinarea fisurilor fațadei conținute într-o singură imagine;
- Pasul 6. Concatenarea imaginilor cu eliminarea zonelor comune;

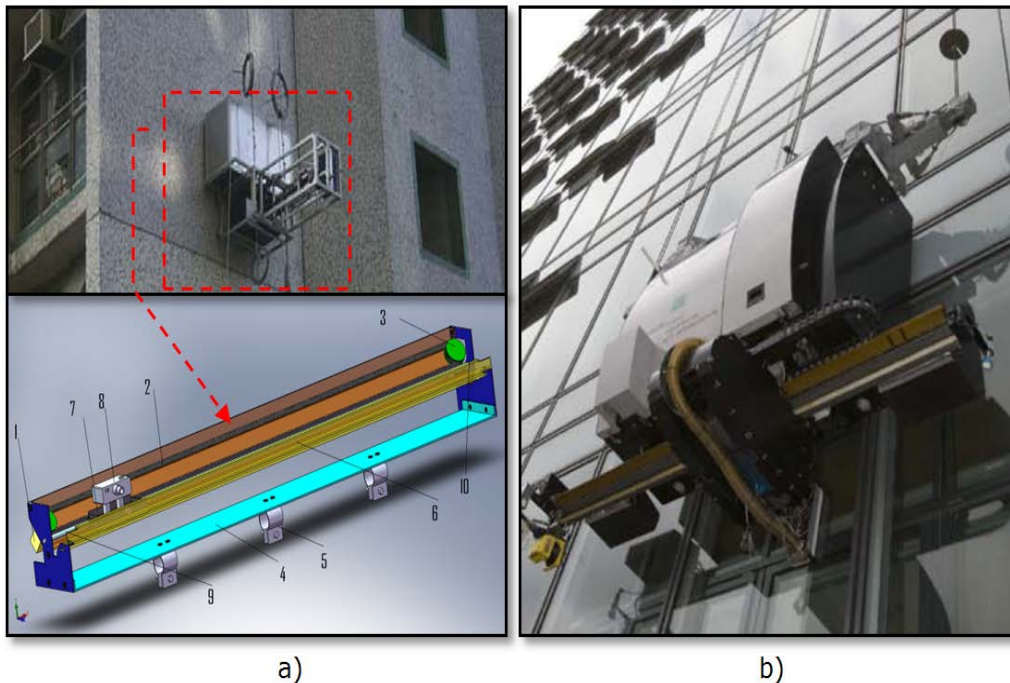


Figura 4. 1: Posibile sisteme de prelevare imagini a) Dispozitiv ghidare cameră, montat pe o nacelă; b) Robotu cartezian SIRIUSc (Elkmann, 2008)

Pasul 7. Determinarea fisurilor din imaginile combinate;

4.3. Aplicația în Matlab

Partea software, ce ține de detectarea și analiza defectelor, a fost realizată pentru a automatiza procesul de analiză și diagnosticare a defectelor ce apar la nivelul fațadelor clădirilor. Acest program, respectiv algoritmul de procesare de imagini (anexa 4), a fost dezvoltat cu ajutorul mediului de lucru Matlab, și permite detectarea defectelor de tip crăpătură și măsurarea lungimii și unghiului de înclinare față de orizontală pe baza imaginilor prelevate de sistemele anterior menționate.

Pentru realizarea detectării și măsurării crăpăturilor, imaginile fațadei clădirii ce au fost achiziționate au trebuit să fie supuse diverselor operații de prelucrare precum: corectarea defectelor, îmbunătățirea contrastului și luminozității respectiv îmbunătățirea vizibilității anumitor entități din imagine, delimitarea obiectelor față de fundal etc., operații ce au fost integrate în algoritmul programului de prelucrare de imagini.

În vederea îndeplinirii scopului aplicației și utilizării cu ușurință de către un operator uman, algoritmul de prelucrare este prevăzut cu o interfață grafică de tip GUI realizată tot în mediul de lucru Matlab (figura 4.2). Interfața deține un număr de butoane cu diferite funcții, casete text în care se pot introduce sau afișa valori numerice, meniuri pentru modificarea caracteristicilor, toate fiind grupate în două panouri ce delimitează cei doi pași necesari a fi parcurși pentru obținerea

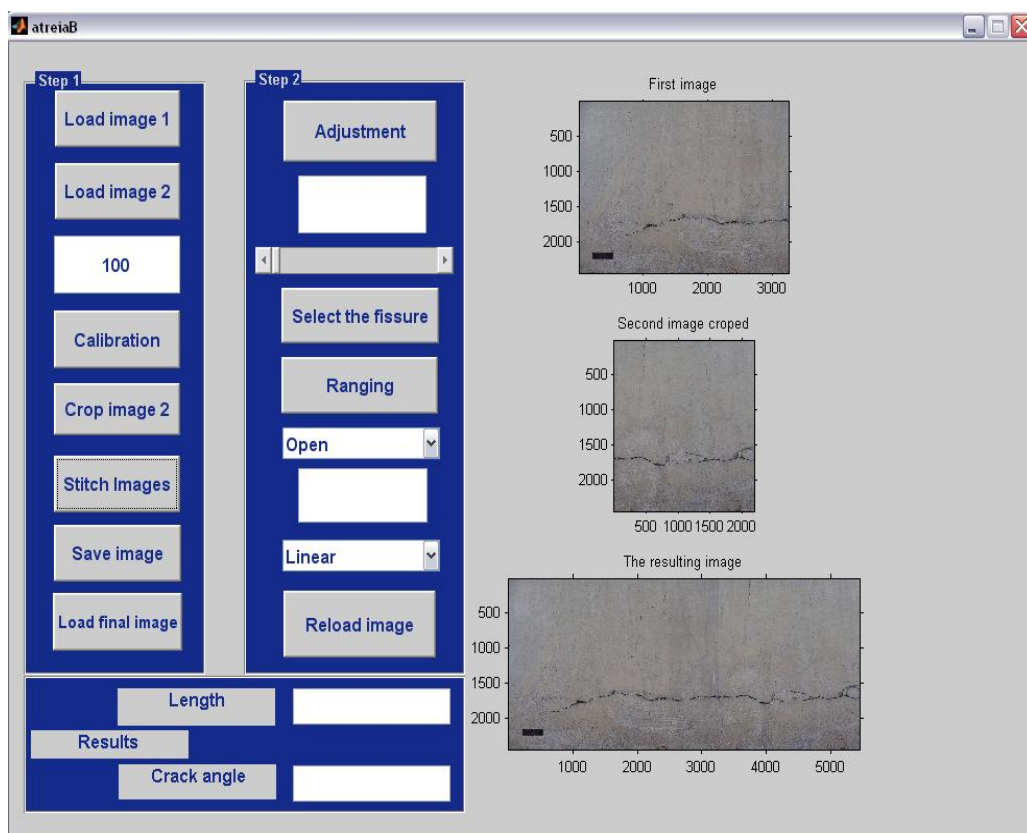


Figura 4. 2: Interfața grafică

rezultatelor scontate și de asemenea este prevăzută și cu ferestre pentru afișarea rezultatelor.

Interfața prezintă două butoane de încărcare de imagini în interfața grafică (Load image 1 și Load image 2) cu scopul de a fi prelucrate ulterior. Butoanele permit încărcarea fișierelor de tip jpg., care în urma operației de achiziție sunt stocate pe calculator.

Următorul buton (Calibration) împreună cu caseta text asociată, permit realizarea unei așa numite calibrări a sistemului. Prin calibrare, în acest caz se înțelege relația de legătură dintre unitatea de măsură din imagine (pixel) și unitatea de măsură din realitate (milimetri). Pentru a se putea realiza această operație este necesar ca sistemul de care se atașază camera video să execute o mișcare lineară și să mențină planul obiect, respectiv fațada clădirii, paralel cu planul imagine (senzorul video). De asemenea, camera video, este necesar să fie prevăzută cu un etalon de tip riglă, ce intra în contact cu planul obiect și să fie acționată doar în momentul când se afla la capăt de cursă în poziție staționară. Prin urmare, în caseta text se introduce valoarea în milimetri a etalonului ce este prelevat împreună cu fiecare imagine. Prin acest procedeu se asociază o anumită valoare în milimetri unui anumit număr de pixeli.

Utilizând relației dintre pixel și milimetru obținută anterior, pe baza lungimii cursei și pe baza dimensiunii câmpului vizual, algoritmul poate determina cât din a doua imagine se suprapune peste prima. De aceea butonul (Crop image 2) în urma acționării elimină din a doua imagine surplusul de informație.

Următorul buton din primul panel (Stitch images) realizează lipirea celor două imagini obținute, astfel încât se obține o singură imagine ce deține întreaga informație din cele două.

Iar ultimele butoane (Save image și Load image) realizează salvarea imaginii obținute pe unitatea de stocare și încărcarea ei în interfața grafică pentru a putea fi ulterior prelucrată.

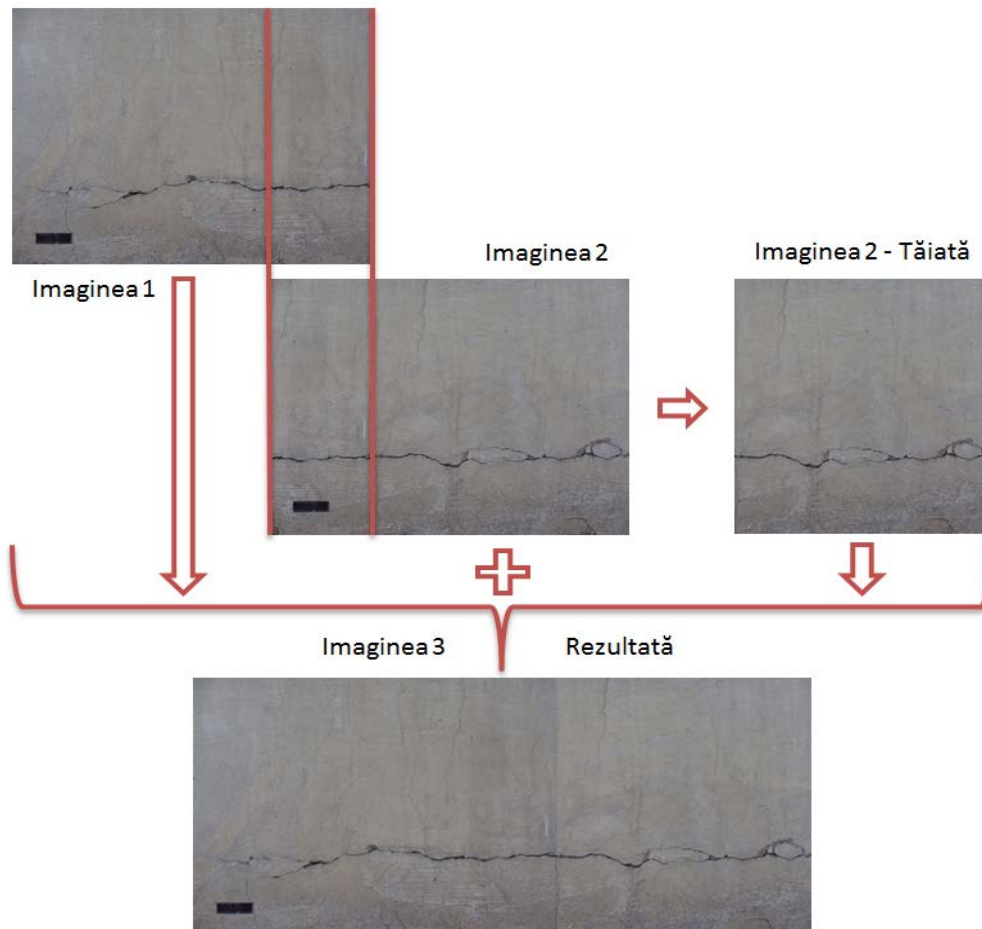


Figura 4. 3: Imaginea obținută după parcurgerea primului pas

În cazul în care crăpătura ce se dorește a fi analizată este mai mare și se regăsește în mai mult de două imagini, operațiile de la pasul 1 se repetă. Se încarcă imaginea rezultată ca imaginea 1 iar imaginea următoare prelevată de sistemul video ca fiind imaginea 2. Se repetă operațiile de la pasul unu până când imaginea rezultată conține întreaga crăpătură.

Pasul următor al interfeței permite utilizatorului să proceseze imaginea rezultată în vederea obținerii informației necesare despre crăpătura analizată. Prima operație a acestui pas constă în îmbunătățirea imaginii pentru a evidenția cât mai bine crăpătura. Butonul care realizează acest lucru este „Adjust Contrast” ce permite practic modificarea contrastului și luminozității imaginii pe baza histogramei. Această operație este opțională deoarece este condiționată de imaginea rezultată.

Următoarea operație de procesare a imaginii este cea de binarizare și se realizează cu ajutorul unei bare de rulare. Operația este necesară pentru evidențierea crăpăturii și presupune modificarea valorii fiecărui pixel astfel încât imaginea în niveluri de gri (0 corespunde pentru negru, iar 255 reprezintă intensitatea maximă sau alb) se transformă în imagine binară (0 corespunde pentru negru și 1 pentru alb). Modificarea se realizează manual, iar nivelul de prag este indicat într-o casetă text.

Butonul următor (Select the fissure) permite selectarea unei zone ce conține crăpătura ce urmează a fi analizată. Această operație este de asemenea opțională și se realizează doar în cazul în care imaginea conține mai multe crăpături și se dorește analiza una și eliminarea celorlalte. Practic se realizează extragere din imaginea originală a zonei ce se dorește a fi analizată. Pentru revenirea la imaginea inițială se utilizează butonul de reîncărcare a imaginii (Reload image).

Panoul acestui pas este prevăzut și cu două meniuri de tip pop-up. Primul permite selectarea operației morfologice ce urmează a fi utilizată (operație de tip open sau close). Acest control realizează o curățare a imaginii astfel încât crăpătura să fie cât mai bine evidențiată. Cel de-al doilea permite selectarea tipului de crăpătură ce urmează a fi analizată. Aceasta poate fi liniară, bifurcată sau curbă. În funcție de tipul de crăpătură aleasă, selectarea în imagine se realizează în mod diferit. Selectarea unei crăpături liniare, în program, se face prin selectarea celor două extremități ale acesteia. Deoarece precizia necesară în acest caz este mică s-a considerat că este suficient să se aproximeze lungimea printr-o dreaptă. Lungimea crăpăturii și unghiul corespunzător sunt afișate în două casete text aflate în colțul stânga jos al interfeței. Dacă în imagine există o crăpătură bifurcată atunci selectarea se face de la începutul crăpăturii până la bifurcare, după care se selectează fiecare ramură a bifurcației dintr-un capăt în altul. În cazul unor crăpături curbe se selectează câteva puncte de pe curbă și capetele crăpăturii.

Rezultatele acestei aplicații în urma procesării și analizei crăpături sunt lungimea crăpăturii și unghiul de înclinare al acesteia.

Dacă în cazul crăpăturii liniare rezultatele sunt obținute imediat, în cazul crăpăturii bifurcate lungimea acesteia este suma totală a tuturor segmentelor crăpăturii, iar unghiul rezultat, care este afișat în caseta text, este unghiul dat de ramura cu lungimea cea mai mare.

În cazul crăpăturilor curbe lungimea este dată de suma segmentelor care formează curba iar valoarea unghiului de înclinare față de orizontală nu este afișat deoarece nu există un segment mai mare care să fie reprezentativ pentru întreaga crăpătură.

Rezultatul obținut în cazul analizei unei crăpături liniare, cu o valoare a pragului de binarizare de 90 și utilizând operația morfologică open este reprezentat în figura 4.4.

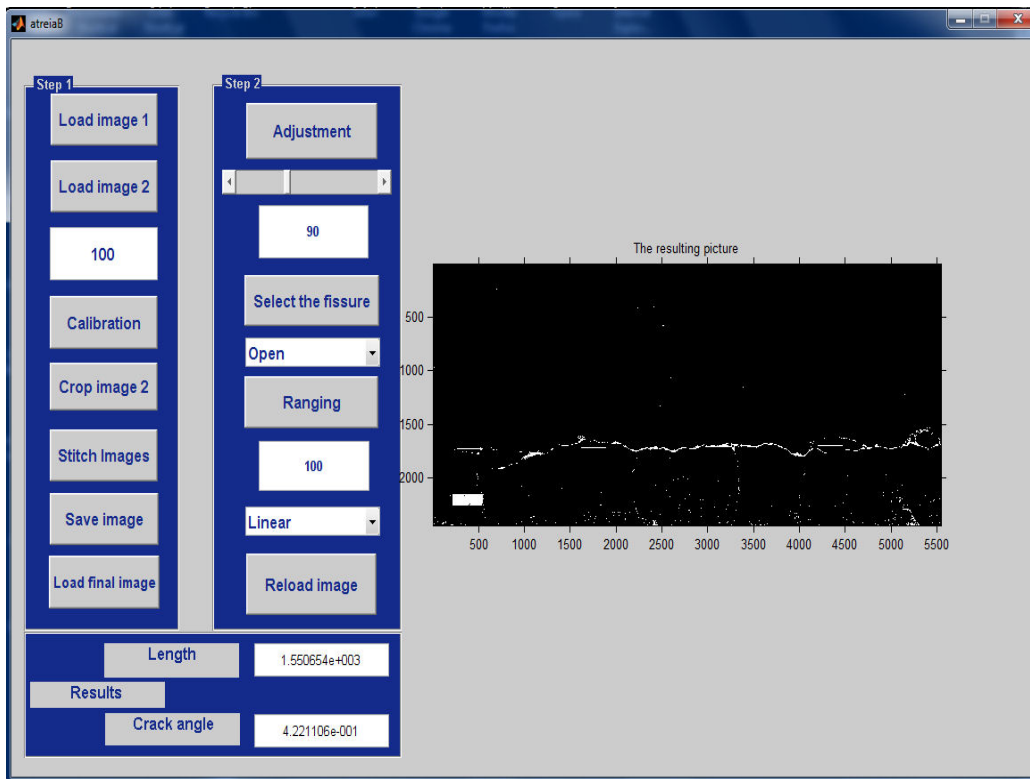


Figura 4. 4: Interfața grafică cu rezultatul obținut

4.4. Concluzii și rezultate

Aplicația de inspectarea a fațadelor clădirilor, prezentată în acest capitol reprezintă o îmbunătățire a sistemelor existente de detectare a fisurilor de suprafață, deoarece folosește instrumente de procesare a imaginii, ce permit evitarea erorilor umane de detecție precum:

- identificări eronate de fisuri (crăpături);
- detectare lentă;
- rezultate subiective;
- ineficiența gestionării datelor;

Rezultatele obținute în urma realizării acestei aplicații de prelucrare de imagini, au fost diseminate într-o lucrare științifică, ce a fost publicată și indexată într-o bază de date internațională (Pop, 2010b).

5. PROIECTAREA DE APLICAȚII ÎN LABVIEW PENTRU PROCESAREA IMAGINILOR ȘI CONTROLUL ROBOȚILOR

În cadrul acestui capitol sunt prezentate două aplicații. Prima aplicație este de recunoaștere și clasificare a unor obiecte de tip țevă. Cea de-a doua aplicație este de conducere a unui robot cartezian pe baza unei traiectorii generate cu ajutorul unor informații extrase din imagini prelevate de la un obiect 2D aflat în spațiul de lucru al robotului. Aplicațiile prezentate, au fost realizate pe parcursul unui stagiu de cercetare efectuat, pe o perioadă de 6 luni, la Universitatea de Studi din Udine, Italia (Universita degli Studi di Udine, Facolta di Ingegneria, Dipartimento di Ingegneria Elettrica, Gestionale e Meccanica).

5.1. Aplicație de identificare a tipului de obiecte

Scopul aplicației: Detectarea, recunoașterea și clasificarea unor obiecte din imagini pe baza unui algoritm de vedere computerizată, dezvoltat pentru îmbunătățirea proceselor industriale de identificare a diverselor obiecte.

Problema de recunoaștere a obiectelor pe bază de imagini este un subiect de vedere computerizată care a fost studiat de o lungă perioadă de timp, dar care prezintă în continuare un interes deoarece continuă să fie tratat în actualele cercetări din domeniu.

Aplicația constă în identificarea unor obiecte de tip țevă din imaginile achiziționate de o cameră video ce este montată într-o poziție fixă, pe un trepied, față de planul obiect (Pop, 2011b). Pentru realizarea acestei aplicații s-a utilizat standul experimental din figura 5.1.

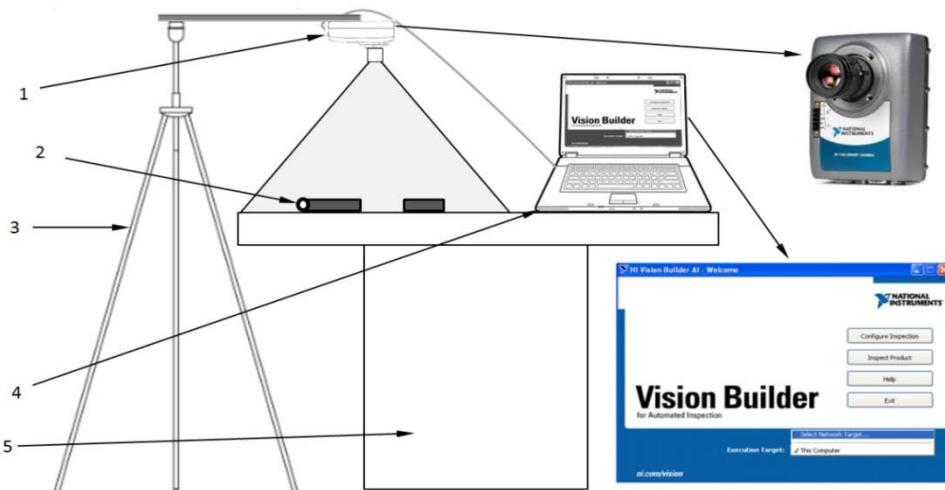


Figura 5. 1: Stand experimental: 1) cameră video inteligentă; 2) piese; 3) trepied; 4) calculator prelucrare date; 5) masă de lucru.

Echipamentele utilizate pentru realizarea acestei aplicații sunt:

- Sistem video, concretizat printr-o camera video NI 1741 de tip „smart camera” de la National Instruments;
- Piese de lucru 2D (ce-a dea treia dimensiune este constanta și se neglijează) de tip „țeavă”;
- Sistem de calcul, pe care rulează un program specializat (Vision Builder for Automated Inspection);

Acest program, utilizat în aplicații industriale de vedere computerizată, a fost conceput de National Instruments, special pentru realizarea operațiilor de inspecție vizuală, de detectare a prezenței unor componente, de detectare a defectelor, de realizare a unor operații de numărare și de măsurare.

Cu ajutorul acestui program, a fost dezvoltat de autor algoritmul de vedere computerizată, corespunzător aplicației de față, algoritmul la baza căruia se află o diagramă de stare, ce este ilustrată în figura 5.2.

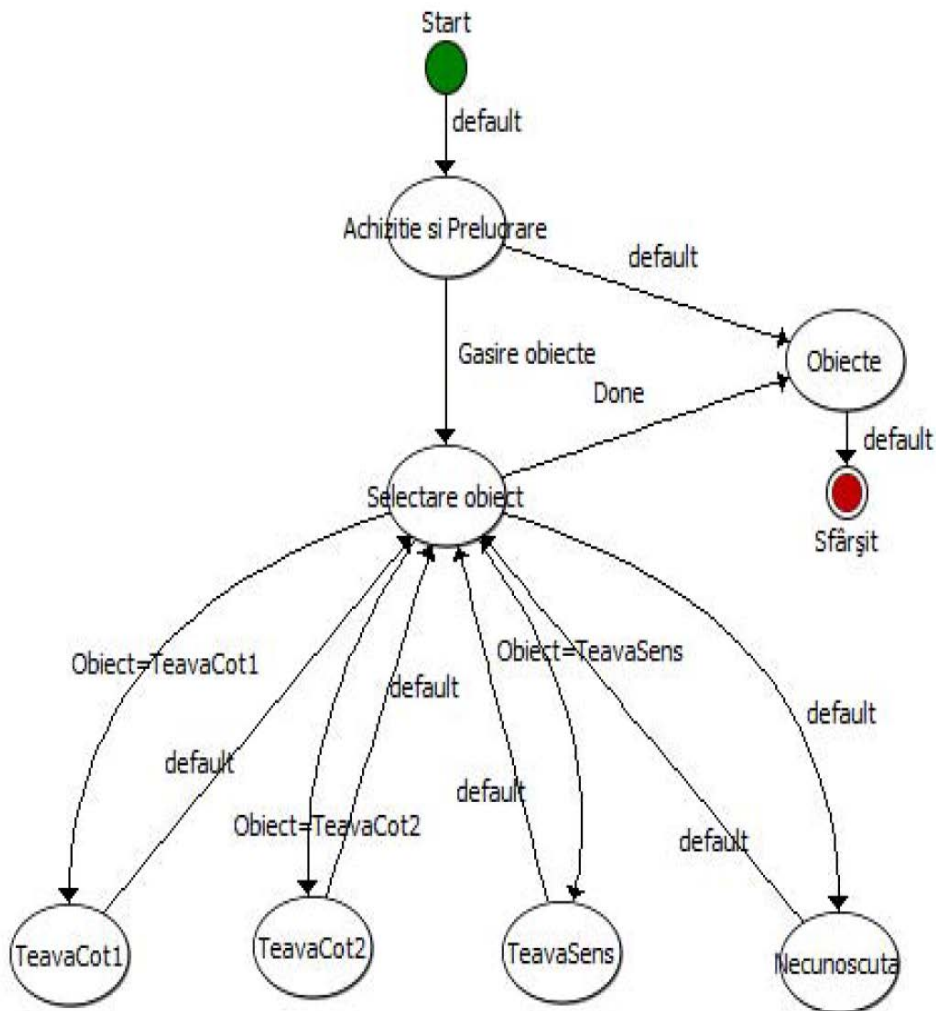


Figura 5. 2: Diagrama de stare a aplicației

Diagrama este compusă din șapte stări și tranzițiile aferente acestora. Fiecare stare a acestei diagrame presupune o rutină de operații de procesare de imagini, operații ce sunt ilustrate în figura 5.3.

Pentru realizarea acestei aplicații de vedere computerizată s-a ținut cont de următoarele premise:

- Date de intrare:
 - o În spațiul de lucru se pot găsi mai multe obiecte necunoscute;
 - o Șabloanele necesare operației de identificare a tipului de piesă sunt obținute într-o etapă premergătoare aplicației;
 - o Senzorul camerei video este paralel cu masa de lucru (proiecție normală);
- Date de ieșire:
 - o Determinarea tipului pieselor aflate în imaginea achiziționată de camera video;
 - o Clasificarea pieselor detectate pe baza unor descriptori de formă ce sunt asociați șabloanelor învățate.

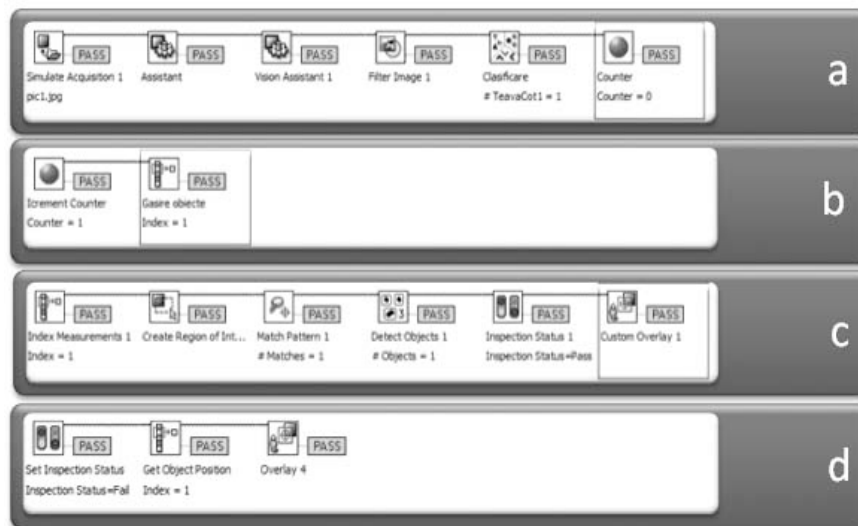


Figura 5. 3: Cele mai reprezentative stări cu operațiile aferente.

Etapele pe care le presupune această aplicație sunt date de rutinele corespunzătoare fiecărei stări.

Etapa 1. Achiziția și procesarea imaginii (figura 5.3a). Această etapă presupune următoarele operații:

- Achiziția imaginii;
- Preprocesarea de către camera video în vederea îmbunătățirii calității;
- Procesarea imaginii pentru detectarea obiectelor prezente;

Camera video NI 1741 achiziționează imagini monocrome ale obiectelor la rezoluții de 640x480 pix(VGA) și realizează operații de preprocesare a acestora înainte de a fi transmise și stocate pe calculator. Operațiile de preprocesare presupun aplicarea unor filtre de îmbunătățire a semnalului video și de eliminare a

zgomotului. Acest lucru este posibil datorita faptului că videocamera este prevăzută cu un procesor PowerPC ce funcționează la o frecvență de 533 MHz.

Operațiile de procesare ce au fost aplicate imaginilor prelevate sunt operații de îmbunătățire a contrastului, de modificare a luminozității, de binarizare și operații morfologice (înlăturarea obiectelor mici, închiderea conturului obiectelor, umplerea golurilor).

Înlăturarea obiectelor mici din imaginea binarizată se face prin aplicarea unei operații de erodare a obiectelor ce presupune o micșorare a acestora, urmată de o operație de dilatare a obiectelor. În urma acestei operații morfologice, obiectele ce sunt mai mici decât un prag stabilit (o valoare în pixeli) dispar la erodare, iar cele ce sunt mai mari, revin la starea lor inițială (valoarea în pixeli pe care o aveau înaintea aplicării erodării). Astfel sunt eliminate din imagine obiectele mici ce nu prezintă interes din punct de vedere al aplicației iar obiectele vizate nu se modifică.

Închiderea morfologică a unui contur este o operație ce presupune o dilatare a conturului urmată de o erodare a acestuia. Prin dilatare, un contur deschis, întrerupt, poate să devină închis, astfel încât pixeli de pe conturul imaginar de valoare 0 devin 1, iar în urma erodării acești pixeli nu își mai modifică valoarea. Umplerea golurilor constă în modificarea valorii pixelilor (0 devine 1) ce se află în interiorul unui contur închis.

De asemenea asupra acestor imagini sunt aplicate și operații de transformare logaritmică, de egalizare de histograma și de inversare a valori pixelilor.

Egalizarea de histogramă este operația de uniformizare a acesteia prin realizarea redistribuției de intensitate. Practic domeniul de intensitatea din imagine se extinde, în urma acestei operații.

Inversarea valorii pixelilor constă în modificarea acestora, astfel încât pixelii ce au valoarea 1 vor deveni 0 iar cei cu valoarea 0 vor avea valoarea 1. Se realizează practic un negativ al imaginii originale.

Operația de transformare logaritmică aplicată asupra imaginii îmbunătățește luminozitatea și contrastul regiunilor întunecate.

Etapa 2. Clasificarea obiectelor se face în doua faze, respectiv una de instruire și una de repartizare pe clase.

- În faza de instruire sunt învățate trei șabloane pentru a putea crea trei clase de obiecte, care sunt utilizate în următoarele faze pentru a identifica obiectele necunoscute din imagini.
- În faza de clasificare, obiectele din imagini sunt asociate pe baza descriptorilor de formă (rectangularitate, lungimea conturului obiectului, aria obiectului) cu una din clase.

Etapa 3. Figura 5.3c, prezintă operațiile necesare identificării din imaginile achiziționate a obiectelor ce fac parte din clasa unu. Aceste operații sunt:

- de creare a unei regiuni de interes în imagine;
- de detectare a trăsăturilor specifice clasei;
- de actualizare a stării de inspecție.

Regiunea de interes se creează cu scopul de a simplifica operațiile ulterioare și de a diminua timpul de procesare al algoritmului prin faptul că este prelucrată doar o parte din imagine.

Detectarea trăsăturilor specifice clasei constă în extragerea descriptorilor de formă a obiectelor de intensitate omogenă din imagine. Pe baza acestor trăsături, fiecare obiect prezent în imagine, este comparat cu șabloanele pre-învățate ce sunt asociate claselor de obiecte.

În urma operației de detectare și de identificare a obiectelor starea de inspecție se modifică.

Operațiile specifice identificării obiectelor din clasa 1, se repetă cu mici modificări specifice celorlalte clase pentru identificarea obiectelor rămase.

Etapa 4. Ultima stare, ilustrată în figura 5.3d, asociază obiectele detectate în imagine, ce nu au fost clasificate, dacă acestea există, cu clasa de obiecte necunoscute. Procesul de identificare este complet în momentul în care toate obiectele detectate în imagine au fost catalogate (figura 5.4).

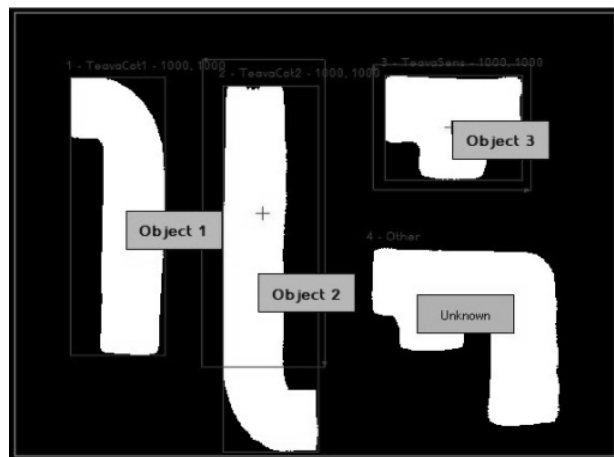


Figura 5. 4: Identificarea obiectelor

Rezultatele obținute de acest algoritm, în urma rulării pe mai multe imagini, în care tipul, numărul și poziția obiectele se modifică, sunt prezentate în figura 5.5.

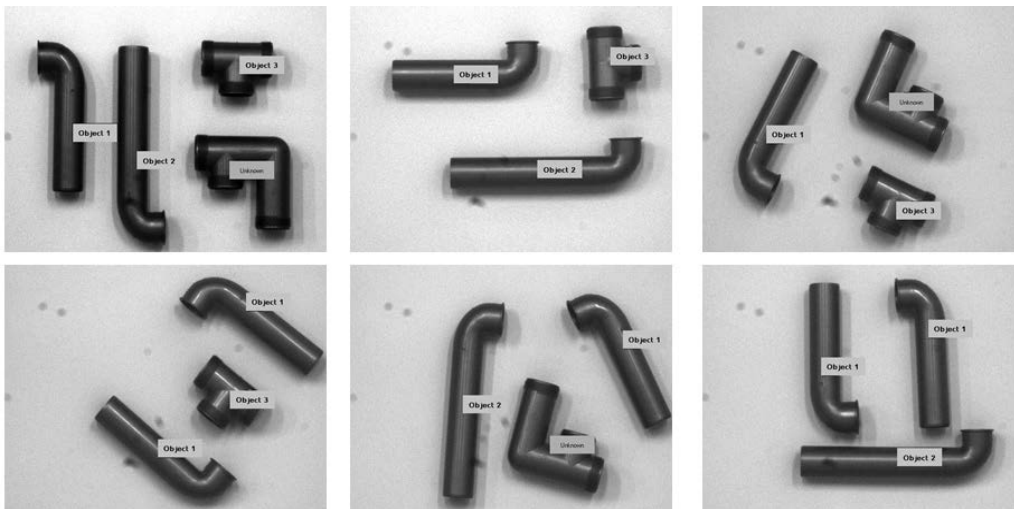


Figura 5. 5: Rezultatele procesului de identificare

5.2. Aplicație de vedere robotizată

Scopul aplicației: Identificarea unui obiect 2D, de tip placă, în timp real pe baza unui algoritm de vedere computerizată, pentru a putea fi manipulat de către un braț robotic (Pop, 2011a).

5.2.2. Generalități

Dintre aplicațiile de asamblare cele mai uzuale bazate pe roboți industriali și sisteme de vedere artificială putem distinge ca și categorie de operații cele de "pick and place".

Mașinile utilizate pentru executarea operațiilor de „pick-and-place” sunt folosite într-o varietate largă de aplicații în întreaga industrie a produselor de consum. Viteza și precizia cu care trebuie să îndeplinească sarcinile care le revin în mod direct afectează productivitatea, și în cele din urmă, linia de fabricație. Aceste mașini menționate anterior au rolul de a ridica obiectele și de a le muta dintr-o locație în alta. Exemple de astfel de mașini pot fi: sistemele portabile de manipulare a materialelor, manipulatoarele industriale, roboți cu funcția de manipulare, sistemele automate de manipulare a materialelor, sistemele de manipulare a materialelor specifice fabricilor și mașinile de "pick and place".

Viteza și precizia sunt printre principalele obiective ce trebuie avute în vedere atunci când se proiectează un sistem de tip „pick-and place”. Cu cât este mai strict și mai simplu sistemul de control al mișcării cu atât acesta poate rula mai rapid și mai eficient.

Roboții cartezieni sunt folosiți în operații mai simple de „pick and place”. Câteva exemple de astfel de operații sunt:

- Asamblare de circuite electronice;
- Plasare de obiecte pe o bandă transportoare sau pe un cărucior;
- Ambalarea diferitelor produse.

Aplicația prezentată în această secțiune presupune detectarea unui obiect de tip placă, prezent în spațiul de lucru al robotului și determinarea poziției sale față de un sistem de referință, în vederea conducerii unui robot (pe baza unei traiectorii generate). Standul experimental este prezentată în figura 5.6 și conține:

- Un sistem robotizat compus din:
 - o Robot cartezian;
 - o Controler robot;
 - o Cutie conexiuni
 - o Calculator industrial de comandă și control.
- Un sistem de vedere artificială ce are în componență:
 - o O cameră industrială inteligentă de tip „smart camera” de la National Instruments;
 - o O placă de achiziție;
 - o Calculator pentru dezvoltarea și rularea algoritmului de vedere computerizată;
 - o O sursă de lumină;
 - o Programul de bază LabView (mediul de lucru în care s-a dezvoltat aplicația).
- Piesă de tip „placă” la care o dimensiune este constantă

De asemenea s-a mai utilizat și un șablon de calibrare de tip „grilă de puncte” (dot grid) pentru calibrarea camerei video.

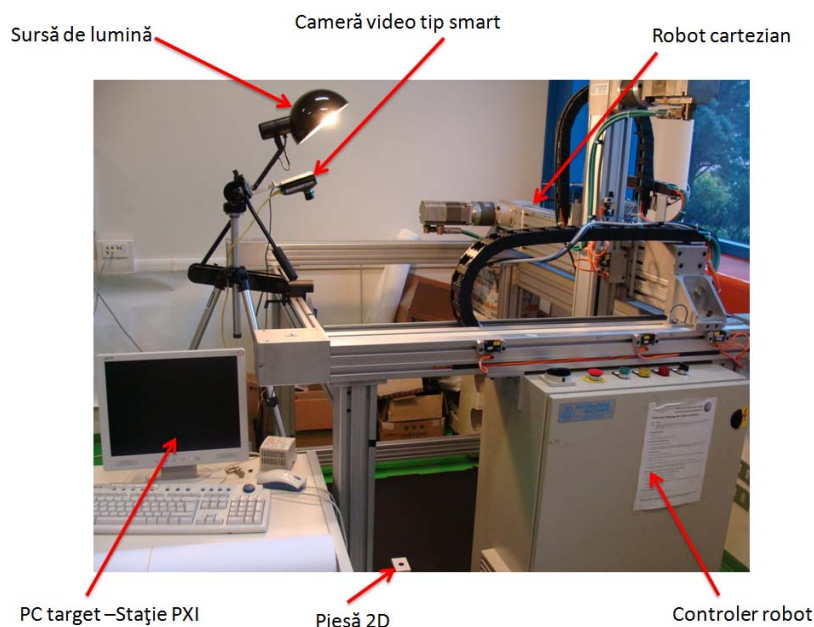


Figura 5. 6: Stand experimental

Robotul cartezian utilizat este prevăzut cu trei axe de translație corespunzătoare a trei grade de libertate și dotat cu un efector final atașat axei verticale care îi conferă încă trei grade de libertate. Această structură oferă caracteristici excelente de rigiditate mecanică.

Sistemul de comandă al robotului prezintă o configurație de tip „xPc Target” și este alcătuit din:

- Stația PXI NI 1042Q (PC Target) de la National Instruments echivalentă a unui calculator industrial caracterizat printr-un procesor de mare viteză necesar operațiilor de testare și control „real-time”;
- Un calculator pentru prelucrarea datelor primite de la PXI (PC Host);
- Rețele de comunicare bazate pe protocolul de internet TCP/IP.

Camera inteligentă (smart camera) reprezintă un sistem de vedere de sine stătător având încorporat un senzor de imagine într-o carcasă robustă de tipul unei camere industriale. Acesta conține toate interfețele necesare de comunicare, de exemplu, Ethernet, precum și linii de tensiune de 24V- I/O (intrare/ieșire) pentru conectarea la un PLC, la actuatori, relee sau supape pneumatice. Nu depășește dimensiunile unei camere normale de inspecție și supraveghere.

Aceste camere au un procesor dedicat și sunt potrivite în special pentru aplicații în cazul în care mai multe camere trebuie să funcționeze independent și, adesea, asincron, sau atunci când este necesar un sistem de vedere distribuită (spre exemplu pentru inspecție sau în cazul în care sunt necesare mai multe puncte de supraveghere de-a lungul unei linii de producție sau într-un sistem de asamblare).

5.2.2. Aplicația propriu zisă

Etapele premergătoare realizării acestei aplicații sunt calibrarea camerei video și învățarea unui șablon corespunzător piesei utilizate.

Camera video NI 1742 este fixată într-o poziție paralelă cu planul XY al spațiului de lucru al robotului cartezian. Calibrarea camerei se face față de un sistem de referință fix, denumit sistemul de referință global a cărui situație se cunoaște față de sistemul de referință atașat robotului.

Calibrarea camerei se realizează cu ajutorul modulului de calibrare existent în LabView și cu ajutorul șablonului de calibrare amintit anterior. Pași parcurși pentru efectuarea acestei operații sunt:

- Plasarea șablonului de calibrare în câmpul vizual al camerei video;
- Achiziția unei imagini cu șablonul de calibrare;
- Rularea modulului de calibrare ce presupune:
 - o Prelucrarea imaginii în vederea detectării punctelor de calibrare ale șablonului;
 - o Atașarea unui sistem de referință șablonului care să corespundă cu sistemul de referință global;
 - o Eliminarea distorsiunilor introduse de camera video;
 - o Stabilirea unei corespondențe între distanța în pixeli dintre două puncte și distanța reală în milimetri;
 - o Alegerea unui algoritm de calibrare.

Informațiile obținute în urma operației de calibrare a camerei sunt asociate imaginii utilizate și sunt stocate în memorie pentru ca ulterior să poată fi aplicate imaginilor ce conțin piesa 2D.

De asemenea sunt stocate și informațiile cu privire la descriptorii de formă asociate șablonului piesei 2D ce urmează a fi identificată și manipulat de robot. Șablonul se realizează cu ajutorul algoritmului „IMAQ Learn Pattern” existent în LabView, ce presupune utilizarea metodei SHIFT pentru extragerea trăsăturilor locale ce nu se modifică în imagine în urma aplicării unor operații geometrice precum rotire sau translație.



Figura 5. 7: Șablon piesă 2D

Algoritmul de vedere computerizată, dezvoltat de autor în LabView, pentru detectarea, recunoașterea și determinarea situației obiectului față de sistemul global, este un algoritm grafic ce se regăsește la anexa 5.

Pașii ce sunt necesari a fi parcurși pentru realizarea aplicației sunt următorii:

- Pasul 1. Plasarea piesei 2D în spațiul de lucru al robotului într-o poziție necunoscută;
- Pasul 2. Achiziția unei imagini cu piesa ce urmează a fi manipulată;
- Pasul 3. Preprocesarea imaginii de către camera video în vederea îmbunătățirii acesteia prin eliminarea zgomotului;
- Pasul 4. Încărcarea informațiilor obținute în urma calibrării camerei video;
- Pasul 5. Prelucrarea imaginii în vederea identificării obiectului în cauză.

Aplicarea unor operații de filtrare a imaginii (eliminarea artefactelor), de egalizare de histogramă (ce permite îmbunătățirea contrastului), de binarizare pe baza unui prag prestabilit, de detectare de muchii și de inversare a valori pixelilor.

Pasul 6. Încărcarea imaginii cu șablonul corespunzător piesei și implicit a informațiilor cu privire la descriptorii de formă.

Pasul 7. Identificarea obiectului pe baza șablonului și determinarea centrului de greutate al acestuia;

Operația de identificare a obiectului se realizează utilizând funcția „Geometric Matching” (potrivire geometrică). Această funcție a fost dezvoltată pentru a localiza într-o imagine, obiecte care să se potrivească cu un model predefinit. Funcția „Geometric Matching” permite localizarea obiectelor corespunzătoare șabloanelor învățate pe baza unor descriptorii de formă. Această funcție poate identifica obiecte, chiar și în cazul în care avem variații de iluminare, zgomot, și transformări geometrice de tip deplasare, rotație sau scalare.

Pasul 8. Determinarea poziției piesei (coordonatele acesteia) utilizând informația de calibrare a camerei;

Pasul 9. Pe baza coordonatelor obținute se generează traiectoria necesară pentru conducerea robotului. Generarea traiectoriei se realizează cu ajutorul unui algoritm, dezvoltat de autor, ce se regăsește la anexa 6.

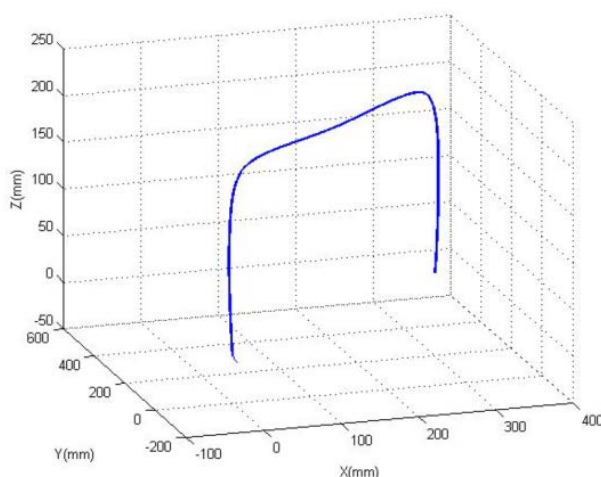


Figura 5. 8: Reprezentarea grafică a traiectoriei generate

Conducerea robotului se face prin intermediul programului LabView Real Time Module de la National Instruments ce rulează pe stația PXI. Acest program presupune rularea unor aplicații specifice.

Dezvoltarea unei astfel de aplicații se realizează în mod asemănător celor din LabView (tot pe baza de cod grafic), cu diferența că acestea necesită câteva funcții adiționale particulare sistemelor real-time:

- Funcții „Watchdog” (timer) pentru a reporni în mod automat unele componente hardware în cazul în care programul se oprește din funcționare;
- Funcții de a comunica datele în mod determinist între părțile componente ale unui program în timp real;

- Funcții utilitare pentru a configura o încărcare echilibrată pe sisteme cu mai multe nuclee de procesare;
- Funcții de sincronizare pentru a controla cu precizie execuția de bucle în programe de timp real-time.

Pentru conducerea robotului cartezian, utilizat în această aplicație, a fost dezvoltat în cadrul colectivului de cercetare de la Universitatea din Udine un program de tip real-time. Acesta implică generarea unui fișier text (cu extensia .txt) pe baza traiectoriei obținute, cu informațiile necesare encoderelor.

Pașii pe care îi presupune acest program sunt următorii:

Pasul 1. Datele despre traiectorie sunt încărcate de pe un fișier în format foaie de calcul (coloanele sunt separate printr-un "tab", rândurile se disting printr-un semn EOL);

Pasul 2. Se construiește un control în buclă, bazat pe PID (Proportional-Derivative-Integral);

Pasul 3. Se scriu datele encoder-ului într-un fișier în format foaie de calcul;

Pasul 4. Se creează o interfață grafică.

Programul general este compus din 3 tipuri de bucle:

- Prima buclă citește datele din fișierul ce conține informațiile despre traiectorie;
- A doua buclă conține sisteme de tip „DAQ- assistant” și funcții de control;
- A treia buclă scrie datele de pe un encoder pe un fișier de tip text.

Bucloa 1, poate fi împărțită în 5 faze distincte.

În faza 1, se creează un document nou. Deoarece scopul este de a citi dintr-un fișier de tip „spreadsheet” acest bloc va deschide un fișier. txt. Acest fișier. txt trebuie să fie salvat pe sistemul Real Time-target și este transferat printr-un protocol de tip ftp.

Transferul acestui fișier între PC-ul gazdă (host) și țintă (target) se poate face prin orice program ftp. În cazul de față s-a utilizat NI MAX (National Instruments Measurement and Automation Explorer), care este folosită pentru că oferă o privire de ansamblu a terminalelor instalate pe fiecare sistem de tip host și de asemenea conține un instrument ftp ce este util de folosit pentru încărcarea automată a tuturor setărilor de tip ftp.

A doua fază constă în deschiderea unui fișier de tip queue („coadă de așteptare”). Deoarece buclele au viteze diferite și fișierele au nevoie de date la un anumit moment, acestea trebuie să fie puse într-un șir de așteptare.

Transferul de date prin intermediul unui fișier de tip „coadă de așteptare” de obicei este compus din 4 pași.

- Se inițializează „coada de așteptare” (faza 3). Se selectează un format de fișier și un nume;
- Se pun datele în coadă de așteptare (faza 4);
- Se extrag datele din „coada de așteptare” (faza 4);
- Se eliberează coada de așteptare (faza 5). Acest lucru se realizează de obicei atunci când coada de așteptare nu mai conține niciun fișier de date.

Bucloa 2 este numită "bucloa temporizată", se execută la o anumită frecvență și împărțită într-un anumit interval de timp. De asemenea această buclă conține trei algoritmi similari, pentru toate cele trei axe ale robotului X,Y și Z.

Bucloa 3 este creată în scopul de a scrie datele de pe encoder, care este exportat din buclă temporizată de o coadă de așteptare, într-un fișier text. Funcționează în mod analog cu prima buclă doar că în sens invers – scrie datele în loc să le citească.

La final este creat sau înlocuit un nou fișier de tip text de pe sistemul Real Time Target, care va servi ca spațiu de stocare pentru datele encoder-ului.

În figura 5.9 este prezentată interfața utilizatorului pentru realizarea controlerului robotului.

Pozițiile 2, 3 și 4 din figura 5.9 reprezintă intrările pentru interfața utilizator care constau în:

- Amplificatoarele de semnal pentru cele trei axe – numărul 2;
- Căile de fișier pentru datele de intrare și ieșire – numărul 3;
- Raportul de transmisie - numărul 4.

Pozițiile 1,5 și 6 din figura 5.9 reprezintă ieșirile acestei interfețe:

- Grafice care reprezintă datele encoder (1);
 - Indicație numerică a distanței în mm (5);
 - Valorile numerice ale datelor encoder-ului (6).
- Butonul de stop oprește execuția traiectoriei în orice moment.

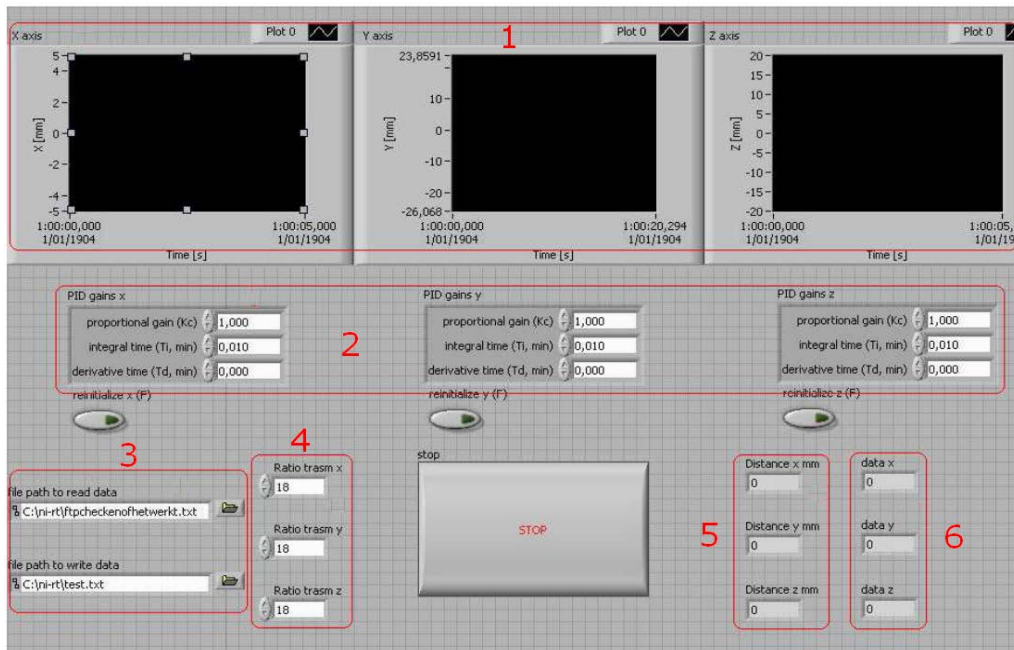


Figura 5. 9: Interfață grafică a aplicației pentru conducerea robotului

5.3. Concluzii

În acest capitol, a fost prezentat un sistem de conducere a unui robot pe baza informațiilor extrase din imagini și o aplicație de recunoaștere și clasificare de obiecte. S-a putut observa că modalitatea de conducere a robotului este funcțională și precisă, iar performanțele aplicației de recunoaștere sunt corespunzătoare, fiind verificate cu succes pe mai multe imagini. S-a demonstrat că, pentru un număr limitat de obiecte, a căror formă nu este foarte complexă, în anumite condiții specificate, sistemul funcționează.

6. APLICAȚIE DE DETECTARE ȘI RECUNOAȘTERE A UNOR OBIECTE ÎN VEDEREA MANIPULĂRII ROBOTIZATE

În cadrul acestui capitol, este prezentată o aplicație de vedere robotizată, ce a fost proiectată și implementată în mediul de lucru Matlab, pentru recunoașterea unor obiecte pe bază de înălțime, cu scopul de sortare, manipulare stabilă și stocare corespunzătoare a acestora într-un depozit de piese.

6.1. Introducere

Scopul aplicației: Detectarea obiectelor ce sosesc pe căruciorul unui conveyer de transfer și determinarea unei caracteristici geometrice specifice precum înălțimea acestora. Pe baza înălțimii, se realizează determinarea tipului de obiect pentru prestarea operațiilor ulterioare de sortare și depozitare, dar și obținerea unei prinderi fixe, a obiectului, între bacurile dispozitivului de prehensare, astfel încât operația de manipulare să se efectueze într-un mod stabil și controlat.



Figura 6. 1: Piese colorate.

Pentru realizarea acestei aplicații, au fost utilizate piese colorate (figura 6.1) precum și echipamentele și dispozitivele din laboratorul CIM (Computer Integrated Manufacturing) ce se regăsește în cadrul departamentului de Mecatronică. Aceste echipamente sunt (figura 6.2):

- Sistemul de vedere artificial compus din:
 - o Camera de luat vederi (cameră video CCD);
 - o Placă de achiziție;
 - o Calculator destinat prelucrării de imagini;
- PLC-ul (Programmable Logic Controller);

- Conveior de transfer al pieselor între stații prevăzut cu patru cărucioare și trei posturi de așteptare;
- Stația de asamblare ce cuprinde un robot de tip SCARA care realizează operația de manipulare a pieselor.
- Sistemul de comandă format dintr-un calculator central și un controler central care comandă controlere de stații. Comunicarea se realizează prin rețea serială RS 232.

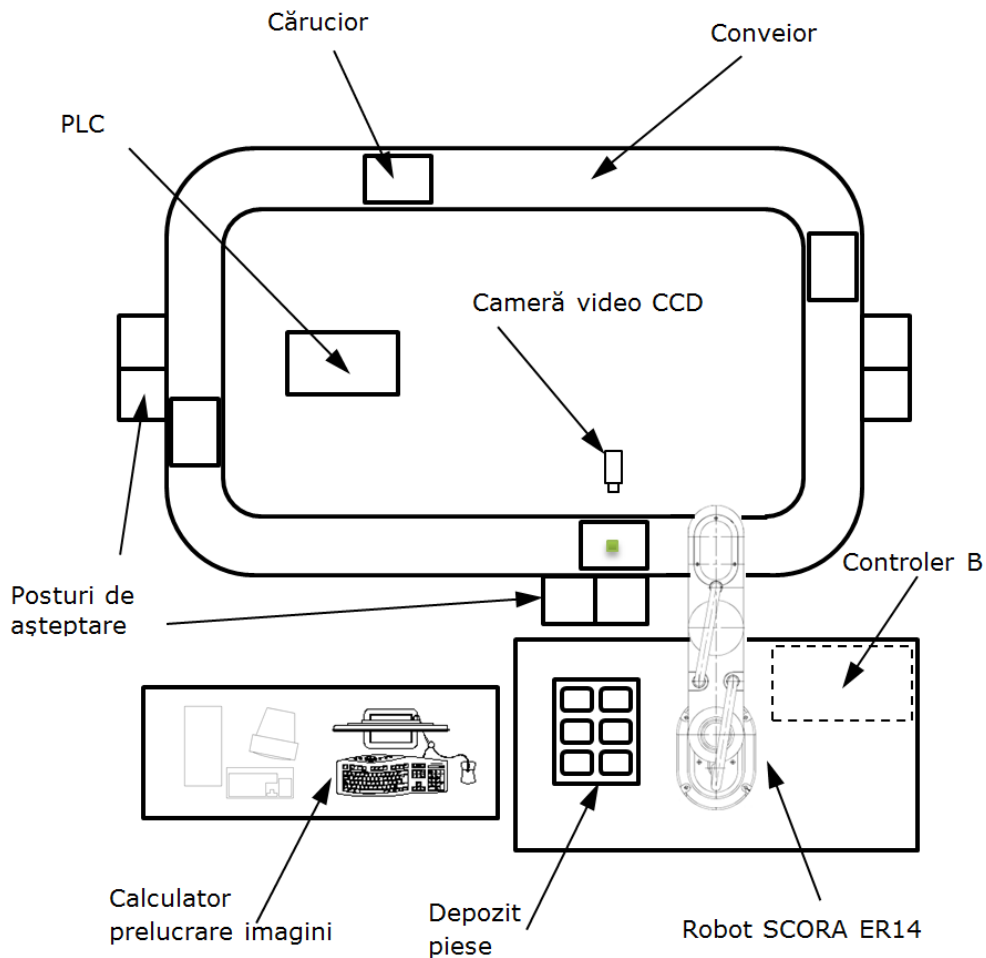


Figura 6. 2: Schema de principiu a echipamentelor și dispozitivelor utilizate, aflate în dotarea laboratorului CIM.

Etapele premergătoare realizării aplicației de detectare, recunoaștere și manipulare a obiectelor colorate sunt:

- Calibrarea robotului SCORA ER 14;
- Calibrarea camerei video;
- Determinarea modalității de conducere a robotului;
- Alegerea metodei de detectare a obiectelor;
- Selectarea modalității de recunoaștere a obiectelor

6.2. Calibrarea robotul SCORA ER-14

6.2.1. Aspecte generale

Una dintre cele mai importante componente ale standului experimental o reprezintă robotul SCORA ER 14 de la firma ESHED ROBOTEC. Acesta este un robot de tip SCARA (Selective Compliant Assembly Robot Arm sau Selective Compliant Articulated Robot Arm) prevăzut cu patru axe robuste, trei cuple de rotație și una de translație.

Robotul scara, este un robot cu structură simplă, foarte frecvent întâlnit în operațiile de asamblare, manipulare și ambalare a produselor cu sarcină utilă mică și dimensiuni de gabarit reduse. Se utilizează des în operațiile industriale deoarece realizează acest tip de operații cu o acuratețe impresionantă la viteze ridicate.

SCORA ER-14 (figura 6.3 a), este de tip selectiv deoarece se poate mișca cu ușurință în plan orizontal dar nu și în plan vertical, fapt datorat structurii sale geometrice. Din punct de vedere constructiv, se compune din două elemente rigide conectate între ele prin cuple cinematice de rotație ce permit efectuarea mișcării în planul XY și un al treilea element conectat printr-o cuplă de translație ce realizează mișcarea pe verticală (figura 6.3 b). Efectorul final este prevăzut cu o cuplă de rotație ce permite dispozitivului de prehensiune (gripper-ului) rotirea în jurul propriei axe.

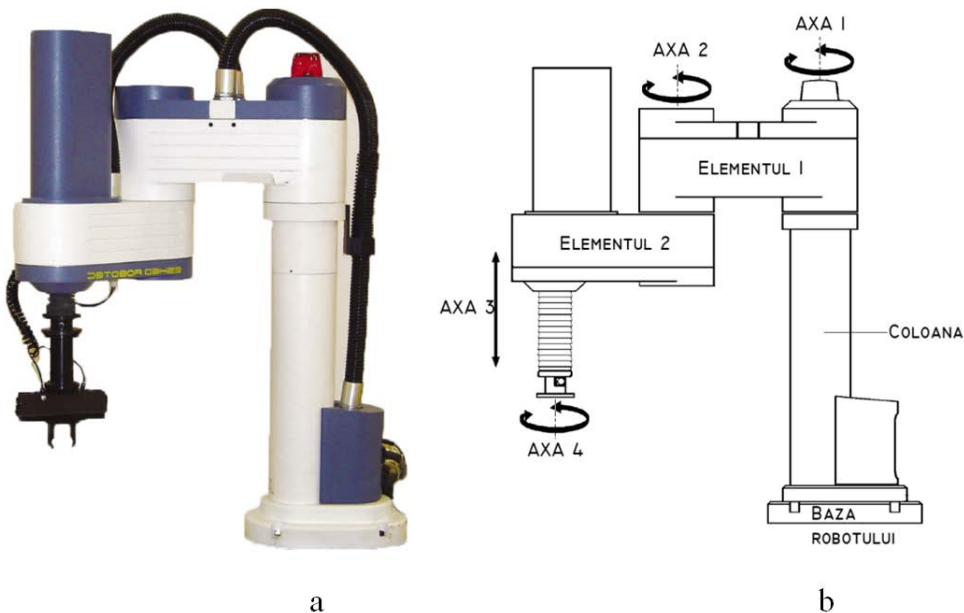


Figura 6. 3: a) Robotul SCORA ER 14; b) Elementele componente.

6.2.2. Modelarea geometrică

În vederea obținerii unei precizii de situare (poziționare și orientare) ridicată, ce este indispensabilă în orice aplicație industrială, este necesar ca robotul SCORA ER 14 să fie calibrat. Prin calibrarea robotului, se înțelege procesul prin care

se determină parametri cinematici și dinamici ai acestuia. Prima etapă a acestei operații o constituie modelarea geometrică.

Modelarea geometrică a robotului SCORA ER 14 implică, ca la orice robot, reprezentarea acestuia sub forma unei configurații de corpuri rigide ce sunt legate între ele prin cuple de rotație și translație. Modelarea se realizează pentru a determina de fapt una din condițiile funcționale ale robotului, respectiv situarea efectorului final în funcție de situațiile relative ale elementelor sale componente.

Această condiție se stabilește pe baza unor relații matematice ce exprimă legătura dintre coordonatele operaționale și coordonatele cuplelor cinematice.

Din punct de vedere mecanic, robotul este un lanț cinematic deschis, iar pentru a determina situarea (poziția și orientarea) efectorului final în raport cu un sistem de referință, este necesar să se realizeze analiza cinematică. Această analiză presupune o transformare dintr-un sistem de coordonate în altul (cel operațional și cel al cuplelor cinematice), respectiv determinarea matricei de trecere dintr-un sistem de referință în alt sistem de referință.

Rezolvarea analizei cinemate a robotului SCORA ER 14 constă în definirea și soluționarea problemei cinemate directe sau a problemei cinemate inverse.

Pentru rezolvarea celor două probleme este necesar să se cunoască parametrii dimensionali (figura 6.4) ai elementelor robotului și rapoartele de transmitere.

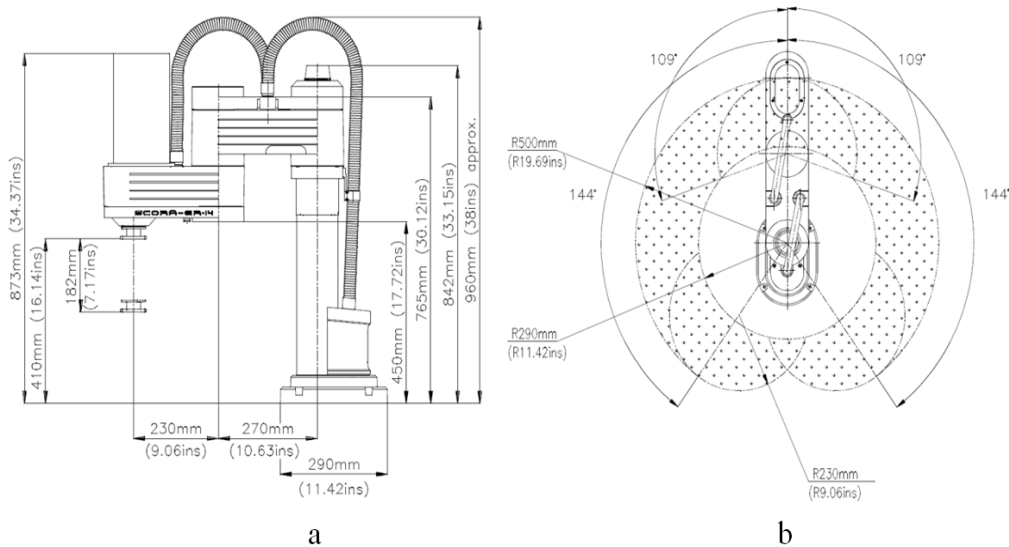


Figura 6. 4: a) Dimensiunile de gabarit și dimensiunile elementelor componente; b) Spațiul de lucru.

Problema cinematică directă presupune un ansamblu de relații ce permit definirea poziției relative a elementelor lanțului cinematic al robotului și care implică determinarea situației (poziția și orientarea) sistemului de coordonate atașat efectorului final în funcție de coordonatele articulare (interne) față de sistemul de coordonate atașat bazei robotului. Practic se realizează o transformare a coordonatelor articulare în coordonate operaționale.

Soluționarea problemei cinematice directe se poate face utilizând convenția Hartenberg-Denavit care costă în (Hartenberg & Denavit, 1964):

- Identificarea și numerotarea cuplelor cinematice;
- Numerotarea elementelor;
- Alegerea sistemelor de referință ce se atașează fiecărui element;
- Stabilirea parametrilor geometrici specifici elementelor și cuplelor cinematice;
- Definirea matricelor ${}^{i-1}A_i$ care descriu situarea relativă a elementului (i) în raport cu sistemul de referință atașat elementului (i-1);
- Calcularea matricii 0T_4 ce redă situarea elementului 4 (efectorul final) în raport cu sistemul de referință atașat bazei robotului.

Parametrii geometrici ce caracterizează elementele robotului SCORA ER 14 sunt:

- Lungimea elementelor (a_1 și a_2): se referă la distanța dintre cuplele cinematice ce se găsesc la capătul acestora; se măsoară de-a lungul perpendicularei comune a axelor cuplelor cinematice.
- Răsucirea elementului (a): reprezintă unghiul format de axele cuplelor de la capătul elementelor.

Parametrii geometrici ce caracterizează cuplele cinematice ale robotului SCORA ER 14 sunt:

- Unghiul dintre două perpendiculare (θ_1 , θ_2 și θ_4): se măsoară în plan perpendicular pe axa cuplei;
- Distanța d_i (d_1 , d_2 și d_4) măsurată pe axa cuplei (i) între picioarele perpendicularelor comune axelor (i-1) și (i), respectiv (i) și (i+1).

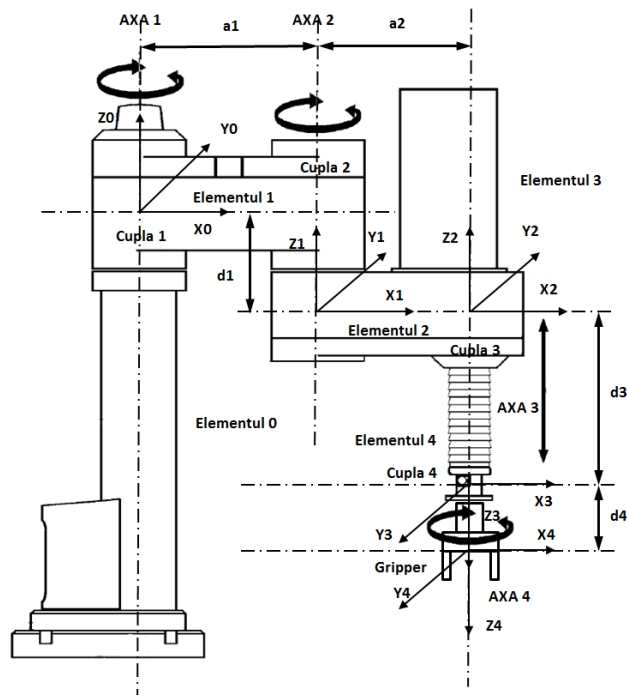


Figura 6. 5: Reprezentarea grafică a cuplelor cinematice, elementelor și parametrilor geometrici specifici robotului SCORA ER 14.

- Sistemul de referință atașat efectorului final este definit de trei versori:
- \bar{a} versorul de apropiere: are direcția dreptei caracteristice și definește axa O_4Z_4 a sistemului atașat;
- \bar{o} versorul de orientare : are direcția dreptei auxiliare și definește axa O_4Y_4 a sistemului atașat;
- \bar{n} ($\bar{n} = \bar{o} \times \bar{a}$) versorul norma: precizează baza ortonormată și definește axa O_4X_4 a sistemului atașat;

Pentru a se soluționa problema cinematico-pozițională directă a robotului SCORA ER 14 a fost necesar să se determine unghiurile θ_1 și θ_2 (θ_4 nu s-a calculat). S-a considerat poziția finală a robotului ca fiind dată de punctul M de coordonate $(M_x, M_y) = (-27.758, 287.380)$ și s-a reprezentat grafic în vederea stabilirii relațiilor de calcul.

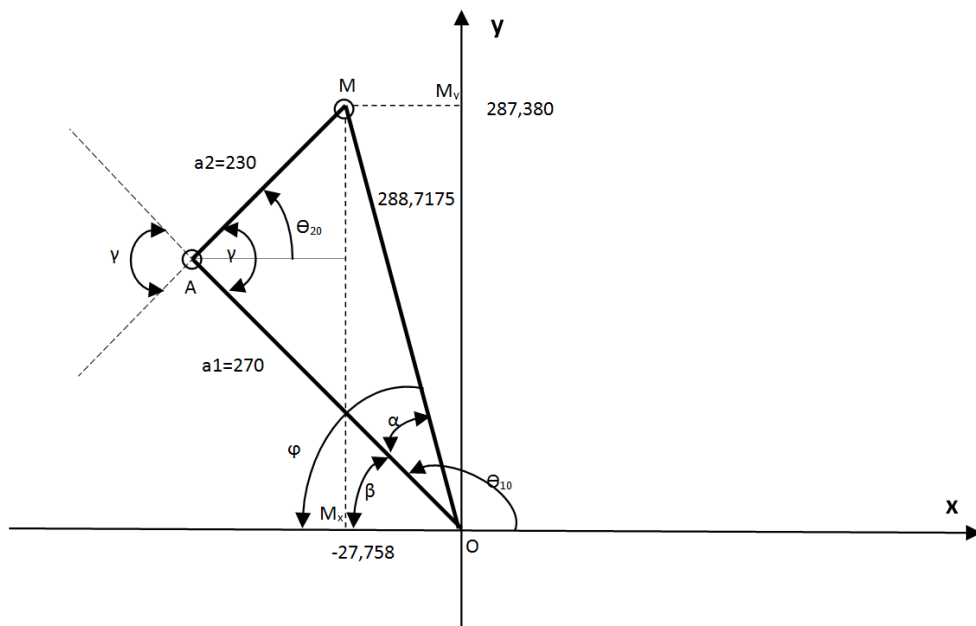


Figura 6. 6: Reprezentare grafică a punctului M.

- S-a determinat OM ca fiind ipotenuza triunghiului dreptunghic OM_xM :

$$M_xM = OM_y \quad (6.1)$$

$$OM = \sqrt{OM_x^2 + M_xM^2}$$

- S-a calculat unghiul φ :

$$\varphi = \tan^{-1} \frac{MM_x}{OM_x} \quad (6.2)$$

- S-a obținut unghiul γ ca:

$$\gamma = \cos^{-1} \frac{MA^2 + AO^2 - OM^2}{2 \cdot MA \cdot AO} \quad (6.3)$$

- S-a determinat unghiul α :

$$\alpha = \cos^{-1} \frac{OA^2 + OM^2 - AM^2}{2 \cdot OA \cdot OM} \quad (6.4)$$

- Pe baza unghiurilor φ , α și γ obținute anterior s-au putut determina unghiurile θ_{10} și θ_{20} :

$$\theta_{10} = 180^\circ - (\varphi - \alpha) \quad (6.5)$$

$$\theta_{20} = (180^\circ + \theta_{10} + \gamma) - 360^\circ \quad (6.6)$$

- Utilizând numărul de impulsuri, date de traductoarele de poziție, ce corespund coordonatelor punctului M, și parametrul robotului SCOA ER 14 a cărui valoare este numărul de impulsuri la traductorul de poziție al axei comandate pentru o rotație cu $+90^\circ$, s-a putut calcula $\Delta\theta_1$ și $\Delta\theta_2$:

$$\Delta\theta_1 = \frac{\text{imp1} \cdot 90^\circ}{\text{par}} \quad (6.7)$$

$$\Delta\theta_2 = -\frac{\text{imp2} \cdot 90^\circ}{\text{par}}$$

- Pe baza unghiurilor θ_{10} , θ_{20} , $\Delta\theta_1$, $\Delta\theta_2$ și γ obținute în pașii anteriori, s-a calculat unghiul θ_1 și unghiul θ_2 :

$$\theta_1 = \Delta\theta_1 + \theta_{10} \quad (6.8)$$

$$\theta_2 = \Delta\theta_2 + \theta_{20} + \gamma$$

În urma rezultatelor obținute și pe baza parametrilor inițial cunoscuți s-a completat tabelul parametrilor Hartenberg-Denavit.

Cuple cinematice	Unghiul θ [grade]	Lungimea a [mm]	Distanța d [mm]	Răsucirea α [grade]
1	θ_1	a1 (270)	d1 (125)	0
2	θ_2	a2 (230)	0	0
3	0	0	d3	α_3 (180)
4	θ_4	0	d4 (140)	0

Tabelul 6. 1: Parametrii Hartenberg-Denavit.

Utilizând parametri din tabelul de mai sus se determină matricele de trecere de la un sistem de referință la altul, respectiv trecerea de la $(i+1)$ la (i) . Astfel în cazul robotului SCORA ER 14 se pot construi patru matrici, una pentru fiecare cuplă cinematică.

$${}^0A_1 = \begin{bmatrix} \cos \theta_1 & -\sin \theta_1 & 0 & a_1 \cos \theta_1 \\ \sin \theta_1 & \cos \theta_1 & 0 & a_1 \sin \theta_1 \\ 0 & 0 & 1 & d_1 \\ 0 & 0 & 0 & 1 \end{bmatrix} \quad (6.9)$$

$${}^1A_2 = \begin{bmatrix} \cos \theta_2 & \sin \theta_2 & 0 & a_2 \cos \theta_2 \\ \sin \theta_2 & -\cos \theta_2 & 0 & a_2 \sin \theta_2 \\ 0 & 0 & -1 & 0 \\ 0 & 0 & 0 & 1 \end{bmatrix} \quad (6.10)$$

$${}^2A_3 = \begin{bmatrix} 1 & 0 & 0 & 0 \\ 0 & 1 & 0 & 0 \\ 0 & 0 & 1 & d_3 \\ 0 & 0 & 0 & 1 \end{bmatrix} \quad (6.11)$$

$${}^3A_4 = \begin{bmatrix} \cos \theta_4 & -\sin \theta_4 & 0 & 0 \\ \sin \theta_4 & \cos \theta_4 & 0 & 0 \\ 0 & 0 & 1 & d_4 \\ 0 & 0 & 0 & 1 \end{bmatrix} \quad (6.12)$$

Trecerea de la sistemul de referință atașat efectorului final la cel atașat bazei robotului se face cu matricea de transformare omogenă, conform relației de recurență (notăm funcția sin cu s și cos cu c):

$${}^0T_4 = {}^0A_1 \cdot {}^1A_2 \cdot {}^2A_3 \cdot {}^3A_4$$

$${}^0T_4 = \begin{bmatrix} s \theta_1 s(\theta_1 + \theta_2) + c \theta_1 c(\theta_1 + \theta_2) & s \theta_1 c(\theta_1 + \theta_2) + c \theta_1 s(\theta_1 + \theta_2) & 0 & a_2 c(\theta_1 + \theta_2) + a_1 c \theta_1 \\ s \theta_1 c(\theta_1 + \theta_2) + c \theta_1 s(\theta_1 + \theta_2) & -s \theta_1 s(\theta_1 + \theta_2) + c \theta_1 c(\theta_1 + \theta_2) & 0 & a_2 s(\theta_1 + \theta_2) + a_1 s \theta_1 \\ 0 & 0 & -1 & -d_4 - d_3 + d_1 \\ 0 & 0 & 0 & 1 \end{bmatrix} \quad (6.13)$$

6.2.3. Modelul matematic al determinării matricei de trecere

Calibrarea robotului SCORA ER 14, pentru aplicația de față, implică realizarea unei corelații, reciproc valabile, între coordonatele spațiului în care se găsesc piesele ce urmează a fi manipulate de robot și coordonatele robotului. Această legătură reciprocă se concretizează prin determinarea unui model matematic al matricei de transformare omogene (Grigorescu, 2012).

Pentru soluționarea modelului matematic al matricei de trecere se consideră două sisteme de referință carteziene, fiecare format din trei plane de referință reciproc ortogonale, respectiv două sisteme tri-ortogonale:

- Un sistem $O_R X_R Y_R Z_R$ atașat robotului SCORA ER 14;
- Un sistem $O_P X_P Y_P Z_P$ atașat spațiului de lucru (spațiul în care se găsește piesa).

Pe baza condițiilor amintite anterior, se poate afirma că este necesar și suficient pentru definirea sistemului de coordonate atașat spațiului de lucru (spațiul

piesei) să se stabilească trei puncte a căror poziție să fie cunoscută față de sistemul atașat bazei robotului.

Aceste puncte cunoscute ce se aleg sunt (figura 6. 7):

- Originea sistemului de referință atașat spațiului piesei (O_P);
- Un punct care definește sensul pozitiv al axei X al noului sistem (în acest caz punctul A ce se regăsește pe axa $O_P X_P$);
- Un punct ales la întâmplare în plan, a cărei coordonate față de sistemul piesei sunt pozitive.

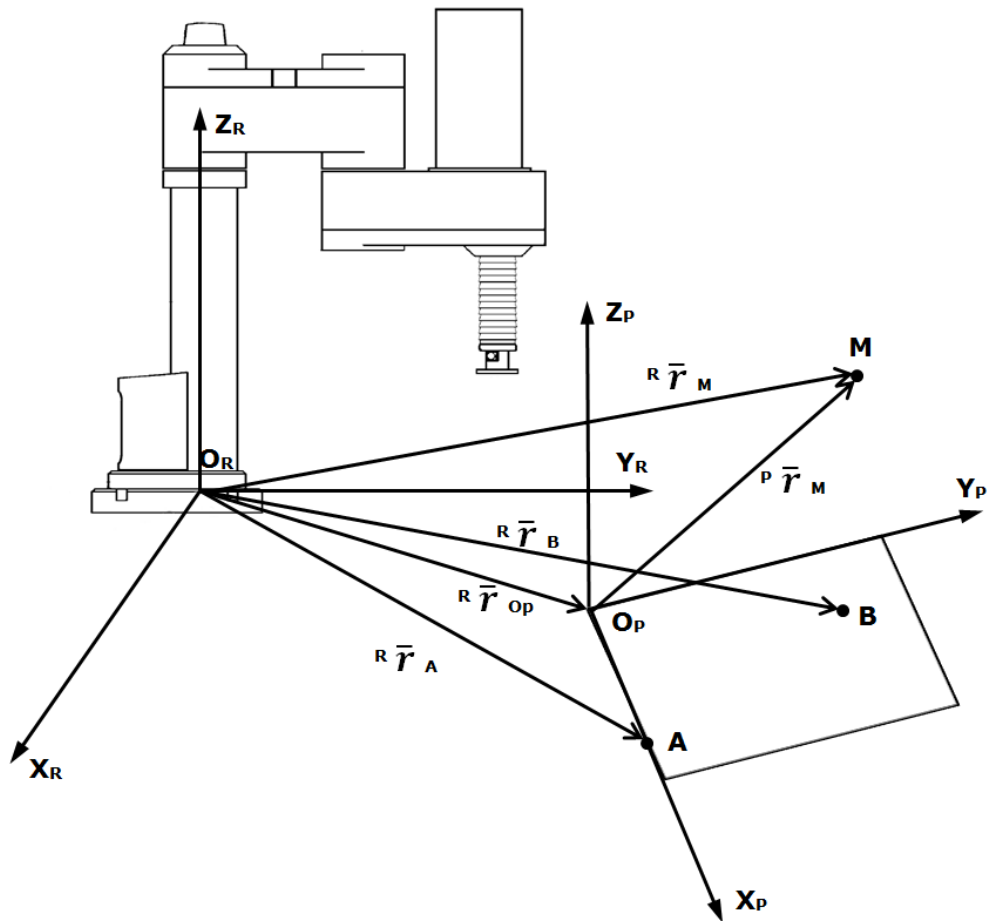


Figura 6. 7: Sistemele de referință și punctele necesare transformării de coordonate

Cele trei puncte necesare se determină prin deplasarea gripper-ului robotului, în care se găsește prins un știft, în planul piesă (planul horizontal din spațiul de lucru) de care este atașat sistemul de referință „P”. Se poziționează cu foarte mare acuratețe știftul în cele trei puncte menționate anterior, astfel încât să se cunoască precis coordonatele acestora față de sistemul „P”. Această operație s-a realizat prin utilizarea unei grile de calibrare (vezi figura 6.8). Determinarea coordonatelor punctelor față de sistemul „R” s-a realizat prin apelarea în programul controlerului robotului a comenzii „LISTPV POSITION”. Comanda permite afișarea

impulsurilor traductoarelor de poziție ale motoarelor robotului și coordonatele în cartezian față de sistemul atașat bazei robotului.

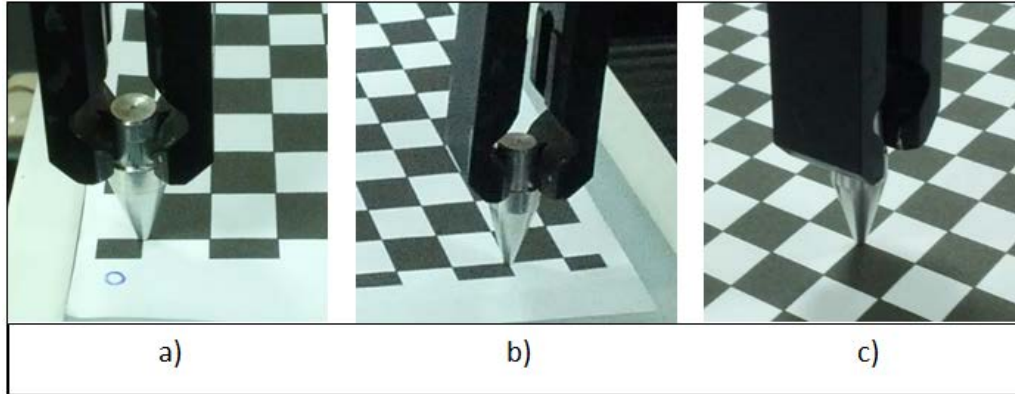


Figura 6. 8: Poziționarea știftului în punctele de calibrare a) punctul Op; b) punctul A; c) punctul B.

coordonate\puncte	${}^R O_p$	${}^R A$	${}^R B$
x_i	-243.883	-273.710	-397.961
y_i	-348.618	-170.892	-273.635
z_i	-22.440	-21.052	-21.527

Tabelul 6. 2 Coordonatele punctelor necesare pentru calibrarea robotului.

Dat fiind faptul că se cunosc coordonatele celor trei puncte față de sistemul atașat bazei robotului (sistemul „R”), se cunosc și vectorii de poziție (${}^R \overline{r}_{Op}$, ${}^R \overline{r}_A$, ${}^R \overline{r}_B$) ale respectivelor puncte față de același sistem.

$$\overline{O_R O_p} = {}^R \overline{r}_{Op} = x_1 \cdot \bar{i} + y_1 \cdot \bar{j} + z_1 \cdot \bar{k} \quad (6.14)$$

$$\overline{O_R A} = {}^R \overline{r}_A = x_2 \cdot \bar{i} + y_2 \cdot \bar{j} + z_2 \cdot \bar{k} \quad (6.15)$$

$$\overline{O_R B} = {}^R \overline{r}_{Op} = x_3 \cdot \bar{i} + y_3 \cdot \bar{j} + z_3 \cdot \bar{k} \quad (6.16)$$

Dacă se cunoaște vectorul de poziție al unui punct (M) în raport cu sistemul de referință „R”, adică ${}^R \overline{r}_M$, coordonatele punctului M în raport cu sistemul „P” sunt calculate după formula:

$$\underline{{}^P r_M} = \underline{{}^P T_R} * \underline{{}^R r_M} \quad (6.17)$$

unde

$$\underline{{}^P T_R} = (\underline{{}^R T_P})^{-1} \quad (6.18)$$

este matricea de trecere de la sistemul de referință „R” la sistemul de referință „P”, iar ${}^R r_M$ și ${}^P r_M$ sunt matricele transpuse ale vectorului de poziție al punctului în raport cu sistemul de referință „R” și respectiv „P”. Matricea ${}^R T_P$ exprimă situarea relativă a sistemului de referință „P” față de sistemul de referință „R”.

Matricea de trecere din sistemul de referință „P” în sistemul de referință „R” este de forma:

$${}^R T_P = \begin{bmatrix} \cos(x_R, x_P) & \cos(x_R, y_P) & \cos(x_R, z_P) & x_1 \\ \cos(y_R, x_P) & \cos(y_R, y_P) & \cos(y_R, z_P) & y_1 \\ \cos(z_R, x_P) & \cos(z_R, y_P) & \cos(z_R, z_P) & z_1 \\ 0 & 0 & 0 & 1 \end{bmatrix} \quad (6.19)$$

unde, de exemplu $\cos(y_R, x_P)$ reprezintă cosinusul director al unghiului dintre axa Y a sistemului de referință „R” (axa Y_R) și axa X a sistemului de referință „P” (axa X_P) iar x_1 , y_1 , și z_1 sunt coordonatele lui O_P față de sistemul de referință „R”.

Pentru determinarea elementelor matricei de trecere ${}^R T_P$, respectiv cosinuşii directori s-a utilizat un calcul vectorial ce presupune mai multe etape:

1. În primă fază se calculează vectorii $\overline{O_P A}$ și $\overline{O_P B}$:

$$\overline{O_P A} = (x_2 - x_1) \cdot \bar{i} + (y_2 - y_1) \cdot \bar{j} + (z_2 - z_1) \cdot \bar{k} = a_1 \cdot \bar{i} + b_1 \cdot \bar{j} + c_1 \cdot \bar{k} \quad (6.20)$$

$$\overline{O_P B} = (x_3 - x_1) \cdot \bar{i} + (y_3 - y_1) \cdot \bar{j} + (z_3 - z_1) \cdot \bar{k} = a_2 \cdot \bar{i} + b_2 \cdot \bar{j} + c_2 \cdot \bar{k} \quad (6.21)$$

2. Se realizează operația de ortogonalizare a vectorilor și se calculează unghiul α :

$$\alpha = \frac{-(a_1 \cdot a_2 + b_1 \cdot b_2 + c_1 \cdot c_2)}{a_1^2 + b_1^2 + c_1^2} \quad (6.22)$$

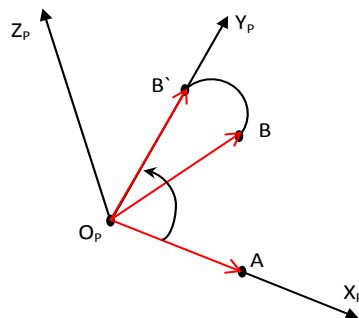


Figura 6. 9: Punctele O_P , A și B în sistemul de referință „P”.

1. Se determină vectorul O_pB' astfel încât acesta să fie perpendicular pe vectorul O_pA :

$${}^R\overline{O_pB'} = a_3 \cdot \bar{i} + b_3 \cdot \bar{j} + c_3 \cdot \bar{k} = (a_2 + \alpha \cdot a_1) \cdot \bar{i} + (b_2 + \alpha \cdot b_1) \cdot \bar{j} + (c_2 + \alpha \cdot c_1) \cdot \bar{k} \quad (6.23)$$

2. Se verifică perpendicularitatea vectorilor O_pA și O_pB' :

$$a_1 \cdot a_3 + b_1 \cdot b_3 + c_1 \cdot c_3 = 0 \quad (6.24)$$

3. Se determină vectorul O_pZ_p :

$$\overline{O_pZ_p} = \overline{O_pA} \times \overline{O_pB'} = \begin{bmatrix} i & j & k \\ a_1 & b_1 & c_1 \\ a_3 & b_3 & c_3 \end{bmatrix} \quad (6.25)$$

$${}^R\overline{O_pZ_p} = a_4 \cdot \bar{i} + b_4 \cdot \bar{j} + c_4 \cdot \bar{k} \quad (6.26)$$

$${}^R\overline{O_pZ_p} = (b_1 \cdot c_3 - b_3 \cdot c_1) \cdot \bar{i} + (-a_1 \cdot c_3 + a_3 \cdot c_1) \cdot \bar{j} + (a_1 \cdot b_3 - a_3 \cdot b_1) \cdot \bar{k}$$

4. Se verifică perpendicularitatea vectorilor O_pA și O_pZ_p :

$$a_3 \cdot a_4 + b_3 \cdot b_4 + c_3 \cdot c_4 = 0 \quad (6.27)$$

5. Se calculează cosinșii directori necesari construirii matricei de trecere din sistemul de referință „P” în sistemul de referință „R”:

$$\cos(x_R, x_P) = \cos(O_R x_R, \overline{O_pA}) = \frac{a_1}{\sqrt{a_1^2 + b_1^2 + c_1^2}} \quad (6.28)$$

$$\cos(y_R, x_P) = \cos(O_R y_R, \overline{O_pA}) = \frac{b_1}{\sqrt{a_1^2 + b_1^2 + c_1^2}} \quad (6.29)$$

$$\cos(z_R, x_P) = \cos(O_R z_R, \overline{O_pA}) = \frac{c_1}{\sqrt{a_1^2 + b_1^2 + c_1^2}} \quad (6.30)$$

$$\cos(x_R, y_P) = \cos(O_R x_R, \overline{O_pB'}) = \frac{a_3}{\sqrt{a_3^2 + b_3^2 + c_3^2}} \quad (6.31)$$

$$\cos(y_R, y_P) = \cos(O_R y_R, \overline{O_pB'}) = \frac{b_3}{\sqrt{a_3^2 + b_3^2 + c_3^2}} \quad (6.32)$$

$$\cos(z_R, y_P) = \cos(O_R z_R, \overline{O_pB'}) = \frac{c_3}{\sqrt{a_3^2 + b_3^2 + c_3^2}} \quad (6.33)$$

$$\cos(x_R, z_P) = \cos(O_R x_R, \overline{O_pZ_p}) = \frac{a_4}{\sqrt{a_4^2 + b_4^2 + c_4^2}} \quad (6.34)$$

$$\cos(y_R, z_P) = \cos(O_R y_R, \overline{O_pZ_p}) = \frac{b_4}{\sqrt{a_4^2 + b_4^2 + c_4^2}} \quad (6.35)$$

$$\cos(z_R, z_P) = \cos(O_R z_R, \overline{O_pZ_p}) = \frac{c_4}{\sqrt{a_4^2 + b_4^2 + c_4^2}} \quad (6.36)$$

6.3. Calibrarea camerei

O altă componentă importantă a standului experimental este camera video LBCKSHL. Această este o cameră analogică, de supraveghere video, color, dotată cu un senzor CCD Sony de tip 1/3, cu o rezoluție de 540 linii TV.

În această secțiune este prezentată, în detaliu, o descriere a metodei de calibrare utilizată pentru camera video menționată anterior. Metoda a fost dezvoltată pe baza algoritmului lui Zhengyou Zhang (Zhang, 1999) și cel al lui Janne Heikkilä (Heikkilä, 1997), fiind utilizată în calibrarea camerei pentru aplicația de față, deoarece, prezintă un grad de flexibilitate ridicat, față de metodele clasice prezentate în capitolul 2. De asemenea a fost aleasă deoarece era deja implementată în Matlab de Jean-Yves Bouguet și testată cu succes de-a lungul unui număr mare de ani.

Distribuția gratuită a toolbox-ului de calibrare a camerelor video implementat în Matlab se găsește pe pagina personală a autorului (Bouguet, 2012). Rularea sa, se realizează prin apelarea, în Matlab, a comenzii „calib_gui(0)”, ce permite deschiderea unei interfețe grafice (figura 6.10).

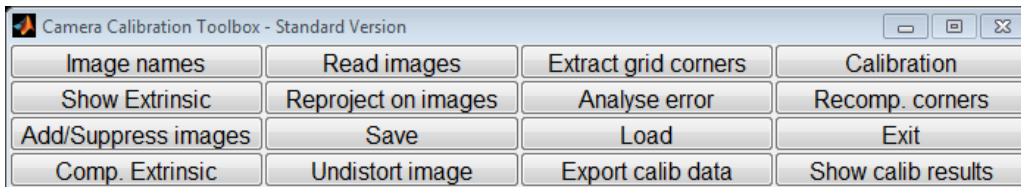


Figura 6. 10: Interfața grafică a toolbox-ului de calibrare a camerelor video

Procedura de calibrare începe prin captarea a cel puțin douăzeci și cinci de imagini (sau mai multe) ale unui șablon de calibrare, de tip tabla de șah (chess-board) care se regăsește în câmpul vizual al camerei, având situații diferite (poziții și orientări diferite). Condiția de bază impusă la achiziționarea acestor imagini este aceea ca șablonul menționat să se regăsească în întregime în imagini.

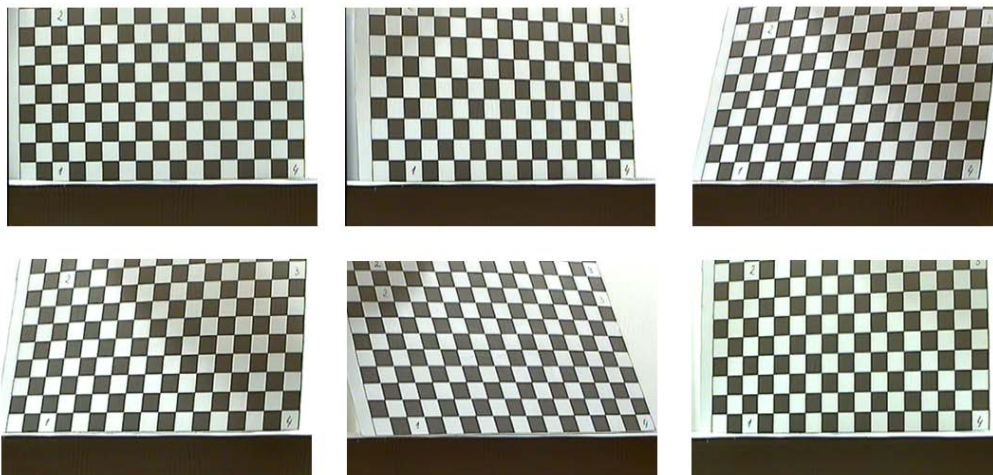


Figura 6. 11: Șase imagini folosite în procesul de calibrare. Numerele indică ordinea de selectare a colțurilor.

Pasul următor constă în extragerea colțurilor șablonului de calibrare prin utilizarea unui detector de trăsături care caută în imagine (în zona de interes) locațiile unde apare o diferență mare de contrast. Zona de interes se definește prin selectarea manuală în imagine a patru colțuri. Condiția impusă, este ca primul colț selectat să fie același în toate imaginile (deoarece reprezintă originea sistemului de referință atașat imaginilor). Pentru ca operația de extragere să se realizeze corect sunt introduse ca date inițiale dimensiunea zonei de căutare (în pixeli) și dimensiunile pătratelor șablonului (în milimetri). Toolbox-ul este prevăzut cu o funcție de numărare automată a pătratelor șablonului. Rezultatele obținute în urma acestui pas sunt ilustrate în figura 6.12, pe una din imaginile folosite.

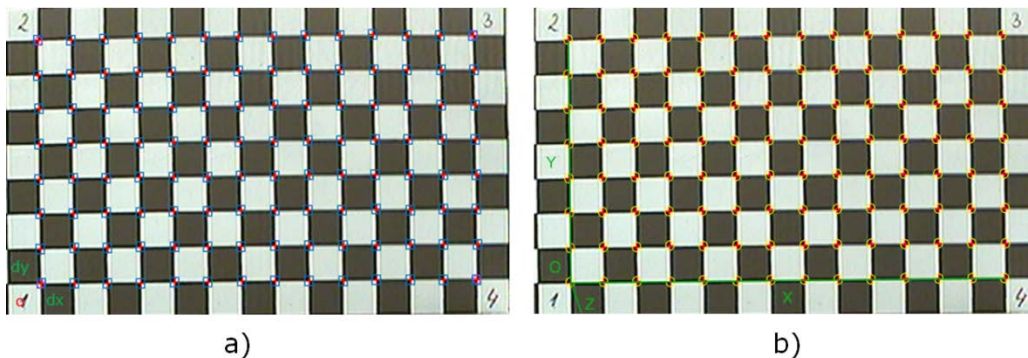


Figura 6. 12: Zona de interes a unei imagini utilizate în calibrare: a) puncte (colțuri) extrase; b) sistem de coordonate atașat imaginii.

În urma acestei etape, sunt stocate coordonatele fiecărei trăsături, față de sistemul de referință al imaginii și cel al obiectului (al șablonului). Pe baza coordonatelor fiecărui punct cunoscut atât în imagine, cât și în realitate, se rezolvă un sistem linear de ecuații cu zece necunoscute. Aceste necunoscute sunt (Bouguet, 2012):

- Distanța focală (în pixeli): vectorul 2×1 $fc(fc_x, fc_y)$;
- Coordonatele centrului imagini sau punctului principal: vectorul 2×1 $cc(cc_x, cc_y)$;
- Unghiul de înclinare (skew angle) ce reprezintă unghiul dintre axa x și y a elementelor de imagine a sensorului vizual (în pixeli): scalarul $alpha_c$.
- Coeficienții de distorsiune (distorsiunea radială și cea tangențială): vectorul 5×1 kc .

Modelul matematic poate fi sintetizat după cum urmează:

1. Se consideră un punct „P” din spațiu, al cărui vector de poziție față de sistemul de referință atașat camerei video este:

$$XX_c = [X_c; Y_c; Z_c] \quad (6.37)$$

2. Se proiectează punctul în planul imagine utilizând parametrii intrinseci ai camerei (fc , cc , $alpha_c$ și kc).
3. Se consideră x_n ca fiind proiecția normalizată în cazul unei camere ideale (pinhole camera);

$$x_n = \begin{bmatrix} \frac{X_c}{Z_c} \\ \frac{Y_c}{Z_c} \end{bmatrix} = \begin{bmatrix} x \\ y \end{bmatrix} \quad (6.38)$$

4. Se consideră $r^2 = x^2 + y^2$;
5. Se includ distorsiunile de imagine astfel încât noul punct normalizat se definește ca:

$$x_d = \begin{bmatrix} x_d(1) \\ x_d(2) \end{bmatrix} = (1 + kc(1)r^2 + kc(2)r^4 + kc(5)r^6)x_n + dx \quad (6.39)$$

unde dx este vectorul distorsiunii tangențiale.

6. Se determină coordonatele în pixeli $x_pixel = [x_p; y_p]$ a proiecției punctului „P” în planul imagine;

$$\begin{cases} x_p = fc(1)(x_d(1) + alpha_c * x_d(2)) + cc(1) \\ y_p = fc(2)x_d(2) + cc(2) \end{cases} \quad (6.40)$$

Conform ecuației 6.40 se observă, că între coordonatele în pixeli și coordonatele normalizate ale punctului „P”, există o relație de legătură pe baza unei ecuații liniare:

$$\begin{bmatrix} x_p \\ y_p \\ 1 \end{bmatrix} = KK \begin{bmatrix} x_d(1) \\ x_d(2) \\ 1 \end{bmatrix} \quad (6.41)$$

unde KK este matricea camerei ce se definește astfel:

$$KK = \begin{bmatrix} fc(1) & alpha_c * fc(1) & cc(1) \\ 0 & fc(2) & cc(2) \\ 0 & 0 & 1 \end{bmatrix} \quad (6.42)$$

În urma primei rulării a funcției de calibrare, se obțin, ca rezultate, un set de valori estimative pentru parametri intrinseci. Pentru a obține o determinare mai exactă, respectiv pentru reducerea erorilor de pixeli, matricea coordonatelor fiecărei trăsături din imagine se poate reproiecta. Toolbox-ul permite, de asemenea, o analiză a erorilor de pixeli, ce sunt introduse de fiecare trăsătură extrasă din setul de imagini analizat și reproiectată (vezi figura 6.13). Pe baza acestuia, se poate identifica trăsătura sau trăsăturile (împreună cu imaginea corespunzătoare) care

introduc cele mai multe erori, astfel încât ele pot fi excluse sau din nou extrase, iar procedura de calibrare poate fi încă o dată executată.



Figura 6. 13: Reprezentare grafică a erorilor de re-proiecție de pixeli

Se observă, că erorile de reproiectare a trăsăturilor, pentru camera video LBCKSHL, au valoare maximă de aproximativ 1,5 pixeli.

Etapele de reproiectare și reextragere a trăsăturilor din imagine permite reducerea erorilor de calibrare per ansamblu, respectiv sunt reduse de asemenea și erorile de estimare a coeficienților de distorsiune și a unghiului de înclinare.

Valorile asociate parametrilor intrinseci, obținute în urma operației de calibrare a camerei video utilizată în această aplicație sunt prezentate în tabelul 6.3.

Parametri intrinseci	Valori
Distanța focală	$fc = [1827.0245 \ 1831.7264] \pm [6.50753 \ 6.22780]$
Punctul principal	$cc = [304.2061 \ 245.4029] \pm [1.89402 \ 1.44237]$
Unghiul de înclinare	$\alpha_c = [0.00018] \pm [0.00009]$
Coeficienții de distorsiune	$kc = [-0.8521 \ 15.7573 \ -0.0060 \ 0.0026 \ -307.6518] \pm [0.10683 \ 1.27153 \ 0.00391 \ 0.00527 \ 1.69717]$
Erori de pixeli	$err = [0.1170 \ 0.1622]$

Tabelul 6. 3 Parametri intrinseci ai camerei video LBCKSHL.

Pe baza parametrilor obținuți, se poate realiza și o reprezentare grafică a efectului distorsiunilor introduse de obiectivul camerei video asupra pixelilor din imagini (figura 6.14). În prima figură, se prezintă impactul pe care îl au distorsiunile radiale asupra fiecărui pixel al imaginii. Fiecare săgeată indică deplasarea efectivă a unui pixel, indusă de componenta distorsiunilor radiale ale lentilei. Se poate observa, că punctele de la colțurile imaginii sunt deplasate cu aproximativ 10 pixeli. Cea de-a doua figură ilustrează efectul pe care îl produce componenta tangențială a distorsiunilor asupra imaginii. Influența acesteia este redusă, putând fi chiar ignorată deoarece deplasarea maximă este doar de 1.2 pixeli (colțul dreapta sus).

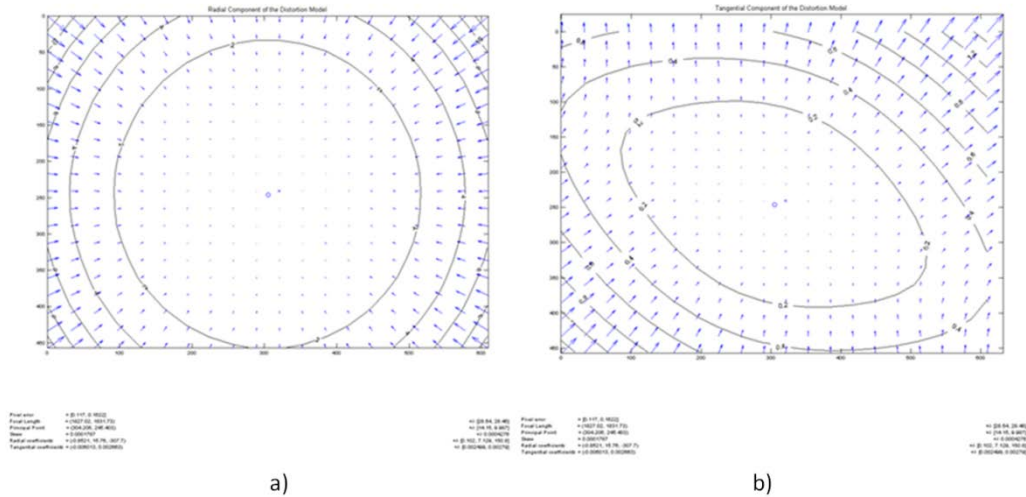


Figura 6. 14: Reprezentarea grafică a distorsiunilor asupra imagini: a) componenta radială; b) componenta tangențială.

Se observă, de asemenea, că algoritmul de calcul implementat în toolbox permite și o estimare a valorilor numerice, ce corespund erorilor de calibrare. Acestea sunt aproximativ de trei ori deviația standard a estimării.

În vederea obținerii unor erori reduse de calibrare, se aplică o regulă, acceptată în general, care subliniază faptul că pentru o anumită precizie de calibrare este necesar ca șablonul de calibrare să fie proiectat având o toleranță cu una sau două ordine de mărime mai mică.

Algoritmul iterativ, implementat în toolbox, permite utilizarea întregului număr de imagini, ce conțin șablonul de tip „tabla de șah”, folosit la calibrarea camerei, și coordonatele colțurilor acestuia, pentru a determina situarea sistemului de referință atașat șablonului față de sistemul de referință al camerei video.

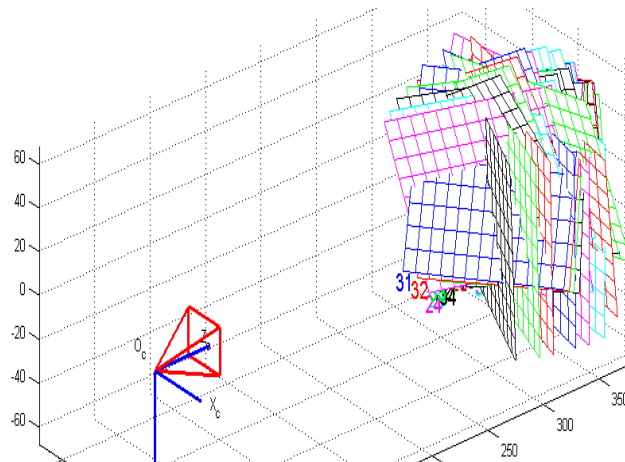


Figura 6. 15: Situațiile șablonului de calibrare față de sistemul de referință al camerei video.

Pe baza parametrilor intrinseci ai camerei video LBCKSHL, și a unei imagini cu șablonul de calibrare situat în planul obiect, corespunzător planului în care s-a

realizat calibrarea robotului SCORA ER 14 (a se vedea subcapitolul 6.1.1) se pot determina parametri extrinseci ai camerei. Aceștia sunt necesari relaționării sistemului de referință al camerei video, sistemul $O_c X_c Y_c Z_c$, cu sistemul de referință atașat șablonului de calibrare $O_p X_p Y_p Z_p$.

Parametri extrinseci	Valori
Vectorul de translație [mm]	$Tc_ext = [-52.23602 \ 11.61013 \ 419.13637]$
Vectorul de rotație [rad]	$omc_ext = [3.13531 \ -0.01384 \ -0.046763]$
Matricea de rotație [rad]	$Rc_ext = \begin{bmatrix} 0.99951 & -0.00874 & -0.02984 \\ -0.00891 & -0.99994 & -0.00576 \\ -0.02979 & 0.00602 & -0.99953 \end{bmatrix}$
Erori de pixeli	$err = [0.17368 \ 0.17228]$

Tabelul 6. 4 Parametri extrinseci ai camerei video LBCKSHL.

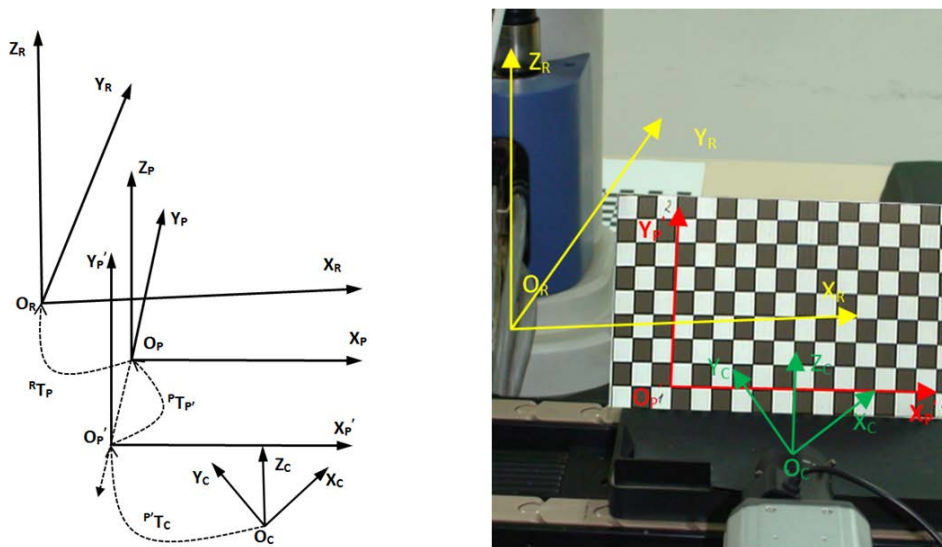


Figura 6. 16: Trecerea de la sistemul de referință al camerei la sistemul de referință atașat robotului.

Trecerea de la sistemul de referință al camerei la sistemul de referință atașat șablonului de calibrare se face, pentru un punct M , astfel:

Se consideră punctul M având vectorul de poziție $XX_p = [X_p, Y_p, Z_p]$

față de sistemul $O_p X_p Y_p Z_p$ și vectorul de poziție $XX_c = [X_c, Y_c, Z_c]$ față de sistemul $O_c X_c Y_c Z_c$.

Relația de legătură între cei doi vectori este:

$$XX_c = Rc_ext * XX_p + Tc_ext \quad (6.43)$$

Această metodă de calibrare a camerei video, respectiv de determinare a parametrilor intrinseci și extrinseci, a fost utilizată pentru toate aplicațiile de vedere robotizată, realizate în Matlab, ce sunt prezentate în teza de față.

6.4. Aplicația propriu-zisă

În acest paragraf, se prezintă aplicația dezvoltată în Matlab, ce presupune manipularea controlată a unor obiecte colorate. Aplicația este de tip servoing vizual, ce se bazează pe imagini, denumită și aplicație de tip 2D (Image – based Visual Servoing sau IBVS). Acest lucru, se datorează faptului că, controlul mișcării robotului se realizează utilizând informațiile de natură 2D extrase din imagini ce sunt prelevate de o singura cameră a cărei situație este cunoscută. Poziția și orientarea camerei față de un sistem de coordonate cunoscut (în cazul de față, sistemul de coordonate atașat spațiului de lucru sau spațiul piesei), s-a determinat în urma operației de calibrare a camerei video conform modelului prezentat în secțiunea 6.1.2. De asemenea, situația sistemului de referință atașat spațiului piesei, față de sistemul de referință atașat bazei robotului a fost determinată (vezi secțiunea 6.1.1). Standul experimental creat, pe care s-a implementat aplicația, este prezentat schematic în figura 6.17 (Pop, 2012a).

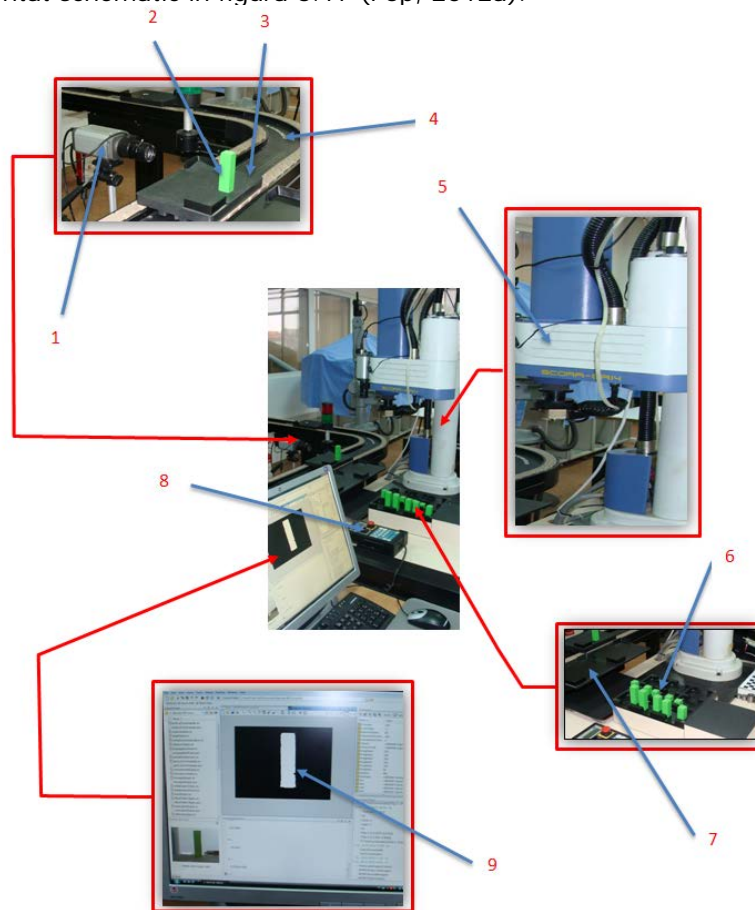
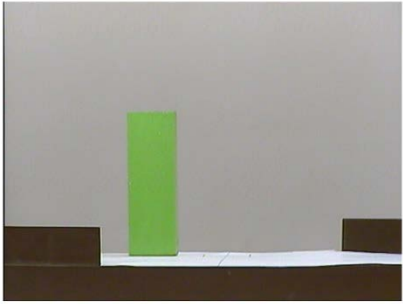
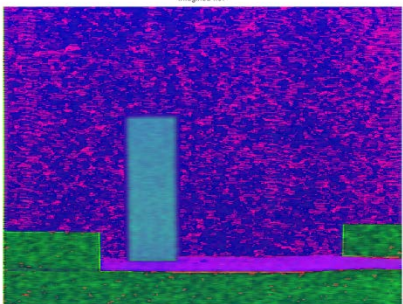



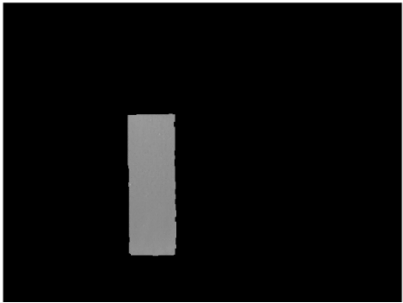
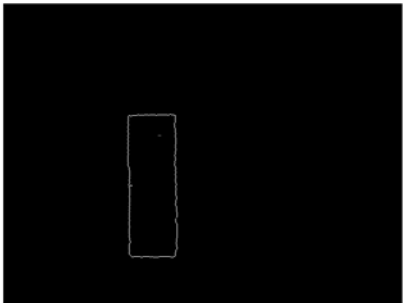
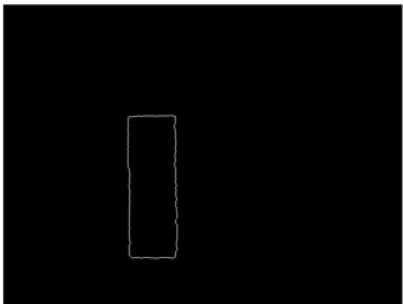
Figura 6. 17: Standul experimental : 1) camera video CCD; 2) obiectul vizat; 3) cărucior; 4) conveyor de transfer; 5) robotul SCORA ER 14; 6) depozit de piese; 7) post de așteptare; 8) teach pendant; 9) calculatorul pe care rulează aplicația

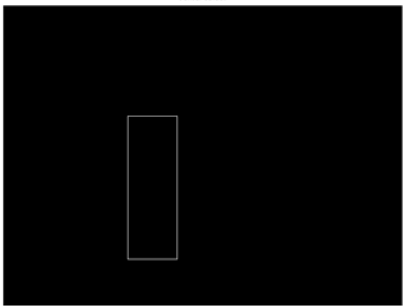

Aplicația constă practic, în determinarea poziției de prindere a unui obiect colorat (un paralelipiped dreptunghic verde), ce sosește pe căruciorul unui conveior de transfer la stația de lucru a robotului SCORA ER 14. Poziția piesei pe cărucior este cunoscută (X_p și Y_p cunoscut), fiind constantă, astfel încât pe baza algoritmului de vedere computerizată dezvoltat, se determină din imagini doar poziția de prindere a obiectului (poziția de închidere a bacurilor dispozitivului de prehensare). Piesele în cauză, variază în funcție de înălțime, iar poziția de prindere se găsește la jumătatea înălțimii obiectului. Prinderea se realizează în acest mod, pentru a avea o manipulare controlată a piesei, din momentul în care se prelevează de pe cărucior, până în momentul în care se depune în locația dorită.

Algoritmul de vedere computerizată, care face posibilă realizarea acestei aplicații, presupune o segmentare a imaginii pe bază de culoare. Această operație de prelucrare a imaginii se realizează în spațiul de culoare HSV (Hue, Saturation, Value sau Nuanță, Saturație, Valoare) deoarece este un sistem monocromatic, fapt ce face ca o singură componentă să influențeze culoarea dominantă. Celelalte componente se referă la intensitatea culorii și la strălucirea relativă.

Etapile principale pe care le presupune algoritmul de prelucrare a imaginii (anexa 7) sunt prezentate în tabelul 6.5.

Etapa	Rezultat
<p>1 Achiziția imaginii în formatul .png (Portable Network Graphics) la o rezoluție de 640x480 pixeli, în spațiul de culoare RGB (Red, Green, Blue - sistem tricromatic aditiv - Roșu, Verde, Albastru).</p>	
<p>2 Conversia imaginii în spațiul de culoare HSV cu ajutorul funcției „rgb2hsv”. Această etapă se execută pentru a se detecta mai ușor și mai precis (cu erori de pixeli mai mici) obiectul vizat în imagine. Detectarea se realizează pe baza unor valori de prag (limita minimă și limita maximă) ale celor trei componente. Valorile de prag se obțin, într-o etapă premergătoare rulării aplicației. Această etapă constă în selectarea manuală, în mai multe imagini, a unui număr de pixeli ce aparțin obiectului căutat. Pe baza valorilor acestor pixeli sunt determinate limitele de prag utilizate de algoritm.</p>	

3	Detectarea pe baza limitelor de prag a obiectului vizat.	
4	Convertirea imaginii originale în nuanțe de gri și extragerea din imaginea rezultantă a pixelilor ce aparțin obiectului detectat în etapă anterioară.	
5	Detectarea muchiiilor pe baza operatorului Sobel. În fiecare punct al imaginii, operatorul Sobel calculează opusul gradientului intensității imaginii.	
6	Eliminarea obiectelor mici. Sunt eliminate acele obiecte al căror număr de pixeli este mai mic decât pragul stabilit. Pragul se stabilește pe baza numărului de pixeli corespunzători celui mai mic obiect vizat.	

<p>7 Rectificarea conturului. Acest lucru se realizează prin determinarea coordonatelor celor patru colțuri ale conturului:</p> <p>Colțul stânga sus (x_{\min}, y_{\min});</p> <p>Colțul stânga jos (x_{\min}, y_{\max});</p> <p>Colțul dreapta jos (x_{\max}, y_{\max});</p> <p>Colțul dreapta sus (x_{\max}, y_{\min});</p> <p>Pe baza acestor coordonate se generează grafic liniile noului contur utilizând funcția special dezvoltată „linie”.</p>	
<p>8 Obținerea obiectului final. Acesta reprezintă corespondentul cel mai fidel al obiectului real în pixeli. Pe baza lui se pot determina caracteristicile geometrice ale obiectului real.</p>	

Tabelul 6. 5: Etapele algoritmului de prelucrare a imagini cu obiectul vizat.

Algoritmul de prelucrare de imagini prezentat anterior este integrat împreună cu informațiile obținute în urma proceselor de calibrare a camerei video și a robotului în algoritmul de vedere computerizată. Implementarea acestui pe standul experimental existent, conduce la realizarea aplicației de servoing vizual.

Ordinograma (diagrama de flux) aplicației este ilustrată în figura 6.18. Pașii ce trebuie parcurși pentru realizarea aplicației sunt următorii:

- Pasul 1. Obiectul (unul din paralelipipedele dreptunghice de culoare verde) este plasat pe căruciorul conveier-ului de transport într-o poziție fixă (cunoscută);
- Pasul 2. Căruciorul se deplasează până la stația de lucru (stația robotului SCORA ER 14) și se oprește în fața camerei video;
- Pasul 3. Camera CCD achiziționează o imagine cu obiectul aflat pe cărucior la o distanță cunoscută față de cameră;
- Pasul 4. Algoritmul de procesare de imagini (prezentat anterior) prelucrează imaginea achiziționată. Rezultatul acestuia este o imagine binară cu obiectul detectat.
- Pasul 5. Se determină aria obiectului în pixeli (A_{pix}) pe baza imaginii obținută în pasul anterior.
- Pasul 6. Se determina lățimea pieselor în pixeli (l_{pix}) și ulterior factorul de scalare S (raportul pixel / milimetru). Acesta se poate determina avându-se în vedere faptul că singura dimensiune de gabarit care variază la toate piesele este înălțimea (lungimea dreptunghiului din imagini). Lățimea pieselor este constantă și se cunoaște în milimetri (l_{mm}) (grosimea nu

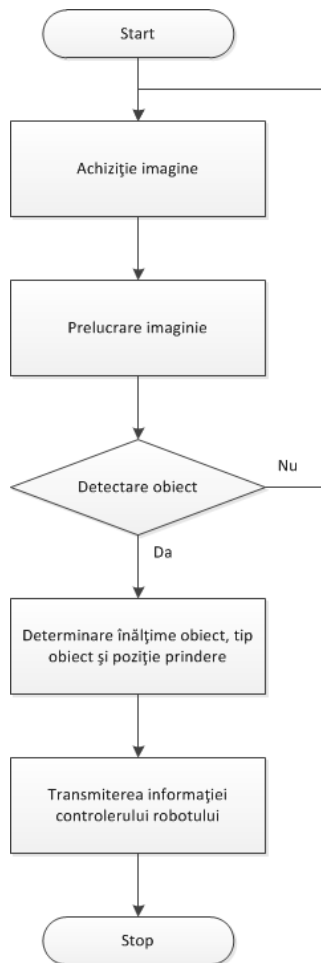


Figura 6. 18: Ordinograma aplicației de determinare a înălțimii, tipului și coordonatelor de prindere a obiectelor colorate.

prezintă interes, se neglijează pentru aplicația de față).

$$S = \frac{l_{pix}}{l_{mm}} \quad (6.44)$$

Pasul 7. Se determină înălțimea în pixeli (H_{pix}):

$$H_{pix} = \frac{A_{pix}}{l_{pix}} \quad (6.45)$$

Pasul 8. Se calculează înălțimea obiectului detectat în milimetri pe baza factorului de scalare:

$$H_{mm} = H_{pix} * \frac{1}{S} \quad (6.46)$$

- Pasul 9. Se determină tipul de obiect pe baza înălțimii obținute în pasul anterior.
- Pasul 10. Se calculează coordonata pe axa OZ față de planul piesei, pentru a se putea realiza prinderea obiectului. Reprezintă jumătate din înălțimea calculată.
- Pasul 11. Se transformă coordonatele de prindere ale obiectului, ce sunt cunoscute față de sistemul atașat planul piesei (x, y constante și z determinat) în coordonatele față de sistemul atașat robotului utilizând matricea de trecere ${}^R T_p$.
- Pasul 12. Se comandă robotul pe baza rezultatele de la pasul 9 și 11.
- Pasul 13. Robotul pe baza informațiilor primite, prelevează piesa de pe cărucior și o depozitează în postul de așteptare sau în locul corespunzător din depozitul de piese (anexa 8).

6.5. Concluzii

După efectuarea unui număr mare de teste experimentale pe obiecte de diferite dimensiuni (diferența de înălțime este de cel puțin 5 mm), s-a observat că sistemul, în configurația prezentată, este capabil să detecteze, localizeze și identifice obiectele într-un mod corespunzător.

Numărul obiectului	Tipul obiectului	Valoarea numerică a înălțimii măsurată [mm]	Tipul obiectului determinat	Valoarea numerică a înălțimii calculată [mm]
1	A	18.37	A	18.66
2	B	23.40	B	23.79
3	C	28.48	C	28.90
4	D	33.50	D	33.94
5	E	38.56	E	38.73
6	F	43.49	F	43.88
7	G	48.52	G	48.78
8	H	53.55	H	54.04
9	I	58.60	I	58.87
10	J	63.47	J	63.77

Tabelul 6. 6: Rezultate obținute în urma rulării aplicației pe toate obiectele

Valorile măsurate din tabel, au fost obținute cu un șubler digital, și valorile calculate cu ajutorul relației 6.46. În ciuda rezultatelor satisfăcătoare ce au fost obținute, sistemul poate fi influențat de diverși factori externi și, prin urmare, ocazional pot să apară erori sistematice care afectează performanța acestuia. Unele dintre aceste surse de eroare sunt lumină ambientală, coeficientul de reflexie a suprafeței obiectului, umbre și balansul de alb.

Sursa de eroare cea mai importantă este lumina ambientală care poate influența semnificativ camera CCD și, prin urmare, imaginile obținute, făcând rezultatele obținute în urma prelucrării lor să dețină erori nedorite. Din acest motiv, se recomandă ca algoritmul prezentat să fie utilizat într-un mediu cu iluminare controlată.

7. CONCEPEREA ȘI DEZVOLTAREA UNOR APLICAȚII INDUSTRIALE DE TIP „PICK AND PLACE” ÎN MATLAB

În acest capitol, sunt prezentate trei aplicații de vedere robotizată, al căror obiectiv principal, este cel de prelevare, manipulare și depozitare, cu ajutorul unui robot, a unor obiecte de tip industrial. Gradul de complexitate al acestora variază, datorită modificării condițiilor inițiale impuse fiecărei aplicații în parte, respectiv datorită cantității de informație cunoscute.

7.1. Aplicație de detectare și recunoaștere a tipului de obiect aflat într-o poziție fixă, cunoscută

Scopul aplicației: Detectarea și recunoașterea automată a obiectelor ce sosesc pe căruciorul unui conveior de transfer într-o poziție fixă, cunoscută, pe bază unui algoritm de prelucrări de imagini, pentru sortarea și stivuirea acestora, în locașurile corespunzătoare, dintr-un depozit de piese (Pop, 2012b).

Echipamentele utilizate pentru realizarea acestei aplicații sunt:

- Sistem robotizat de manipulare, ce are în componență următoarele:
 - o Robot de tip scara (SCORA ER 14);
 - o Controler central și controler robot (tip B);
 - o Calculator central și calculator de stație;
 - o Depozit de piese;
 - o Cutie de conexiuni;
 - o Teach pendant.
- Conveior de transfer ce presupune:
 - o Patru cărucioare;
 - o Trei posturi de așteptare;
 - o Un PLC.
- Sistem de vedere artificial compus din:
 - o Două camere video CCD de supraveghere (de tip LBCKSHL). Una montată pe un trepied într-o poziție fixă, cunoscută și ce-a de-a doua montată pe axa 3 a robotului SCORA;
 - o Doua plăci de captură semnal video;
 - o Un calculator (pentru dezvoltarea și rularea algoritmului de vedere computerizată);
 - o Programul de bază Matlab (mediul de lucru în care s-a dezvoltat aplicația).
- Un șablon de calibrare 2D de tip „tablă de șah”;
- Piese industriale (rulmenți radiali cu bile).

Aplicația realizează identificarea, prelevarea, manipularea, sortarea și depozitarea unor obiecte de tip rulment radial cu bile, de dimensiuni diferite (vezi tabelul 7.1), care sosesc la stația de lucru pe căruciorul unui conveior de transfer. Configurația standul experimental utilizat în acest scop este prezentat în figura 7.1.

Nr. Crt.	Serie rulment	Diametru interior d[mm]	Diametru exterior D[mm]	Lațime B[mm]
1	607	5.9	18.96	5.94
2	608	7.9	21.96	6.94
3	6000	9.9	25.96	7.94
4	6001	11.9	27.96	7.94
5	1602	14.9	31.96	7.9
6	7201	11.9	31.96	9.9
7	6003	16.9	34.96	9.9
8	6204	19.95	46.96	13.95
9	3056204	19.95	46.96	20.55

Tabelul 7. 1: Rulmenții utilizați în cadrul aplicației.



Figura 7. 1: Standul experimental 1) calculatorul pe care rulează aplicația; 2) camera CCD 2; 3) căruciorul conveierului; 4) piesa - rulmentul; 5) buffer; 6) camera CCD 1; 7) robotul SCORA-ER14; 8) depozitul de piese; 9) teach pendant.

Etapele premergătoare realizării acestei aplicații sunt calibrarea robotului SCORA (vezi subcapitolul 6.1.1) și calibrarea camerelor video (vezi subcapitolul 6.1.2). Pentru realizarea operației de calibrare a camerelor video, în cadrul acestei aplicații s-a utilizat un șablon de calibrare 2D. Metoda de calibrare prezentată în capitolul 6, a fost utilizată și în acest caz, deoarece fiecare cameră vizualiza individual un plan al șablonului de calibrare. Parametri camerelor (intrinseci și extrinseci) obținuți în urma operației de calibrare a camerelor sunt prezentați în tabelul 7.2 și coeficienții de distorsiune totală (radială și tangențială) a lentilelor în figura 7.2.

7.1. Aplicație de recunoaștere a tipului de obiect aflat într-o poziție cunoscută 91

Camera 1	Parametri intrinseci	Valori
	Distanța focală [pixel]:	fc = [908.03825 992.41205]
	Punctul principal [pixel]:	cc = [363.50768 221.79380]
	Unghiul oblic [grade]:	alpha_c = [-0.00098]
	Distorsiunile:	kc = [-0.30845 0.49046 0.00234 -0.00446 -1.09196]
	Erori de pixeli [pixel]:	err = [0.09427 0.09722]
	Parametri extrinseci	Valori
	Vectorul de translație [mm]:	Tc_ext = [74.07689 35.99206 340.89596]
	Vectorul de rotație [rad]:	omc_ext = [-1.965117 2.447803 0.031526]
	Matricea de rotație [rad]:	Rc_ext = [-0.216251 -0.976279 0.010688 -0.976231 0.216052 0.017175 -0.014459 0.014148 -0.999795]
Erori de pixeli [pixel]:	err = [0.11184 0.09633]	
Camera 2	Parametri intrinseci	Valori
	Distanța focală [pixel]:	fc = [1793.79262 1797.81346]
	Punctul principal [pixel]:	cc = [281.27936 232.61122]
	Unghiul oblic [grade]:	alpha_c = [0.00044]
	Distorsiunile:	kc = [-0.63457 -0.24512 -0.00607 0.00541 -8.87892]
	Erori de pixeli [pixel]:	err = [0.12040 0.16944]
	Parametri extrinseci	Valori
	Vectorul de translație [mm]:	Tc_ext = [-49.67934 14.00653 410.43727]
	Vectorul de rotație [rad]:	omc_ext = [3.135123 -0.014208 -0.055588]
	Matricea de rotație [rad]:	Rc_ext = [0.999330 -0.008955 -0.035476 -0.009166 -0.999941 -0.005783 -0.035422 0.006104 -0.999354]
Erori de pixeli [pixel]:	err = [0.21634 0.19381]	

Tabelul 7. 2: Parametri intrinseci și extrinseci ai celor două camere CCD.

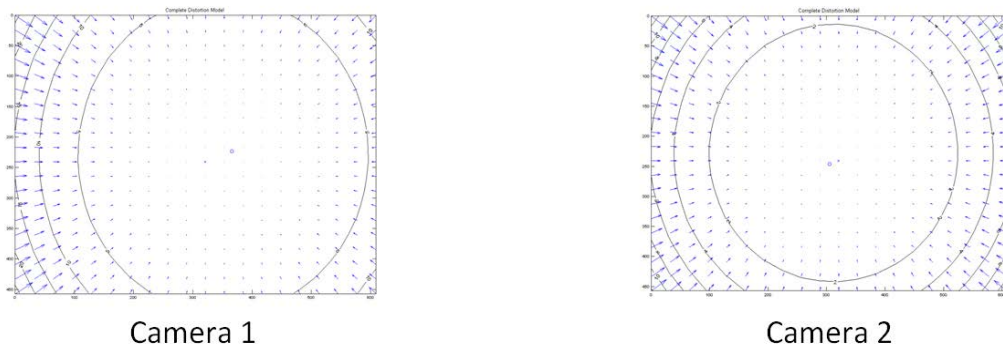


Figura 7. 2: Distorsiunile lentilelor celor două camere CCD.

Această aplicație are la bază trei algoritmi de procesare de imagini. Doi dintre aceștia sunt de recunoaștere de obiecte iar al treilea este de identificare.

Modalitatea de abordare a acestei aplicații constă în:

- detectarea și identificarea tipului de rulment pe baza imaginilor achiziționate de camera CCD 2 (camera de pe trepid fixă);

- detectarea centrului de greutate și determinarea poziției sale pe baza imaginilor prelevate de camera CCD 1 (camera de pe robot).

Pentru realizarea acestei aplicații de vedere robotizată s-a ținut cont de următoarele premise:

- Datele de intrare:
 - o Pe cărucior sosește la stația de lucru un singur rulment;
 - o Situația rulmenților pe cărucior este cunoscută (distanța de la camera video fixă până la obiect este constantă indiferent de diametrul exterior al rulmentului, respectiv de tipul rulmentului);
 - o Senzorii camerelor video sunt paraleli cu planul $O_p X_p Y_p$ și $O_p Y_p Z_p$ (proiecție normală);
 - o Pragurile necesare algoritmului de detectare a obiectelor, în spațiul de culori HSV (Hue, Saturation, Value sau Nuanță, Saturație, Valoare) a imaginii prelevată de camera 2 (fixă) sunt cunoscute (se obțin într-o operație anterioară de prelucrare);
 - o Șabloanele necesare algoritmului de identificare a tipului de rulment sunt obținute tot într-o etapă premergătoare aplicației. Aceste șabloane le sunt asociate caracteristicile geometrice ale rulmenților (vezi tabelul 7.2).
- Datele de ieșire:
 - o Tipul de rulment aflat pe cărucior în momentul rulării aplicației;
 - o Poziția rulmentului depozitat în postul de așteptare (buffer).

Ordinograma aplicației este ilustrată în figura 7.3. Pașii ce sunt necesari a fi parcurși pentru realizarea aplicației sunt următorii:

- Pasul 1. Un rulment ajunge în fața camerei CCD 2 pe un cărucior al conveierului de transfer, într-o poziție cunoscută;
- Pasul 2. Camera CCD 2 achiziționează o imagine cu rulmentul situat pe cărucior;
- Pasul 3. Pe baza imaginii prelevate de camera CCD 2, primul algoritm de procesare a imaginii, detectează prezența rulmentului pe cărucior și conturul acestuia;
- Pasul 4. Cel de-al doilea algoritm de procesare a imaginii compară conturul detectat cu un număr de șabloane învățate în etapa off-line, premergătoare acestei aplicații, determină tipul de rulment și prin urmare, caracteristicile sale geometrice (inclusiv lățimea „B” a rulmentului);
- Pasul 5. Calculatorul pe care rulează aplicația, comandă robotul, pentru ca acesta să se deplaseze dintr-o poziție de așteptare într-o poziție pentru apucarea rulmentului de pe paletă;
- Pasul 6. Robotul realizează operația de prelevare a rulmentului de pe cărucior, respectiv prinde rulmentul între degetele dispozitivului de prehensiune. Se deplasează, după aceea, deasupra postului de așteptare (buffer-ului stației de lucru), deschide dispozitivul de prehensiune și dă drumul rulmentului să cadă. Ulterior se retrage într-o poziție stabilită pentru a putea preleva o imagine clară a întregului buffer cu ajutorul camerei CCD 1 (fixată pe robot);
- Pasul 7. Camera video 1 achiziționează o imagine cu vederea de sus a rulmentului;
- Pasul 8. Cel de-al treilea algoritm de prelucrare de imaginii, detectează, pe baza imaginii de la camera 1, centrul de greutate al rulmentului (coordonatele x și y);

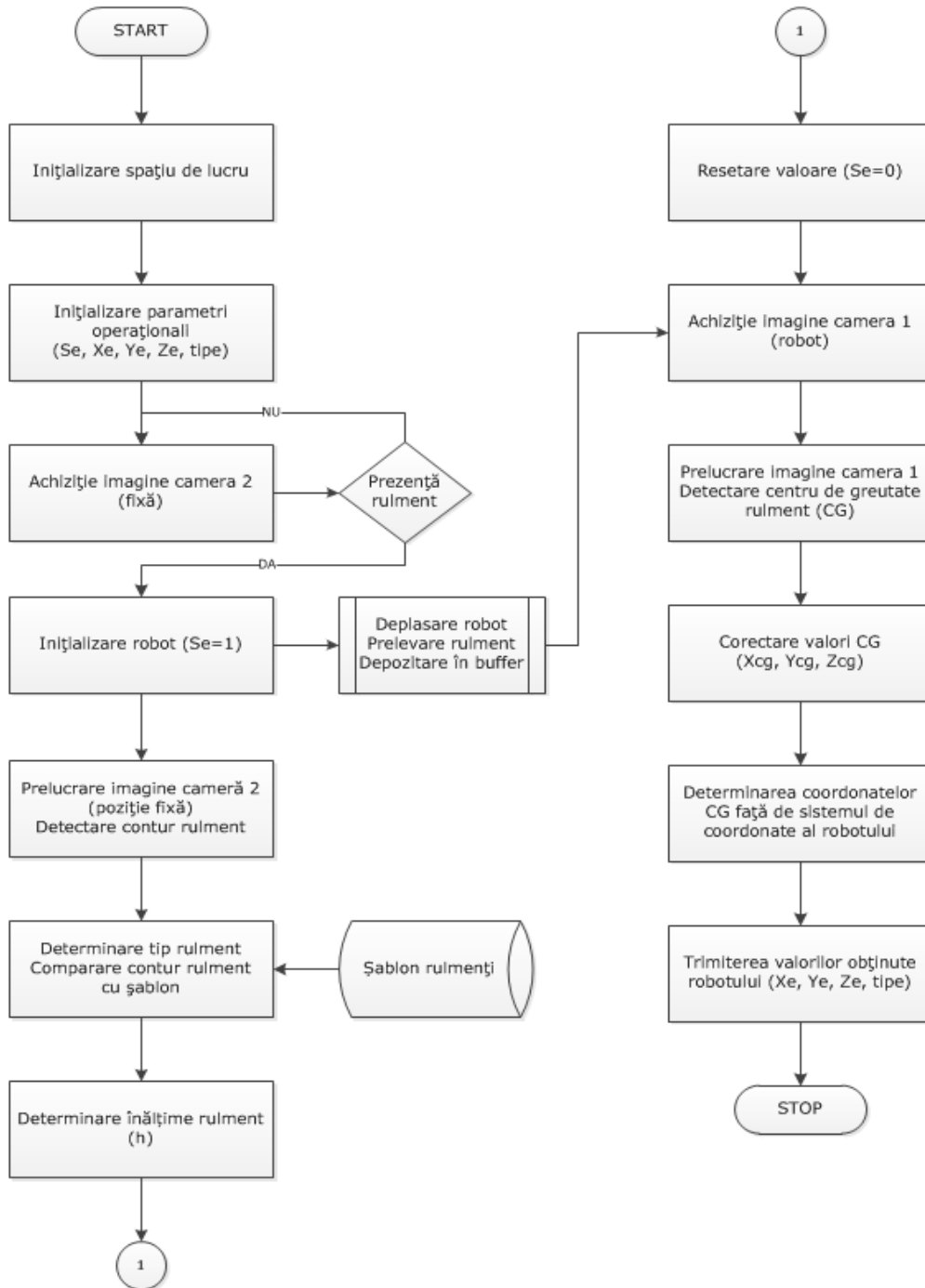


Figura 7. 3: Ordinograma aplicației de determinare a tipului de rulment pe bază de șablon și a poziției acestuia în buffer.

Pasul 9. Pe baza diametrului exterior al rulmentului și pe baza parametrilor de calibrare ai camerei 1 sunt corectate coordonatele centrului de greutate;

Pasul 10. Informațiile cu privire la tipul rulmentului și coordonatele centrului de greutate corectate sunt utilizate pentru comandarea robotului;

Pasul 11. Robotul, pe baza acestor informații, preia rulmentul din buffer și îl stivuiește în locașul corespunzător din depozit.

Algoritmul de prelucrare a imaginii care se aplică la pasul 3 este prezentat în figura 7.4. Acest algoritm, ce se folosește pentru detectarea obiectului în imagine, se bazează pe faptul că, operațiunea de segmentare a imaginii se efectuează în spațiul de culoare HSV, cu scopul de a îmbunătăți precizia de detectare a obiectelor.

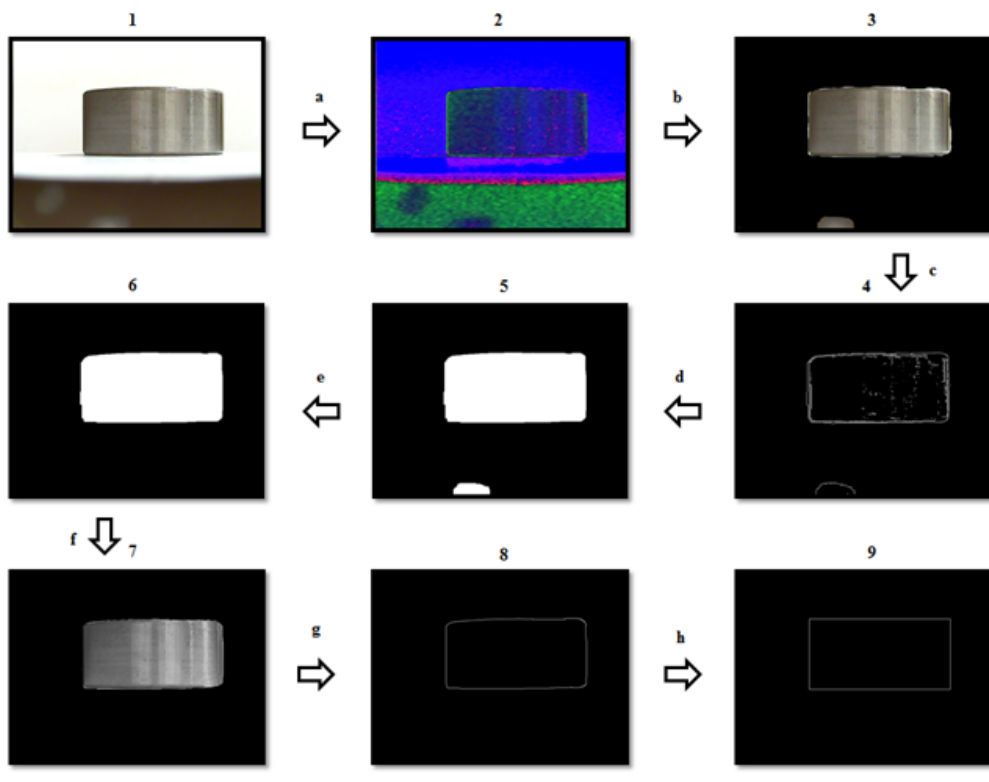


Figura 7. 4: Algoritm de detectare a obiectului vizat: 1) imaginea originală, 2) imaginea HSV, 3) imaginea cu obiectul detectat, 4) imaginea cu muchii, 5) imaginea cu obiectul plin, 6) imagine fără obiecte mici, 7) rulmentul detectat, 8) conturul rulmentului, 9) conturul îndreptat.

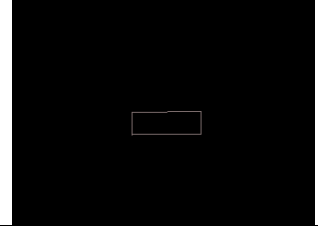
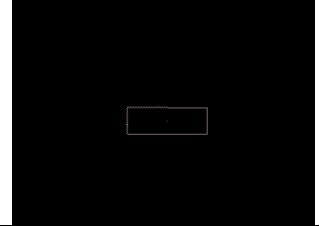
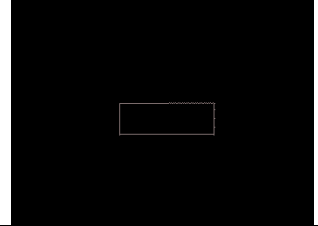

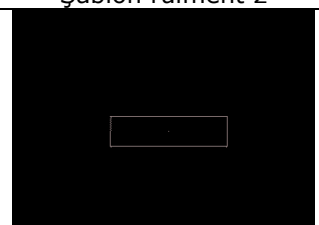
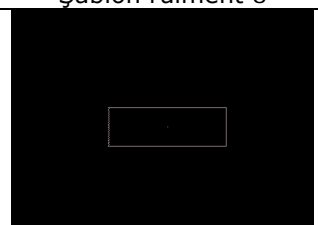



Operațiunile cele mai importante ale acestui algoritm sunt:

- a) conversia imaginii RGB în imagine HSV;
- b) extragerea din imagine a entităților incluse în limitele de prag;
- c) detectarea marginilor pe baza operatorului Sobel;
- d) umplerea conturilor obținute;
- e) eliminare obiectelor mici;
- f) extragerea rulmentului din imaginea originală;
- g) detectarea conturului rulmentului;
- h) corecția conturului.

7.1. Aplicație de recunoaștere a tipului de obiect aflat într-o poziție cunoscută 95

Limitele pragului HSV sunt obținute într-o etapă anterioară de învățare. Prin intermediul unei interfețe grafice, un operator uman selectează un număr de pixeli ce aparțin fundalului, din imaginile obținute de la camera CCD 2. Pe baza valorilor acestor pixeli, limitele minime și maxime ale pragului sunt calculate.

Tot într-o etapă premergătoare rulării aplicației, șabloanele folosite de cel de-al doilea algoritm de procesare a imaginii (pasul 4) sunt generate (vezi tabelul 7.3). Acestea sunt obținute prin selectarea celor patru colțuri ale rulmentului, pe imaginile achiziționate de la camera 2 (vedere din față a rulmentului). Aceste modele sunt asociate cu caracteristicile geometrice reale (diametru exterior și lățimea) ale rulmenților.

		
Șablon rulment 1	Șablon rulment 2	Șablon rulment 3
		
Șablon rulment 4	Șablon rulment 5	Șablon rulment 6
		
Șablon rulment 7	Șablon rulment 8	Șablon rulment 9

Tabelul 7. 3: Tabel cu șabloanele învățate pentru identificarea rulmenților.

Practic cel de-al doilea algoritm de procesare a imaginii (anexa 9) compară, conturul rulmentului generat de primul algoritm cu conturul șabloanelor prin suprapunerea centrelor de greutate. Șablon, care se apropie cel mai mult de conturul detectat, este selectat. Acest lucru este posibil datorită faptului că rulmenții sosesc întotdeauna pe paletă, în aceeași poziție fixă.

Cel de-al treilea algoritm de procesare de imaginii (pasul 8), pe baza imaginilor cu vederea de sus a rulmenților, detectează obiectele rotunde și centrul lor de greutate raportat la sistemul de referință al camerei 1 (figura 7.5). Acest proces se realizează prin aplicarea imaginilor a unui prag global folosind metoda Otsu (Otsu, 1979) și o condiție de rotunjime.

Următorul pas (pasul 9), transpune coordonatele (x_p , y_p) din sistemul de referință imaginea în sistemul de referință al senzorului video, prin operația de

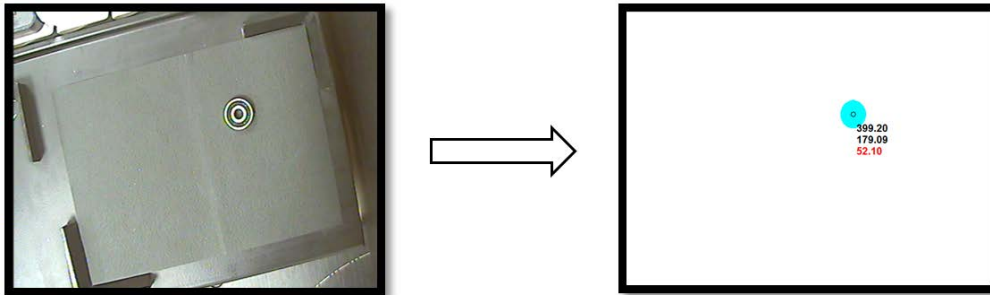


Figura 7. 5: Rezultatul aplicării algoritmului 3 de prelucrare a imaginilor, de la pasul 8.

normalizarea realizată pe baza parametrilor intrinseci ai camerei 1 și funcția "normalize.m" (din toolbox-ul de calibrare).

Relația dintre coordonatele normalizate α și β și coordonatele centrului de greutate ${}^{C1}CG (X_G, Y_G, Z_G)$, în sistemul de referință al piesei „P” raportat la camera 1 este:

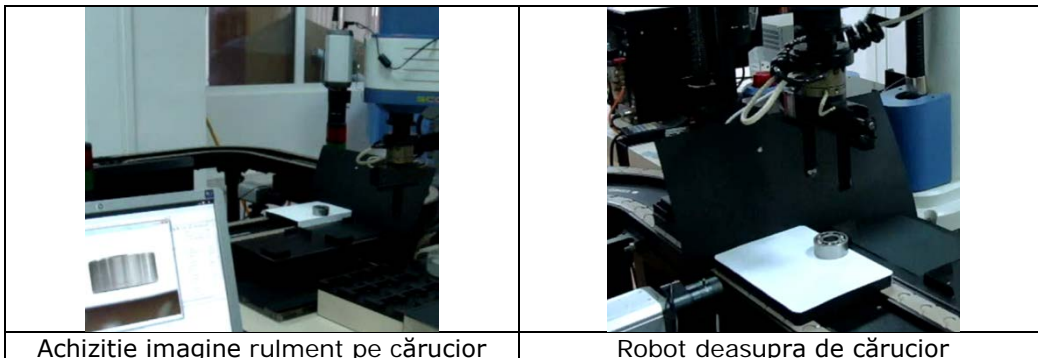
$$\begin{bmatrix} \alpha \\ \beta \end{bmatrix} = \begin{bmatrix} {}^{C1}X_G / {}^{C1}Z_G \\ {}^{C1}Y_G / {}^{C1}Z_G \end{bmatrix} \quad (7.1)$$

Pentru a se putea obține coordonatele punctului CG în sistemul de referință „P” este necesar ca parametrii extrinseci (tabelul 7.2) și lățimea B notată cu h a rulmentului (determinată la pasul 4) să se introducă în ecuația. 7.2.

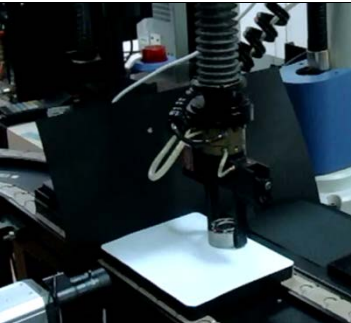
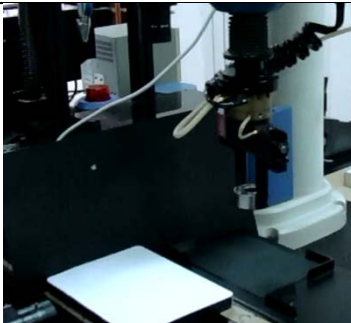
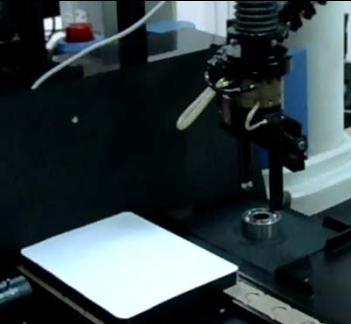





$$\begin{aligned} \alpha * {}^{C1}Z_G &= Rc_ext_{11} * X_G + Rc_ext_{12} * Y_G + Tc_ext_{11} \\ \beta * {}^{C1}Z_G &= Rc_ext_{21} * X_G + Rc_ext_{22} * Y_G + Tc_ext_{21} \\ {}^{C1}Z_G &= Rc_ext_{31} * X_G + Rc_ext_{32} * Y_G + Tc_ext_{31} - h \end{aligned} \quad (7.2)$$

Dacă se rezolvă sistemul, coordonatele centrului de greutate CG, respectiv X_G, Y_G și Z_G sunt determinate.

Rezultatele obținute în urma rulării aplicației de vedere computerizată sunt prezentate în tabelul 7.4.



7.1. Aplicație de recunoaștere a tipului de obiect aflat într-o poziție cunoscută 97

	
Rulment în gripper	Rulment deasupra de buffer
	
Rulment pe buffer	Achiziție imagine rulment pe buffer
	
Robot deasupra de buffer	Rulment în gripper
	
Rulment deasupra de depozit	Rulment în locașul din depozit

Tabelul 7. 4: Rezultatele aplicației de detectare, recunoaștere, manipulare și depozitar a unui rulment aflat în poziție cunoscută.

7.2. Aplicație de detectare și recunoaștere a tipului de obiect aflat într-o poziție necunoscută

Scopul aplicației: Detectarea și recunoașterea automată a obiectelor ce se regăsesc într-o poziție necunoscută, în postul de așteptare (buffer-ul stației), pe bază unui algoritm de prelucrări de imagini, pentru sortarea și stivuirea acestora, în locașurile corespunzătoare, dintr-un depozit de piese.

7.2.1. Aplicația propriu-zisă

Cea de-a doua aplicație, se diferențiază prin faptul că rulmentul nu mai sosește pe paletă într-o poziție fixă, el regăsindu-se într-o poziție necunoscută în buffer. Identificarea tipului de rulment nu se mai realizează în aceeași manieră, respectiv algoritmul de comparație cu șabloanele nu se mai folosește (Pop, 2012b).

Operația de calibrare a camerelor, se reface pentru postul de așteptare, utilizându-se de aceasta dată un șablon de calibrare de tip „tablă de șah” 3D. Modalitatea de calibrare este identică, cu cea utilizată și la aplicația anterioară, utilizându-se modelul prezentat în capitolul 6 (subcapitolul 6.2). Acest lucru este posibil deoarece, fiecare camera vizualizează în momentul calibrării, doar un plan al șablonului de calibrare. Șablonul de calibrare 3D este utilizat pentru a se putea realiza o corelație între parametri camerei 1 și parametri camerei 2.

Pentru realizarea acestei aplicații de vedere robotizată s-a ținut cont de următoarele premise:

- Datele de intrare:
 - o În postul de așteptare (buffer) a stației de lucru se găsește în momentul rulării aplicației un singur rulment
 - o Situația rulmentului pe buffer este necunoscută;
 - o Sensorii camerelor video sunt paraleli cu planul $O_p X_p Y_p$ și $O_p Y_p Z_p$ (proiecție normală) iar axele optice formează între ele un unghi de aproximativ 90° ;
 - o Pragurile necesare algoritmului de detectare a obiectelor, în spațiul de culoare HSV (Hue, Saturation, Value sau Nuanță, Saturație, Valoare) a imaginii prelevată de camera 2 (fixă) sunt cunoscute (se obțin într-o operație anterioare de prelucrare);
- Datele de ieșire:
 - o Tipul de rulment aflat în postul de așteptare, în momentul rulării aplicației;
 - o Poziția rulmentului față de sistemul de referință atașat postului de așteptare (sistemul de referință al piesei).

Ordinograma aplicației este ilustrată în figura 7.6. Pașii ce sunt necesari a fi parcurși pentru realizarea aplicației sunt următorii:

- Pasul 1. Rulment este plasat într-o poziție nedefinită în buffer;
- Pasul 2. Calculatorul pe care rulează aplicația, comandă robotul SCORA ER 14, pentru ca acesta să se deplaseze dintr-o poziție de așteptare într-o poziție definită de prelevare a imaginii cu ajutorul camerei 1;
- Pasul 3. Camera CCD 1 și camera CCD 2 prelevează imaginile obiectului în această poziție (vederea din față și de sus);
- Pasul 4. Primul algoritm detectează conturul rulmentului în imaginea prelevată de camera CCD 1 (un cerc);

7.2. Aplicație de recunoaștere de obiect aflat într-o poziție necunoscută 99

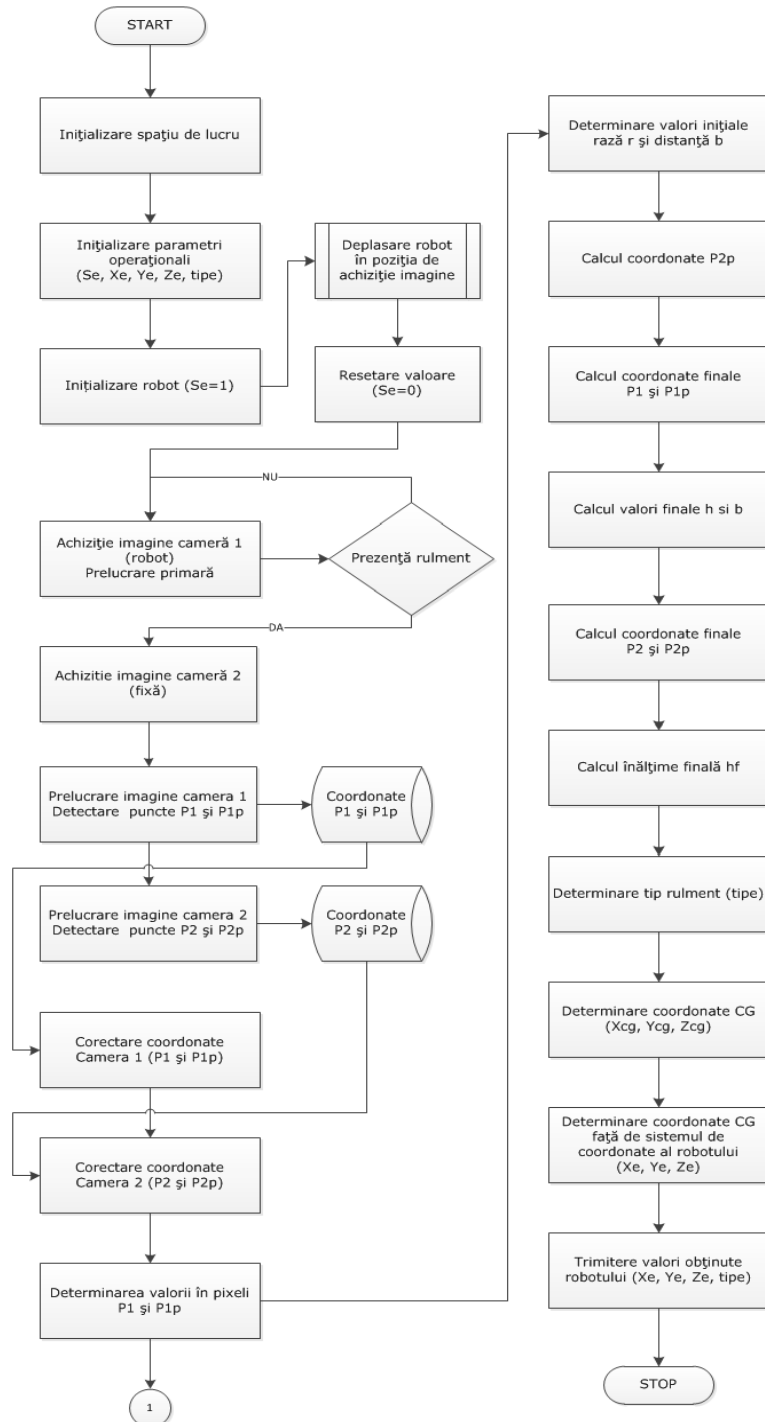


Figura 7. 6: Ordinograma aplicației de determinare a tipului de rulment și a poziției acestuia în buffer pe baza unui model matematic.

- Pasul 5. Pe baza acestui contur se determină coordonatele în pixeli (față de sistemul de coordonate al imaginii) a doua puncte (P1 și P3) ce aparțin rulmentului;
- Pasul 6. Al doilea algoritm detectează, în imaginea prelevată de camera CCD 2, rulmentul (un dreptunghi);
- Pasul 7. Utilizând conturul acestuia se determină coordonatele a altor două puncte ce aparțin rulmentului (P3 și P4), în pixeli;
- Pasul 8. Coordonatele celor patru puncte (figura 7.7) obținute în cele două imagini sunt normalizate pe baza funcției "normalize.m" din toolbox-ul de calibrare.
- Pasul 9. Se determină coordonatele în milimetri ale celor patru puncte față de sistemul de referință atașat senzorilor vizuali și se corectează prin eliminarea distorsiunilor;
- Pasul 10. Un algoritm matematic, ce realizează corelarea dintre sistemele de referință atașate senzorilor vizuali și sistemul de referință atașat spațiului piesei, determină poziția centrului de greutate și tipul de rulment;
- Pasul 11. Informațiile cu privire la tipul rulmentului și coordonatele centrului de greutate, sunt utilizate pentru conducerea robotului;
- Pasul 12. Robotul, pe baza acestor informații, preia rulmentul din buffer și îl stivuește în locașul corespunzător din depozit;
- Pasul 13. Algoritmi de prelucrare de imagini, amintiți la pasul 4 și pasul 6, sunt identici cu cei prezentați la aplicația anterioară (vezi pasul 3 și pasul 8).

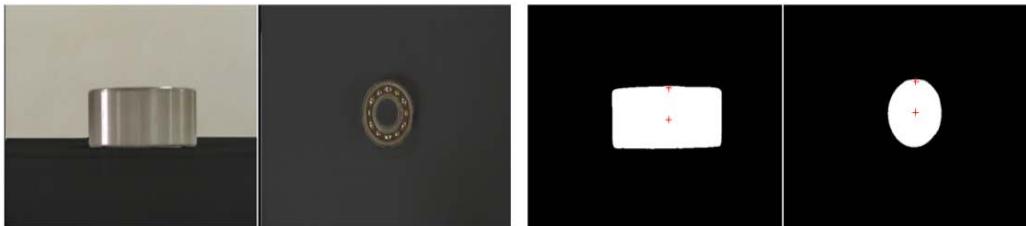


Figura 7. 7: Rezultatele celor doi algoritmi de prelucrare a imaginilor

7.2.2. Modelul matematic de determinare a poziției rulmentului în buffer pe baza a patru puncte.

Modelul matematic utilizat, realizează trecerea din sistemul de coordonate atașat senzorului vizual al camerei video 1, respectiv al camerei video 2 în sistemul de coordonate atașat piesei corespunzător camerei 1 și respectiv camerei 2. Se realizează de asemenea o corelarea a sistemelor de coordonate ale celor două camere video (rezultate în urma calibrării camerelor) cu sistemul de coordonate al piesei. Punctele necesare sunt. (figura 7.8):

- Punctul P1 obținut din imaginea achiziționată de camera 1 reprezintă centrul de greutate al cercului (rulmentul - vederea de sus);
- Punctul P2 obținut din imaginea achiziționată de camera 2 reprezintă centrul de greutate al dreptunghiului (rulmentul - vederea frontală);

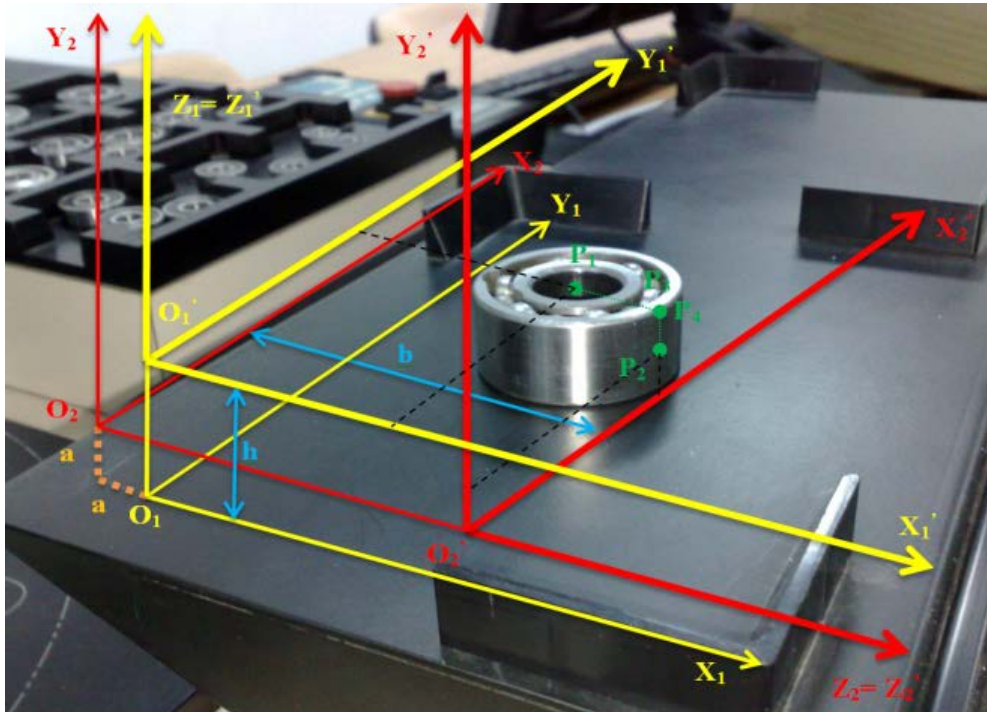


Figura 7. 8: Sistemul de coordonate al buffer-ului: a =distanța între O_1 și O_2 ; b =deplasarea O_2' față de O_2 ; h = înălțimea rulmentului (Pop, 2012b).

Punctele P_3 (notat P_1') și P_4 (notat P_2'), care au fost la rândul lor obținute, tot din imaginile achiziționate de camera 1, respectiv camera 2, reprezintă același punct real. Etapele modelului matematic ce trebuie parcurse sunt următoarele:

Etapa 1. Calcularea coordonatelor inițiale ale punctului P_1 în pixeli.

- Se considera configurația sistemelor de coordonate din figura 7.9 obținute în urma calibrării celor doua camere cu șablonul de calibrare 3D.
- Se consideră coordonatele punctului P_1 față de sistemul de coordonate ca fiind și coordonatele punctului P_2 față de sistemul ca fiind .
- Se determina relațiile de legătură între coordonatele punctului P_1 și P_2 :

$$\begin{cases} {}^1X_{P_1} = b - a - r \\ {}^1Y_{P_1} = {}^2X_{P_2} \\ {}^1Z_{P_1} = h \end{cases} \begin{cases} {}^2X_{P_2} = {}^1Y_{P_1} \\ {}^2Y_{P_2} = a - h / 2 \\ {}^2Z_{P_2} = 0 \end{cases} \quad (7.3)$$

unde a este distanța între O_1 și O_2 , b deplasarea O_2' față de O_2 și h este înălțimea rulmentului.

- Pe baza parametrilor extrinseci obținuți în urma calibrării celor doua camere (matricele de rotație și vectorii de translație) (7.4)

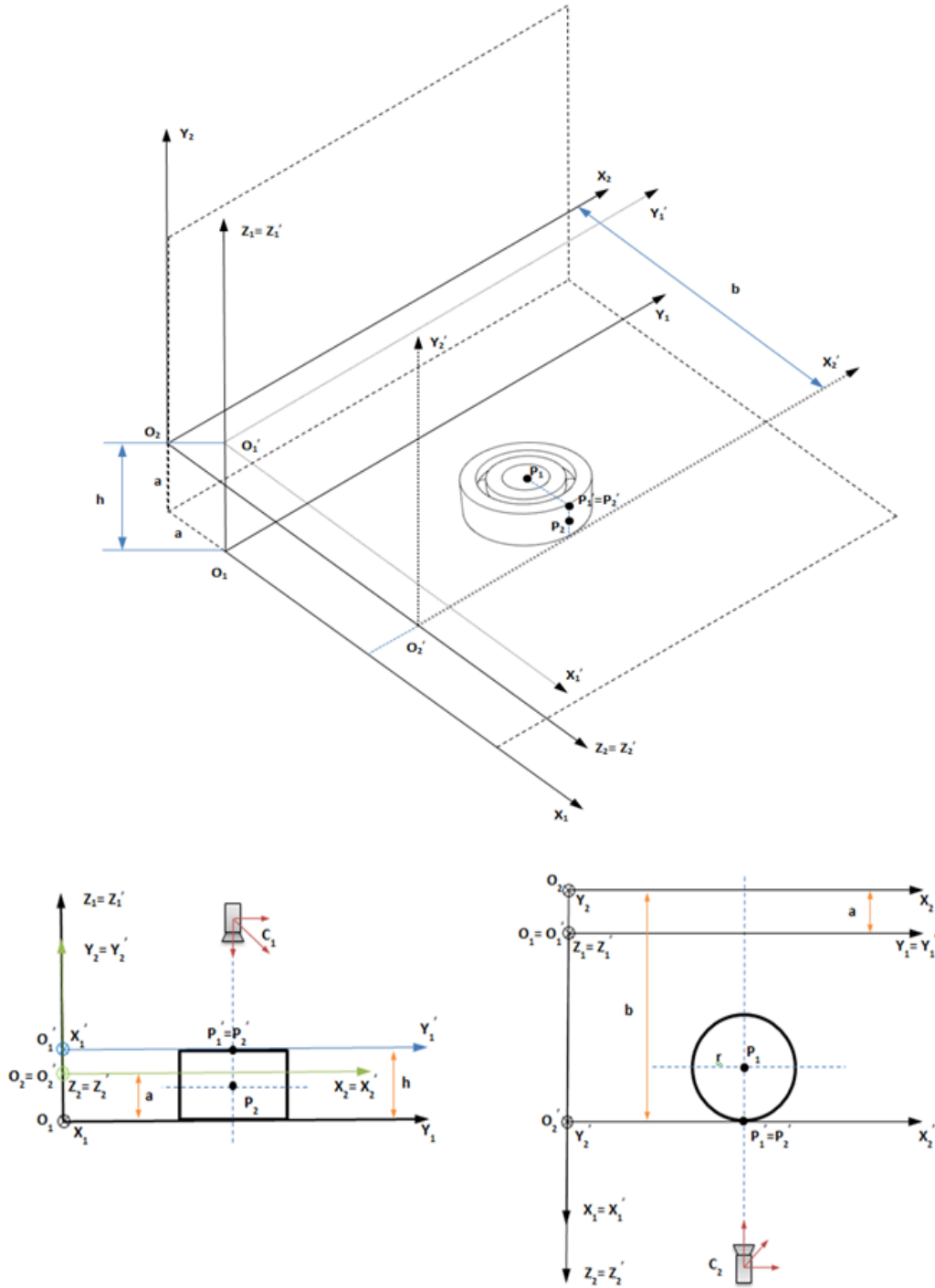


Figura 7. 9: Configurația sistemelor de coordonate ale imaginilor în planul piesei

$$\left\{ \begin{array}{l}
{}^{C^1}Rc_ext = \begin{bmatrix} {}^{C^1}Rc_ext_{11} & {}^{C^1}Rc_ext_{12} & {}^{C^1}Rc_ext_{13} \\ {}^{C^1}Rc_ext_{21} & {}^{C^1}Rc_ext_{22} & {}^{C^1}Rc_ext_{23} \\ {}^{C^1}Rc_ext_{31} & {}^{C^1}Rc_ext_{32} & {}^{C^1}Rc_ext_{33} \end{bmatrix} \\
{}^{C^2}Rc_ext = \begin{bmatrix} {}^{C^2}Rc_ext_{11} & {}^{C^2}Rc_ext_{12} & {}^{C^2}Rc_ext_{13} \\ {}^{C^2}Rc_ext_{21} & {}^{C^2}Rc_ext_{22} & {}^{C^2}Rc_ext_{23} \\ {}^{C^2}Rc_ext_{31} & {}^{C^2}Rc_ext_{32} & {}^{C^2}Rc_ext_{33} \end{bmatrix} \\
{}^{C^1}Tc_ext = \begin{bmatrix} {}^{C^1}Tc_ext_{11} \\ {}^{C^1}Tc_ext_{21} \\ {}^{C^1}Tc_ext_{31} \end{bmatrix} \\
{}^{C^2}Tc_ext = \begin{bmatrix} {}^{C^2}Tc_ext_{11} \\ {}^{C^2}Tc_ext_{21} \\ {}^{C^2}Tc_ext_{31} \end{bmatrix}
\end{array} \right. \quad (7.4)$$

se determină sistemul de ecuații:

$$\begin{aligned}
\alpha * {}^{C^1}Z_{P1} &= {}^{C^1}Rc_ext_{11} * {}^1X_{P1} + {}^{C^1}Rc_ext_{12} * {}^1Y_{P1} + {}^{C^1}Tc_ext_{11} \\
\beta * {}^{C^1}Z_{P1} &= {}^{C^1}Rc_ext_{21} * {}^1X_{P1} + {}^{C^1}Rc_ext_{22} * {}^1Y_{P1} + {}^{C^1}Tc_ext_{21} \\
{}^{C^1}Z_{P1} &= {}^{C^1}Rc_ext_{31} * {}^1X_{P1} + {}^{C^1}Rc_ext_{32} * {}^1Y_{P1} + {}^{C^1}Tc_ext_{31} - h
\end{aligned} \quad (7.5)$$

(unde α și β reprezintă coordonatele x și y normalizate față de camera 1 a punctului P1 în milimetri) și sistemul:

$$\begin{aligned}
\gamma * {}^{C^2}Z_{P2} &= {}^{C^2}Rc_ext_{11} * {}^2X_{P2} + {}^{C^2}Rc_ext_{12} * {}^2Y_{P2} + {}^{C^2}Tc_ext_{11} \\
\delta * {}^{C^2}Z_{P2} &= {}^{C^2}Rc_ext_{21} * {}^2X_{P2} + {}^{C^2}Rc_ext_{22} * {}^2Y_{P2} + {}^{C^2}Tc_ext_{21} \\
{}^{C^2}Z_{P2} &= {}^{C^2}Rc_ext_{31} * {}^2X_{P2} + {}^{C^2}Rc_ext_{32} * {}^2Y_{P2} + {}^{C^2}Tc_ext_{31} - b
\end{aligned} \quad (7.6)$$

unde γ și δ reprezintă coordonatele x și y normalizate față de camera 2 a punctului P2.

- Prin prelucrare matematică rezultă un sistem de 4 ecuații cu 4 necunoscute, a cărei matrice este:

$$S = \begin{bmatrix} S_{11} & S_{12} & S_{13} & S_{14} \\ S_{21} & S_{22} & S_{23} & S_{24} \\ S_{31} & S_{32} & S_{33} & S_{34} \\ S_{41} & S_{42} & S_{43} & S_{44} \end{bmatrix} \quad (6.7)$$

$$\begin{aligned}
S_{11} &= {}^1X_{P1} * {}^{C1}Rc_ext_{32} - {}^{C1}Rc_ext_{12} \\
S_{12} &= {}^1X_{P1} * {}^{C1}Rc_ext_{31} - {}^{C1}Rc_ext_{11} \\
S_{13} &= -{}^1X_{P1} \\
S_{14} &= {}^1X_{P1} * {}^{C1}Rc_ext_{31} - {}^{C1}Rc_ext_{11} \\
S_{21} &= {}^1Y_{P1} * {}^{C1}Rc_ext_{32} - {}^{C1}Rc_ext_{22} \\
S_{22} &= {}^1Y_{P1} * {}^{C1}Rc_ext_{31} - {}^{C1}Rc_ext_{21} \\
S_{23} &= -{}^1Y_{P1} \\
S_{24} &= {}^1Y_{P1} * {}^{C1}Rc_ext_{31} - {}^{C1}Rc_ext_{21} \\
S_{31} &= {}^2X_{P2} * {}^{C2}Rc_ext_{31} - {}^{C2}Rc_ext_{11} \\
S_{32} &= 0 \\
S_{33} &= 0.5 * {}^2X_{P2} * {}^{C2}Rc_ext_{32} - 0.5 * {}^{C2}Rc_ext_{12} \\
S_{34} &= -{}^2X_{P2} \\
S_{41} &= {}^2Y_{P2} * {}^{C2}Rc_ext_{31} - {}^{C2}Rc_ext_{21} \\
S_{42} &= 0 \\
S_{43} &= 0.5 * {}^2Y_{P2} * {}^{C2}Rc_ext_{32} - 0.5 * {}^{C2}Rc_ext_{22} \\
S_{44} &= -{}^2Y_{P2}
\end{aligned} \tag{7.8}$$

unde determinantul sistemului S este:

$$ds = \det(S) \tag{7.9}$$

– Vectorul soluțiilor se exprimă ca:

$$D = \begin{bmatrix} d_{11} \\ d_{21} \\ d_{31} \\ d_{41} \end{bmatrix}$$

$$\begin{aligned}
d_{11} &= {}^{C1}Tc_ext_{11} - {}^1X_{P1} * {}^{C1}Tc_ext_{31} + {}^1X_{P1} * {}^{C1}Rc_ext_{31} * a - {}^{C1}Rc_ext_{11} * a \\
d_{21} &= {}^{C1}Tc_ext_{21} - {}^1Y_{P1} * {}^{C1}Tc_ext_{31} + {}^1Y_{P1} * {}^{C1}Rc_ext_{31} * a - {}^{C1}Rc_ext_{21} * a \\
d_{31} &= {}^{C2}Tc_ext_{11} + a \left({}^2X_{P2} * {}^{C2}Rc_ext_{32} - {}^{C2}Rc_ext_{12} \right) - {}^2X_{P2} * {}^{C2}Tc_ext_{31} \\
d_{41} &= {}^{C2}Tc_ext_{21} + a \left({}^2Y_{P2} * {}^{C2}Rc_ext_{32} - {}^{C2}Rc_ext_{22} \right) - {}^2Y_{P2} * {}^{C2}Tc_ext_{31}
\end{aligned} \tag{7.10}$$

– Se determină prima necunoscută a sistemului (${}^1Y_{P1}$) notată cu y:

$$my = \begin{bmatrix} d_{11} & S_{12} & S_{13} & S_{14} \\ d_{21} & S_{22} & S_{23} & S_{24} \\ d_{31} & S_{32} & S_{33} & S_{34} \\ d_{41} & S_{42} & S_{43} & S_{44} \end{bmatrix}$$

$$dy = \det(my) \quad (7.11)$$

$$y = \frac{dy}{ds}$$

- Se determină raza inițială a rulmentului r:

$$mr = \begin{bmatrix} S_{11} & d_{12} & S_{13} & S_{14} \\ S_{21} & d_{22} & S_{23} & S_{24} \\ S_{31} & d_{32} & S_{33} & S_{34} \\ S_{41} & d_{42} & S_{43} & S_{44} \end{bmatrix}$$

$$dr = \det(mr) \quad (7.12)$$

$$r = \frac{dr}{ds}$$

- Se determină înălțimea inițială a rulmentului:

$$mh = \begin{bmatrix} S_{11} & S_{12} & d_{13} & S_{14} \\ S_{21} & S_{22} & d_{23} & S_{24} \\ S_{31} & S_{32} & d_{33} & S_{34} \\ S_{41} & S_{42} & d_{43} & S_{44} \end{bmatrix}$$

$$dh = \det(mh) \quad (7.13)$$

$$h = \frac{dh}{ds}$$

- Se determină distanța b (distanța dintre O_2 și O_2')

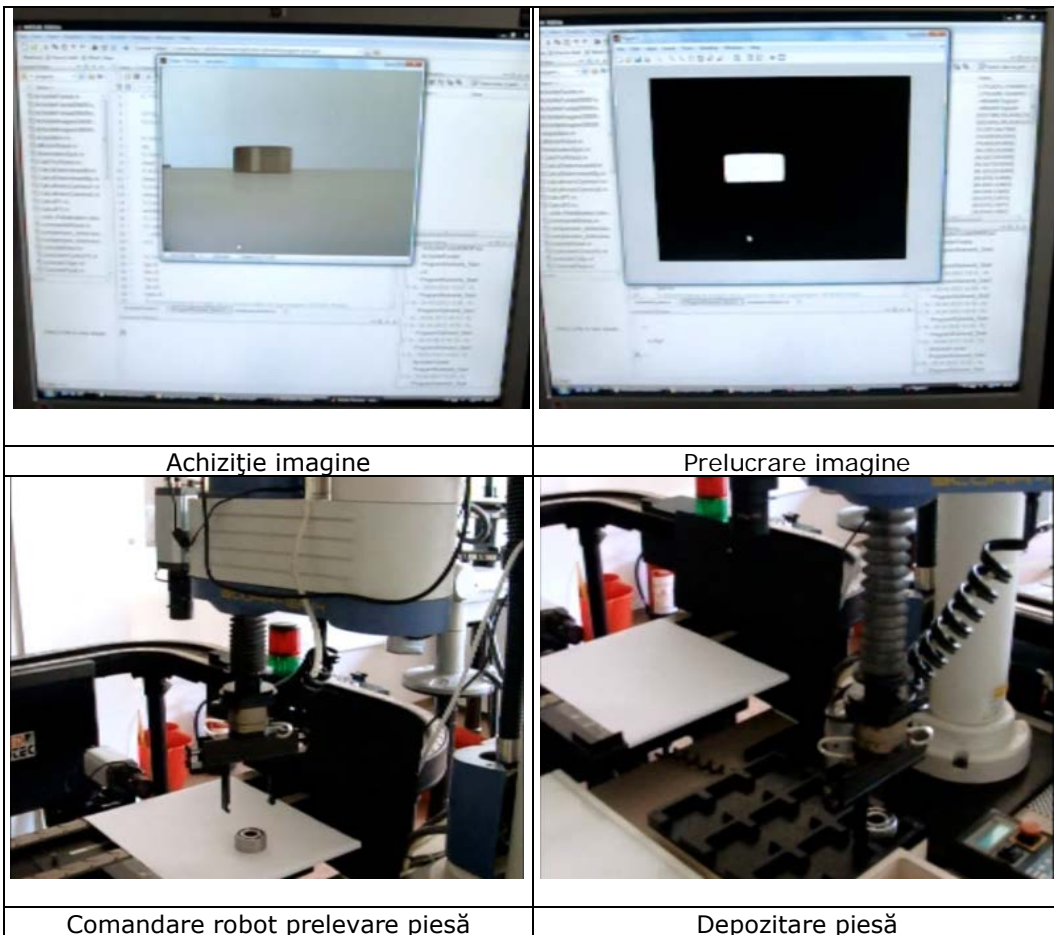
$$mb = \begin{bmatrix} S_{11} & S_{12} & S_{13} & d_{14} \\ S_{21} & S_{22} & S_{23} & d_{24} \\ S_{31} & S_{32} & S_{33} & d_{34} \\ S_{41} & S_{42} & S_{43} & d_{44} \end{bmatrix}$$

$$db = \det(mb) \quad (7.14)$$

$$b = \frac{db}{ds}$$

- Odată determinate cele patru necunoscute, se calculează cu relația (7.3) coordonatele punctului P1.

- Etapa 2. În mod similar se calculează coordonatele inițiale ale punctului P3 în pixeli.
- Etapa 3. Calcularea valorii razei r și dimensiunii b , pe baza punctelor P1 și P3;
- Etapa 4. Determinarea coordonatelor punctului P4 (X_{P4} , Y_{P4}) și a distanței h rescriind corespunzător ecuația (7.6);
- Etapa 5. Următoarea parte a algoritmului, conține o buclă iterativă, care permite determinarea cu o precizie mai mare a coordonatelor calculate. Începând cu valoarea inițială b , se determină noile coordonate ale punctelor P1 și P3 și valorile lui b și h .
- Etapa 6. Obținerea coordonatelor finale ale punctelor P1, P2, P3, P4 și valorile lui b , h și r .
- Etapa 7. Determinarea coordonatelor centrului de greutate al rulmentului pe baza rezultatelor obținute
- Rezultatele obținute în urma rulării aplicației de vedere computerizată sunt prezentate în tabelul 7.5.



Tabelul 7. 5: Rezultatele aplicației de detectare, recunoaștere, manipulare și depozitarea unui rulment aflat în poziție necunoscută.

7.3. Aplicație de detectare, recunoaștere, identificare, sortare și manipulare a unor obiecte suprapuse

Scopul aplicației: Detectarea și recunoașterea automată a mai multor obiecte ce se regăsesc într-o poziție necunoscută, în postul de așteptare (buffer-ul stației), pe bază unui algoritm de prelucrări de imagini, pentru sortarea și stivuirea acestora, în locașurile corespunzătoare, dintr-un depozit de piese.

Aplicația trei, se diferențiază de celelalte două, prin faptul că, în postul de așteptare al stației de lucru, se afla în același timp, mai mulți rulmenți a căror poziție și orientare este necunoscută. În mod asemănător, ca la aplicația anterioară (aplicația doi), identificarea rulmentului se realizează pe baza caracteristicilor geometrice calculate, nu cu ajutorul șabloanelor învățate într-o etapă anterioară (cum se realizează la prima aplicație).

Deosebirea față de aplicația doi, care conferă acestei variante un grad de complexitate mai ridicat, constă în faptul că coordonatele punctelor P2 și P4, puncte necesare soluționării modelului matematic (vezi secțiunea 7.2.2), ce permite determinarea tipului și situării rulmentului, nu pot fi extrase din imagine în același mod. În acest caz, sunt necesare operații de prelucrare a imaginii suplimentare, deoarece în imaginea 2 (prelevată de camera video fixă) apar mai mulți rulmenți ce se suprapun.

O altă diferență, față de cele două aplicații anterioare, este dată de faptul că în acest caz nu se mai utilizează algoritmul de segmentare a imaginii în spațiul HSV. Detectarea pieselor se realizează prin extragerea fundalului din imaginile achiziționate pe parcursul rulării aplicației.

Matricea de transformare și parametri intrinseci și extrinseci ai camerelor video obținuți în urma operației de calibrare a robotului și a camerelor, realizată pentru aplicația doi, se reutilizează și pentru această aplicație. Acest lucru este posibil, întrucât rulmenții se situează tot în postul de așteptare al stației de lucru, iar poziția și orientarea camerelor video în raport cu sistemul de referință atașat spațiului piesei nu s-a modificat.

Standul experimental și echipamentele utilizate sunt cele ce au fost utilizate și în cadrul aplicației doi.

Pentru realizarea acestei aplicații de vedere robotizată s-a ținut cont de următoarele premise:

- Datele de intrare:
 - o În postul de așteptare a stației de lucru se găsește în momentul rulării aplicației mai mulți rulmenți
 - o Situația rulmenților pe buffer este necunoscută;
 - o Sensorii camerelor video sunt paraleli cu planul $O_p X_p Y_p$ și $O_p Y_p Z_p$ (proiecție normală) iar axele optice formează între ele un unghi de aproximativ 90° ;
 - o Imaginile cu postul de așteptare gol, respectiv imaginile cu fundalul spațiului de lucru, sunt achiziționate înaintea rulării aplicației, când în buffer nu se află piese.
- Datele de ieșire:
 - o Tipul rulmenților ce se găsesc în postul de așteptare, în momentul rulării aplicației;
 - o Poziția rulmenților față de sistemul de referință atașat postului de așteptare (sistemul de referință al piesei).

Ordinograma aplicației este ilustrată în figura 7.10 și 7.11 (continuare).

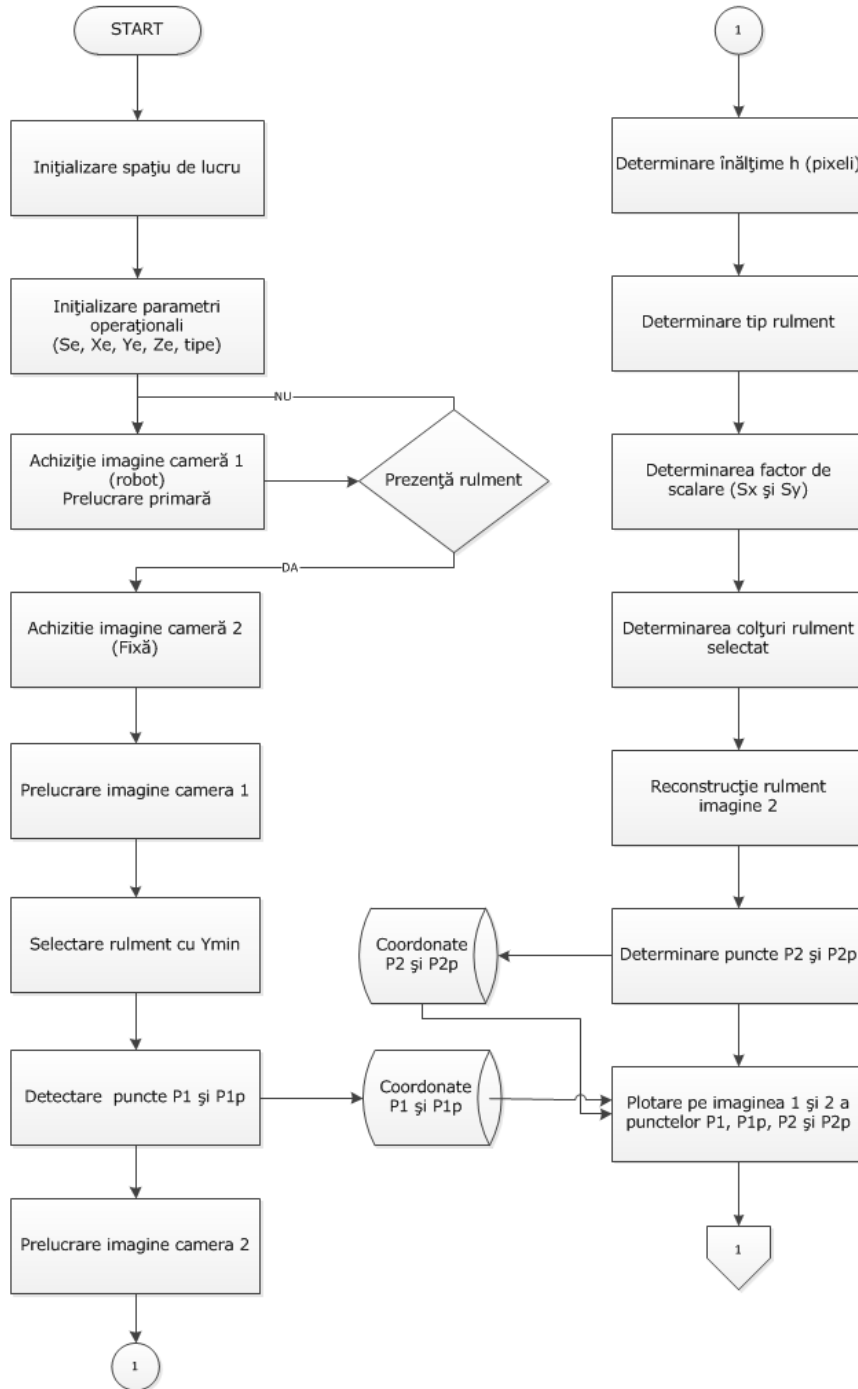


Figura 7. 10: Ordinograma aplicației de detectare, recunoaștere, sortare manipulare și depozitare a unor rulmenți suprapuși situați în buffer-ul stației de lucru (partea 1).

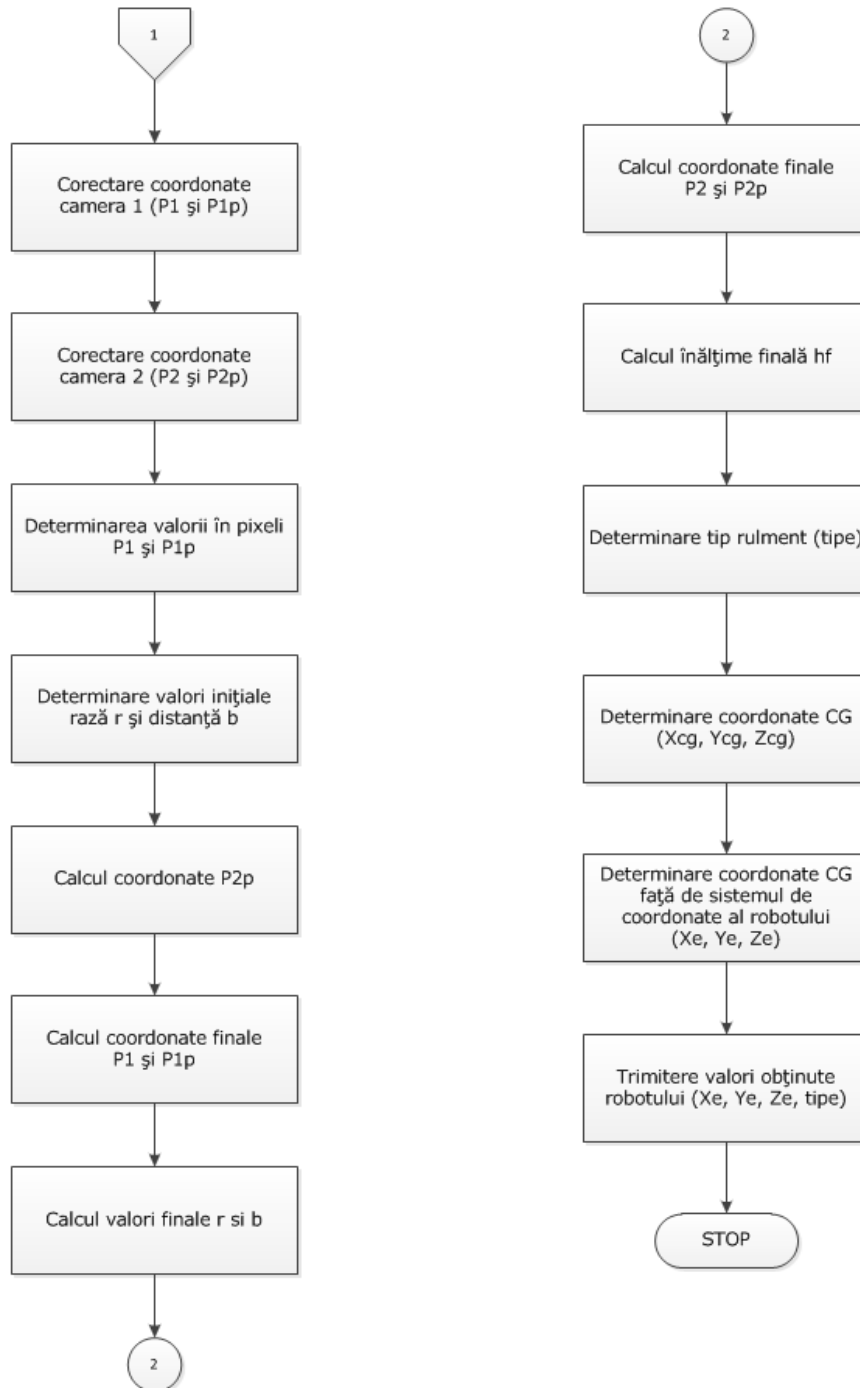


Figura 7. 11: Ordinograma aplicației de detectare, recunoaștere, sortare manipulare și depozitare a unor rulmenți suprapuși situați în buffer-ul stației de lucru (partea 2).

Pașii, ce sunt necesari a fi parcurși, pentru realizarea aplicației sunt următorii:

- Pasul 1. Calculatorul pe care rulează aplicația, comandă robotului SCORA ER 14, să se deplaseze dintr-o poziție de așteptare într-o poziție definită de achiziție a imaginii cu ajutorul camerei 1;
- Pasul 2. Camera CCD 1 și camera CCD 2 achiziționează imagini cu postul de așteptare gol (imagini cu fundalul spațiului de lucru). Comanda de execuție a achiziției acestor imagini, se face l-a începutul rulării algoritmului, de fiecare dată când buffer-ul este gol, pentru a evita erorile de prelucrare care pot apărea din cauza unor factori externi;
- Pasul 3. Aplicația este prevăzută cu un timp de așteptare, timp în care rulmenții sunt plasați în poziții aleatoare, nedefinite, în buffer-ul stației de lucru;
- Pasul 4. După scurgerea timpului de așteptare, camera video 1 și 2 prelevează imagini cu rulmenții aflați în buffer;
- Pasul 5. Dacă în buffer sunt prezenți rulmenți, algoritmul execută pasul următor. În caz contrar execută pasul 4.
- Pasul 6. Primul algoritm de prelucrare de imagini, execută operația de extragere a fundalului 1 din imaginea 1 și detectează rulmenții prezenți;



Figura 7. 12: Detectarea rulmenților în imaginea 1

- Pasul 7. Un al doilea algoritm de prelucrare de imagini rectifică conturul rulmenților detectați. Se determină raza medie (în pixeli) a fiecărui rulment și centrul de masă. Pe baza acestor informații conturul rulmenților este reconstruit. Astfel se reduc erorile de determinare a poziției;
- Pasul 8. Se determină rulmentul care se află la distanța minimă de cameră și este vizualizat integral. Rulmentul în cauză este cel al cărui y în pixeli (față de sistemul de coordonate al imaginii 1) este minim. Se determină de asemenea și un parametru de poziție în imagine (este mai aproape de marginea din stânga sau de marginea din dreapta).
- Pasul 9. Se determină coordonatele inițiale (în pixeli) ale punctului P1 și P3;



Figura 7. 13: Extragerea rulmentului cu y minim și determinarea punctelor P1 și P3

- Pasul 10. Un al treilea algoritm de prelucrare de imagini, execută operația de extragere a fundalului 2 din imaginea 2 și detectează rulmenții prezenți;
- Pasul 11. Alt algoritm, determina pe baza unei corespondențe de pixeli între cele două imagini, înălțimea rulmentului (în pixeli) considerat a fi cel mai aproape de camera 2.

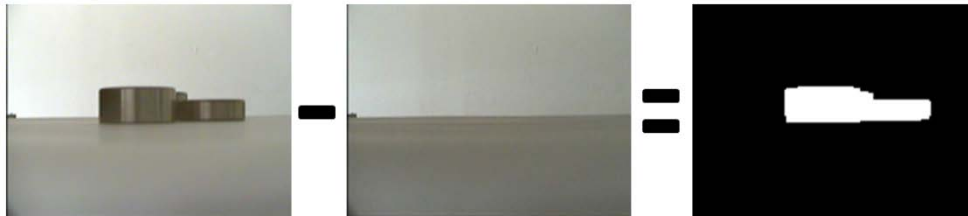


Figura 7. 14: Detectarea rulmenților în imaginea 2.

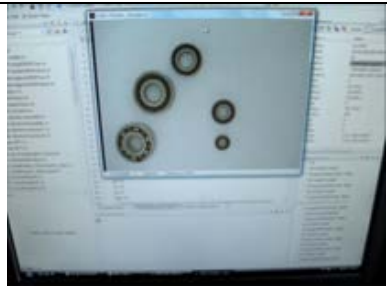
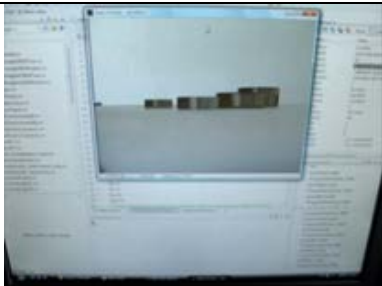
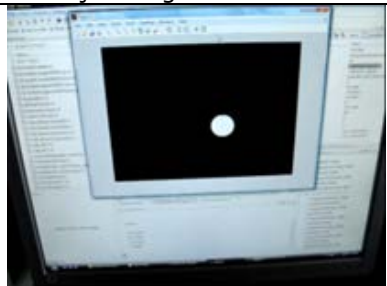
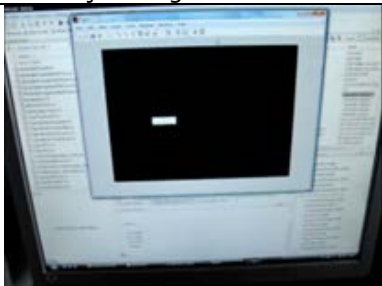
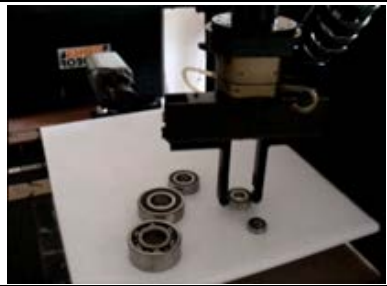
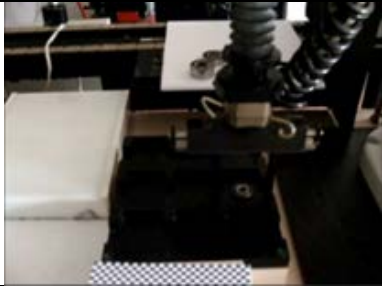
- Pasul 12. Pe baza razei și a înălțimii, în pixeli, se determină tipul de rulment;
- Pasul 13. Se calculează factorul de scalare (S_x și S_y) în imaginea 2;
- Pasul 14. Se caută în imaginea 2 (în funcție de parametrul de poziție de la pasul 8), una din muchiile rulmentului vizat. Se extrag extremele muchiei (coordonatele acestora), ce reprezintă două colțuri ale rulmentului, și se calculează pe baza factorilor de scalare celelalte două.
- Pasul 15. Un algoritm de reconstrucție generează conturul rulmentului;
- Pasul 16. Se extrag coordonatele punctelor P2 și P4.



Figura 7. 15: Extragerea rulmentului și determinarea punctelor P2 și P4

- Pasul 17. Se plotează, pe imaginile rezultate (cu rulmentul extras), cele patru puncte;
- Pasul 18. Coordonatele celor patru puncte obținute în cele două imagini sunt normalizate pe baza funcției "normalize.m" din toolbox-ul de calibrare. Se corectează coordonatele în milimetri a celor patru puncte față de sistemul de referință atașat senzorilor vizuali prin eliminarea distorsiunilor.
- Pasul 19. Se determină poziția rulmentului extras, față de sistemul de referință atașat spațiului piesei, pe baza modelului matematic prezentat în secțiunea 7.2.2.
- Pasul 20. Informațiile cu privire la tipul rulmentului și poziția rulmentului, sunt utilizate pentru comanda robotului;
- Pasul 21. Pe baza informațiilor primite, robotul execută operațiile de preluare a rulmentului din buffer și de stivuire a acestuia în locașul corespunzător din depozit;

Acest proces se repetă, până în momentul în care, în postul de așteptare a stației de lucru nu se mai găsește nici un rulment.

	
Achiziție imagine cameră robot	Achiziție imagine cameră fixă
	
Prelucrare imagine cameră robot	Prelucrare imagine cameră fixă
	
Comandare robot prelevare piesă	Comandare robot depozitare piesă

Tabelul 7. 6: Rezultatele aplicației de detectare, recunoaștere, manipulare și depozitare a mai multor rulmenți aflați în poziții necunoscute.

7.4. Concluzii

În urma rulării celor trei aplicații s-a observat că prima abordare este mai precisă în localizarea piesei aflate în spațiul de lucru, dar celelalte două abordări sunt mult mai aproape de condițiile reale ale unui mediu de lucru nedefinit, deoarece rulmentul sau rulmenții se aflau în poziții necunoscute. Cea de-a treia aplicație prezintă un grad de complexitate mai ridicat față de primele două, datorită faptului că în zona de lucru se regăsesc mai multe piese, ceea ce conduce la necesitatea existenței unui sistem de vedere robotizat mai „inteligent”, capabil să ia anumite decizii pe baza unor informații obținute din imagini.

Utilizarea unor informații redundante, obținute de la ambele camere, conduce la o mai bună fiabilitate a sistemului. În ciuda faptului că forma geometrică a piesei este una simplă, metodele dezvoltate în a doua și a treia aplicație ar putea fi extinse la obiecte mai complexe, bazat pe informații CAD 3D.

8. APLICAȚIE DE RECUNOAȘTERE ȘI PREHENSARE A OBIECTELOR

8.1. Introducere

În cadrul acestui capitol, este prezentată o aplicație de vedere robotizată, ce se bazează pe un algoritm, dezvoltat în mediul de lucru Matlab, ce permite determinarea punctelor de prehensare a unor obiecte necunoscute, de natură 2D (obiecte 3D, de tip placă, la care ce-a de-a treia dimensiune, este constantă, în comparație cu celelalte două)

Scopul aplicației: Detectarea unor piese de tip placă, ce sosesc pe căruciorul unui conveior de transfer, la stația de lucru robotizată, în vederea determinării punctelor de prehensare, optime, necesare pentru realizarea unei manipulări stabile, de către robot, a acestora.

Aplicația presupune și recunoașterea pieselor, pe baza unor descriptori globali, pentru realizarea operației de inserare, în locașurile corespunzătoare, ale unei contrapiese.

Echipamentele utilizate pentru realizarea acestei aplicații sunt:

- Un sistem robotizat de manipulare și asamblare ce are în componență următoarele:
 - o Robot de tip scara (SCORA ER 14);
 - o Controler central și controler robot (tip B);
 - o Calculator central și calculator de stație;
 - o Cutie de conexiuni;
 - o Teach pendant.
- Conveior de transfer ce presupune:
 - o Patru cărucioare;
 - o Trei posturi de așteptare;
 - o Un PLC.
- Sistem de vedere artificial compus din:
 - o O cameră web, montată într-o poziție fixă, deasupra conveiorului de transfer, la o stație de lucru.
 - o Un calculator (pentru dezvoltarea și rularea algoritmului de vedere computerizată);
 - o O sursă de lumină (o masă de iluminat);
 - o Programul de bază Matlab (mediul de lucru în care s-a dezvoltat aplicația).
- Un șablon de calibrare 2D de tip „tablă de șah”;
- Patru piese cu forme diferite;
- O contrapiesa, respectiv o placă prevăzută cu patru locașuri pentru cele patru piese.

Placa, și cele patru piese, utilizate în cadrul acestei aplicații sunt prezentate în figura 8.1 și în figura 8.2 . Atât piesele cât și contrapiesa sunt realizate din plexiglas. Prelucrarea lor s-a făcut prin tăiere cu jet de apă, jet a cărui grosime a fost setată la 0.5 mm.

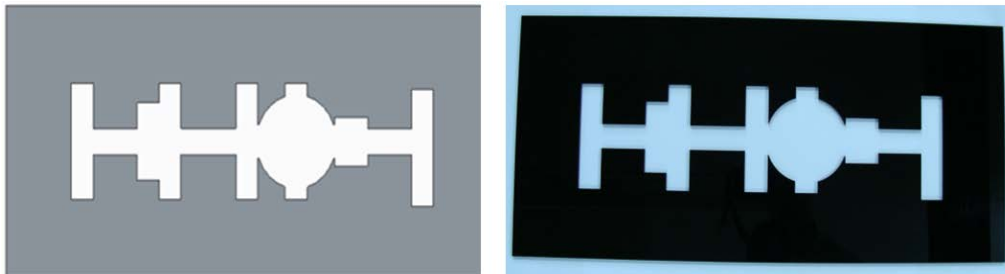


Figura 8. 1: Contrapiesă (varianta CAD și reală).

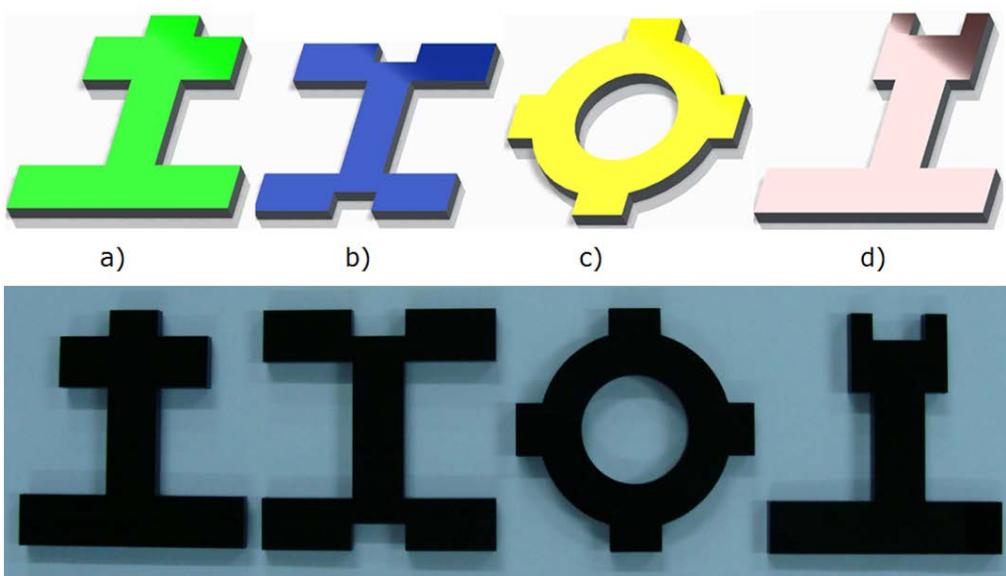


Figura 8. 2: Piesele 2D (reale și în CAD).

Algoritmul ce realizează determinarea punctelor de prehensare optimă, a unor piese necunoscute, presupune implementarea unei metode bazată pe proprietățile de simetrie ale acestora.

8.2. Metodă de prehensare bazată pe simetrie

Simetria s-a dovedit că este importantă pentru a caracteriza formele plane în vederea prehensiunii (Solomon, 2011, Pratt, 2001, Symon, 1971, Sanz, 2005, Blake, 1995). În mod obișnuit prinderea se efectuează aplicând o forță de-a lungul axei principale de simetrie sau perpendicular pe ea.

Axele de simetrie pot fi determinate știind că (Symon, 1971):

- orice plan de simetrie al unui corp este perpendicular pe o axă principală de inerție.
- orice axă de simetrie a unui corp este o axă principală de simetrie.

Sanz (Sanz, 2005) utilizează momentele statice pentru a determina candidate pentru punctele de prindere, apoi utilizează o combinație simetrie-curbură pentru a selecta punctele ce satisfac toate condițiile.

Lee *et al.* (Lee, 2006) propune o abordare mai complexă a detectării simetriei, ce utilizează gradientii unei imagini și potrivirea pixelilor muchiilor pentru a afla linii de simetrie, bazat pe transformata Hough.

O metodă hibridă de detectare a axelor de simetrie în imagini binare a fost propusă de Costantini și Casali (Costantini, 2007), bazată atât pe prelucrarea numerică convențională, cât și pe procesarea analogică neliniară cu rețele neuronale.

O abordare în domeniul frecvenței pentru detectarea simetriei este prezentată de Tzimiropoulos *et al.* (Tzimiropoulos, 2008). Reprezentarea polară este utilizată pentru a determina ordinul simetriei.

Deoarece căutarea axelor de simetrie poate produce rezultate multiple, este necesară introducerea unei măsuri a simetriei.

O'Mara și Owens găsesc axele de simetrie pe baza faptului că dacă un obiect binar are simetrie bilaterală, atunci fiecare hiperplan de simetrie bilaterală trebuie să treacă prin centrul de masă al obiectului și să conțină o axă principală de inerție.

Un algoritm simplu de determinare a tuturor axelor de simetrie al obiectelor din imagini monocrome este prezentat de Marola (Marola, 1989). Este utilizată o măsură specială a simetriei. O metrică alternativă a fost definită de Koulkarni *e al.* (Koulkarni, 1995).

Pentru o imagine bidimensională, conținând un singur obiect, dacă $\mathbf{P} = (x, y)$ este un punct din imagine, cu intensitatea $B(x, y)$, momentul de ordinul $(p+q)$ al imaginii poate fi calculat cu relația (Solomon, 2011, Pratt, 2001, Symon, 1971, Sonka, 2008):

$$m_{pq} = \sum_{x=1}^J \sum_{y=1}^K x^p y^q B(x, y) \quad (8.1)$$

în care (J, K) este dimensiunea imaginii. Dacă imaginea este binară (alb/negru), atunci momentele codează direct informația despre formă (Solomon, 2011).

Momentul central de ordinul $(p+q)$ al unei forme bidimensionale poate fi definit ca (Solomon, 2011, Sonka, 2008):

$$\mu_{pq} = \sum_{x=1}^J \sum_{y=1}^K (x - \bar{x})^p (y - \bar{y})^q B(x, y) \quad (8.2)$$

în care \bar{x} și \bar{y} sunt coordonatele centrului de masă al formei:

$$\begin{aligned} \bar{x} &= \frac{m_{10}}{m_{00}} \\ \bar{y} &= \frac{m_{01}}{m_{00}} \end{aligned} \quad (8.3)$$

Pentru o imagine binară conținând un obiect cu n puncte (x_i, y_i) , centrul de masă este definit de valorile medii:

$$\begin{aligned}\bar{x} &= \frac{1}{n} \sum_{i=1}^n x_i \\ \bar{y} &= \frac{1}{n} \sum_{i=1}^n y_i\end{aligned}\tag{8.4}$$

Introducând varianțele:

$$\begin{aligned}\sigma_x^2 &= \frac{1}{n} \sum_{i=1}^n (x_i - \bar{x})^2 \\ \sigma_y^2 &= \frac{1}{n} \sum_{i=1}^n (y_i - \bar{y})^2,\end{aligned}\tag{8.5}$$

și covarianțele:

$$p_{xy} = \frac{1}{n} \sum_{i=1}^n (x_i - \bar{x})(y_i - \bar{y})\tag{8.6}$$

matricea covarianței are forma:

$$C = \begin{bmatrix} c_{11} & c_{12} \\ c_{21} & c_{22} \end{bmatrix} = \begin{bmatrix} \sigma_x^2 & p_{xy} \\ p_{xy} & \sigma_y^2 \end{bmatrix} = \frac{1}{n} \begin{bmatrix} \mu_{20} & \mu_{11} \\ \mu_{11} & \mu_{02} \end{bmatrix}\tag{8.7}$$

Momentele de inerție sunt legate de varianțe și covarianțe (Pratt, 2001, Papoulis, 1991, McCartin, 2008):

$$I_{xx} = n\sigma_y^2, I_{yy} = n\sigma_x^2, I_{xy} = -np_{xy}\tag{8.8}$$

astfel că matricea inerției poate fi calculată din matricea covarianței:

$$I = \begin{bmatrix} I_{xx} & I_{xy} \\ I_{xy} & I_{yy} \end{bmatrix} = n[\text{tr}(C) \cdot E - C] = \begin{bmatrix} \mu_{02} & -\mu_{11} \\ -\mu_{11} & \mu_{20} \end{bmatrix}\tag{8.9}$$

în care $\text{tr}()$ este funcția urma matricei, iar E este matricea unitate 2×2 . Vectorii proprii ai matricelor de inerție și covarianței sunt paraleli (McCartin, 2008) și sunt axele principale de inerție ale formei (Symon, 1971, Goldstein, 2002).

Cunoscând că:

- orice axă de simetrie a unui corp este o axă principală;
- vectorii proprii ai matricei de inerție sunt axele principale de inerție ale obiectului;
- vectorii proprii ai matricei de inerție sunt paraleli cu cei ai matricei covarianței.

Candidatele pentru axele de simetrie pot fi calculate ca vectori proprii ai matricei covarianței.

Efectuând descompunerea valorilor singulare pentru matricea covarianței conduce la matricea diagonală (Symon, 1971):

$$V^T \cdot C \cdot V = \Lambda \quad (8.10)$$

în care coloanele matricei

$$V = \begin{bmatrix} v_{11} & v_{12} \\ v_{21} & v_{22} \end{bmatrix} \quad (8.11)$$

sunt vectorii proprii ai matricei covarianței C și

$$\Lambda = \begin{bmatrix} \lambda_1 & 0 \\ 0 & \lambda_2 \end{bmatrix} \quad (8.12)$$

conține valorile proprii ale matricei C . Pentru o imagine bidimensională, valorile pot fi determinate explicit din ecuația valorilor proprii (8.10):

$$\lambda_1 = \frac{1}{2} \left(c_{11} + c_{22} - \sqrt{(c_{11} - c_{22})^2 + 4c_{12}c_{21}} \right) \quad (8.13)$$

$$\lambda_2 = \frac{1}{2} \left(c_{11} + c_{22} + \sqrt{(c_{11} - c_{22})^2 + 4c_{12}c_{21}} \right) \quad (8.14)$$

$$\frac{v_{11}}{v_{21}} = \frac{\lambda_1 - c_{22}}{c_{21}} \quad (8.15)$$

$$\frac{v_{12}}{v_{22}} = \frac{\lambda_2 - c_{22}}{c_{21}}$$

Din aceste relații se poate determina direcția axei principale de inerție (corespunzătoare inerției minime):

$$\theta = \arctan \left(\frac{\lambda_1 - c_{22}}{c_{12}} \right) \quad (8.16)$$

Notând cu $v_1 = v_{11}/v_{21}$ și $v_2 = v_{12}/v_{22}$ pantele axelor principale și știind că ele sunt ortogonale, adică $v_1 \cdot v_2 = -1$, iar din (15):

$$v_1 + v_2 = \frac{v_1^2 - 1}{v_1} = \frac{c_{11} - c_{22}}{c_{21}} \quad (8.17)$$

se poate obține o altă expresie pentru unghiul θ :

$$\theta = -\frac{1}{2} \arctan\left(\frac{2c_{21}}{c_{11} - c_{22}}\right) = -\frac{1}{2} \arctan\left(\frac{2\mu_{11}}{\mu_{20} - \mu_{02}}\right) \quad (8.18)$$

Dacă $\mu_{20} = \mu_{02}$ ($\lambda_1 = c_{22}$), sau $\mu_{11} = 0$ ($c_{12} = 0$), unghiul poate fi calculat utilizând momentele de ordin superior (Martin, 1996) sau:

$$\sin 2\theta = \frac{-\mu_{11}}{\sqrt{\mu_{11}^2 + (\mu_{20} - \mu_{02})}} \quad (8.19)$$

$$\cos 2\theta = \frac{\mu_{20} - \mu_{02}}{\sqrt{\mu_{11}^2 + (\mu_{20} - \mu_{02})}} \quad (8.20)$$

Alegerea punctelor de prindere este, în general, un proces decizional complex, necesitând compromisuri între mai multe criterii de evaluare a calității prinderii, bazat pe cunoștințe despre sarcina de rezolvat prin prindere și starea curentă a mediului (Montana, 1992).

Punctele de prindere sunt, uzual, punctele de intersecție ale conturului formeii cu una din axele de simetrie sau cu o axă perpendiculară pe una din axele de simetrie și trecând prin centrul de masă.

Selectarea perechii optime de puncte de prindere este bazată pe calcularea unei măsuri a simetriei formeii după ce aceasta a fost rotită astfel încât axa de simetrie să devină orizontală (paralelă cu axa Ox), similar cu cele propuse în (Goldstein, 2002, Martin, 1996).

Axa reală de simetrie este considerată a fi dreapta care maximizează măsura simetriei. Punctele de intersecție ale acestei axe cu linia de contur a formeii pot fi utilizate ca puncte de prindere.

O soluție mai practică este selectarea drept puncte de prindere a intersecțiilor conturului cu axa de inerție maximă (Sanz, 2005, Ramnath, 2004). Pentru cele mai multe forme întâlnite în practică, această axă este perpendiculară pe axa principală de inerție (de obicei axa de inerție minimă) și trece prin centrul de masă.

Dacă calitatea prinderii este măsurată prin abilitatea de a echilibra forțele din planul de prindere, atunci punctele de prindere sunt selectate astfel încât lungimea coardei definită de ele să fie maximizată (Mirtich, 1994). Acest lucru plasează punctele de prindere pe o formă simetrică la intersecția conturului cu axa principală de simetrie și face să fie îndeplinite condițiile de închidere pentru formă și pentru forțe la prinderea cu două degete (Blake, 1995, Chen, 1993, Nguyen, 1988).

Metoda propusă a fost implementată în Matlab de (Savii, Davidescu, 2012), sub forma unui executabil, autorul tezei utilizând-o ca atare (fără a-i aduce modificări) în aplicația de vedere robotizată. Acest executabil este apelat în momentul rulării aplicației, iar rezultatele obținute sunt prezentate în continuare.

Cele patru piese, din figura 8.2, proiectate pentru a ilustra robustețea algoritmului menționat anterior se caracterizează prin:

- Piesa 1 (figura figura 8.2 a) prezintă o singură axă de simetrie;
- Piesa 2 (figura figura 8.2 b) prezintă două axe de simetrie;
- Piesa 3 (figura figura 8.2 c) prezintă patru axe de simetrie;
- Piesa 4 (figura figura 8.2 d) este asimetrică.

Standul experimental utilizat este prezentat în figura 8.3.

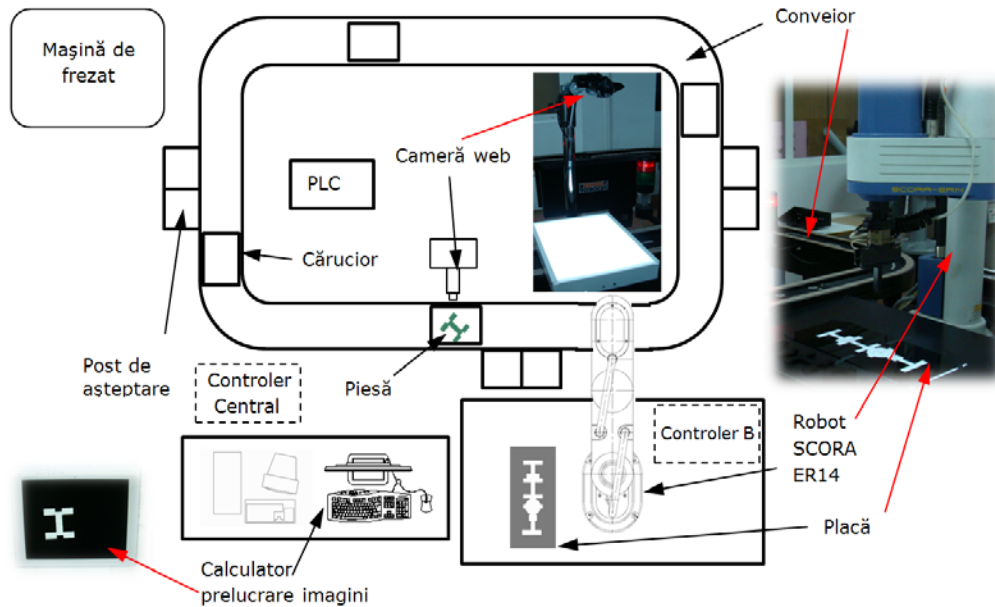


Figura 8. 3: Standul experimental.

8.3. Algoritm de vedere robotizată

Etapele premergătoare realizării acestei aplicații sunt calibrarea robotului SCORA (vezi subcapitolul 6.1.1) și calibrarea camerei web Philips SPZ 3000 (vezi subcapitolul 6.1.2). Rezultatele obținute în urma calibrării camerei sunt prezentate în tabelul 8.1 și figura 8.4.

Parametri intrinseci	Valori
Distanța focală [pixel]:	$fc = [1741.82778 \quad 1742.47018]$
Punctul principal [pixel]:	$cc = [663.52299 \quad 455.21604]$
Unghiul oblic [grade]:	$\alpha_c = [0.00087]$
Distorsiunile:	$kc = [-0.17140 \quad 1.65057 \quad 0.00325 \quad 0.00117 \quad -5.51531]$
Erori de pixeli [pixel]:	$err = [0.29422 \quad 0.27879]$
Parametri extrinseci	Valori
Vectorul de translație [mm]:	$Tc_ext = [-143.06988 \quad -65.30095 \quad 493.360269]$
Vectorul de rotație [rad]:	$omc_ext = [-2.201401 \quad -2.239195 \quad -0.027376]$
Matricea de rotație [rad]:	$Rc_ext = [-0.017095 \quad 0.999791 \quad 0.011236 \quad 0.999767 \quad 0.016944 \quad 0.013403 \quad 0.013210 \quad 0.011463 \quad -0.999847]$
Erori de pixeli [pixel]:	$err = [0.26383 \quad 0.21595]$

Tabelul 8. 1: Parametri camerei web Philips SPZ 3000.

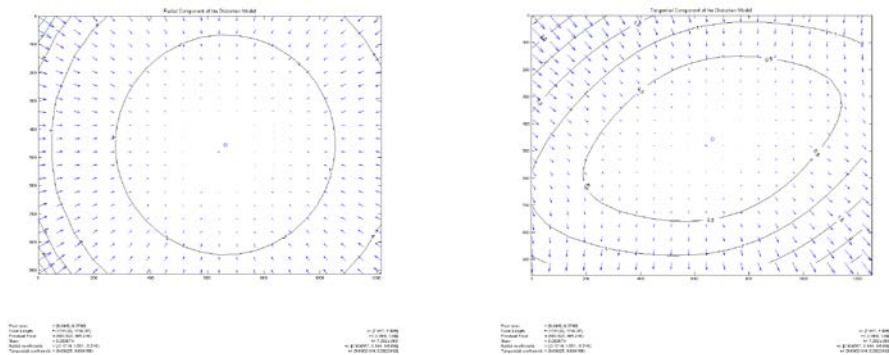


Figura 8. 4: Distorsiunile radiale și tangențiale ale lentilei camerei web.

Pentru realizarea acestei aplicații, s-a ținut cont de următoarele premise:

- Datele de intrare:
 - o Se utilizează un singur cărucior al conveior-ului de transfer, ce este prevăzut cu o masă de iluminat. Acest lucru s-a realizat pentru a simplifica algoritmul de prelucrare a imaginii, prin reducerea artefactelor introduse de iluminarea neuniformă.
 - o Pe cărucior sosește la stația de lucru o singură piesă;
 - o Piesa nu se cunoaște;
 - o Situația piesei pe cărucior nu este cunoscută;
 - o Senzorul camerei web este paralel cu planul piesei (proiecție normală);
 - o O imagine cu căruciorul prevăzut cu masa de iluminat, goală, este achiziționată înaintea rulării aplicației.
 - o Contrapiesa este fixată pe o masă, în spațiul de lucru al robotului;
 - o Pozițiile centrelor de greutate a locașurilor, corespunzătoare celor patru piese, din contrapiesă, sunt învățate (figura 8.5).

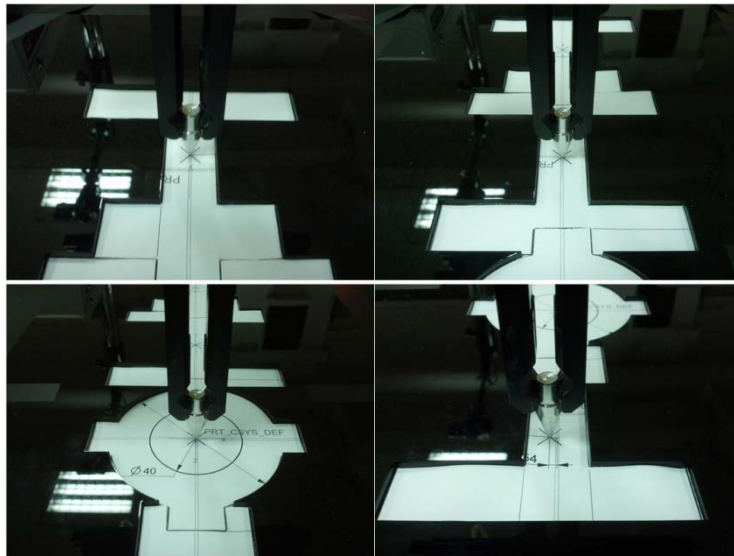


Figura 8. 5: Pozițiile centrelor de greutate ale locașurilor pieselor din contrapiesă.

- Datele de ieșire:
 - o Tipul piesei aflate pe cărucior în momentul rulării aplicației;
 - o Situația piesei (poziția și orientarea piesei) pe cărucior.
- Ordinograma aplicației este ilustrată în figura 8.6.

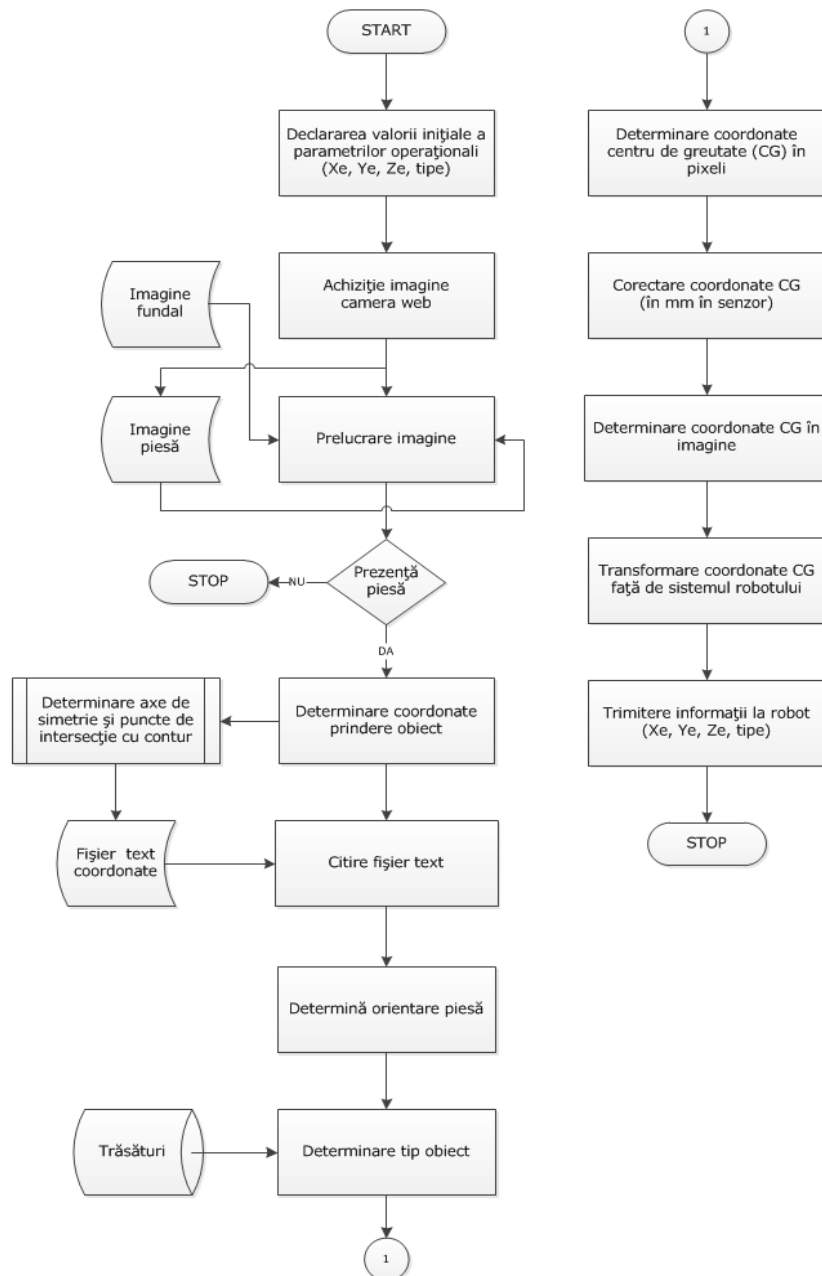


Figura 8. 6: Ordinograma aplicației de determinare a punctelor de prehensare.

Pașii ce sunt necesari a fi parcurși pentru realizarea aplicației sunt următorii:

- Pasul 1. O piesă necunoscută este plasată pe masa de iluminat, la stația de frezat, într-o poziție oarecare;
- Pasul 2. Calculatorul central comandă PLC-ul pentru eliberarea căruciorului pentru a se putea deplasa până la următoarea stație de lucru;
- Pasul 3. Piesa sosește la stația de asamblare, unde este oprită în dreptul camerei video;
- Pasul 4. Se pornește programul de vedere robotizată ce permite camerei web să achiziționeze o imagine, cu piesa necunoscută pe masa de iluminat.
- Pasul 5. Un algoritm de prelucrare de imagini extrage fundalul achiziționat într-o etapă anterioară și determină prezența sau absența piesei pe masă (figura 8.7);



Figura 8. 7: Detectare obiect necunoscut.

- Pasul 6. În cazul în care nu există piesă pe masă sau algoritmul nu detectează nimic, aplicația se oprește. În caz contrar, se execută următorul pas;
- Pasul 7. Se apelează algoritmul de determinare a punctelor optime de prehensare. Etapele acestui algoritm sunt:
- Algoritmul determină toate axele de simetrie ale piesei (dacă există). În cazul în care piesa nu are axe de simetrie, se determină dreapta care conferă valoarea maximă a coeficientului de simetrie;
 - Selectează pe baza unor condiții impuse maxim două axe principale;
 - Determină punctele care apar la intersecția axelor cu conturul piesei;
 - Salvează coordonatele acestor puncte într-un fișier text (cu extensie .txt).

Rezultatele obținute pentru cele patru piese, în urma parcurgerii acestui pas, sunt prezentate în figura 8.8.

- Pasul 8. Se citește fișierul text și se alege, pe baza unei condiții de dimensiune (distanța dintre bacurile dispozitivului de prehensare), coordonatele unei perechi de puncte. Punctele respective definesc o axă de simetrie, ce formează cu orizontala, ce trece prin centrul de greutate al piesei (în imagine), două unghiuri (în cadranul 1 și 4). Se alege dintre cele două, unghiul minim pe baza căruia se determină unghiul de rotație al axei 4 a robotului (roll-ul).
- Pasul 9. Un alt algoritm, determină pe baza imaginii rezultate și pe baza unor descriptori globali tipul piesei (figura 8.9, 8.10, 8.11).
- Pasul 10. Se determină, în pixeli, față de sistemul de coordonate al imaginii, coordonatele centrului de greutate (CG) al piesei.
- Pasul 11. Aceste coordonate sunt corectate prin eliminarea erorilor introduse de distorsiunile lentilelor.

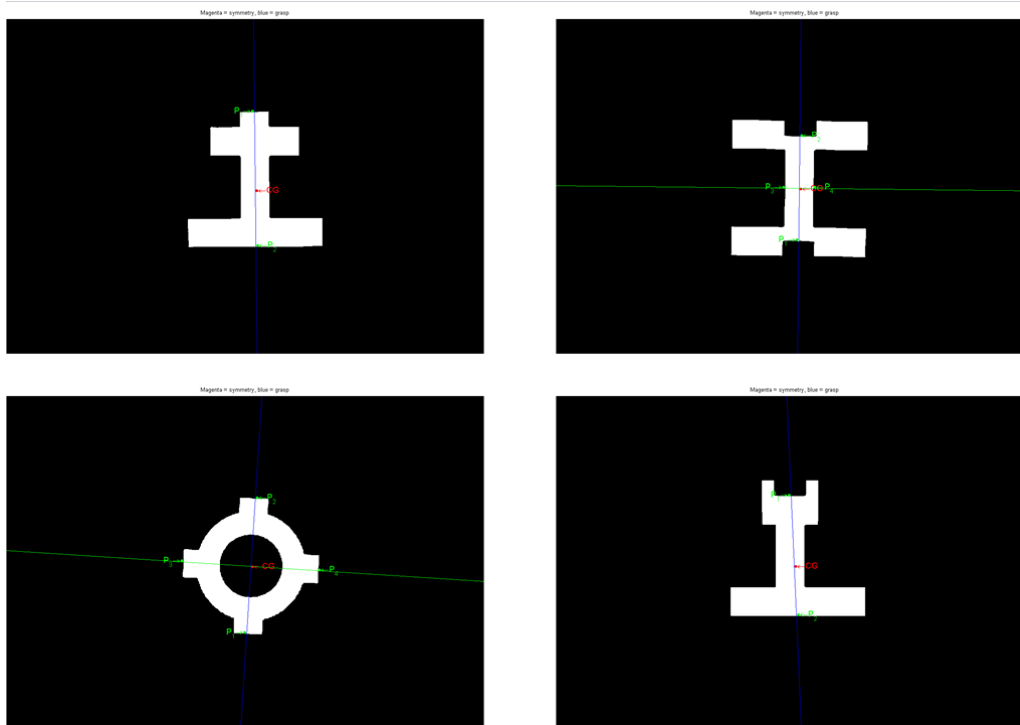


Figura 8. 8: Axele de simetrie și punctele de prehensare determinate pentru cele patru piese.

Pasul 12. Informațiile cu privire la tipul piesei și coordonatele centrului de greutate sunt utilizate pentru comanda robotului. În același timp, se comandă conveierului de transfer, pentru a-i permite căruciorului să se deplaseze la stația de lucru a robotului.

Pasul 13. Robotul, pe baza acestor informații, preia piesa de pe masa de iluminat și o inserează în contrapiesă (anexa 10).

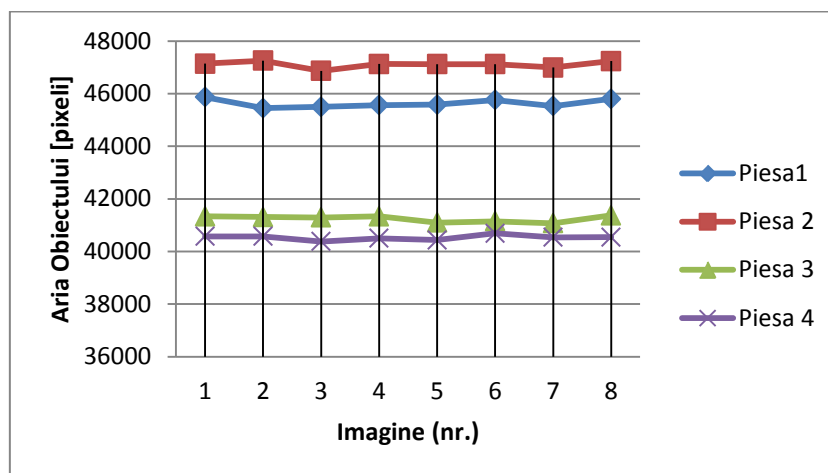


Figura 8. 9: Aria obiectelor în pixeli.

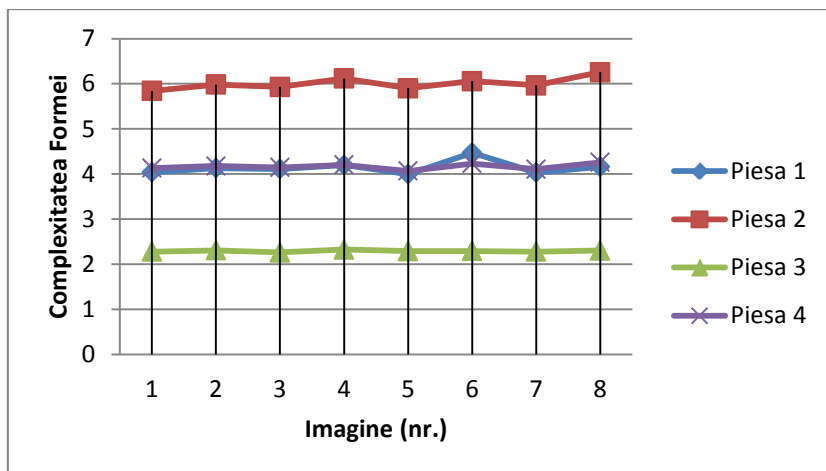


Figura 8. 10: Complexitatea formei obiectelor.

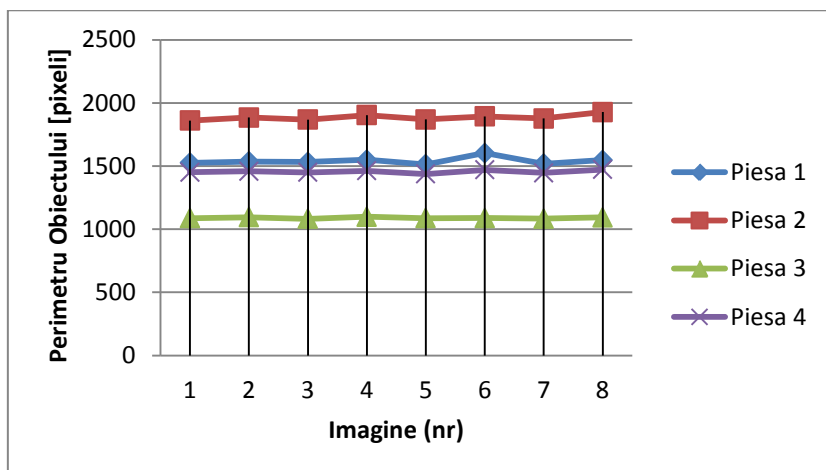


Figura 8. 11: Perimetrul obiectelor în pixeli.

8.4. Rezultate și concluzii

În practică, programarea roboților este foarte importantă din punct de vedere al prelevării corecte de către robot a piesei, astfel încât la închiderea și deschiderea dispozitivului de prehensare piesa să nu se miște, respectiv să nu își modifice poziția și orientarea.

Atingerea acestui deziderat, la programarea on-line, înseamnă timp îndelungat de manevrare a dispozitivului în poziția necesară.

Utilizarea unui program de determinare a simetriei pieselor poate să rezolve această problemă în mod automat.

Operația de programarea off-line, respectiv realizarea unui program pe calculator care să includă modelul virtual al robotului și modelul spațiu/masa de lucru, poate conduce la obținerea unor rezultate favorabile dar a căror reproducere în realitate să fie dificilă.

Prin urmare, se poate trage concluzia că orice program off-line realizat, este necesar a fi testat inițial printr-o verificare online.

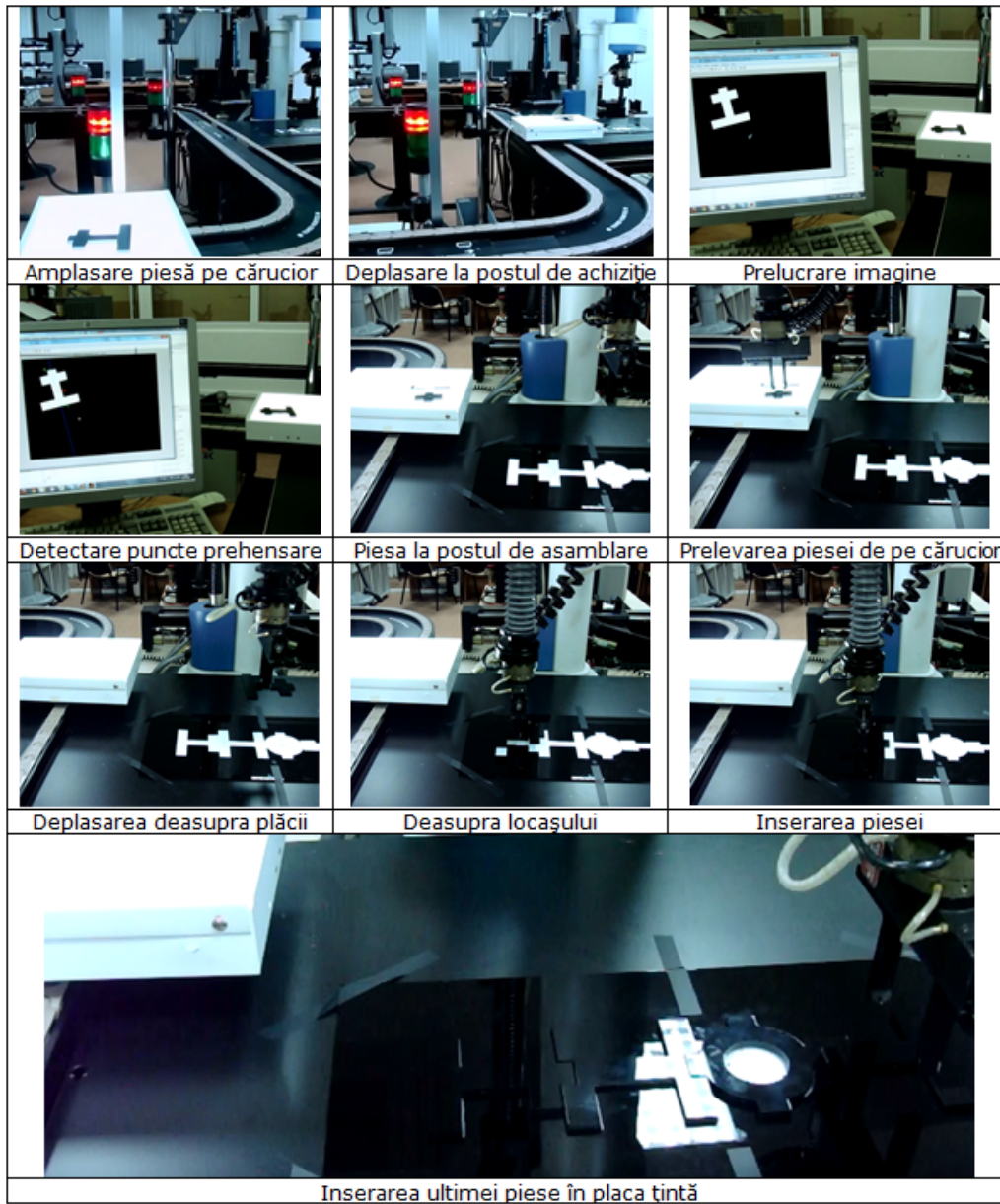


Figura 8. 12: Rezultatul rulării aplicației.

9. CONCLUZII, CONTRIBUȚII ORIGINALE ȘI DIRECȚII VIITOARE DE CERCETARE

9.1. Concluzii și contribuții originale

În lucrarea de față s-a urmărit utilizarea prelucrării automate a imaginii ca parte componentă a sistemelor de vedere robotizată. Acest aspect, prezintă un interes deosebit pentru aplicațiile industriale (subcapitolul 2.4), datorită numeroaselor avantaje obținute, în urma implementării lor în procesul de producție.

Studiile efectuate și rezultatele obținute, prezentate pe parcursul tezei, au condus la evidențierea următoarelor contribuții originale ale autorului:

- Realizarea unei sinteze bibliografice, a principalelor aspecte cu privire la domeniul de cercetare;
- Determinarea principalelor componente necesare în realizarea oricărei aplicații de vedere robotizată;
- Realizarea unei analize amănunțite a modelelor de calibrare a camerelor video, existente în literatura de specialitate;
- Implementarea în Matlab a două modele clasice de calibrare a camerelor video;
- Proiectarea, dezvoltarea și implementarea unei aplicații de prelucrare de imagini, în Matlab, ce poate fi folosită la maparea unei clădiri, și inspectarea defectelor de suprafață;
- Conceperea, proiectarea, și implementarea, în Vision Builder for Automated Inspection, a unei aplicații de detectare și recunoaștere a unor obiecte de tip 2D (obiecte la care cea de-a treia dimensiune este neglijabilă în raport cu celelalte două).
- Proiectarea, dezvoltarea și implementarea unei aplicații de conducere a unui robot cartezian pe baza informațiilor furnizate de un algoritm de prelucrare de imagini, utilizând mediul de lucru LabView.
- Realizarea unei aplicații de vedere robotizată, pentru detectarea, recunoașterea și manipularea stabilă a unor obiecte colorate.
- Realizarea unei analize, asupra unei metode de calibrare a camerelor video, implementată în Matlab („camera calibration toolbox”, de tip „open source”) și aplicarea acesteia în calibrarea camerelor din dotare.
- Implementarea unei metode, pentru determinarea matricei de transformare omogenă, în cazul robotului SCORA ER 14.
- Dezvoltarea unui algoritm de recunoaștere a unor obiecte de tip industrial (rulmenți radiali cu bile).
- Dezvoltarea unui algoritm original de comparare a unui obiect detectat cu un șablon;
- Proiectarea, dezvoltarea și implementarea unei aplicații de vedere robotizată, pe stația avută în dotare (în cadrul laboratorului CIM), pentru recunoașterea unui obiect aflat într-o poziție fixă, cunoscută.
- Dezvoltarea unui model matematic original, pentru determinarea poziției unui obiect în spațiu, pe baza coordonatelor a patru puncte extrase din două imagini ale obiectului, ce sunt prelevate de două camere situate la 90°

(unghiul format de axele optice ale celor două camere este de aproximativ 90°).

- Proiectarea, dezvoltarea și implementarea unei aplicații de vedere robotizată, pentru detectarea, recunoașterea, manipularea, sortarea și depozitarea unui obiect aflat într-o poziție necunoscută.
- Dezvoltarea unui algoritm de detectare, decelare și selectare a unor obiecte ce se regăsesc suprapuse într-o imagine.
- Proiectarea, dezvoltarea și implementarea unei aplicații de vedere robotizată, pentru detectarea, recunoașterea, manipularea, sortarea și depozitarea mai multor obiecte suprapuse, aflate în poziții necunoscute.
- Dezvoltarea unui algoritm de recunoaștere a unor obiecte cu forme variabile.
- Implementarea unui algoritm de detectare a punctelor de prehensare optime, ale unor piese necunoscute, într-o aplicație robotizată, în vederea determinării orientării piesei și realizării unei manipulări stabile, pentru efectuarea unei operații de asamblare.

În concluzie, se poate spune că obiectivul central al tezei (stabilit inițial), a fost îndeplinit, mai precis dezvoltarea unor aplicații de vedere robotizată, bazate pe algoritmi de prelucrare automată a imaginilor. Obiectivele conexe ale acestuia, respectiv detectarea și recunoașterea obiectelor de natură 2D și 3D precum și determinarea unei metode de stabilire a punctelor de prehensare, optime, a unor obiecte necunoscute, sau concretizat prin dezvoltarea algoritmilor prezentați în teză și implementați în cele două aplicații de prelucrare automată a imaginii (subcapitolul 4.2 și 5.1) și cele șase aplicații de vedere robotizată (subcapitolul 5.2, 6.1, 7.1, 7.2, 7.3, 8.1).

Contribuțiile au fost diseminate într-un număr de cinci articole științifice (vezi anexa 11):

- Două lucrări științifice publicate în volumele unor manifestări științifice (Proceedings) indexate ISI: (Pop, Grigorescu, Davidescu, 2012 a) și (Pop, Grigorescu, Davidescu, 2012 b).
- Trei lucrări științifice publicate în reviste de specialitate indexate BDI: (Pop, Davidescu, 2010), (Pop, Davidescu și Moldovan, 2011) și (Pop, 2011).

9.3. Direcții viitoare de cercetare

Pe baza cercetărilor efectuate și a rezultatelor obținute se pot estima câteva direcții viitoare de cercetare:

- Proiectarea și dezvoltarea unei aplicații de tip „bin-picking” care să permită detectarea, recunoașterea și extragerea unor obiecte suprapuse, aflate într-un container de piese.
- Conceperea, proiectarea, dezvoltarea și implementarea unei metode automate de calibrare a camerei prin deplasări controlate ale acesteia (autocalibrare).
- Dezvoltarea unor algoritmi ce permit obținerea unor modele cât mai realiste ale unor obiecte din lumea reală, respectiv algoritmi de recunoaștere și reconstrucție a unor obiecte 3D pentru aplicații de tip CAD.

Bibliografie

Agrawal M., Davis L. S. (2003) – „Camera calibration using spheres: A semi-definite programming approach”, IEEE International Conference on Computer Vision 2003, ISBN 0-7695-1950-4, Volume 2, pp. 782-789.

Alexander M. (2010) – „An Introduction to Object Recognition”, Advances in Computer Vision and Pattern Recognition, Springer, 1st Edition, XVIII, ISBN 978-1-84996-235-3.

Allen P., Timcenko A., Yoshimi B., et al. (1993) – “Automated Tracking and Grasping of a Moving Object with a Robotic Hand-Eye System”, Proceedings of the IEEE Transactions on Robotics and Automation, Vol. 9, No. 2.

Amit, Y. (2002)- „ 2D object detection and recognition: models, algorithms, and networks”, MIT Press.

Annadurai S., Shanmugalakshmi R. (2007) – “Fundamentals Of Digital Image Processing”, Pearson Education India, ISBN 9788177584790.

Armangue X., Salvi J., Balle J. (2000) - „A comparative review of camera calibrating methods with accuracy evaluation”, Proceedings of 5th Ibero-American Symposium on Pattern Recognition, SIAPR 2000, Lisboa, Portugal, pp. 183.194, 2000.

Austin, W. (2005) – „Inspection System Improves Diesel Engine Assembly”. Assembly Magazine. Internet, BNP Media.

Automatica (2012) – „Exhibitor database AUTOMATICA 2010”. Disponibil la: http://www.automatica-munich.com/exvi/en/IBG_Automation_GmbH/DE/A2/520. Accesat în 02.05.2012.

Azernikov S. (2008) – “Sweeping solids on manifolds. In Symposium on Solid and Physical Modeling, pp. 249–255.

Bareto J. P. (2003) - „General central projection systems, modeling, calibration and visual servoing”, PhD thesis, University of Coimbra.

Bay H., Ess A., Tuytelaars T., Van Gool L., (2008). „SURF: Speeded Up Robust Features”, Computer Vision and Image Understanding (CVIU), Vol. 110, No. 3, pp. 346--359.

Bay H., Tuytelaars T., and Van Gool L., (2006) - „SURF: Speeded up robust features”, In ECCV.

- Beardsley P., Murray D., Zisserman A. (1992) – „Camera Calibration Using Multiple Images”, Proceedings of the 2nd European Conference on Computer Vision, pp. 312–320.
- Blake A. (1995) - “A symmetry theory of planar grasp”, International Journal of Robotics Research, vol. 14, no. 5, pp. 425-444.
- Bouguet J. Y. (2012) – “Camera Calibration Toolbox for Matlab”. Disponibil online la: http://www.vision.caltech.edu/bouguetj/calib_doc/ . Accesat în 09.01.2012.
- Bradski G., A. Kaehler (2008) - Learning OpenCV: Computer Vision with the OpenCV Library, O'Reilly Media, Incorporated.
- Briechle K., Hanebeck U. D., (2001). Template matching using fast normalized cross correlation. In: Proceedings of SPIE, V. 4387, Optical Pattern Recognition XII, Orlando, FL, pp. 95-102.
- Britton, D. (2011)- „Innovative Robot Uses 3D Imaging and a Novel Cutting Approach to Automatically Debone Poultry”. Poultry Tech 23.
- Byröd M., Kukulova Z., Josephson K., Pajdla T., Åström K. (2008) – „Fast and robust numerical solutions to minimal problems for cameras with radial distortion”. In Proc. Conf. Computer Vision and Pattern Recognition, Anchorage, USA.
- Cany J. (1986) –“A computational approach to edge detection”, Pattern Analysis and Machine Intelligence, IEEE Transactions on PAMI-8(6), Nov. 1986,pp. 679–698.
- Cao X., Shah M. (2005) - „Camera Calibration and Light Source Estimation from Images with Shadows”, IEEE Conference, Computer Vision and Pattern Recognition, ISBN: 0-7695-2372-2, Volume 2, pp. 918-923.
- Chang, D. Q. (2006) - "A Generative-Discriminative Hybrid Method for Multi-View Object Detection." Proceeding of IEEE International Conference of Computer Vision and Pattern Recognition, pp. 2017 - 2024
- Chen I. M., Burdick J. W. (1993)- “Finding antipodal point grasps on irregularly shaped objects”, IEEE Transactions on Robotics and Automation, vol. 9, no. 4, pp. 507-512.
- Chen J. M., Ventura J.A., Wu C.-H. (1996) - „Segmentation of Planar Curves into Circular Arcs and Line Segments”, Image and Vision Computing, 14(1), pp.71–83.
- Chen X., Yang J., Waibel A. (2003) - „Calibration of a Hybrid Camera Network”, IEEE International Conference on Computer Vision, ISBN 0-7695-1950-4, Volume 1, pp. 150-155.
- Cherubini A., Chaumette F., Oriolo G. (2008) – “A position-based visual servoing scheme for following paths with nonholonomic mobile robots”, 2008 IEEE/RSJ International Conference on Intelligent Robots and Systems Acropolis Convention Center, Nice, France, Sept, 22-26, pp. 1648-1654.

- Chesi, G., K. Hashimoto (2010) – „Visual Servoing Via Advanced Numerical Methods”, Springer.
- Chevallet J. P., Hwee Lim J., Kew Leong M. (2005) –“Object Identification and Retrieval from Efficient Image Matching: Snap2Tell with the STOIC Dataset”, Springer Verlag Berlin, AIRS 2005, LNCS 3689, pp. 97–112.
- Cipolla R., Drummond T. W., Robertson D. (1999) – „Camera calibration from vanishing points in images of architectural scenes”, Proceedings of British Machine Vision Conference, vol. 2, Septembre 1999, UK, pp.382-391.
- CogniTens (2009) - "Ogihara Eliminates Hundreds of Inspection Hours with OptiCell by CogniTens." Disponibil la : http://www.hexagonmetrology.com/ogihara-america-howell-manual_297.htm. Accesat 04.03.2012.
- Colestock, H. (2005) – „Industrial robotics: selection, design, and maintenance”, McGraw-Hill.
- Copot C., Burlacu A., Lazăr C. (2011) – „Image Moments based Predictive Control for Eye-in-Hand Servoing Systems”, Buletinul Institutului Politehnic din Iași, Secția Automatică și Calculatoare, Fasc. 1, pp. 23-37, ISSN 1220-2169.
- Corke P. I. (1996) – “Visual control of robots:High-Performance Visual Servoing”, CSIRO Division of Manufacturing Technology, Australia, disponibil la : <http://www.cat.csiro.au/dmt/programs/autom/pic/book.htm>. Accesat în 20.09.2011.
- Corke P. (2011) – „Robotics, Vision and Control: Fundamental Algorithms in MATLAB”, Springer.
- Costantini G., Casali D. (2007) - “Detection of symmetry axis by a CNN-based algorithm”, in *Proceedings of the 11-th WSEAS International Conference on Circuits, AgiosNicolaos, Greece, July 22-25*, pp. 46-49.
- Cowan N. (2002) – „Binocular Visual Servoing with a Limited Field of View”, In *Mathematical Theory of Networks and Systems*, Notre. Disponibil la: <http://citeseerx.ist.psu.edu/showciting?doi=10.1.1.13.2088>. Accesat în 01.02.2011.
- Csurka G., Zeller C., Zhang Z., Faugeras O. (1987) - „Characterizing the uncertainty of the fundamental matrix. *Computer Vision and Image Understanding*, 68(1), Oktober 1997, pp.18–36.
- Dalsa (2012) – Disponibil la <http://www.teledynedalsa.com/>. Accesat în 11.10.2012.
- Datta A., Kim J. S., Kanade T. (2009) – „Accurate Camera Calibration using Iterative Refinement of Control Points”, IEEE Conference, Computer Vision, ISBN 978-1-4244-4442-7, pp. 1201-1208.
- Davidescu A. (2003) – „Analiza și procesarea datelor în Matlab”. Editura Politehnica, Timișoara.

Deutscher J., Isard M., MacCormick J. (2002) – „Automatic Camera Calibration from a Single Manhattan Image”, The 7th European Conference on Computer Vision Copenhagen, Volume 4, pp. 175-188.

Devernay F., Faugeras O. (2001) - „ Straight lines have to be straight: automatic calibration and removal of distortion from scenes of structured environments”, Machine Vision and Application, 13(1), pp.14-24.

Downhill (2012) – Disponibil la <http://www.ride-downhill.de/blog/?p=708>. Accesat în 01.09.2011.

Drummond T., Cipolla R. (2002) – „Real-Time Tracking of Complex Structures with on-line Camera Calibration”, Image and Vision Computing, Volume 20, Issues 5-6, pp. 427-433.

Edmund_Optics (2012) - "Electronic Imaging Resource Guide". Disponibil la: from <http://www.edmundoptics.com/learning-and-support/technical/learning-center/application-notes/imaging/electronic-imaging-resource-guide/?&pagenum>

N., Lucke M., Krüge T., Kunst D., Stürze T., Hortig J. (2008) - "Kinematics, sensors and control of the fully automated façade-cleaning robot SIRIUSc for the Fraunhofer headquarters building, Munich", Industrial Robot: An International Journal, Vol. 35 Iss: 3 pp. 224 - 227

Faugeras O. (1996) – „ Three-Dimensional Computer Vision. A Geometric Viewpoint”, MIT Press, Cambridge, Massachusetts.

Faugeras O. Toscani G. (1987) – „Camera Calibration for 3D Computer Vision”, Proceedings of International Workshop on Industrial Applications of Machine Vision and Intelligence, Tokyo, Japan, 1987, pp. 240-247.

Faugeras O., Toscani G. (1986) – „The calibration problem for stereo”, Proceedings CVPR'86, Miami Beach, Florida, June 1986, pp.15-20.

Fiala M., Shu C. (2010) – „Fully Automatic Camera Calibration Using Self-Identifying Calibration Targets”, National Research Council of Canada, disponibil la: <http://nparc.cisti-icist.nrc-cnrc.gc.ca/npsi/ctrl?action=shwart&index=an&req=8913774&lang=en>. Accesat în 13.12.2010.

Forsyth, D. A., Ponce J. (2011) - „Computer Vision: A Modern Approach”, Prentice Hall PTR.

Fuageras O., Luong T. Q., Maybank S. (1992) - „Camera self-calibration: theory and experiments”, Proceedings of the 2nd European Conference on Computer Vision, Santa Margherita, Italy, May, 1992, pp.858-863.

Fuentes-Pacheco J., Ruiz-Ascencio J., Rendón-Mancha J. M. (2009) – “Binocular visual tracking and grasping of a moving object with a 3D trajectory predictor”, Journal of Applied Research and Technology, Vol.7 No. 3 December 2009, pp. 259-274.

- Fung G., Yung N., Pang G. (2003) - „Camera calibration from road lane markings“, *Optical Engineering*, Volume 42, Issue 10, pp. 2967-2977.
- Gans N. R. (2003) – „An experimental study of hybrid switched system approaches to visual servoing“, *Robotics and Automation*, 2003. Proceedings. ICRA '03. IEEE International Conference on 14-19 Sept. 2003, vol. 3, pp. 3061 – 3068.
- Glaser, A. (2008) – „Industrial robotics: how to implement the right system for your plant“, Industrial Press.
- Goldstein H., Poole C., Safko J. (2002) – „Classical Mechanics“, 3rd ed., San Francisco, USA: Addison Wesley.
- Gonzalez, R. C. (2002) - „Digital Image Processing“, New Jersey, Prentice Hall.
- Grigorescu S. M. (2012) – „Lucrare laborator CIM“. Departamentul de Mecatronică, Universitatea Politehnica Timișoara.
- Gruescu C. (2012) – „Curs senzori vizuali“. Departamentul de Mecatronică, Universitatea Politehnica Timișoara.
- GTRI (2012) - "A Cut Above: Innovative Robot Uses 3-D Imaging and Sensor-based Cutting Technology to Debone Poultry ". Disponibil la: from <http://www.gtri.gatech.edu/casestudy/robot-3d-imaging-sensor-based-debone-poultry>. Accesat 05.04. 2012.
- Gümüş B., Balaban M. O., Ünlüsayın M. (2011) – „Machine Vision Applications to Aquatic Foods: A Review“, *Turkish Journal of Fisheries and Aquatic Sciences* 11, pp.171-181.
- Guoshen Y., and Morel J.-M. (2009). „ASIFT: ASIFT, A new framework for fully affine invariant image comparison“, *SIAM Journal on Imaging Sciences*, 2(2), pp. 438-469.
- Hall E., Tio J., McPherson C., Sadjadi, F. (1982) – „Measuring curved surfaces for robot vision“, *Computer Journal*, vol. December, 1982, pp.42-54.
- Hanning T., Schoene R. (2007) - „ Additional constraints for Zhang’s closed form solution of the camera calibration problem“, Technical Report MIP-0709, Fakultät für Informatik und Mathematik, Universität Passau, 2007.
- Hartenberg R., Denavit J. (1964) – „Kinematic Synthesis of Linkages“, McGraw Hill, New York, Lybrary of Congress Catalog Card Number 64-2351.
- Hartley R. (1992) – „Estimation of relative camera position for un-calibrated cameras“, *Proceedings of the 2nd European Conference on Computer Vision*, Santa Margherita, Italy, May 1992, pp. 579-587.
- Hartley R. (1994) – „Self-Calibration from Multiple Views with a Rotating Camera“, *Proceedings of 3rd European Conference on Computer Vision*, Stockholm, vol. 1, pp. 471-478.

- Hartley R. (1997) – „ Self-Calibration of Stationary Cameras”, *International Journal of Computer Vision*, vol. 22, no.1, February 1997, pp. 5-23.
- Hartley R. I., Zisserman A. (2004) - *Multiple View Geometry in Computer Vision*. Cambridge University Press, Second Edition.
- Hegde, G. S. (2007) – „A Textbook on Industrial Robotics”, Laxmi Publications.
- Heikkilä J. (1997) – „ Accurate camera calibration and feature based 3D reconstruction from monocular image sequences”. PhD thesis, University Oulu, Finland.
- Heikkilä J. (2000) - „ Geometric camera calibration using circular control points”, *IEEE Transactions on Pattern Analysis and Machine Intelligence*, 22(10) pp. 1066–1077
- Henry A. R., Shumeet B., Takeo K., (1995) - „Human face detection in visual scenes”, In *Advances in Neural Info. Proc. Systems*, volume 8.
- Heyden A. , Astrom K. (1997) – „Euclidean reconstruction from image sequences with varying and unknown focal length and principal point”, *Proceedings of IEEE Conference on Computer Vision and Pattern Recognition*, 1997, pp. 477-492.
- Iordăchiță, I. (1997) – „Roboți industriali”, Craiova, Reprografia Universității din Craiova.
- Jain, A. K. (1999) – „Fundamentals of Digital Image Processing”. Englewood Cliffs NJ, Prentice Hall.
- Joochim C., Roth H. (2010) – „Mobile Robot Exploration Based On Three Dimension Cameras Acquisition”, presented at the 2nd IFAC Symposium on Telematics Applications - TA2010, Timișoara, România.
- Keller Y., Shkolnisky Y. (2006) - “A signal processing approach to symmetry detection”, *IEEE Transactions on Image Processing*, vol. 15, no. 8, pp. 2198-2207.
- Kim J.K. (2006) – “Image-based Visual Servoing using Sliding mode control”, *SICE-ICASE*, 2006. International Joint Conference, ISBN 89-950038-4-7.
- Kiryati N., Gofman Y. (1998) - “Detecting symmetry in grey level images: The global optimization approach”, *International Journal of Computer Vision*, vol. 29, no. 1, pp. 29-45.
- Koukarni P., Dutta D., Saigal R. (1995) - “An investigation of techniques for asymmetry rectification”, *Trans. ASME, Journal of Mechanical Design*, 117, pp. 620-626.
- Kovacs F. V., Varga. Șt., Pau V.C. (2000) – „Introducere în robotică”, București, Printech.
- Kragic D., Christensen H. I. (2003) – “Robust Visual Servoing”, *The International Journal of Robotics Research*, Vol. 22, No. 10, October 2003, pp. 1-17.

- Kruachottikul, P. (2012) - "Building a Robotic Vision System for Cylinder Head Inspection". Disponibil la: <http://sine.ni.com/cs/app/doc/p/id/cs-13945>. Accesat în 06.05.2012.
- Lenz R. K., Tsai R. Y. (1988) – „ Techniques for Calibration of the Scale Factor and Image Center for High Accuracy 3D Machine Vision Metrology”, IEEE Transactions on Pattern Analysis and Machine Intelligence, vol. 10, no. 5, September 1988, pp. 713-720.
- Li W. H., Zhang A. M., Kleeman L. (2005) - "Fast global reflectional symmetry detection for robotic grasping and visual tracking", in Proceedings of Australian Conference on Robotics and Automation, ACRA05, M. M. Matthews, Ed., December.
- Lowe, D. G. (2004) - "Distinctive Image Features from Scale-Invariant Keypoints" International Journal of Computer Vision 60(2), pp. 91-110.
- Luong T. Q., Faugeras O. (1996) – „The Fundamental Matrix: Theory, Algorithms and Stability Analysis”, International Journal of Computer Vision, vol. 17, no. 1, pp. 43-76.
- Luong T. Q., Faugeras O. (1997) – „Self-calibration of a moving camera from point correspondence and fundamental matrix”, International Journal of Computer Vision 22(3), pp. 261-289.
- Lv F., Zhao T., Nevatia R. (2006) – „Camera Calibration from Video of a Walking Human”, IEEE Pattern Analysis and Machine Intelligence, ISSN: 0162-8828, Volume 28, Issue 9, pp. 1513-1518.
- Marchand E., Chaumette F. (2005) – “Feature tracking for visual servoing purposes”, Robotics and Autonomous Systems 52, 1, pp. 53-70.
- Marola G. (1989) - "On the detection of the axes of symmetry of symmetric and almost symmetric planar images”, IEEE Transactions on Pattern Analysis and Machine Intelligence, vol. 11, no. 1, pp. 104-108.
- Marita T. (2012) – „Sisteme de viziune in robotica - curs” Disponibil la: <http://users.utcluj.ro/~tmarita/SVR/C1.2.pdf>. Accesat 05.08.2012.
- Martin R. R., Dutta D. (1996) - "Tools for asymmetry rectification in shape design”, Journal of Systems Engineering, vol. 6, pp. 98-112.
- Martins H. A., Birk J. R., Kelley R. B. (1981) – „Camera models based on data from two calibration planes”, Computer Graphics and Image Processing, 17:173 , pp. 180.
- Mathia, K. (2010) – „Robotics for Electronics Manufacturing: Principles and Applications in Cleanroom Automation”, Cambridge University Press.
- MATROX (2012) - „Vision help delta robots sort biscuits”, disponibil la: <http://www.ukiva.org/vision-system-application-articles/matrox.html>. Accesat 05.04.2012.

- Maybank S.J, Faugeras O.D (1992) - „A theory of self-calibration of a moving camera“, *International Journal of Computer Vision*, vol 8, pp 123-152.
- McCartin B. J. (2008) - “On the relationship between concentration and inertia hyperellipsoids“, *Applied Mathematical Sciences*, vol. 2, no. 10, pp. 489-495.
- Ménegaux D., Faudot D., Kheddouci H. (2004) – “Skeletizing 3D-Objects by Projections“, *Computational Science and Its Applications – ICCSA 2004, Lecture Notes in Computer Science, Volume 3045, 2004*, pp 267-276.
- Mirtich B., Canny J. (1994) - “Easily computable optimum grasps in 2-D and 3-D“, *IEEE International Conference on Robotics and Automation*, pp. 739-747.
- Montana D. J. (1992) - “Contact stability for two-fingered grasps“, *IEEE Transactions on Robotics and Automation*, vol. 8, no. 4 August 1992, pp. 421-430.
- Murase H., Nayar S. - (1995) - “Visual Learning and Recognition of 3-D Objects from Appearance“, *International Journal Computer Vision*, 14, pp. 5–24.
- Nguyen V.-D. - “Constructing force-closure grasps“, *International Journal of Robotic Research*, vol. 7, no. 3, June 1988, pp. 3-16.
- Niblack C.W., Barber R.J., Equitz W.R., Flickner M.D., Glasman D., Petkovic D. and Yanker P.C., (1993). “The QBIC Project: Querying Image by Content Using Color, Texture and Shape“, In *Electronic Imaging: Storage and Retrieval for Image and Video Databases, Proceedings SPIE*, 1908, pp. 173–187.
- Nixon, M. S., A. S. Aguado (2008) – „Feature extraction and image processing“, Academic.
- Nomura, H., Naito T. (2000) – “Integrated visual servoingsystem to grasp industrial parts moving on conveyer by controlling 6DOF arm“, *Proceedings of the IEEE International Conference on Systems, Man, and Cybernetics*, pp. 1768-1775.
- O’Mara D., Owens R. (1996) - “Measuring bilateral symmetry in digital images“, *IEEE – TENCON – Digital Signal Processing Applications*, 1996, pp. 151-156.
- Obinata G., Dutta A. (2007) – „Vision Systems: Applications“, I-Tech Education and Publishing, ISBN 978-3-902613-01-1.
- Oi J., Rao K. (1991) - New insights into correlation-based template matching. In: *Proceedings of SPIE, V. 1468, Applications of Artificial Intelligence IX*, Orlando, FL, pp. 740-751.
- Otsu N. (1979) – “A Threshold Selection Method from Gray-Level Histograms“. *IEEE Transactions on Systems, Man, and Cybernetics*. 1979, 9(1), pp. 62-66.
- Papageorgiou C. , Poggio T. (2000) - „A trainable system for object detection“, *Intl. J. Computer Vision*, 38(1), pp. 15–33.
- Papoulis A. (1991)- “Probability, Random Variables, and Stochastic Processes“, USA, New York: McGraw Hill, 3rd ed.

- Perceptron (2012) - "Applications". Disponibil la: <http://www.perceptron.com/index.php/en/-industrial.html>. Accesat 02.03. 2012.
- Petrou M. , Petrou C. (2010) – "Image Processing: The Fundamentals", John Wiley & Sons, ISBN 9780470745861.
- Pollak I., Willsky A., Krim H. (2000) – „Image Segmentation and Edge Enhancement with Stabilized Inverse Diffusion Equations”, IEEE TRANSACTIONS ON IMAGE PROCESSING, VOL. 9, NO. 2, FEBRUARY 2000, pp. 256-266.
- Pomares J., Corrales J. A., García G. J. and Torres F. (2011) –“Direct Visual Servoing to Track Trajectories in Human-Robot Cooperation”, Int J Adv Robot Sy, 2011, Vol. 8, No. 4, pp. 129-138.
- Pop C.** (2011c) – “Improvement of Automated Robot Assembly Process using Image Processing Methods”, Workshop_ul nr.2 Interdisciplinaritatea și managementul cercetării, Universitatea „Politehnica” din Timișoara, Secțiunea Mecanică, Timișoara, pp. 45-46.
- Pop C.** (2010a) – „Stadiul actual al metodelor de prelucrare a imaginilor în timp real” (Referat Activități Complementare). Departamentul de Mecatronică, Universitatea Politehnica din Timișoara
- Pop C.** (2011a) – Raport stagiu. Departamentul de Mecatronică, Universitatea Politehnica din Timișoara.
- Pop C.**, Davidescu A. (2010b) – “Buildings Inspections by Image Processing Approach”, Proceedings of the Fifth International Conference on Optimization of the Robots and Manipulators, OPTIROB 2010, Călimănești, România, ISBN 978-981-08-5840-7, May 2010, pp. 205-209.
- Pop C.**, Davidescu A., Moldovan F. (2011b) – “Object recognition using a smart camera”, Romanian Review Precision Mechanics, Optics And Mechatronics, ISSN 1584-5982, Editura Cefin, Bucuresti, Romania, nr. 39, 2011, pp. 189-193.
- Pop C.**, Grigorescu S. M., Davidescu A. (2012a) – “Colored object detection algorithm for visual-servoing application”, Proc. 13th Int. Conf. on Optimization of Electrical and Electronic Equipment OPTIM 2012, Brasov, Romania, ISBN: 978-1-4673-1653-8/12, May 2012, IEEE , pp. 1539-1544.
- Pop C.**, Grigorescu S. M., Davidescu A. (2012b) – “Robot Vision Application for Bearings Identification and Sorting”, Mechanisms, Mechanical Transmissions and Robotics, ISBN-13:978-3-03785-395-5, Applied Mechanics and Materials, vol. 162, ISSN 1660-9336 Trans Tech Publications, pp.523-531.
- Pratt W. K. (2001) - “Digital Image Processing”, PIKS Inside, 3rd ed., USA, New York: John Willey & Sons.

Press W. H., Teukolski S. A., Vetterling W. T., Flannery B. P. (1992) – „Numerical Recipes in C: The Art of Scientific Computing”, Cambridge University Press, New York.

Ramalingam S., Sturm P., Lodha S. (2005) – „Towards Complete Generic Camera Calibration”, IEEE Computer Vision and Pattern Recognition, ISBN 0-7695-2372-2, Volume 1, pp. 1093-1098.

Ramnath K. (2004) - “A framework for robotic vision-based grasping task”. Carnegie Mellon University, Pittsburgh, USA, The Robotics Institute Project Report.

Rădulescu C. (2008) – “Curs de robotică avansată”, Universitatea Politehnica Timișoara.

Rekleitis I., Dudek G. (2005) – „Automated Calibration of a Camera Sensor Network”, IEEE/RSJ International Conference on Intelligent Robots and Systems, ISBN 0-7803-8912-3, pp. 3384-3389.

Remazeilles A., Chaumette F., Gros P. - “Robot motion control from a visual memory”, IEEE International Conference on Robotics and Automation, vol. 4, pp. 4695–4700.

Richard, G. Z. J. (2005) – „Guided by Vision. Assembly Magazine”, Internet, BNP, Media: 5.

ROBOT (2012) – „iR Vision-„2D Single””. Disponibil la: <http://www.robotsdotcom.com/VisionR-30iA.pdf>. Accesat în 10.02.2012.

Robotics, I. F.O (2005) - „World Robotics: Statistics, Market Analysis, Case Studies And Profitability of Robot Investment”, 2005, UN.

Romeo, I. (1996) – „Roboți Industriali”, București.

Rosin P.L., (1997) - „Techniques for assessing polygonal approximations of curves”, IEEE Transactions Pattern Analysis and Machine Intelligence, vol. 19, no. 6, pp. 659-666.

Russ, J.C. (2007) – „The Image Processing Handbook”. Fifth Edition. s.l. : CRC Press, ISBN 0-8493-7254-2.

Sanz P. J. (2005) - “Tutorial: Towards autonomous manipulation capabilities for service robots”, IEEE International Conference on Mechatronics and Automation, ICMA 2005, Niagara Falls, Canada.

Savii G. G. (2004) – „Camera Calibration Using Compound Genetic-Simplex Algorithm”, Journal of Optoelectronics and Advanced Materials Vol. 6, No. 4, December 2004, pp. 1255 – 1261.

Schneiderman H., Takeo K., (2000) - „A statistical model for 3D object detection applied to faces and cars”, In CVPR.

- Secuv (2012) – „ CCD Format Size”, disponibil la: <http://www.secuv.com/CCD-Format-Size>. Accesat în 10.10.2011.
- Seeman T. (2002) –“Digital Image Processing Using Local Segmentation”, PhD, disponibil la: <http://www.csse.monash.edu.au/~torsten/pubs/Seemann-thesis.pdf>. Accesat în 12.10.2011.
- Shah S., Aggarwal J. K. (1996) – „Intrinsic Parameter Calibration Procedure for a (High-Distortion) Fish-Eye Lens Camera with Distortion Model and Accuracy Estimation”, *Pattern Recognition*, Volume 11, pp. 1775-1788.
- Sheehy D.J., Armstrong C.G., Robinson D.J. (1996) – „Shape Description By Medial Surface Construction”, *IEEE Trans. on Visualization and Computer Graphics* 2(1), pp. 62–72.
- Shi Y., Real F. D. (2010) – “Smart Cameras: Fundamentals and Classification”, Springer, ISBN 978-1-4419-0952-7, pp. 19-34.
- Shih S.W., Hung Y.P., Lin W.S. (1993) – „Accurate Linear Technique for Camera Calibration Considering Lens Distortion by Solving an Eigenvalue Problem”, *Optical Engineering*, Volume 32, Issue 1, pp. 138-149.
- Shimshoni I., Basri R., Rivlin E. (1999) - A Geometric Interpretation of Weak-Perspective Motion, *IEEE Transactions on pattern analysis and machine intelligence*, vol. 21, no. 3.
- SIRTKAYA, S. (2004) – „Moving Object Detection in 2D and 3D Scenes”, M.S., Department of Electrical and Electronics Engineering, Middle East Technical University MASTER: 88.
- SOLIMAC (2012) – „Robot Vision System”, Disponibil la: <http://www.Solimacautomation.com/>. Accesat în 01.05.2012.
- Solomon C., Breckon T. (2011) - “Fundamentals of Digital Image Processing. A Practical Approach with Examples in Matlab”, UK, Oxford: Wiley-Blackwell.
- Sonka M., Hlavac V., Boyle R. (2008) – “Image Processing, Analysis and Machine Vision”, Toronto, Canada: Thomson, 2008.
- Spring K. R. (2002) – „Electronic Imaging in Neuroscience”, *Current Protocols in Neuroscience*. 2.4.1–2.4.9. Disponibil la <http://onlinelibrary.wiley.com/doi/10.1002/0471142301.ns0204s18/full>. Accesat 20.11.2012.
- Sturm P. (1997) – „Vision 3D Non Calibree: Contributions a la reconstruction projective et etude des mouvements critiques pour l’auto-calibrage”, PhD l’Institut National Polytechnique de Grenoble, France, 1997.
- Sturm P. (2002) – „ Critical Motion Sequences for Self-Calibration of Cameras and Stereo Systems with Variable Focal Length”, *Image and Vision Computing*, no. 5-6, vol. 20, March 2002, pp. 415-426.

- Sturm P. F , Maybank S. J (2010) – „ On plane-based camera calibration: a general algorithm, singularities, applications”, In Proceedings of the IEEE Conference on Computer Vision and Pattern Recognition (CVPR), volume 1, pp. 432–437.
- Sturm P., et al. (2011) - Camera Models and Fundamental Concepts Used in Geometric Computer Vision, Foundations and Trends in Computer Graphics and Vision archive, Volume 6 Issue 1–2, Now Publishers Inc. Hanover, MA, USA.
- Sutton M., Orteu J.J., Schreier H. (2009) – „Image Correlation for Shape, Motion and Deformation Measurements”, Springer, ISBN 978-0-387-78746-6.
- Symon K. R. (1971) – “Mechanics”, 3rd ed., Reading, USA: Addison-Wesley.
- Taylor G., Kleeman L. (2006) – „Visual Perception and Robotic Manipulation”, Springer Tracts in Advanced Robotics, Vol. 26, ISBN 978-3-540-33455-2.
- Telea, D. C., A.N. (2002) - „Roboți”, Cluj Napoca, Editura Dacia.
- Tell D. (2002) – „Wide baseline matching with applications to visual servoing”, PhD thesis, Computational Vision and Active Perception Laboratory (CVAP), Royal Institute of Technology, June, Stockholm, Sweden.
- ThomasNet (2012) – “PC-based Machine Vision Versus Smart Camera Systems.” Disponibil la: <http://www.thomasnet.com/articles/automation-electronics/smart-camera-versus-pc-based-machine>. Accesat 03.10.2012.
- Torralba A., Fergus R., Freeman W. T., (2008) - „80 million tiny images: a large data set for nonparametric object and scene recognition”, IEEE Transactions on Pattern Analysis and Machine Intelligence, vol. 30, no. 11, pp. 1958–70.
- Tsai D.-M., Tsai Y. H., (2002) – „Rotation-invariant pattern matching with color ring-projection”. Pattern Recognition 35, 131-141.
- Tsai R. Y. (1986) – „An Efficient and Accurate Camera Calibration Technique for 3D Machine Vision”, Proceedings CVPR’86, Miami Beach, Florida, June 1986, pp. 364-374.
- Tsai R. Y. (1987) – „ A Versatile Camera Calibration Technique for High-Accuracy 3D Machine Vision Metrology Using Off-the-Shelf Cameras and Lenses”, IEEE Journal of Robotics and Automation, vol. RA-3, No.4, August 1987, pp. 323-344.
- Tzimiropoulos G., Agryriou V., Stathaki T. (2008) - “Symmetry detection using frequency domain motion estimation techniques”, IEEE International Conference on Acoustics, Speech and Signal Processing, ICSP 2008, pp. 861-864.
- Ude A. (2010) – „Robot Vision”, InTech, ISBN 978-953-307-077-3.
- Viola P., Jones M., (2004) - „Robust real-time object detection”, Intl. J. Computer Vision, 57(2), pp.137–154.
- VISION, E. S. M. (2012) - "Robot guided valve inspection". Disponibil la : <http://www.esmvision.eu/cognex/application/application-in-your-industry/automotive/automotive-page-9/robot-guided-valve-inspection/>. Accesat 03.03. 2012.

- VISION, E. S. M. (2012) - "High speed bin-picking". Disponibil la :<http://www.esmvision.eu/cognex/>. Accesat în 05.01.2011.
- Vlaicu, A. (1997) – „Prelucrarea digitală a imaginilor”, Cluj Napoca, Editura Albastră
- Vona M., Quigley K., Rus D. (2010) – “Eye-In-Hand Visual Servoing with a 4-Joint Robot Arm. An Introductory Robotics Workshop at MIT CSAIL”, disponibil la: <http://groups.csail.mit.edu/drl/wiki/images/f/f2/VisualServoing.pdf>. Accesat în 02.10.2012.
- Wang L., Shi J., Song G., Shen I., (2007) - „Object Detection Combining Recognition and Segmentation”, ACCV 1, Vol. 4843 Springer, pp. 189-199.
- Wang L.L., Tsai W.H. (1991) – „Camera Calibration by Vanishing Lines for 3-D Computer Vision”, IEEE Transactions, Pattern Analysis and Machine Intelligence, ISSN 0162-8828, Volume 13, Issue 4, Pag. 370-376.
- Wei G.-Q., Ma S. D., Implicit and explicit camera calibration: Theory and experiments”, IEEE Transactions on Pattern Analysis and Machine Intelligence, 16(5), pp. 469 – 480.
- Weng J., Cohen P., Herniou M. (1992) – „ Camera calibration with distortion models and accuracy evaluation”, IEEE Transactions on Pattern Analysis and Machine Intelligence, vol. 14, 1992, pp. 965-980.
- Wernholt, E. (2007) – „Multivariable Frequency-Domain Identification of Industrial Robots”, Department of Electrical Engineering. Linköping, Sweden, Linköping University. Dissertation: 224.
- Wong K. Y., Mendonca P., Cipolla R. (2003) – „Camera Calibration from Surfaces of Revolution”, IEEE Transactions, Pattern Analysis and Machine Intelligence, ISSN 0162-8828, Volume 25, Issue 2, pp. 147 – 161.
- Yang J., Zhang M., Wang Y., Shang Y. (2007) – “A Monocular Visual Servoing Control System for Mobile Robot”, Automation and Logistics, 2007 IEEE International Conference on Topic(s) Computing & Processing (Hardware/Software); Robotics & Control Systems; Signal Processing & Analysis; Transportation, pp. 574 – 579.
- Yu Shi, Real F. B. D. (2010) - „Smart Cameras: Fundamentals and Classification”, Springer, ISBN 978-1-4419-0952-7, pp. 19-34.
- Zamperoni, P. (1995) – „Image Enhancement”, Advances in Imaging and Electron Physics 92, pp.1-77.
- Zhang Z. (2004) – „Camera Calibration With One-Dimensional Objects”, IEEE Transactions, Pattern Analysis and Machine Intelligence, ISSN 0162-8828, Volume 26, Issue 7, pp. 892-899.

Zhang Z. (2008) – „A Flexible New Technique for Camera Calibration”, IEEE Transactions, Pattern Analysis and Machine Intelligence, ISSN 0162-8828, Volume 22, Issue 11, pp. 1330 – 1334.

Zielke T., Brauckmann M., Von-Seelen W. (1993) - „Intensity and edge based symmetry detection with application to car following”, *CVGIP: Image Understanding*, vol. 58, pp. 177-190.

Zisopol, D. G. (2006) - „Roboți industriali”, Ploiești, Editura Universității Petrol-Gaze din Ploiești.

Anexe

Anexa 1: Evoluția roboților industriali

În anul 1954 George Devol a proiectat primul robot cu acționare hidraulică, iar ulterior în 1956 împreună cu Joseph Engelberger înființează „Unimation INC.” prima firmă de fabricare a roboților. Primul produs al acestei firme este un prototip de braț robotic instalat în cadrul fabricii General Motors în 1959, iar în 1961 este comercializat în urma patentării și este utilizat în cadrul aceleiași firme ca robot industrial într-o linie de asamblare pentru preluarea de semifabricate de la o mașină de turnat sub presiune (Kovacs F. V. 2000), (Mathia 2010).

În 1960 proiectanții Harry Johnson și Veljko Milenkovic realizează pentru corporația americană AMF primul robot în coordonate cilindrice cu acționare pneumatică numit Versatran (Kovacs F. V. 2000), (Mathia 2010).

În 1968 la institutul de cercetare de la Stanford (SRI - Stanford Research Institute) este construit un robot mobil dotat cu vedere artificială numit „Shakey” ce este comandat de un calculator de dimensiunea unei camere. Anul următor profesorul Victor Scheinman realizează un braț robotic numit „Stanford Arm” acționat electric și comandat de un calculator (Telea 2002).

În 1973 firma KUKA din Germania dezvoltă primul robot cu șase axe acționate electromecanic numit „Famulus”, iar firma japoneză Hitachi realizează primul robot cu vedere artificială utilizat pentru obiecte aflate în mișcare (înșuruba și deșuruba șuruburi în piese) (Zisopol 2006).

Anul următor la firma Cincinnati Milacron Corporation este dezvoltat de către Richard Hohn robotul T3 intitulat „The Tomorrow Too”. Acesta este cu acționare hidraulică și controlat cu ajutorul unui minicomputer (Robotics 2005).

În 1974 sunt produși primii roboți industriali cu acționare electrică integrală de firmă suedeză ASEA. Controlerul S1 al acestor roboți a fost primul care a utilizat un microprocesor Intel pe 8 biți. Primul model al acestei familii de roboți „IRB6” a fost utilizat de firma Magnussons pentru ceruirea și lustruirea unor țevi din oțel inoxidabil (Zisopol 2006).

În 1978 firma Vicarm a lui Victor Scheinman preluată de Unimation dezvoltă robotul PUMA (Programmable Universal Machine for Assembly) pentru General Motors care îl utilizează la o linie de producție pentru manipularea unor piese de dimensiuni reduse (Mathia 2010).

Anul următor Hiroshi Makino, de la Universitatea Yamanashi din Japonia, dezvoltă robotul SCARA (Selective Compliance Assembly Robot Arm –braț robotic pentru asamblare cu complianță selectivă) (Kovacs F. V. 2000).

În România în 1980 apare primul robot industrial „Rip 6.3” de tip ASEA construit la întreprinderea Automatica București sub coordonarea I.C.P.T.C.M. București în cadrul unui program național (Iordăchiță 1997).

În 1981 este realizat primul braț articulat robotic de tip portal de către firma PaR Systems din Statele Unite ale Americi (SUA) (Zisopol 2006).

În anul 1982, la Timișoara, în cadrul institutului Politehnic „Traian Vuia” apare primul robot de concepție integrală românească „REMT-1” realizat de către colectivul de robotică condus de regretatul profesor Francisc Kovacs. Acest robot a fost folosit la Electromotor Timișoara în cadrul unei celule de prelucrare prin așchiere a unei familii de arbori (Richard 2005), (Kruachottikul 2012).

În 1984 apare „AdeptOne” primul robot de tip SCARA cu acționare directă utilizând doar motoare electrice (lipsesc transmisiile mecanice din cadrul sistemului de acționare) realizat de firma Adept din SUA.

În anul 1985 firma KUKA introduce un nou tip de robot industrial a cărui formă este de tip „Z” (Zisopol 2006).

În 1987 Institutul Politehnic „Traian Vuia” Timișoara și IMMUM Baia Mare realizează un manipulator sincron – MS 500 expus la TIB ’87 și distins cu Medalia de aur iar anul următor realizează un robot portal „ROPOS 50” Expus la TIB ’88 și distins cu tot Medalia de aur (Iordăchiță 1997).

În 1998 firma suedeză ABB realizează, pe baza proiectului lui Reymond Clavel de la Federal Institute of Technology of Lausanne (EPFL), cel mai rapid robot utilizat în operațiile industriale de tip „Pick and Place”. Robotul intitulat „FlexPicker” este capabil să apuce 120 de obiecte într-un minut respectiv să manipuleze (apucare/eliberare) obiecte cu o viteză de 10m/s utilizând un sistem de vedere artificială (Zisopol 2006).

În 2006 este dezvoltat de către firma germană KUKA în colaborare cu Institutul de Robotică și Mecatronică din Germania primul robot de tip „Light Weight Robot”. Robotul este unul portabil datorită faptului că are o greutate de 16 kg, structura sa externă fiind realizată din aluminiu, și este capabil să ridice obiecte de până la 7 kg (Zisopol 2006).

În 2010 firma japoneză Fanuc lansează primul robot dotat cu programul de învățare și control a vibrațiilor (Learning Vibration Control Software - LVC) care conferă robotului o precizie în poziționare ridicată datorită nivelului de vibrații scăzut la viteze și accelerații mari.

Anul următor, în 2011, firma suedeză ABB lansează robotul industrial Frida prevăzut cu doua brațe flexibile, sistem de vedere artificial și un controler inteligent de tip IRC5 destinat să fie utilizat pentru manipularea pieselor mici în sistemele de fabricație flexibile.

Anexa 2: Codul sursă, în Matlab, pentru metoda Tsai de calibrare a camerelor video.

```

% #####Cristian Pop - student Drd #####
%
%           CALIBRAREA UNEI CAMERE VIDEO
%           pe baza metodei lui Tsai
%
%
% Date de intrare:
% * Coordonatele 3D ale punctelor raportate la un sistem de referinta
% global = fisier text "CoordonateA8Pct3D.txt".
% * Coordonatele 2D ale punctelor raportate la sistemul de referinta al
% imaginii = fisier text "CoordonateA8Pct2D.txt".
% * Se presupune centrul imaginii cunoscut.
% Date de iesire:
% * Parametri extrinseci ai camerei video (matricea de rotatie si de
% translatie).
% * Parametri intrinseci ai camerei video (distanța focala, raportul de
% aspect).
#####
%%
function [MatRotatie, MatTranslatie, DistanțaFocala] = CalibrareMD7(~,
~)
% Icarcarlea fisierul text cu coordonatele 3D ale punctelor
[MatPct3D]=textread('CoordonateA8Pct3D.txt');
% Determina marimea matrici coordonatelor 3D
[NrRand3D, NrCol3D]=size(MatPct3D);
% Verifica daca matricea este de ordinul nx3
if(NrCol3D~=3)
    error('Matricea coordonatelor 3D nu este formata din trei
coloane.');
```

```

% Construiește matricea A corespunzătoare sistemului omogen de N
ecuatii
% liniare. Dacă  $N \geq 7$ , iar punctele N nu sunt coplanare, rangul lui A
este 7
% iar sistemul  $Av=0$  are o soluție netrivială (nebanală).
A=[xim.*Xw xim.*Yw xim.*Zw xim.*Zw -yim.*Xw -yim.*Yw -yim.*Zw -yim];
%% SVD din A
% Descompunerea Matricii A utilizând metoda "Descompunerea Valorilor
% Singulare".
[S M D]=svd(A) % S=stanga, M=mijloc, D=dreapta
%% Vectorul v
% Definiție vectorului celor opt necunoscute independente.
v=D(:,end);
v1=v(1,1);
v2=v(2,1);
v3=v(3,1);
v5=v(5,1);
v6=v(6,1);
v7=v(7,1);
%% Gama și alpha
% Determinarea factorului de scalare și a raportului de aspect.
gamma=sqrt(v1^2+v2^2+v3^2);
alpha=sqrt(v5^2+v6^2+v7^2)/gamma;
%% Determinare parțială R și T
% Pe baza celor cunoscute până în momentul de față putem determina
primele
% două rânduri ale matricii de rotație R și primii doi termeni ai
vectorului
% de translație T
% Construiește o matrice de rotație de tip 3x3 care să fie populată cu
% elemente cu valoarea zero
R=zeros(3,3);
R(1,:)=v(5:7,1)/(alpha*gamma);
R(2,:)=v(1:3)/gamma;
R(3,:)=R(1,:).*R(2,:);
T=zeros(3,1);
T(1)=v(8,1)/gamma;
T(2)=v(4,1)/gamma;
%% Ortogonalitatea lui R
% Se dorește impunerea ortogonalității matricii de rotație astfel încât
%  $R \cdot R^t = I_3$ . În acest scop se utilizează metoda SVD în vederea
descompunerii
% matricii de rotație R în  $U_1, D_1, V_1$ . Matricea  $D_1$  se înlocuiește cu  $I_3$ .
I3=eye(3);
[U1 D1 V1]=svd(R);
R=U1*I3*V1';
%% Semnul lui gamma
% Se dorește determinarea semnului necunoscut al factorului de scalare
% gamma în vederea estimării definitive a parametrilor.
r11=R(1,1);
r12=R(1,2);
r13=R(1,3);
r21=R(2,1);
r22=R(2,2);
r23=R(2,3);

```

```

x=MatPct2D(1,1);
y=MatPct2D(1,2);
X=MatPct3D(1,1);
Y=MatPct3D(1,2);
Z=MatPct3D(1,3);
semnx=x*(r11*X+r12*Y+r13*Z+T(1));
semny=y*(r21*x+r22*Y+r23*Z+T(2));
if semnx>0
    smxr=-1;
else
    smxr=1;
end
if semnx>0
    smxt=-sign(T(1));
else
    smxt=sign(T(1));
end
if semny>0
    smyr=-1;
else
    smyr=1;
end
if semny>0
    smyt=-sign(T(2));
else
    smyt=sign(T(2));
end
%% Matricea R si T partial
% Se reface matricea de rotatie si cele doua componente ale vectorului
de
% translatie cu ajutorul semnelui lui gama cunoscut
R(1,:)=R(1,:).*smxr;
R(2,:)=R(2,:).*smyr;
T(1)=smxt*T(1);
T(2)=smyt*T(2);
%% Determinarea Tz si f
% Se doreste determinarea parametrilor ramasi si anume ultimului termen
al
% vectorului de translatie Tz si determinarea distantei focale
dealungul
% axei x in pixeli fx, folosind metoda celor mai mici patrate (least
% squares solution).
B=[xim R(1,1)*Xw+R(1,2)*Yw+R(1,3)*Zw+T(1)];
b=[-xim.*(R(3,1)*Xw+R(3,2)*Yw+R(3,3)*Zw)];
Bpsi=pinv(B);
C=Bpsi*b;
T(3)=C(1);
fx=C(2);
%% Parametri rezultati
% Se doreste exprimarea explicita a parametrilor extrinseci si
intrinseci
MatRotatie=R;
MatTranslatie=T;
DisFocala=fx;

```

Anexa 3: Codul sursă, în Matlab, pentru metoda Faugeras de calibrare a camerelor video.

```
#####Cristian Pop - Student Drd.#####
%
%           CALIBRAREA UNEI CAMERE VIDEO
%           PE BAZA METODEI LUI FAUGERAS
%
% Date de intrare: Doua fisier text ce contine coordonatele unor puncte
din
%                               realitate raportate la un sistem de referinta
global fix
%                               si repectiv coordonatele in pixeli ale
corespondentelor
%                               lor in planul imagine.
% Date de iesire: Parametri intrinseci si extrinseci
#####
%%
function [MR, MT, MC, Q, F, O, M3D2D, Er]= CalibrareMS5(~, ~)
% Citeste cele doua fisiere de coordonate
[m3D]=textread('CoordonateA8Pct3D.txt');
[nR3D, nC3D]=size(m3D);
if(nC3D~=3)
    error('Matricea 3D nu detine trei coloane.');
```

```
end
Xw = m3D(:,1);
Yw = m3D(:,2);
Zw = m3D(:,3);
[m2D]=textread('CoordonateA8Pct2D.txt');
[nR2D, nC2D]=size(m2D);
if(nC2D~=2)
    error('Matricea 2D nu detine doua coloane.');
```

```
end
xim=m2D(:,1);
yim=m2D(:,2);
if(nR3D~=nR2D)
    error('Verifica ca numarul punctelor 2d si 3d sa fie acelasi.');
```

```
end
% Se va nota matricea de calibrare cu M;
% ecuatia lineara va fi de forma AV=0;
% unde A este o matrice de tipul 2nx12
% iar V este un vector format din 12 necunoscute.
%%
o = ones(size(xim));
z = zeros(size(xim));
RandImparA = [ Xw Yw Zw o z z z z -xim.*Xw -xim.*Yw -xim.*Zw -xim ];
RandParA = [ z z z z Xw Yw Zw o -yim.*Xw -yim.*Yw -yim.*Zw -yim ];
A=[RandImparA; RandParA]
[U, S, V] = svd(A,0);
m = V(:,end);
M = reshape(m,4,3)';
MC=M;
q1=M(1,1:3);
q2=M(2,1:3);
q3=M(3,1:3);
```



```

q4=M(1:3,4);
gamma_abs=sqrt(M(3,1)^2 + M(3,2)^2 + M(3,3)^2);
M = M/gamma_abs;
inFata=1;
if inFata
    s = sign(M(3,4));
else
    s = -sign(M(3,4));
end
%% Calcularea lui T_z
T(3) = s*M(3,4);
R = zeros(3,3);
R(3,:)=s*M(3,1:3);
% se calculeaza qi;
q1 = M(1,1:3)';
q2 = M(2,1:3)';
q3 = M(3,1:3)';
q4 = M(1:3,4);
% Calcularea centrul proiectiei ox si oy
ox = q1'*q3;
oy = q2'*q3;
% Calcularea distantei focale dealungul lui xim si yim respectiv fx si
fy
fx=sqrt(q1'*q1-ox^2);
fy=sqrt( q2'*q2 - oy^2 );
%%
R(1,:) = s*(ox*M(3,1:3) - M(1,1:3) ) / fx;
R(2,:) = s*(oy*M(3,1:3) - M(2,1:3) ) / fy;
T(1) = s*(ox*M(3,4) - M(1,4) ) / fx;
T(2) = s*(oy*M(3,4) - M(2,4) ) / fy;
T = T';
MT=T;
%%
[U,D,V] = svd(R);
R = U*V';
MR=R;
nou2D=zeros(nR3D,2);
for i=1:1:nR3D
    num_x=M(1,1)*m3D(i,1) + M(1,2)*m3D(i,2) + M(1,3)*m3D(i,3) + M(1,4);
    num_y=M(2,1)*m3D(i,1) + M(2,2)*m3D(i,2) + M(2,3)*m3D(i,3) + M(2,4);
    den=M(3,1)*m3D(i,1) + M(3,2)*m3D(i,2) + M(3,3)*m3D(i,3) + M(3,4);
    nou2D(i,1)=num_x/den;
    nou2D(i,2)=num_y/den;
end
Q=[q1;q2;q3;q4];
F=[fx fy];
O=[ox oy];
M3D2D=nou2D;
errorDiff=M3D2D-m2D;
er_x=mean(errorDiff(:,1));
er_y=mean(errorDiff(:,2));
Er=[er_x er_y];

```

Anexa 4: Programul în Matlab pentru aplicația de inspectare a suprafețelor

```

function varargout = atreiaC(varargin)
% ATREIAC M-file for atreiaC.fig
%   ATREIAC, by itself, creates a new ATREIAC or raises the existing
%   singleton*.
%   H = ATREIAC returns the handle to a new ATREIAC or the handle to
%   the existing singleton*.
%   ATREIAC('CALLBACK',hObject,eventData,handles,...) calls the
local
%   function named CALLBACK in ATREIAC.M with the given input
arguments.
%   ATREIAC('Property','Value',...) creates a new ATREIAC or raises
the
%   existing singleton*. Starting from the left, property value
pairs are
%   applied to the GUI before atreiaC_OpeningFcn gets called. An
%   unrecognized property name or invalid value makes property
application
%   stop. All inputs are passed to atreiaC_OpeningFcn via varargin.
%   *See GUI Options on GUIDE's Tools menu. Choose "GUI allows only
one
%   instance to run (singleton)".
% See also: GUIDE, GUIDATA, GUIHANDLES
% Edit the above text to modify the response to help atreiaC
% Last Modified by GUIDE v2.5 04-Feb-2010 23:53:27
% Begin initialization code - DO NOT EDIT
gui_Singleton = 1;
gui_State = struct('gui_Name',       mfilename, ...
                  'gui_Singleton',  gui_Singleton, ...
                  'gui_OpeningFcn', @atreiaC_OpeningFcn, ...
                  'gui_OutputFcn',  @atreiaC_OutputFcn, ...
                  'gui_LayoutFcn',  [] , ...
                  'gui_Callback',   []);
if nargin && ischar(varargin{1})
    gui_State.gui_Callback = str2func(varargin{1});
end
if nargin
    [varargout{1:nargout}] = gui_mainfcn(gui_State, varargin{:});
else
    gui_mainfcn(gui_State, varargin{:});
end
% End initialization code - DO NOT EDIT
% --- Executes just before atreiaC is made visible.
function atreiaC_OpeningFcn(hObject, eventdata, handles, varargin)
% This function has no output args, see OutputFcn.
% hObject    handle to figure
% eventdata  reserved - to be defined in a future version of MATLAB
% handles    structure with handles and user data (see GUIDATA)
% varargin   command line arguments to atreiaC (see VARARGIN)
% Choose default command line output for atreiaC
handles.output = hObject;
% Update handles structure

```

```

guidata(hObject, handles);
% UIWAIT makes atreiaC wait for user response (see UIRESUME)
% uiwait(handles.figure1);
% --- Outputs from this function are returned to the command line.
function varargout = atreiaC_OutputFcn(hObject, eventdata, handles)
% varargout cell array for returning output args (see VARARGOUT);
% hObject handle to figure
% eventdata reserved - to be defined in a future version of MATLAB
% handles structure with handles and user data (see GUIDATA)
% Get default command line output from handles structure
varargout{1} = handles.output;
% --- Executes on button press in incarca_button1.
function incarca_button1_Callback(hObject, eventdata, handles)
% hObject handle to incarca_button1 (see GCBO)
% eventdata reserved - to be defined in a future version of MATLAB
% handles structure with handles and user data (see GUIDATA)
[nume,cale]=uigetfile('*.jpg');
I1=imread(strcat(char(cale),char(nume)));
subplot(3,3,[2 3]);
himage=I1;
iptsetpref('ImshowAxesVisible','on')
Imshow(himage,'DisplayRange',[]);
hold on;
title('prima imagine');
% --- Executes on button press in incarca_button2.
function incarca_button2_Callback(hObject, eventdata, handles)
% hObject handle to incarca_button2 (see GCBO)
% eventdata reserved - to be defined in a future version of MATLAB
% handles structure with handles and user data (see GUIDATA)
[nume,cale]=uigetfile('*.jpg');
I2=imread(strcat(char(cale),char(nume)));
subplot(3,3,[5 6]);
himage=I2;
iptsetpref('ImshowAxesVisible','on')
Imshow(himage,'DisplayRange',[]);
title('a doua imagine');
% --- Executes on button press in Etalonare_button.
function Etalonare_button_Callback(hObject, eventdata, handles)
% hObject handle to Etalonare_button (see GCBO)
% eventdata reserved - to be defined in a future version of MATLAB
% handles structure with handles and user data (see GUIDATA)
etalonare=get(handles.Edit_etalonare,'String');
val_etalonare=str2double(etalonare);
[dr,st]=ginput(2);
    dist_pixeli=sqrt((dr(1)-dr(2))^2+(st(1)-st(2))^2);
    marime_pixeli=dist_pixeli/val_etalonare;
    handles.Etalonare_push=marime_pixeli;
guidata(hObject,handles)
function Edit_etalonare_Callback(hObject, eventdata, handles)
% hObject handle to Edit_etalonare (see GCBO)
% eventdata reserved - to be defined in a future version of MATLAB
% handles structure with handles and user data (see GUIDATA)
% Hints: get(hObject,'String') returns contents of Edit_etalonare as
text

```

```

%          str2double(get(hObject,'String')) returns contents of
Edit_etalonare as a double
% --- Executes during object creation, after setting all properties.
function Edit_etalonare_CreateFcn(hObject, eventdata, handles)
% hObject    handle to Edit_etalonare (see GCBO)
% eventdata  reserved - to be defined in a future version of MATLAB
% handles    empty - handles not created until after all CreateFcns
called
% Hint: edit controls usually have a white background on Windows.
%         See ISPC and COMPUTER.
if    ispc    &&    isequal(get(hObject,'BackgroundColor'),
get(0,'defaultUiControlBackgroundColor'))
    set(hObject,'BackgroundColor','white');
end
% --- Executes on button press in crop_button.
function crop_button_Callback(hObject, eventdata, handles)
% hObject    handle to crop_button (see GCBO)
% eventdata  reserved - to be defined in a future version of MATLAB
% handles    structure with handles and user data (see GUIDATA)
SelecteazaPunct(hObject, eventdata, handles);
function SelecteazaPunct(hObject, eventdata, handles)
% hObject    handle to select (see GCBO)
% eventdata  reserved - to be defined in a future version of MATLAB
% handles    structure with handles and user data (see GUIDATA)
[p1,p2]=ginput(1);
I3 = imread('poza2.jpg');
x0=p1;
y0=p2-p2;
xl=150*handles.Etalonare_push;
I4 = imcrop(I3,[x0 y0 xl 2448]);
subplot(3,3,[5 6]);
himage=I4;
iptsetpref('ImshowAxesVisible','on')
Imshow(himage,'DisplayRange',[]);
hold on;
title('a doua imagine taiata');
save('mySave.mat', 'I4')
% --- Executes on button press in lipeste_button.
function lipeste_button_Callback(hObject, eventdata, handles)
% hObject    handle to lipeste_button (see GCBO)
% eventdata  reserved - to be defined in a future version of MATLAB
% handles    structure with handles and user data (see GUIDATA)
StitchImages(hObject, eventdata, handles);
function StitchImages(hObject, eventdata, handles)
% hObject    handle to btnStitch (see GCBO)
% eventdata  reserved - to be defined in a future version of MATLAB
% handles    structure with handles and user data (see GUIDATA)
global stitchedImage;    % Stitched_Image_Click_Event needs to use
this array.
I5=imread('poza1.jpg');
load('mySave.mat', 'I4');
I6=I4;
stitchedImage = [I5 I6];
subplot(3,3,[8 9]);
I7=stitchedImage;

```

```

iptsetpref('ImshowAxesVisible','on')
Imshow(I7,'DisplayRange',[]);
hold on;
title('Imaginea rezultata');
save('mySave.mat', 'I7');
% --- Executes on button press in salveaza_button.
function salveaza_button_Callback(hObject, eventdata, handles)
% hObject    handle to salveaza_button (see GCBO)
% eventdata  reserved - to be defined in a future version of MATLAB
% handles    structure with handles and user data (see GUIDATA)
% --- Executes on button press in ajustare_button.
function ajustare_button_Callback(hObject, eventdata, handles)
% hObject    handle to ajustare_button (see GCBO)
% eventdata  reserved - to be defined in a future version of MATLAB
% handles    structure with handles and user data (see GUIDATA)
load('mySave.mat', 'I7');
I=I7(:,:,1);
handles.im=I;
imshow(handles.im, 'DisplayRange',[])
I=handles.im;
imcontrast(gcf);
guidata(hObject,handles)
% --- Executes on slider movement.
function slider_tresh_Callback(hObject, eventdata, handles)
% hObject    handle to slider_tresh (see GCBO)
% eventdata  reserved - to be defined in a future version of MATLAB
% handles    structure with handles and user data (see GUIDATA)
% Hints: get(hObject,'Value') returns position of slider
%         get(hObject,'Min') and get(hObject,'Max') to determine range
of slider
nivel=get(handles.slider_tresh,'Value');
nivel=round(nivel);
bw1=handles.im<nivel;
imshow(bw1)
str=sprintf('%3d',round(nivel));
set(handles.edit_tresh,'String',nivel);
handles.bw=bw1;
%handles.im=bw1;
guidata(hObject,handles)
% --- Executes during object creation, after setting all properties.
function slider_tresh_CreateFcn(hObject, eventdata, handles)
% hObject    handle to slider_tresh (see GCBO)
% eventdata  reserved - to be defined in a future version of MATLAB
% handles    empty - handles not created until after all CreateFcns
called
% Hint: slider controls usually have a light gray background.
if isequal(get(hObject,'BackgroundColor'),
get(0,'defaultUicontrolBackgroundColor'))
    set(hObject,'BackgroundColor',[.9 .9 .9]);
end
function edit_tresh_Callback(hObject, eventdata, handles)
% hObject    handle to edit_tresh (see GCBO)
% eventdata  reserved - to be defined in a future version of MATLAB
% handles    structure with handles and user data (see GUIDATA)
% Hints: get(hObject,'String') returns contents of edit_tresh as text

```

```

%           str2double(get(hObject,'String')) returns contents of
edit_tresh as a double
set(handles.edit_tresh,'Value',nivel);
guidata(hObject,handles)
% --- Executes during object creation, after setting all properties.
function edit_tresh_CreateFcn(hObject, eventdata, handles)
% hObject    handle to edit_tresh (see GCBO)
% eventdata  reserved - to be defined in a future version of MATLAB
% handles    empty - handles not created until after all CreateFcns
called
% Hint: edit controls usually have a white background on Windows.
%           See ISPC and COMPUTER.
if         ispc         &&         isequal(get(hObject,'BackgroundColor'),
get(0,'defaultUicontrolBackgroundColor'))
    set(hObject,'BackgroundColor','white');
end
function edit_lung_Callback(hObject, eventdata, handles)
% hObject    handle to edit_lung (see GCBO)
% eventdata  reserved - to be defined in a future version of MATLAB
% handles    structure with handles and user data (see GUIDATA)
% Hints: get(hObject,'String') returns contents of edit_lung as text
%           str2double(get(hObject,'String')) returns contents of
edit_lung as a double
%lungime=handles.edit_lung;
%set(handles.edit_lung,'Value',lungime)
%guidata(hObject,handles)
% --- Executes during object creation, after setting all properties.
function edit_lung_CreateFcn(hObject, eventdata, handles)
% hObject    handle to edit_lung (see GCBO)
% eventdata  reserved - to be defined in a future version of MATLAB
% handles    empty - handles not created until after all CreateFcns
called
% Hint: edit controls usually have a white background on Windows.
%           See ISPC and COMPUTER.
if         ispc         &&         isequal(get(hObject,'BackgroundColor'),
get(0,'defaultUicontrolBackgroundColor'))
    set(hObject,'BackgroundColor','white');
end
function edit_unghi_Callback(hObject, eventdata, handles)
% hObject    handle to edit_unghi (see GCBO)
% eventdata  reserved - to be defined in a future version of MATLAB
% handles    structure with handles and user data (see GUIDATA)
% Hints: get(hObject,'String') returns contents of edit_unghi as text
%           str2double(get(hObject,'String')) returns contents of
edit_unghi as a double
% --- Executes during object creation, after setting all properties.
function edit_unghi_CreateFcn(hObject, eventdata, handles)
% hObject    handle to edit_unghi (see GCBO)
% eventdata  reserved - to be defined in a future version of MATLAB
% handles    empty - handles not created until after all CreateFcns
called
% Hint: edit controls usually have a white background on Windows.
%           See ISPC and COMPUTER.
if         ispc         &&         isequal(get(hObject,'BackgroundColor'),
get(0,'defaultUicontrolBackgroundColor'))

```

```

        set(hObject,'BackgroundColor','white');
    end
    % --- Executes on button press in Calibration_push.
    function Calibration_push_Callback(hObject, eventdata, handles)
    % hObject    handle to Calibration_push (see GCBO)
    % eventdata  reserved - to be defined in a future version of MATLAB
    % handles    structure with handles and user data (see GUIDATA)
    etalon=get(handles.Edit_etalon,'String');
    val_etalon=str2double(etalon);
    [re,ce]=ginput(2);
        dist_pixeli=sqrt((re(1)-re(2))^2+(ce(1)-ce(2))^2);
        scalare=dist_pixeli/val_etalon;
        handles.Calibration_push=scalare;
    guidata(hObject,handles)
    function Edit_etalon_Callback(hObject, eventdata, handles)
    % hObject    handle to Edit_etalon (see GCBO)
    % eventdata  reserved - to be defined in a future version of MATLAB
    % handles    structure with handles and user data (see GUIDATA)
    % Hints: get(hObject,'String') returns contents of Edit_etalon as text
    %         str2double(get(hObject,'String')) returns contents of
    Edit_etalon as a double
    % --- Executes during object creation, after setting all properties.
    function Edit_etalon_CreateFcn(hObject, eventdata, handles)
    % hObject    handle to Edit_etalon (see GCBO)
    % eventdata  reserved - to be defined in a future version of MATLAB
    % handles    empty - handles not created until after all CreateFcns
    called
    % Hint: edit controls usually have a white background on Windows.
    %         See ISPC and COMPUTER.
    if ispc && isequal(get(hObject,'BackgroundColor'),
    get(0,'defaultUicontrolBackgroundColor'))
        set(hObject,'BackgroundColor','white');
    end
    % --- Executes on selection change in popup_tip.
    function popup_tip_Callback(hObject, eventdata, handles)
    % hObject    handle to popup_tip (see GCBO)
    % eventdata  reserved - to be defined in a future version of MATLAB
    % handles    structure with handles and user data (see GUIDATA)
    % Hints: contents = get(hObject,'String') returns popup_tip contents as
    cell array
    %         contents{get(hObject,'Value')} returns selected item from
    popup_tip
    val = get(hObject,'Value');
    bw=handles.bw;
    switch val
        case 1
            [x1,y1]=ginput(2);
            y=-y1;x=ceil(x1);
            t1=handles.bw;
            m=(y(2)-y(1))/(x(2)-x(1));
            nr_p=x(2)-x(1);
            if nr_p<0
                for i=1:-1:nr_p
                    Y=abs(y(1)+m*i);
                    coord_x=(x(1)+i);

```

```

        coord_y=ceil(Y);
        t1(coord_y,coord_x)=1;
        coord_y=floor(Y);
        t1(coord_y,coord_x)=1;
    end
else
    for i=1:nr_p
        Y=abs(y(1)+m*i);
        coord_x=(x(1)+i);
        coord_y=ceil(Y);
        t1(coord_y,coord_x)=1;
        coord_y=floor(abs(Y));
        t1(coord_y,coord_x)=1;
    end
end
imshow(t1)
lungime=sqrt((x(1)-x(2))^2+(y(1)-y(2))^2);
lungime=lungime/handles.Calibration_push;
str=sprintf('%3d',lungime);
set(handles.edit_lung,'String',str)
unghi=atan(m);
str=sprintf('%3d',unghi);
set(handles.edit_unghi,'String',str)
case 2
[x1,y1]=ginput;
y=-y1;x=ceil(x1);
t1=handles.bw;
m=(y(2)-y(1))/(x(2)-x(1));
n=length(x);
lungime=0;
for i=1:2:n-1
    lungime=lungime+sqrt((x(i)-x(i+1))^2+(y(i)-y(i+1))^2);

    m0=(y(i+1)-y(i))/(x(i+1)-x(i));
nr_p=x(i+1)-x(i);
if nr_p<0
    for j=1:-1:nr_p
        Y=abs(y(i)+m0*j);
        coord_x=(x(i)+j);
        coord_y=ceil(Y);
        t1(coord_y,coord_x)=1;
        coord_y=floor(Y);
        t1(coord_y,coord_x)=1;
    end
else
    for j=1:nr_p
        Y=abs(y(i)+m0*j);
        coord_x=(x(i)+j);
        coord_y=ceil(Y);
        t1(coord_y,coord_x)=1;
        coord_y=floor(abs(Y));
        t1(coord_y,coord_x)=1;
    end
end
imshow(t1)

```



```

end
lungime=lungime/handles.Calibration_push;
str=sprintf('%ld',lungime);
set(handles.edit_lung,'String',str)
unghi=atand(m);
str=sprintf('%ld',unghi);
set(handles.edit_unghi,'String',str)
case 3
[x1,y1]=ginput;
y=-y1;x=ceil(x1);
t1=handles.bw;
n=length(x);
lungime=0;
for i=1:n-1
    lungime=lungime+sqrt((x(i)-x(i+1))^2+(y(i)-y(i+1))^2);

    m0=(y(i+1)-y(i))/(x(i+1)-x(i));
nr_p=x(i+1)-x(i);
if nr_p<0
    for j=1:-1:nr_p
        Y=abs(y(i)+m0*j);
        coord_x=(x(i)+j);
        coord_y=ceil(Y);
        t1(coord_y,coord_x)=1;
        coord_y=floor(Y);
        t1(coord_y,coord_x)=1;
    end
else
    for j=1:nr_p
        Y=abs(y(i)+m0*j);
        coord_x=(x(i)+j);
        coord_y=ceil(Y);
        t1(coord_y,coord_x)=1;
        coord_y=floor(abs(Y));
        t1(coord_y,coord_x)=1;
    end
end
end
imshow(t1)

end
lungime=lungime/handles.Calibration_push;
str=sprintf('%ld',lungime);
set(handles.edit_lung,'String',str)
set(handles.edit_unghi,'String','fisura este curbilinie')
end
guidata(hObject,handles)
% --- Executes during object creation, after setting all properties.
function popup_tip_CreateFcn(hObject,eventdata,handles)
% hObject    handle to popup_tip (see GCBO)
% eventdata  reserved - to be defined in a future version of MATLAB
% handles    empty - handles not created until after all CreateFcns
called
% Hint: popupmenu controls usually have a white background on Windows.
%         See ISPC and COMPUTER.

```

```

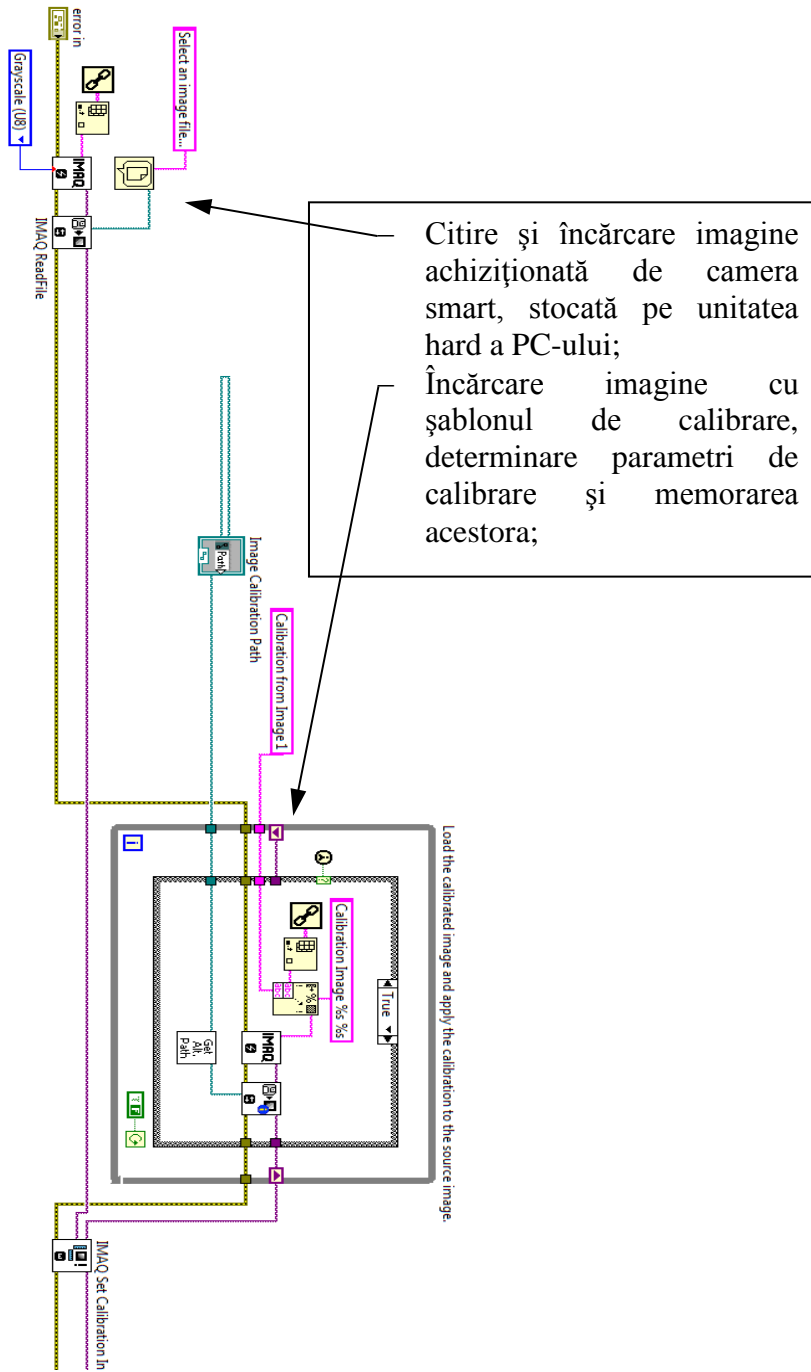
if ispc && isequal(get(hObject,'BackgroundColor'),
get(0,'defaultUiControlBackgroundColor'))
    set(hObject,'BackgroundColor','white');
end
% --- Executes on selection change in popup_corect.
function popup_corect_Callback(hObject, eventdata, handles)
% hObject    handle to popup_corect (see GCBO)
% eventdata  reserved - to be defined in a future version of MATLAB
% handles    structure with handles and user data (see GUIDATA)
% Hints: contents = get(hObject,'String') returns popup_corect contents
as cell array
%         contents{get(hObject,'Value')} returns selected item from
popup_corect
val = get(hObject,'Value');
bw=handles.bw;
handles.im=bw;
switch val
    case 1
        bw1=bwmorph(bw,'open');
    case 2
        bw1=bwmorph(bw,'close');
end
imshow(bw1)
handles.bw=bw1;
guidata(hObject,handles)
% --- Executes during object creation, after setting all properties.
function popup_corect_CreateFcn(hObject, eventdata, handles)
% hObject    handle to popup_corect (see GCBO)
% eventdata  reserved - to be defined in a future version of MATLAB
% handles    empty - handles not created until after all CreateFcns
called
% Hint: popupmenu controls usually have a white background on Windows.
%         See ISPC and COMPUTER.
if ispc && isequal(get(hObject,'BackgroundColor'),
get(0,'defaultUiControlBackgroundColor'))
    set(hObject,'BackgroundColor','white');
end
% --- Executes on button press in push_crop.
function push_crop_Callback(hObject, eventdata, handles)
% hObject    handle to push_crop (see GCBO)
% eventdata  reserved - to be defined in a future version of MATLAB
% handles    structure with handles and user data (see GUIDATA)
[In,rect]=imcrop(handles.bw);
q1=rect(1);q2=rect(2);q3=rect(3);q4=rect(4);
bw2=handles.bw;
bw2(1:q2,:)=0;bw2(:,1:q1)=0;bw2(q2+q4:end,:)=0;bw2(:,q1+q3:end)=0;
imshow(bw2)
% --- Executes on button press in reincarca_button.
function reincarca_button_Callback(hObject, eventdata, handles)
% hObject    handle to reincarca_button (see GCBO)
% eventdata  reserved - to be defined in a future version of MATLAB
% handles    structure with handles and user data (see GUIDATA)
I0=handles.im;
imshow(I0)
handles.bw=I0;

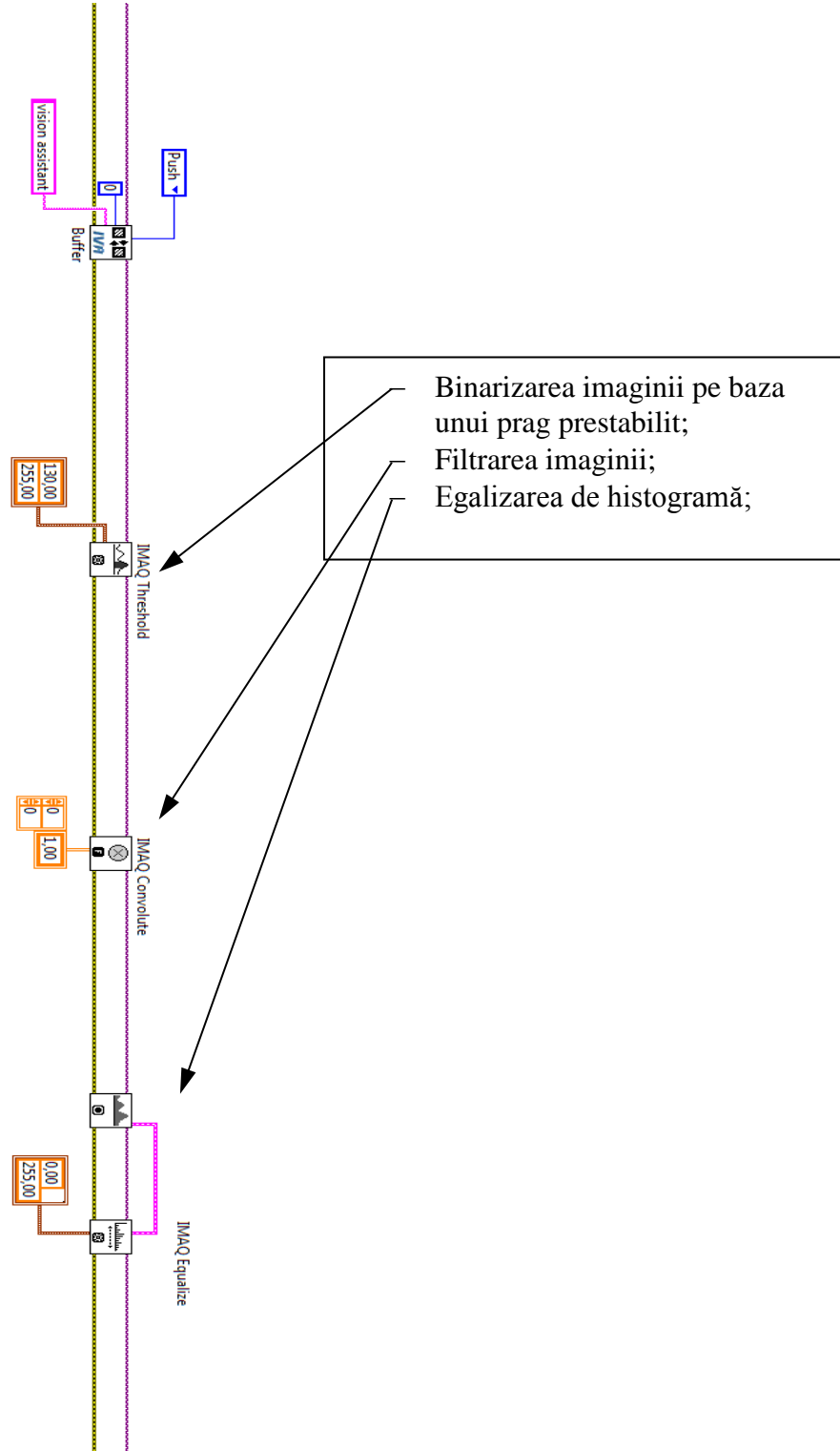
```

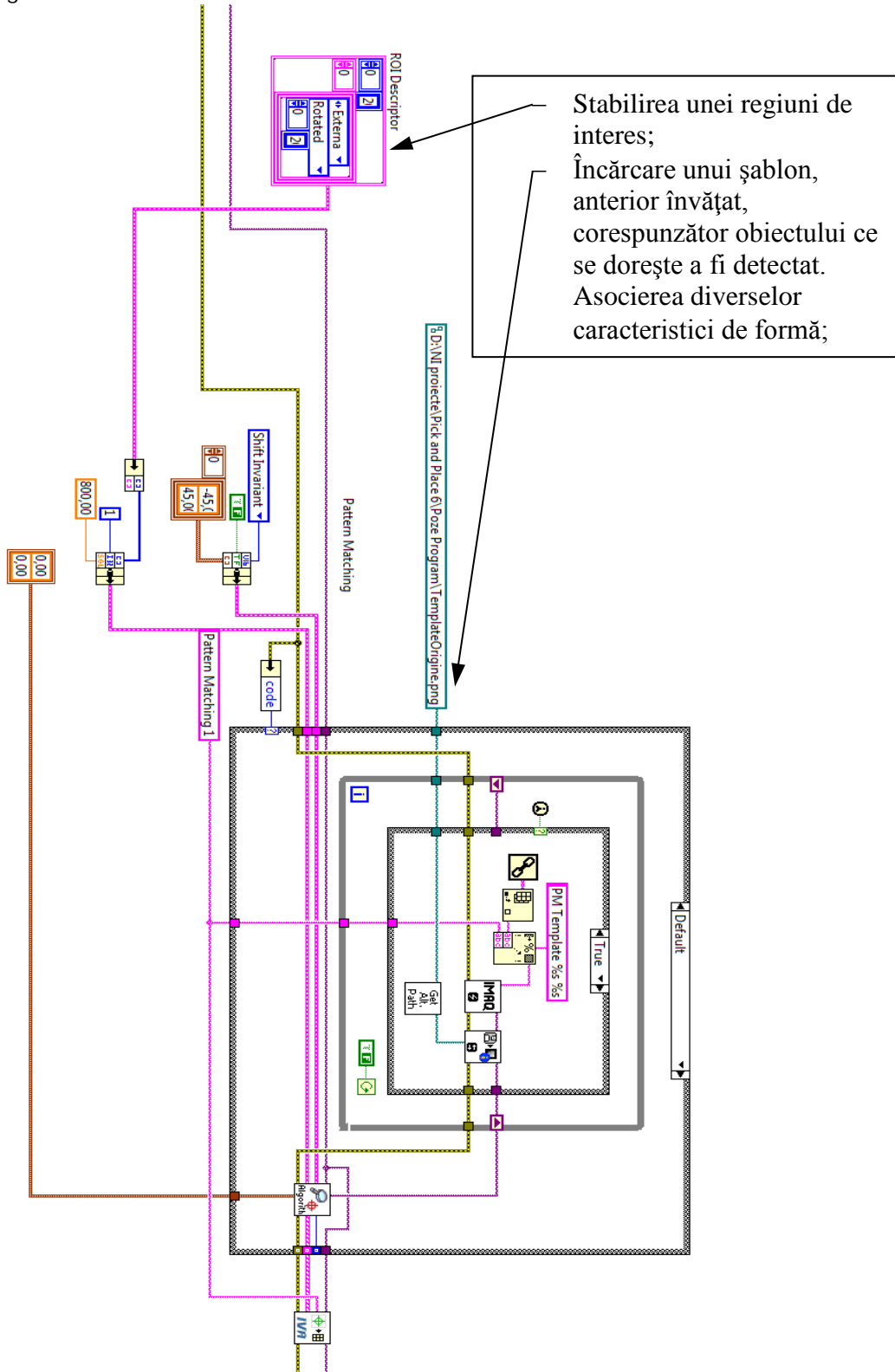
`guidata(hObject,handles)`

Anexa 5: Diagrama programului implementat în Labview, de control al unui robot cartezian, pe bază de imagini.

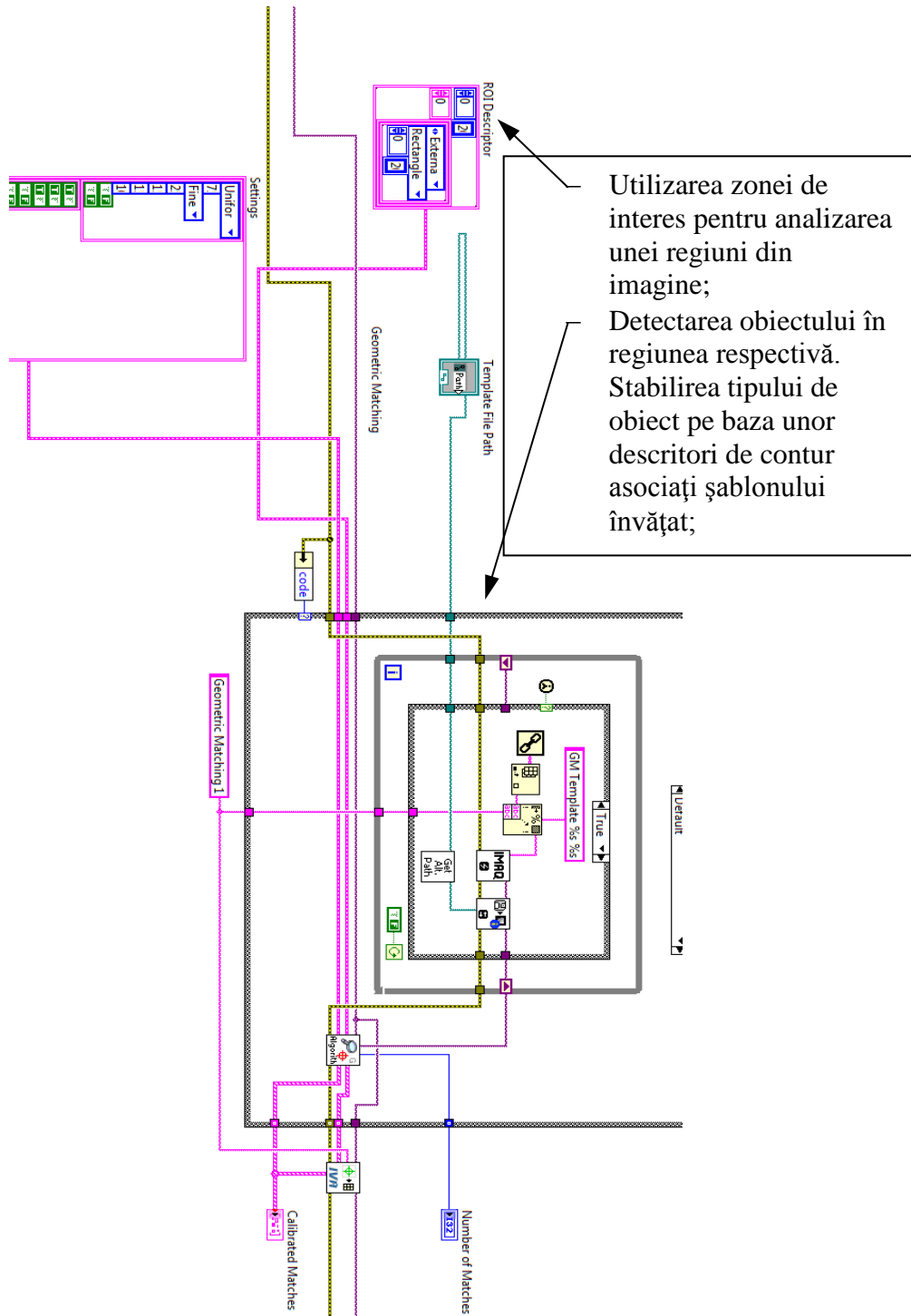
Pagina 1/5

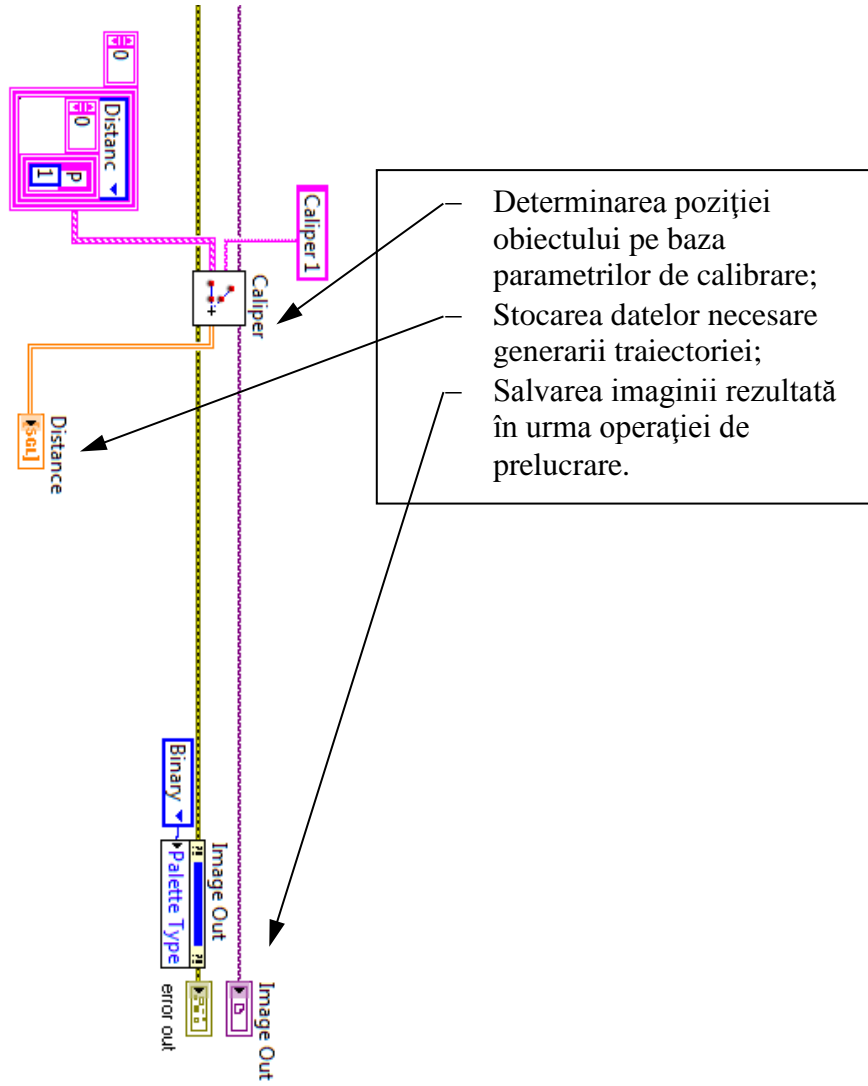






Stabilirea unei regiuni de interes;
 Încărcare unui șablon, anterior învățat, corespunzător obiectului ce se dorește a fi detectat.
 Asocierea diverselor caracteristici de formă;





Anexa 6: Programul pentru generarea fișierului „Traietorie.txt” necesar conducerii robotului

```

function varargout = Traietorie(varargin)
% TRAIECTORII M-file for traietorii.fig
% TRAIECTORII, by itself, creates a new TRAIECTORII or raises the
existing
% singleton*.
% H = TRAIECTORII returns the handle to a new TRAIECTORII or the handle
to
% the existing singleton*.
% TRAIECTORII('CALLBACK',hObject,eventData,handles,...) calls the local
% function named CALLBACK in TRAIECTORII.M with the given input
arguments.
% TRAIECTORII('Property','Value',...) creates a new TRAIECTORII or
raises the
% existing singleton*. Starting from the left, property value pairs
are
% applied to the GUI before traietorii_OpeningFcn gets called. An
% unrecognized property name or invalid value makes property
application
% stop. All inputs are passed to traietorii_OpeningFcn via varargin.
% *See GUI Options on GUIDE's Tools menu. Choose "GUI allows only one
% instance to run (singleton)".
% See also: GUIDE, GUIDATA, GUIHANDLES
% Edit the above text to modify the response to help traietorii
% Last Modified by GUIDE v2.5 28-Apr-2011 03:24:12
% Begin initialization code - DO NOT EDIT
gui_Singleton = 1;
gui_State = struct('gui_Name',       mfilename, ...
                  'gui_Singleton',  gui_Singleton, ...
                  'gui_OpeningFcn', @traietorii_OpeningFcn, ...
                  'gui_OutputFcn',  @traietorii_OutputFcn, ...
                  'gui_LayoutFcn',  [] , ...
                  'gui_Callback',   []);
if nargin && ischar(varargin{1})
    gui_State.gui_Callback = str2func(varargin{1});
end
if nargin
    [varargout{1:nargout}] = gui_mainfcn(gui_State, varargin{:});
else
    gui_mainfcn(gui_State, varargin{:});
end
% End initialization code - DO NOT EDIT
% --- Executes just before traietorii is made visible.
function traietorii_OpeningFcn(hObject, eventdata, handles, varargin)
% This function has no output args, see OutputFcn.
% hObject    handle to figure
% eventdata  reserved - to be defined in a future version of MATLAB
% handles    structure with handles and user data (see GUIDATA)
% varargin   command line arguments to traietorii (see VARARGIN)
% Choose default command line output for traietorii
handles.output = hObject;
% Update handles structure

```

```
guidata(hObject, handles);
% UIWAIT makes traiectionii wait for user response (see UIRESUME)
% uiwait(handles.figure1);
% --- Outputs from this function are returned to the command line.
function varargout = traiectionii_OutputFcn(hObject, eventdata, handles)
% varargout cell array for returning output args (see VARARGOUT);
% hObject handle to figure
% eventdata reserved - to be defined in a future version of MATLAB
% handles structure with handles and user data (see GUIDATA)
% Get default command line output from handles structure
varargout{1} = handles.output;
% --- Executes on button press in pushbutton1.
function pushbutton1_Callback(hObject, eventdata, handles)
% hObject handle to pushbutton1 (see GCBO)
% eventdata reserved - to be defined in a future version of MATLAB
% handles structure with handles and user data (see GUIDATA)
valx=str2num(get(handles.editx,'String'));
valy=str2num(get(handles.edity,'String'));
f=fopen('Traiectionie.txt','w');
N=10000;
for a=1:1:N
    x=0;
    y=0;
    z=a/N*(-150);
    fprintf(f,'%6f %6f %6f\n',x,y,z);
end
for b=1:1:N
    x=b/N*(valx);
    y=b/N*(valy);
    z=-150;
    fprintf(f,'%6f %6f %6f\n',x,y,z);
end
for c=1:1:N
    x=valx;
    y=valy;
    z=-150+(c/N*150);
    fprintf(f,'%6f %6f %6f\n',x,y,z);
end
for d=1:1:N
    x=valx*(d/N*N/d);
    y=valy*(d/N*N/d);
    z=0;
    fprintf(f,'%6f %6f %6f\n',x,y,z);
end
for e=1:1:N
    x=valx;
    y=valy;
    z=e/N*(-150);
    fprintf(f,'%6f %6f %6f\n',x,y,z);
end
for g=1:1:N
    x=valx-(g/N*valx);
    y=valy-(g/N*valy);
    z=-150;
    fprintf(f,'%6f %6f %6f\n',x,y,z);
```

```
end
for h=1:1:N
    x=0;
    y=0;
    z=-150+(h/N*150);
    fprintf(f,'%6f %6f %6f\n',x,y,z);
end
fclose(f);
function editx_Callback(hObject, eventdata, handles)
% hObject    handle to editx (see GCBO)
% eventdata  reserved - to be defined in a future version of MATLAB
% handles    structure with handles and user data (see GUIDATA)
% Hints: get(hObject,'String') returns contents of editx as text
%          str2double(get(hObject,'String')) returns contents of editx as
a double
% --- Executes during object creation, after setting all properties.
function editx_CreateFcn(hObject, eventdata, handles)
% hObject    handle to editx (see GCBO)
% eventdata  reserved - to be defined in a future version of MATLAB
% handles    empty - handles not created until after all CreateFcns
called
% Hint: edit controls usually have a white background on Windows.
%          See ISPC and COMPUTER.
if ispc && isequal(get(hObject,'BackgroundColor'),
get(0,'defaultUicontrolBackgroundColor'))
    set(hObject,'BackgroundColor','white');
end
function edity_Callback(hObject, eventdata, handles)
% hObject    handle to edity (see GCBO)
% eventdata  reserved - to be defined in a future version of MATLAB
% handles    structure with handles and user data (see GUIDATA)
% Hints: get(hObject,'String') returns contents of edity as text
%          str2double(get(hObject,'String')) returns contents of edity as
a double
% --- Executes during object creation, after setting all properties.
function edity_CreateFcn(hObject, eventdata, handles)
% hObject    handle to edity (see GCBO)
% eventdata  reserved - to be defined in a future version of MATLAB
% handles    empty - handles not created until after all CreateFcns
called
% Hint: edit controls usually have a white background on Windows.
%          See ISPC and COMPUTER.
if ispc && isequal(get(hObject,'BackgroundColor'),
get(0,'defaultUicontrolBackgroundColor'))
    set(hObject,'BackgroundColor','white');
end
```

Anexa 7: Program, în Matlab, pentru detectarea obiectului pe bază de culoare în spațiul HSV

```

function [cubu]=APNR1PrelucrareImagine(piesa)
% Prelucrare imagine
% Citeste imaginea
[rgbImage storedColorMap] = imread(piesa);
% Determina numarul de pixeli pe verticala si orizontala si numarul de
% plane de culoare.
[Randuri Coloane NumarBenziCuloare] = size(rgbImage);
% Convert RGB image to HSV
hsvImage = rgb2hsv(rgbImage);
% figure (12), imshow(hsvImage);
PragMinH=0.180;
PragMaxH=0.250;
PragMinS=0.400;
PragMaxS=0.740;
PragMinV=0.200;
PragMaxV=0.460;
[h,w] = size(rgbImage(:,:,1));
binImage = zeros(h,w);
for i=1:h
    for j=1:w
        binImage(i,j) = hsvImage(i,j,1)>PragMinH &&
hsvImage(i,j,1)<PragMaxH...
        && hsvImage(i,j,2)>PragMinS &&
hsvImage(i,j,2)<PragMaxS...
        && hsvImage(i,j,3)>PragMinV &&
hsvImage(i,j,3)<PragMaxV;
    end
end
% Operatii morfologice
% Elimina obiectele ce sunt mai mici de 100 de pixeli
MarimeObiectAcceptat = 100;
ObiectVerde = bwareaopen(binImage, MarimeObiectAcceptat);
% Inchide conturul obiectelor;
se = strel('square',6);
bw = imclose(ObiectVerde,se);
% Aplica operatia morfologica de umplere de goluri;
bw1 = imfill(bw,'holes');
% Aplica operatia morfologica de erodare a obiectelor cu x pixeli;
nrpixeli=strel('square',6);
bw2=imerode(bw1,nrpixeli);
% Aplica operatia morfologica de dilatare a obiectelor cu x pixeli;
bw3=imdilate(bw2,nrpixeli);
% Aplica operatia morfologica de inchidere a obiectelor cu x pixeli;
se2 = strel('line', 21, 90);
bw4a = imclose(bw3,se2);
se3 = strel('line', 21, 0);
bw4b = imclose(bw3,se3);
figure, imshow(bw4b)
% imwrite(bw4b, 'Obiect.png');
% Determina conturul obiectului;
bw5=bwperim(bw4b);

```

```
figure, imshow(bw5)
% imwrite(bw5, 'ConturObiect.png');
%etichetare obiecte din imagine;
aux=bwlabel(bw5);
%determinare indicatori obiect;
stat=regionprops(aux, 'Area', 'BoundingBox');
%Conturul piesei pleaca din pct de coordonate r=stat.BoundingBox(1),
%c=stat.BoundingBox(2)si are latimea pe r stat.BoundingBox(3) si pe c
%stat.BoundingBox(4);
Iprelucrat=zeros(size(bw5));
c0=floor(stat.BoundingBox(1)+.5);
r0=floor(stat.BoundingBox(2)+.5);
Iprelucrat(r0,c0)=1;
latime=floor(stat.BoundingBox(3))-1;lungime=floor(stat.BoundingBox(4))-
1;
%trasare contur
for i=1:latime
    Iprelucrat(r0,c0+i)=1;
    Iprelucrat(r0+lungime,c0+i)=1;
end
for i=1:lungime
    Iprelucrat(r0+i,c0)=1;
    Iprelucrat(r0+i,c0+latime)=1;
end
aux1=bwlabel(Iprelucrat);
stat1=regionprops(aux1, 'Area', 'BoundingBox');
figure, imshow(Iprelucrat)
% imwrite(Iprelucrat, 'ConturPrelucrat.png');
% Umple conturul obiectului;
cubu=imfill(Iprelucrat);
hold on;
figure, imshow(cubu);
CubBinar=cubu;
% Salveaza imaginea prelucrata;
imwrite(cubu, 'CubBinar.png');
```

Anexa 8: Programul din controlerul robotului pentru aplicația cu paralelipede

```
PROGRAM    CRIST
           *****
3467: LABEL    1
3468: SET      A = 0
3469: WAIT    A <> 0
3470: SPEED   20
3471: MOVE    CIM[150]
3472: GOSUB   OGRIP
3473: MOVED   POP[10]
3474: SPEED   10
3475: SET     B=-A - 59755
3476: SETPVC  POP[2] Z B
3477: MOVED   POP[2]
3478: GOSUB   CGRIP
3479: SPEED   20
3480: MOVED   POP[10]
3481: MOVED   CIM[12]
3482: SPEED   10
3483: SET     C=-A - 82000
3484: SETPVC  CIM[2] Z C
3485: MOVED   CIM[2]
3486: GOSUB   OGRIP
3487: MOVED   CIM[12]
3488: GOSUB   CGRIP
3489: MOVED   CIM[150]
3490: GOTO    1
3491: END

(END)
```

Anexa 9: Program pentru recunoașterea tipului de rulment pe bază de șablon

```

function[TipRulment]=ComparaRulmentCuSablon(contur)
RulDetectat=contur;
%comparare rulmenti
sablon1=imread('sablon1.tif');
ValPerimSablon1=1076;
sablon2=imread('sablon2.tif');
ValPerimSablon2=961;
sablon3=imread('sablon3.tif');
ValPerimSablon3=705;
sablon4=imread('sablon4.tif');
ValPerimSablon4=659;
sablon5=imread('sablon5.tif');
ValPerimSablon5=621;
sablon6=imread('sablon6.tif');
ValPerimSablon6=566;
sablon7=imread('sablon7.tif');
ValPerimSablon7=531;
sablon8=imread('sablon8.tif');
ValPerimSablon8=449;
sablon9=imread('sablon9.tif');
ValPerimSablon9=387;
rulment=imread(RulDetectat);
figure,imshow(rulment);
title('Rulment Detectat');
aux=bwlabel(rulment);
stat1=regionprops(aux,'Perimeter');
ValPerimRulmen=floor(stat1.Perimeter);
if ValPerimRulmen>ValPerimSablon1-20&&ValPerimRulmen<ValPerimSablon1+40
    sablon=sablon1;
    TipRulment=1;
    %    Diam=46.96;
    %    h=20.55;
end
if ValPerimRulmen>ValPerimSablon2-20&&ValPerimRulmen<ValPerimSablon2+40
    sablon=sablon2;
    TipRulment=2;
    %    Diam=46.96;
    %    h=13.95;
end
if ValPerimRulmen>ValPerimSablon3-10&&ValPerimRulmen<ValPerimSablon3+40
    sablon=sablon3;
    TipRulment=3;
    %    Diam=34.96;
    %    h=9.9;
end
if ValPerimRulmen>ValPerimSablon4-2&&ValPerimRulmen<ValPerimSablon4+35
    sablon=sablon4;
    TipRulment=4;
    %    Diam=31.96;
    %    h=9.9;
end
end

```

```
if ValPerimRulmen>ValPerimSablon5-10&&ValPerimRulmen<ValPerimSablon5+35
    sablon=sablon5;
    TipRulment=5;
    % Diam=31.96;
    % h=7.9;
end
if ValPerimRulmen>ValPerimSablon6-0&&ValPerimRulmen<ValPerimSablon6+40
    sablon=sablon6;
    TipRulment=6;
    % Diam=27.96;
    % h=7.94;
end
if ValPerimRulmen>ValPerimSablon7-20&&ValPerimRulmen<ValPerimSablon7+30
    sablon=sablon7;
    TipRulment=7;
    % Diam=25.96;
    % h=7.94;
end
if ValPerimRulmen>ValPerimSablon8-20&&ValPerimRulmen<ValPerimSablon8+40
    sablon=sablon8;
    TipRulment=8;
    % Diam=21.96;
    % h=6.94;
end
if ValPerimRulmen>ValPerimSablon9-20&&ValPerimRulmen<ValPerimSablon9+40
    sablon=sablon9;
    TipRulment=9;
    % Diam=18.96;
    % h=5.94;
end
SablonUtilizat=sablon;
% TipulRulmentului=TipRulment
% DiametruExterior=Diam
% Inaltime=h
% figure,imshow(SablonUtilizat);
% title('Sablon');
aux1=bwlabel(SablonUtilizat);
% stat2=regionprops(aux1,'Perimeter');
% ValPerimSablon=stat2.Perimeter
stat3=regionprops(aux,'Centroid');%se determina centrul de greutate al
rulmentului din imagine
rulment_contur=bwperim(rulment);
rg=floor(stat3.Centroid(2)+.5);
cg=floor(stat3.Centroid(1)+.5);%pixelul corespunzator centrului de
greutate al rulmentului
rulment_contur(rg,cg)=1;
% figure,imshow(rulment_contur);
% title('Contur Rulment Detectat cu CG');
[r_contur,c_contur]=find(aux1==1);
[rsg,csg]=find(aux1==2);
%deplasare sablon
dr=rg-rsg;
dc=cg-csg;
sablon_deplasat=zeros(size(sablon));
for i=1:length(r_contur)
```



```
sablon_deplasat(r_contur(i)-dr,c_contur(i)-dc)=1;  
end
```

Anexa 10: Programul din controlerul robotului pentru aplicația de simetrie

PROGRAM SIMET

```
3633: SPEED      10
3634: SPEEDL     5.000
3635: SET        OUT[6] = 1
3637: DELAY      50
3638: SET        OUT[6] = 0
3640: WAIT       IN[2] = 1
3642: MOVE       CIM[150]
3643: SETPVC     SIM[6] X XS
3644: SETPVC     SIM[6] Y YS
3645: SET        ROT=ROT - 74745
3646: SETPVC     SIM[6] P ROT
3647: MOVED      SIM[5]
3648: GOSUB      OGRIP
3649: MOVELD     SIM[6]
3650: GOSUB      CGRIP
3651: MOVE       SIM[5]
3652: MOVE       CIM[150]
3653: SET        LOC=10 + TIP
3654: MOVED      SIM[LOC]
3655: MOVELD     SIM[TIP]
3656: GOSUB      OGRIP
3657: MOVELD     SIM[LOC]
3658: GOSUB      CGRIP
3659: MOVED      CIM[150]
3660: END
```

Anexa 11: Lista publicațiilor personale publicate sub afiliere UPT

1. Lucrări științifice publicate în volumele unor manifestări științifice (Proceedings) indexate ISI Proceedings

1. **Pop Cristian**, Grigorescu Sanda Margareta, Davidescu Arjana –“Robot Vision Application for Bearings Identification and Sorting”, Mechanisms, Mechanical Transmissions and Robotics, ISBN-13:978-3-03785-395-5, Applied Mechanics and Materials, vol. 162, ISSN 1660-9336 Trans Tech Publications, 2012, pp.523-531.
2. **Pop Cristian**, Grigorescu Sanda Margareta, Davidescu Arjana –“Colored object detection algorithm for visual-servoing application”, Proc. 13th Int. Conf. on Optimization of Electrical and Electronic Equipment OPTIM 2012, Brasov, Romania, ISBN: 978-1-4673-1653-8/12, pp. 1539-1544, May 2012, ieee.

2. Lucrări științifice publicate în reviste de specialitate indexate BDI

1. Moldovan Florina, Dolga Valer, **Pop Cristian** “Kinetostatic Analysis of an articulated walking mechanism” , MECHANISMS AND MACHINE SCIENCE 3-MECHANISMS, TRANSMISSIONS AND APPLICATIONS, ISSN 2211-0984, ISBN 978-94-007-2726-7, Editura Springer Dordrecht Heilderberg London New York, 2012, pp. 103-111.
2. **Pop Cristian**, Davidescu Arjana, Moldovan Florina – “Object recognition using a smart camera”, Romanian Review Precision Mechanics, Optics And Mechatronics, ISSN 1584-5982, Editura Cefin, Bucuresti, Romania, nr. 39, 2011, pp. 189-193.
3. Moldovan Florina, Dolga Valer, Ciontoș Ovidiu, **Pop Cristian** –“CAD Design and analytical model of a twelve bar walking mechanism”, Scientific Bulletin. Series D: Mechanical Engineering, ISSN 1454-2358, Editura Politehnica Express, București, România, vol. 73, nr.2, 2011, pp. 35-49.
4. Moldovan Florina, Dolga Valer, **Pop Cristian** -“ Design and optimization method proposed for a new type of walking robot”, Robotică și Management-International Journal, ISSN 1453-2069, Robotics Society of Romania „Eftimie Murgu” University of Reșița Caraș-Severin County Council and „Politehnica” University of Timișoara, România vol. 15, No. 1, June 2010, pp. 41-47.

3. Lucrări științifice publicate în volumele unor manifestări științifice (Proceedings) indexate BDI

1. **Pop Cristian**, Davidescu Arjana –“Buildings Inspections by Image Processing Approach”, Proceedings of the Fifth International Conference on Optimization of the Robots and Manipulators, OPTIROB 2010, Călimănești, România, ISBN 978-981-08-5840-7, May 2010, pp. 205-209.

4. Lucrări științifice publicate în volumele unor manifestări științifice

1. Pop Cristian – “Improvement of Automated Robot Assembly Process using Image Processing Methods”, Workshop_ul nr.2 Interdisciplinaritatea și managementul cercetării, Universitatea „Politehnica” din Timișoara, Secțiunea Mecanică, Timișoara pp. 45-46.